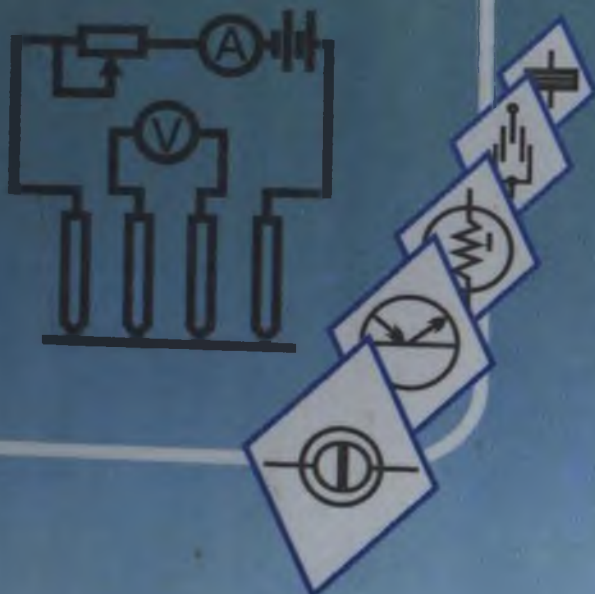


С. ЗАЙНОБИДИНОВ, Ж. АКРОМОВ

С. ЗАЙНОБИДИНОВ, Х. АКРОМОВ

ЯРИМУТКАЗГИЧЛАР ПАРАМЕТРЛАРИНИ АНИҚЛАШ УСУЛЛАРИ



“ЎЗБЕКИСТОН”

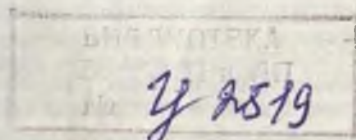


55
3-22

С. ЗАЙНОБИДДИНОВ, Х. АКРАМОВ

ЯРИМЎТКАЗГИЧЛАР ПАРАМЕТРЛАРИНИ АНИҚЛАШ УСУЛЛАРИ

Ўзбекистон Республикаси Олий ва ўрта маҳсус таълим вазирлиги олий ўқув юртларининг яrimutkazgichlar fiziqasasi va tekhnikası mutaxassisligi бўйича таълим олувчи талабалар учун ўқув қўлланма сифатида тавсия этган.



ТОШКЕНТ “ЎЗБЕКИСТОН” 2001

Тақризчилар — проф. Р. А. Муминов, ф.-м. ф.н. доцент
О. С. Сайдхонов
Мухаррир — Р. С. Тоирова

Зайнобиддинов С., Акрамов Х.

Яrimutkazgichlar parametrларини аниқлаш усуллари:
Олий ўкув юртларининг талабалари учун ўкув қўлланма.— Т.: “Ўзбекистон”, 2001. — 320 б.

1. Муаллифдош.

Ўкув қўлланма яrimutkazgichli моддаларнинг асосий параметрлари — электр, гальваномагнит, ҳар хил структурали намуналарнинг хусусиятларини аниқлашнинг замонавий усулларини ўрганишга бағишиланган бўлиб, унда 36 хил усулнинг таърифи ва моҳияти келтирилган.

Мазкур китоб Давлат таълим стандартининг бакалавр мутахассислиги 6—010404 “Физика” йўналишига мос келади. У магистратура мутахассислиги М-010404 “Яrimutkazgichlar va diyolstrikkalar fizikasi” йўналишида таълим оловчи талабаларга, шунингдек университетлар, педагогика ва техника олий ўкув юртларининг яrimutkazgichlar, микроэлектроника, электрон асбоблар ва бошқа соҳалар бўйича ихтисослашётган талабалар, аспирантлар, шунингдек, шу соҳа ўқитувчилари ва илмий ходимларга мулжалланган.

ББК 22.379я73

ISBN 5-640-02839-5

A 1604010000-67
351 (04) 2000

© “ЎЗБЕКИСТОН” нашриёти, 2001 й.

КИРИШ

Илмий-техникавий ривожланишни яримұтказгичли электроникасиз, хусусан микроэлектроникасиз тасаввур қилиш қийиндир. Замонавий микроэлектроникада яримұтказгичли материаллар ва күп қатlamли структуралардан кенг құламда фойдаланилади ва улар асосида турли хил яримұтказгичли асбоблар ва микросхемалар тайёрланади. Яримұтказгичли материалларни ишлаб чиқаришнинг ривожланиши уларнинг сифатини лаборатория ва саноат шароитида текширишнинг юқори даражага күтарилиши билан боғлиқ. Бунда ишлаб чиқариш соҳалари технологик йүқотишлари ва уларнинг ишлаб чиқаришдағи сифатини назорат қилишга кетган моддий харажатларнинг үлчамлари аниқланади. Шунинг учун саноат корхоналарини юқори аниқлікдаги ва юқори ишлаб чиқариш унумига эга воситалар билан жиҳозланған, яримұтказгич материалларнинг сифатини текширувчи янги, илфор усулларни ишлаб чиқыш ва ўзлаштириш яримұтказгич материаллар ва структураларни ишлаб чиқариш иқтисодий самарадорлигининг үсиши билан бевосита боғлиқдир.

Ағсууски яримұтказгичларнинг ҳамма параметрларини ҳам оддий ва қулай бўлган усуллар билан үлчаш мумкин эмас. Уларнинг кўпчилигини үлчаш маҳсус физик услубиятни ва мураккаб аппаратураларнинг ишлатилишини талаб қиласи. Шунинг учун яримұтказгичларнинг параметрларини үлчаш усуллари сўнгги йилларда яримұтказгичлар физикаси ва техникаси бўлимлари билан бир қаторда ривожланиб мустақил йўналиш бўлиб қолмоқда. Яримұтказгичлар физикаси ва яримұтказгичли электроника масалалари ёритилган китобларнинг сони кам эмас,

лекин уларда яримұтқазгичларнинг параметрларини үлчашва яримұтқазгичли материалларни текшириш усууллариға кам зытибор берилған. Үмид қиласызки, мазкур Құлланма маңым даражада ұкувчиларнинг яримұтқазгичлар физикасининг бу бўлимига бўлган эҳтиёжини қондиради. Құлланмада яримұтқазгич материаллар параметрларини үлчаш усулининг физик асослари кенг ёритилған. Яримұтқазгич параметрларини үлчашнинг айrim муаммолари яримұтқазгич материалларнинг хоссаларини үрганувчи китобларда кенг ва тұла ёритилғанлыгини ҳисобга олган ҳолда үлчаш усуулларини ёритишнинг ҳожати бўлмади. Бу китоб ўзбек тилидаги дастлабки китоб бўлиб, у яримұтқазгичлар физикаси ва техникаси масалалари билан бевосита шуғулланувчи талабаларга мўлжалланған.

Құлланмада ҳар хил катта ҳажмдаги намуналар, пластинкалар, юпқа қатламлар, ҳар хил турдаги яримұтқазгичли структуралар параметрларини ҳамда номувозанат ҳолатидаги заряд ташувчилар параметрларини, яъни заряд ташувчилар яшаш вақтини, диффузион узунликни диффузия коэффициентини, сирт рекомбинация тезлигини ва ниҳоят чуқур сатҳли марказлар параметрларини үлчаш усууллари ёритилған.

ЯРИМҮТКАЗГИЧЛАРДА СОЛИШТИРМА ҚАРШИЛИКНИ ЎЛЧАП УСУЛЛАРИ

1.1-§. Яримүтказгичли намунанинг солиширмалариниң тұла қаршилигиги бүйіч аниқлашының тәсілдері

Солиширмалар қаршилигі бүйіч топищда таёқча (стержен) күренишидеги намуна күндаланған кесимларига металл контакт олинади. Металл яримүтказгич чегарасида заряд ташувчилар концентрациясы яримүтказгич ҳажмидагидан кичик бұлғанда потенциал түсік қатлами ҳосил булиши мүмкін, шунинг учун бу қатлам намуна қаршилигини оширади. Намуна Ом контакти олинганда қаршилиги катта бұлған қатлам ҳосил бўлмайди. Ҳажм бүйіч намунада металл чегарасигача заряд ташувчилар концентрациясы бир хил бўлади ёки заряд ташувчилар билан бойиган (антизапор) қатлам ҳосил бўлади.

Заряд ташувчилар билан бойиган қатламнинг қалинлигі намуна узунлигидан жуда кичик бўлгани учун унинг умумий қаршиликка қўшган ҳиссасини ҳисобга олмаслик мүмкін. Токнинг Ом контакти орқали оқиши намунада концентрациянинг ўзгаришига олиб келмайди, яъни инжекция, экстракция, эксклюзия ва аккумуляция каби ҳодисалар бўлмайди. Кўрилаётган ҳолатда контактлардан оқаётган ток ва намунаға тушаётган кучланиш орқали тұла қаршилик топилади:

$$R = \frac{U}{I} = \rho \frac{l}{S} \quad (1.1)$$

Бундан

$$\rho = R \frac{S}{l} = \frac{U}{I} \frac{S}{l} \quad (1.2)$$

келиб чиқади. Бу ерда: R — тұла қаршилик, l — намуна-нинг узунлиги, S — күндаланг кесими юзаси, U — икки контакт орасидаги күчланиш, I — намунадан ұтаётган ток. Солиширма қаршиликни намунанинг тұла қаршилиги билан аниқлаш кичик солиширма қаршиликка ($\rho < 0,01$ Ом · см) ва үртача солиширма қаршиликка ($0,01 < \rho < 1\,000\,000$ Ом · см) зәға бұлған намуналарда ҳеч қандай қийинчилик туғдирмайды.

Юқори Ом ли намуналарда ($\rho > 1\,000\,000$ Ом · см) бу усул билан солиширма қаршиликни аниқлашда бир қанча ҳодисаларни, яъни сифим токини, намуна қутбланишини, токнинг сирт үтказувчанлиги бүйіча сирқіб оқишини ҳисобға олиш керак. Булар үлчовни бир мунча қийинлаштиради. Шунинг учун аввал уларнинг тажрибага күрса-таёттан таъсири камайтирилиб, сұнгра үлчанади (1.1-расм).

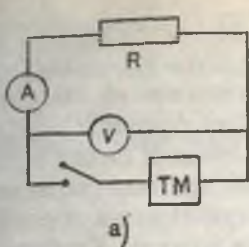
a. Сифим токи. Намуна ички қаршилиги r , бұлған ток манбай ва қаршилиғи R_A бұлған ток үлчайдиган асбоб — амперметр (A) кетма-кет уланган, намунадаги күчланишнинг тушувини үлчаш учун эса вольтметр (V) уланган. $R_V \gg R_A + R$ да V дан оқаётган токни ҳисобға олмаймиз. Ток манбани улаш пайтида намунадан оқаётган ток үтказувчанлик ва силжиш токларининг йиғиндисидан иборат бўлади. Шунинг учун мос равища ток зичлиги:

$$j = \frac{E}{\rho} + \epsilon \epsilon_0 \frac{\partial E}{\partial t}, \quad (1.3)$$

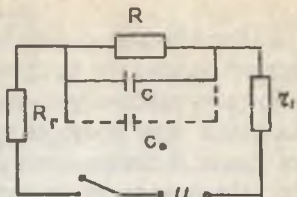
Бу ерда: E — намунадаги электр майдон күчланғанлиги, ϵ — намунанинг диэлектрик сингдирувчанлиги, t — вақт. $E = \frac{U}{l}$ бўлишини ҳисобға олиб, (1.3) дан тұла ток ифодасини топамиз:

$$I = \frac{U}{R} + C \frac{dU}{dt}. \quad (1.4)$$

Бу ерда, $C = \frac{\epsilon \epsilon_0 S}{l}$ — намуна сифими (1.1-расм). Силжиш токи намунани эквивалент схемада сифим пайдо бўлишига олиб келади. Бунга параллел уланган монтажлар



a)



b)

1.1-расм. Намуна тұла қаршилигини үлчаш схемаси (а) ва унинг эквивалент схемаси (б): А — амперметр, В — вольтметр, К — калит, Р — намуна қаршилиги, ТМ — ток манбаи, R — амперметр қаршилиги, r_i — ток манбайининг ички қаршилиги.

сифими (паразит) C_0 намуна сифимидан анча күп бўлиши мумкин. C_0 ва с зарядлангунча амперметрдан ўтказувчаник токи билан бирга сифимни зарядлаш токи оқади. Амперметрдан оқаёттан токни вақтга боғлиқлиги қўйидаги формула билан аниқланади:

$$I(t) = \frac{U_0}{R_A + R + r_i} \left(1 + \frac{R}{R_A + r_i} e^{-\frac{t}{R(C+C_0)}} \right) \quad (1.5)$$

$$R' = \left(\frac{1}{R} + \frac{1}{R_A + r_i} \right)^{-1}. \quad (1.6)$$

$t \gg R'(C + C_0)$ да (1.5) формула қўйидаги кўринишга келади

$$I = \frac{U_0}{R_A + R + r_i} = \frac{U}{R}. \quad (1.7)$$

Сифим токи солиширима қаршиликни аниқлашда хатоликка олиб келиши мумкин. (1.5) ва (1.7) формуладан кўринадики, бу билан боғлиқ бўлган хатоликни йўқотиш учун токни $t \gg R'(C_0 + C)$ тенгисзликни қаноатлантирувчи вақтда үлчаш керак. Агар намунада кутбланиш ҳодисаси қузатилмаса, бу усул билан ρ ни үлчаш ҳеч қандай қийинчилик туғдирмайди.

б. Кутбланиш ҳодисалари. Кутбланиш ҳодисалари контактлар орасидаги кучланишнинг тушуви ўзгармас бўлганда ўтказувчанлик токининг ўзгаришига олиб келади. Бу намунада ион дрейфи ҳажмий заряд соҳасида электрон ёки кавак инжекциясининг пайдо бўлиши билан боғлиқдир. Намуналарнинг турига қараб токнинг характерли релаксация вақти τ_p секунднинг улушларидан тортиб, то соатлар, баъзан суткаларгача етиши мумкин. Кутбланишнинг аниқланаётган солиштирма қаршиликка таъсирини камайтириш учун ўлчовни (1.7) ва $t \gg \tau_p$ (1.9) тенгсизликларни қаноатлантирадиган вақтда ўтказиш керак. Бу тенгсизликлар бажарилиши учун

$$R'(C + C_0) \ll \tau_p \quad (1.8)$$

бўлиши керак.

Кутбланиш ҳодисаси мавжуд бўлганда, солиштирма қаршиликни аниқлаш $v \ll \frac{1}{\tau_p}$ частотада намунашнинг адмитансини (z^{-1}) ўлчаш масаласига келади: z^{-1} актив ва реактив қаршиликларнинг тескари қиймати йифиндиси. Бу ҳолда кутбланиш ҳодисаларининг инерционлиги туфайли, намунадан ток оқишига таъсир кўрсатмайди ва адмитанс қўйидаги қўринишни олади:

$$z^{-1} = \frac{1}{R} + i\omega(C + C_0). \quad (1.9)$$

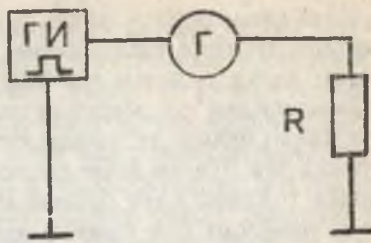
Бу формула R ва $C + C_0$ ни алоҳида топишга имкон беради. Бу ерда: $i = \sqrt{-1}$. z^{-1} ни ўлчашда ўзгарувчан ток кўприклари ишлатилади.

Кутбланиш ҳодисалари мавжуд бўлганда солиштирма қаршиликни ўлчашда импульс ток манбаларидан фойдаланиш ҳам мумкин (1.2-расм). Кутбланиш эффектининг таъсирини йўқотиш учун тўғри бурчакли импульснинг давомийлиги, импульс такрорлангунча бўлган вақт (T)

$$\tau_u \ll \tau_p \ll T$$

тенгсизликни қаноатлантириши керак. 1.2-расмда кўрсатилган схемада гальванометр билан занжирдан оқаётган

1.2-расм. Намуна қаршилиги-ни түгри бурчакли импульс күчланиши усули билан үлчаш схемаси. ГИ — импульслик күчланиш генератори, Г — гальванометр R — намуна қаршилиги.



үртача ток үлчанади. Импульс таъсир қилаётган вақтда намуна сифими ва унга параллел уланган ўтказгичлар монтажи сифими гальванометр орқали зарядланади, импульс туғаши билан улар үлчанаётган үртача токка ҳеч қандай хисса кўшмайди. Намунадан импульс күчланиши ўтаётганда токнинг үртача қиймати

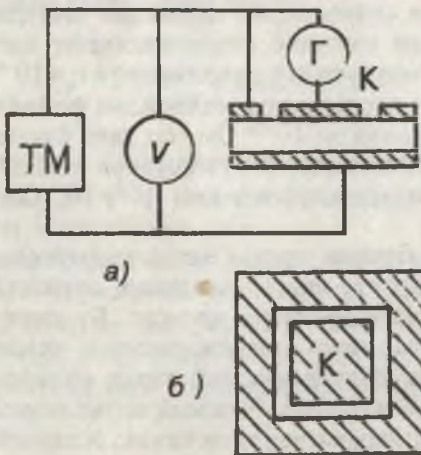
$$\bar{I} = I_u \frac{\tau_p}{T} \quad (1.10)$$

ифода билан топилади. Бу ерда: I — импульс күчланиши таъсир этаётган вақтдаги ўтказувчанлик токи. (1.10) формула орқали I ни топиб, импульс күчланиши U ни билган ҳолда тұла қаршилик $R = U/I$ ҳисобланади ва (1.2) формула буйича солиштирма қаршилик аниқланади.

Бу усул билан импульс күчланишининг амплитудаси $U = (1+2)$ кВ, импульснинг давомийлиги $\tau_p = 10^{-6}$ с $T/\tau_p = 10$ нисбатда бўлган импульс ток манбаидан фойдаланиб, солиштирма қаршиликни 10^{10} Ом · см гача үлчаш мумкин. Саноатда ишлаб чиқарилган ўзгарувчан ток кўприклари билан солиштирма қаршиликни $10^6 \div 10^7$ Ом · см гача үлчаш мумкин.

в. Сиртнинг сирқиши токи. Одатда яримутказгичли на- муналарнинг сиртига яқин соҳасидаги солиштирма қаршилиги ҳажмидагидан фарқ қиласи. Бу сирт соҳасида заряд ташувчиларнинг концентрацияси ҳажмидагидан катта ёки кичик бўлган ҳажмий заряд соҳасининг мавжудлиги билан боғлиқдир. Ҳажмий заряд соҳасида заряд ташувчиларнинг ҳаракатчанлиги кичик. Ҳажмий заряд соҳасининг қалинлиги намуна кўндаланг кесимининг чизиқли ўлчовларининг улушларини ташкил этиб, экранлаш узуонлиги тартибида бўлади. Агар бу соҳада концент-

рация ҳажмдагидан катта фарқ қилмаса, сирт соҳасидаги қаршиликнинг ўзгаришини ҳисобга олмаслик мумкин. Агар заряд ташувчилар концентрацияси сирт соҳасидагидан кўп марта ортиқ (юқори Ом ли намуналарда пайдо бўлиш эҳтимоли катта) бўлса, яхши ўтказувчаникка эга бўлган сирт соҳасидаги токнинг кўп оқишига, яъни токнинг сирт бўйлаб оқишига олиб келади. Сиртдан оқаётган ток намуна қаршилигини камайтиради ва солиштирма қаршиликнинг кичиклашишига олиб келади, шунинг учун ўлчов пайтида сирт бўйлаб оқаётган ток таъсирини йўқотиш керак. Модомики сиртдан ва ҳажмдан оқаётган токлар нисбати намунанинг шаклига, ўлчовига боғлиқ экан, унинг узунлигини камайтириб, кўндаланг кесимини орттириб, сирқиш токининг кичик бўлишига эришиш мумкин. Бундай йўл билан фақат катта намуналарда эришиш мумкин. Сирт сирқиш токининг солиштирма қаршиликка таъсирини камайтирувчи бошқа усули ҳам бор булиб, бунда намунада бир-биридан (изоляцияланган) ажралган икки контакт олинади, яъни кўндаланг кесимининг четига яқин ҳимоя ҳалқасидан иборат 0-контакт ва марказига туташ K контакт олинади (1.3-расм). Бу контактлар орасидаги масофа намуна



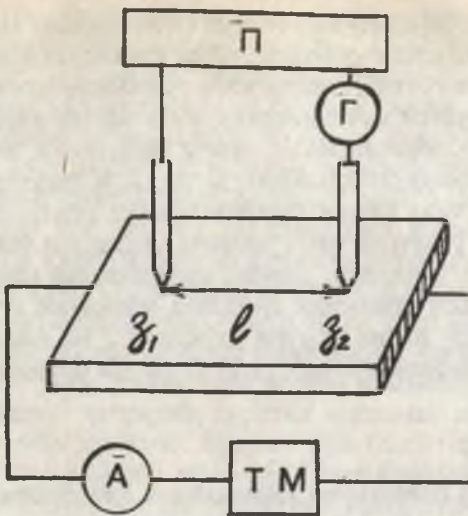
1.3-расм. Солиштирма қаршиликни ҳимоя ҳалқаси билан ўлчашиб схемаси (а), намуна устки кўндаланг кесимининг кўриниши (б).

узунлигидан жуда кичик. Иккинчи күндаланг кесим юзидан яхлит контакт олинади. Ток ўлчайдиган асбобнинг қаршилиги кичик бўлганда, унга тушаётган кучланиш намуна га қўйилган кучланишдан жуда кичик бўлади. Шунинг учун К контактнинг ҳимоя ҳалқасини эквипотенциал контактлар деб ҳисоблаш мумкин. Қўрилаётган ҳолда сирт токи фақат ҳимоя ҳалқаси орқали оқади. Марказий контактдан ўтаётган ток у намуна ҳажмидан ўтади ва у Г асбоб билан ўлчанади. Демак, солиштирма қаршиликни ҳимоя ҳалқаси ёрдамида аниқлаш марказий туташ контакт юзаси S_k ни ва намуна узунлиги J ни билган ҳолда ток ва кучланишни ўлчаб, (1.2) формула орқали ҳисоблашади.

1.2-§. Солиштирма қаршиликни ўлчашнинг бир ва икки зондли усуllibари

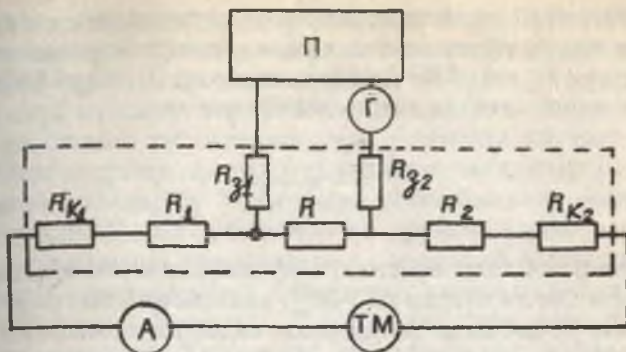
a. Икки зондли усул билан ρ ни аниқлаш.

Солиштирма қаршиликни юқорида кўрилган тўла қаршилик бўйича аниқлаш усулида Ом контактнинг олиниши кераклигини кўрган эдик. Контакт қаршиликлари катта бўлганда бу усул солиштирма қаршиликни ҳақиқий қийматига нисбатан орттириб беради. Бу камчиликни зонд усуllibари билан ўлчашда йўқотиш мумкин. Солиштирма қаршиликни ўлчашнинг икки зондли усулининг чизмаси 1.4-расмда келтирилган. Унда намунанинг кўндаланг кесими юзасига K_1 ва K_2 , Ом контактлари ўтказилган ва унинг сиртига бир-биридан I масофада бўлган иккита Z_1 ва Z_2 , нуқтавий зондлар ўрнатилган. Зондлар сифатида ўткир учли қаттиқ металл (вольфрам, осмий, молибден) симлар ёки қотишмалардан ясалган симлар, карбид, вольфрам ва ВК ишлатилади. Солиштирма қаршиликнинг қиймати қўйидагича аниқланади. Намунадан ток манбаи (ТМ) орқали I ток ўтказилади ва у А — амперметр билан ўлчанади, зондлар орасидаги кучланиш потенциометрда компенсация усулида ўлчанади ва унда гальванометрдан оқаётган токнинг таъсирини йўқотишга эришилади. Бу ҳолатда потенциометрдаги кучланиш U_n икки зонд орасидаги намуна бўлагига тушган кучланиш U га teng бўла-



1.4-расм. Солиширма қаршиликни икки зондли усул билан ўлчаш схемаси. Π — потенциометр, Γ — гальванометр.

ди. Икки зондли усулда ҳам ρ (1.2) формуладан фойдаланиб аниқланади. Бу ифодага киргандай катталиклар R — намунанинг икки зонд орасидаги қисмининг қаршилиги, S — намуна күндаланг кесимининг юзаси, l — зондлар орасидаги масофа. Икки зондли усул билан U компенсация усулида ўлчанганда, контакт қаршилигининг ўлчови натижаларига таъсири тұла йўқотилилади дейилган фикрни қандай ҳолатда үринли бўлишини аниқлайдилек. Икки зондли усул билан ўлчашда намунанинг эквивалент чизмасини кўрайли (1.5-расм). Чизмада R_{x1} , R_{x2} , K_1 ва K_2 контактлар қаршилиги, R_{z1} ва R_{z2} — зондлар қаршилиги, R_1 — зонд Z_1 ва K_1 контакт орасидаги намуна қисмининг қаршилиги, R_2 зонд Z_2 билан K_2 контакт орасидаги намуна қисмининг қаршилиги. R_{x1} , R_{x2} , R_{z1} ва R_{z2} — қаршиликлар металл-яrimytказгич чегарасида оксид қатламини ва потенциал тўсиқ қатламини ҳосил бўлиши билан пайдо бўлиши мумкин. Кичик юзали металл зонд билан яrimytказгич kontaktлашганда, қаршилиги катта бўлмаган қатлам ҳосил бўлмаса ҳам контакт қаршилиги катта бўлади. Зонд-



1.5-расм. Икки зондли усул билан солиширима қаршиликни ўлчашда намунанинг эквивалент схемаси.

лар занжирида Кирхгоф қоидасига кўра қўйидаги ифодани ёзамиш:

$$IR = i_r(R_{z1} + R_{z2} + R + R_r) + U_n \quad (1.11)$$

Бу ерда: R — гальванометрнинг ички қаршилиги, i_r — ундан оқаётган ток. (1.11) формуладан кўринадики, потенциометрдаги кучланиш ва намунанинг зондлар қисмiga тушаётган кучланиш (IR) дан R_{z1} , R_{z2} , R , R_r — қаршиликларда i_r — ток ҳосил қылган кучланиш йифиниди билан фарқланади. $i_r=0$ бўлганда улардаги кучланиш нолга teng бўлиб, (1.10) формулада инобатта олинмайди. Шундай қилиб, зондлар қаршилигининг солиширима қаршиликка таъсири кучланишни компенсация усули билан ўлчаганда йўқотилади, чунки ўлчов пайтида зондлардан оқаётган ток нолга келтирилади: бу идеал ҳолатга тўғри келади. Ҳар қандай асбоб занжирда токнинг йўқлигини қандайдир хатолик билан кўрсатади. Қайд қилиниши мумкин бўлган кичик ток $i_{r,\min}$ га teng. Зондлар занжирдан оқаётган ток $i_r < i_{r,\min}$ бўлади, тасодифан $i_r=0$ бўлиши ҳам мумкин. (1.15) формула билан аниқлананаётган солиширима қаршиликнинг хатолиги:

$$\frac{\Delta\rho}{\rho} = \frac{i_{r,\min}(R_{z1} + R_{z2} + R + R_r)}{IR} \quad (1.12)$$

Зондлар қаршилиги солиширма қаршилик натижала-рига таъсир кўрсатмаслиги учун уларнинг қаршилиги йи-финдиси $R_{31} + R_{32} \ll R + R_t$ бўлиши керак. $R_{31} + R_{32} \ll R$ бўлганда нисбий хатолик минимум бўлади ва:

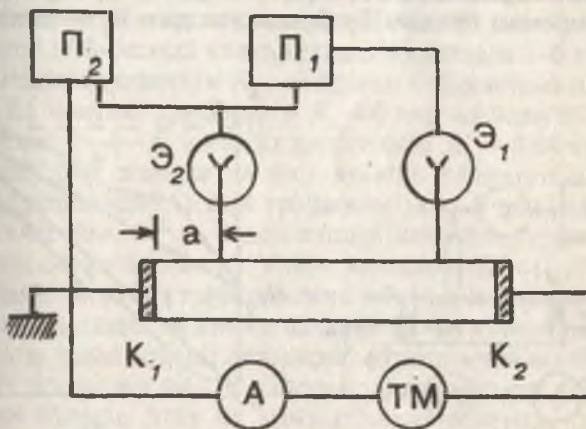
$$\frac{\Delta\rho}{\rho} = \frac{I_{r,\min}}{I}$$

Агар зондлар орасидаги кучланиш ички қаршилиги юқори Ом ли бўлган ($R_v > 10^{10} \Omega$) вольтметр-электрометрлар билан ўлчангандан зондлардан оқаётган токларнинг кичик бўлиш шартини, яъни зондлар қаршилигига тушаётган кучланишни эътиборга олмаса бўладиган шароитни таъминлаш мумкин. Бу ҳолда вольтметр билан

$$U_v = \left[\frac{IR}{1 + \frac{(R_{31} + R_{32} + R)}{R_v}} \right] \quad (1.13)$$

кучланиш ўлчанади. Бу ерда: R_v — вольтметрнинг ички қаршилиги. $R_{31} + R_{32} + R \ll R_v$ бўлганда $U_v = IR$ бўлади. Бундан (1.2) формула орқали солиширма қаршилик ҳисобланади. Агар кучланишни ўлчашда уни автоматик компенсацияланмаса, вольтметр билан кучланишни ўлчаш тез бўлади. Одатда юқори Ом ли намуналарда солиширма қаршиликни ўлчашда электрометрлар ишлатилади. Потенциометр ишлатилганда у ноль асбоби сифатида қўлланилади. K_1 ва K_2 контактларнинг ρ ни аниқлашга таъсири тўғрисида шуни айтиш мумкинки, агар бу контактлар қаршилиги нольга тенг бўлмаса, намунанинг умумий қаршилиги ошади ва натижада ток камаяди. Лекин ток амперметр билан ўлчангани учун у ҳеч қандай таъсир кўрсатмайди. Юқорида кўрсатилганидек, агар бу контактлардан ток ўтганда контакт соҳасида заряд ташувчилар концентрациясини инжекция, эксклюзия, экстракция, аккумуляция туфайли ўзгаришга олиб келса, солиширма қаршилик ўзгариши мумкин. Концентрация ўзгарадиган соҳа кенглиги заряд ташувчиларнинг икки, уч диффузион узунлигига тенг бўлади, одатда ρ кичик электр майдон кучланганлигига ўлчанади.

Зондларни K_1 ва K_2 контактлардан ($a \geq 3L$) шу масофадан каттароқ бўлган масофада жойлаштириб, хатолик пайдо бўлишидан қутулиш мумкин. Бу ҳолда диффузион узунликни камайтириш мумкин. Концентрациянинг ўзгариш таъсирини сусайтириш учун намунада контакт соҳасининг сиртига йирик кукусимон моддалар билан ишлов берилади, бу билан сирт рекомбинация тезлиги оширилади. Ўлчов асбоблари ва курилмаларни электр билан таъминлаш тармоғидаги ва уни ўраб олган атроф фазодаги электромагнит майдонлар курилмада ўзгарувчан қўшимча (кераксиз) — (паразит) сигналлар пайдо қилиши мумкин. Ўзгарувчан электромагнит майдонлар ўзгарувчан сигнал ҳосил қиласди. Бундан ўзгарувчан сигналнинг ўзгариш даври ўлчов асбобларини қайд қилиш вақтидан жуда кичик бўлганда, катта частотали сигнални қайд қиласлиги, ўлчов асбобларининг инерционлиги туфайли эса ююри частотали сигналларни қайд қиласлиги келиб чиқади. Лекин бу ундей эмас. Агар металл-ярим-үтказгич контакти чизиқли бўлмаган вольт ампер характеристкасига эга бўлса, ундан оқаёттан ўзгарувчан токнинг доимий ташкил этувчиси вужудга келади. Уни ўлчов асбоблари қайд қиласди ва ўлчашни қийинлаштиради. Ўлчанаётган фойдали сигнал кичик бўлгани сари, фойдасиз

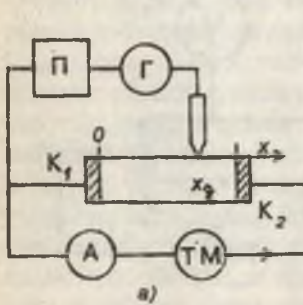


1.6-расм. Икки электрометр (потенциометр) билан солишиштирма қаршиликни ўлчаш схемаси.

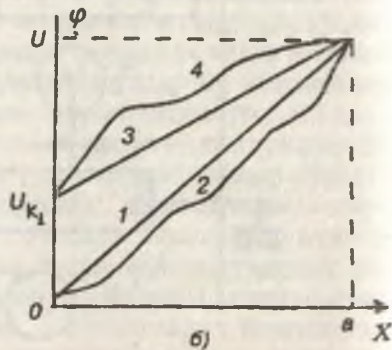
сигнални йўқотиш қийинлашади. Симларни экранлаштириш ва тажриба қурилмасини ерга улаш билан фойда-сиз сигналларни камайтириш мумкин. Икки зондли усул билан ρ ни ўлчашда фойда-сиз сигналларни камайтириш-нинг самарали усулидан бири 1.6-расмда келтирилган. Бу схемани 1.4-расмда келтирилган схемадан фарқи шундаки, бунда иккита потенциометр ва иккита нуль индикатор бор. Нуль индикатор сифатида электрометр ишлатилади. Π_1 ва Π_2 , потенциометрларда кучланишни ўзгартириб, икки электрометр \mathcal{E}_1 ва \mathcal{E}_2 да нульга эришилади. Бундай ҳолатда Π_1 кучланиш зондлар орасидаги кучла-нишга тенг бўлади. Мана шуларни билган ҳолдагина ρ аниқланади. Потенциометр Π_2 , нинг вазифаси шундаки, жуда катта бўлмаган ички қаршилиги орқали зондлар орасидаги кучланишни ўлчайдиган занжирни ерга урайди. Унинг ёрдамида намуна ва монтаж симларини эк-рансиз ҳолатда солиширма қаршиликни 10^{12} Ом. см гача ўлчаш мумкин. У яримутказгичли намуналарнинг хосса-ларини текширишда кенг қўлланилади.

б. Бир зондли усул.

Бир зондли усул билан солиширма қаршиликни ўлчаш усули икки зондли усулнинг бир кўринишидир (1.7а-расм). Бунда потенциометрнинг бир учи ток ўтказувчи контактлардан бири, масалан, K_1 , билан уланади, сиртдаги зонд кўзғалувчан бўлади. Бу билан зонддан K_1 — контактгача



1.7-расм. Бир зондли усул билан солиширма қаршиликни ўлчашнинг схемаси (а), намуна бўйлаб потенциалнинг тақсимланиш турлари (б).



бүлган масофани ўзгартириш мумкин бўлади. Масофа-нинг икки қийматида зонд билан K_1 — контакт орасида-ги кучланиш ўлчаниб, солиширма қаршилик (1.2) га кўра куйидаги формула билан аниқланади:

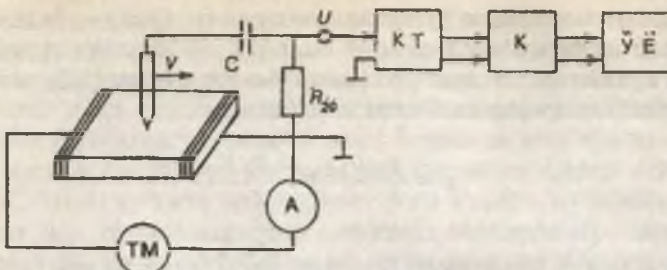
$$\rho = \frac{S}{I} \cdot \frac{U(X_{s1}) - U(X_{s2})}{X_{s1} - X_{s2}} \quad (1.14)$$

$U(x)$ — намунадан ўтаётган ток I нинг K_1 kontaktдан зондгача бўлган қисмида ҳосил қилган кучланиши. Бун-да kontaktning солиширма қаршилик натижасига таъсири икки зондли усул каби бўлади. Бу усул намуналарни бир жинсликка текширишда, бир жинсли бўлмаган намуналарда солиширма қаршиликни намуна узунлиги x бўйича тақсимотини аниқлашда, kontaktlarни Ом контактига текширишда, ток ўтувчи kontaktlarning қаршилигини топишда қўлланиши мумкин.

$U(x)$ ни дифференциаллаб куйидагини топамиз:

$$\rho(x) = \frac{S}{I} \frac{dU(x)}{dx} \quad (1.15)$$

Намунанинг берилган нуқтасидаги солиширма қаршилик $U(x)$ графикнинг x нуқтасига ўтказилган уринманнинг тангенсига пропорционал. $U(x)$ ни масофага боғлиқлиги 1.76-расмда келтирилган. Чизмадаги 1-боғланиш K_1 kontakt қаршилиги $R_{K_1} = 0$ бўлган бир жинсли намуна-га; 2- K_1 kontakt қаршилиги $R_{K_1} = 0$ бир жинсли бўлмаган намуна-га; 3—4— K_1 kontakt қаршилиги $R_{K_1} \neq 0$ бўлган мос равишда бир жинсли ва бир жинсли бўлмаган намуна-ларга тегишилдири. 3 ва 4 графикларда $x=0$ да кучланишнинг сакраши U_{K_1} — кучланишин kontakt қаршилигига тушиши билан боғланган. Унинг катталиги $R_{K_1} = U_{K_1}/I$ билан топилади. Kontakt қаршилигини вужудга келтирувчи қат-ламнинг қалинлиги кичик ва зонд билан қаршиликни бу соҳадаги тақсимотини текшириб кўриш мумкин бўлмайди. Бу боғланишлар K_2 kontakt Ом kontakti бўлганда ўринли бўлади. Агар бу kontakt омик бўлмаса, $x=a$ да кучланишнинг сакраши кузатилиши керак. Одатда kontaktlarning хусусияти вольт-ампер характеристикасини ўрганиш орқали аниқланади.



1.8-расм. Бир зондли усул билан $\rho(x)$ ни автоматик үлчаш схемаси:
 V — зонд тезлиги, КТ — катод такрорлагич, К — кучайтиргич,
 ҮЕ — ўзи ёзгич.

Бир зондли усулни яримұтқазгич монокристалларининг кичик соҳаларидағи нұқсанларини ўрганишга құллашда зонд V — тезлик билан сирт бўйлаб ҳаракатланади. Зонд билан контактлардан бири орасида пайдо бўлган кучланиши дифференциалловчи RC занжирга берилади. Шу сабабли конденсатордан ўтаётган ток унга тушаётган кучланишнинг ҳосиласига пропорционал:

$$i_c = C \frac{dU_c}{dt} \quad (1.16)$$

Дифференциалловчи занжирнинг доимий вақти, $\tau = RC$ етарли кичик бўлганда R — қаршиликка тушган кучланиш

$$U_R = i_c R = RC \frac{dU_c}{dt} = CR \frac{dU_c}{dx} = R \cdot c \cdot V \frac{dU_c}{dx} = R \cdot C \cdot V \frac{I}{S} \rho(x) \quad (1.17)$$

ифода билан аниқланади. Ўзиёзар асбоб билан қайд қилинган R қаршиликдаги кучланиш солиштирма қаршиликка пропорционал бўлиб, г нинг намуна бўйича тақсимотини кўрсатади. Усулнинг нобиржинсликни қайд қилиш қобилияти қўзғалувчи зонд диаметрига, уни қўзғалиш тезлигига, V га, асбобларнинг сезгириллигига ҳамда RC — занжир параметрига боғлиқ. Бир зондли усулда ўртача солиштирма қаршилик зонд билан намуна кон-

тактлашиш юзасига мос келади, бундан кўринаники, бир жинсли бўлмаганликнинг энг кичик кўлами зонднинг контактлашиш диаметри d дан ошмайди. Ўлчаш чизмасининг инерционлиги икки доимий вақтнинг энг каттаси билан аниқланади: занжирнинг доимий вақти $RC=\tau$ ёки қайд қилувчи асбобларнинг доимий вақти τ_1 дир. Бу катталиклар зонднинг сўрилиш тезлигини чегаралайди. Ҳар бир доимий вақт $RC=\tau$ ёки τ_1 , d — масофанинг зонд ўтиш вақтидан кичик бўлиши керак:

$$\frac{d}{V} > RC \quad \text{ва} \quad \frac{d}{V} > \tau_1 \quad (1.18)$$

Бундай ҳолда, яримўтказгичнинг контакт қаршилиги кичик ва зонд ҳаракатланганда ўзгармайди деб фараз қилинган. Ҳақиқатда, агар контакт қаршилиги фақат контактнинг тарқалган қаршилиги билан аниқланса (1.8-ға қаранг), у ҳолда радиуси ~ 10 мкм бўлган контакт учун солиштирма қаршилиги 100 Ом. см бўлган намунада контакт қаршилиги 20 кОм га етади. Зонд намуна бўйлаб ҳаракатланганда кўчиш қаршилиги, зонд билан яримўтказгичнинг ҳар бир нуқтада контактлашиш юзасининг ўзгариши туфайли кучли ўзгариши мумкин. Бунда чизма бир вақтда солиштирма қаршиликтининг намуна бўйича тақсимланишини ва контакт қаршилигининг тебранишини қайд қиласи, натижалар эса қайтарилмайди. Контакт қаршилигини тўғри ўлчашнинг зарурий шарти

$$R_{\text{кир}} \gg R_x + \Delta R$$

бўлади. $R_{\text{кир}}$ — қайд қилувчи қурилманинг тўла кириш қаршилиги, ΔR — контакт қаршилигининг ўзгариши. Шуни таъкидлаш керакки, бир зондли усул билан ўзгармас ва ўзгарувчан токларда солиштирма қаршиликтин ўлчаш мумкин. Ўзгарувчан ток билан ўлчашда зонддан кучланишни олдин ажратувчи конденсатор орқали катодли тақрорлаш қурилмасига берилади (бунда катта қаршиликли кириш сигналини кичик қаршиликли чиқиш сигналига амплитудасини ўзгартирмай айлантириб беради), сўнг сигнал тўғриланади ва дифференциалловчи занжирга берилади. Бу усул билан намуналарда солиштирма

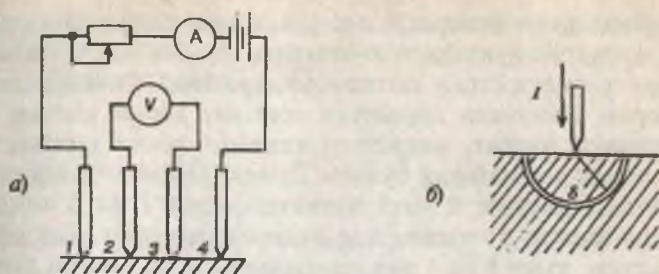
қаршилик 250 Ом. см гача бўлган оралиқда ўлчангандা, хатолик 5% дан ошмайди. Солиштирма қаршилиги катта бўлган намуналарни ўлчаща контакт қаршилиги ошиши билан боғлиқ хатолик пайдо бўлади.

Бу усул билан солиштирма қаршиликинг ўлчашнинг қўйи чегараси унинг қизиши билан чекланган ва 0,005 Ом. см тартибидадир. Кўзгалувчан зонд сифатида қаттиқ материаллар (масалан, карбид-кремний) симлари ҳамда диаметри 2 мм ли думалайдиган пўлат шардан ясалган зонд манипулятори ишлатилади.

1.3-§ Тўрт зондли усул

Яrimўтказгичли намуналарнинг солиштирма қаршиликларини ўлчаш усулларидан бир қанча афзалликларга эга бўлган 4-зондли усул кенг қўлланилади. Бунга ўлчаш (метерологик) кўрсаткичининг юқорилигини, ўлчаш учун намуналарга Ом контактларини олиш талаб этилмаслигини, бир томони ясси текислиқдан иборат шакли ва ўлчамлари ҳар хил бўлган ҳажмий яrimўтказгич намуналарини ҳамда кўп қаватли структураларда эпитаксиал, диффузион қатлам солиштирма қаршиликларини ўлчаш мумкинлигини кўрсатиш мумкин. Бу усул билан ҳажмий монокристалларда, пластинка (тахтасимон) намуналарида солиштирма қаршиликин $10^{-4} + 10^3$ Ом · см оралиқда, эпитаксиал, диффузион сирт қаршилигини $1 + 5 \cdot 10^5$ Ом оралиқда ўлчаш мумкин.

Тўрт зондли усулнинг бир кўриниши 1.9-расмда кўрсатилган. Бир томони ясси текис сирт билан чегараланган яrim чексиз намунанинг сиртига бир чизикда жойлашган тўртта учи ингичкалаштирилган металл электродлар (зондлар) жойлаштирилган. Икки четки зонддан ток ўтказилади ва икки ўрта зондлардан кучланиш (зондлар орасидаги потенциаллар айрмаси) ўлчанади. Бу икки катталик — ток ва кучланиш орқали солиштирма қаршилик аниқланади. Усул назарияси Вальдес томонидан 1954 йилда яратилган булиб, яrimўтказгич ва зондни кичик юзаси билан kontaktлашган нуқтасидан токнинг яrimўтказгичда тарқалишига асосланган.



1.9-расм. Яримчексиз намуналарда солишилтірмалық қаршиликтің түрт зондлы усул билан ўлчаш схемаси (а), нүкстөвий зонд модели (б).

Солишилтірмалық қаршиликтің ρ ни ток (1) ва күчланиш (U) билан бағланған ифодасини топиш учун ярим чексиз (ўлчамлары зондлар орасындағы масофа S дан жуда катта, (а, б, $d \gg S$) намунанинг ясси сирти билан контактлашган алоқыда олинған нүкстөвий зонд чегарасыдан ярим-ўтказгичта ток тарқалиш масаласини ечиш керак (1.9б-расм). Ярим чексиз намуналарда нүкстөвий контактлашган зонд билан ярим-ўтказгич чегарасыдан тарқалаётган ток, потенциал тақсимоти сферик симметрияга эга бўлади. Бу ҳол учун Ом қонуни

$$j = \sigma E = -\frac{1}{\rho} \cdot \frac{d\varphi}{dr} \quad (1.19)$$

ва ток зичлигининг

$$j(r) = \frac{I}{2\pi r^2} \quad (1.20)$$

ифодаларидан фойдаланыб, намунада потенциал тақсимланишини топамиз:

$$\varphi(r) = \frac{I\rho}{2\pi r} + A \quad (1.21)$$

бу ерда, A -ўзгармас катталик.

Потенциал ишораси ток йұналиши билан аниқланади, исталған нүктедеги потенциал ұар бир ток зондларининг ҳосил қылған потенциалларининг йиғиндиқисидан иборат. Намунаға кираётган токнинг ҳосил қылған потенциали мусбат, чиқаётган токнинг ҳосил қылған потенциали эса манфий бўлади. Демак, ўлчов зондларининг контактларидағи 2 ва 3 потенциаллари 1 ва 4 зондлар ҳосил қылған потенциаллар йиғиндиқисига тенг. Ток йұналишини, яъни 1 ва 4 ток манбалари ҳосил қылған потенциаллар ишораларини назарда тутганда 2 ва 3 нүктарадаги потенциаллар ифодаси (1.21) га кўра куйидаги кўринишни олади:

$$\varphi_2 = \frac{4\rho}{2\pi} \left[\frac{1}{S_1} - \frac{1}{S_2 + S_3} \right] + A \quad (1.22)$$

$$\varphi_3 = \frac{4\rho}{2\pi} \left[\frac{1}{S_1 + S_2} - \frac{1}{S_3} \right] + A$$

Икки ички (2 ва 3) зондлардаги потенциаллар айирмаси-нинг кучланиш тушуви U_{23} куйидагича бўлади:

$$U_{23} = \varphi_2 - \varphi_3 = \frac{4\rho}{2\pi} \left[\frac{1}{S_1} - \frac{1}{S_2 + S_3} + \frac{1}{S_3} - \frac{1}{S_1 + S_2} \right] \quad (1.23)$$

Зондлар орасидаги масоғалар бир-бирига тенг ($S_1 = S_2 = S_3 = S$) бўлганда (1.23) дан солиштирма қаршилик ифодаси қўйидаги кўринишни олади:

$$\rho = \frac{U_{23}}{I_{14}} \cdot 2\pi S \quad (1.24)$$

Тўрт зондли усул билан солиштирма қаршиликни аниқлашда зондларнинг исталған иккитасидан ток ўтказиб, қолган иккитасидан кучланишни ўлчаш мумкин. Бу ҳолда (1.24) ни

$$\rho = \frac{U_{23}}{I_{14}} \cdot SF_1^* \quad (1.25)$$

куринишда ифодалаймиз. Бунда F^* зондларнинг чизмага уланишига қараб, ҳар хил қийматларни қабул қиласди (1.1- жадвалга қаранг)

1.1. жадвал

Зондларнинг чизмага уланиши	Ток үтадиган зондлар	Кучланиш ўлчанадиган зондлар	F_i^* $a, b, d \gg S$	F_2^* $a, b \gg S,$ $d \ll S$
1	1—4	2—3	2π	4,532
2	2—3	1—4	2π	4,532
3	1—3	2—4	3π	15,5
4	2—4	1—3	3π	15,5
5	1—2	3—4	6π	21,84
6	3—4	1—2	6π	21,84

F_1^* — ярим чексиз қалин намуналар учун,
 F_2^* — ярим чексиз юпқа намуналар учун тузатиш коэффициентлари. Жадвал таҳлилидан зондларни чизмага уланишида 1- ва 2-усулларнинг афзалигини кўрамиз, чунки бундай ҳолларда ўлчанаётган кучланиш энг катта қийматта эришади. Умумий тарзда ярим чексиз намуналарда потенциалнинг тақсимоти, яъни потенциалнинг (r) масоғага боғлиқлиги сферик координата системасида ифодаланган Лаплас тенгламаси ечимидан топилади. Биз кўраётган масалада потенциал сферик симметрия бўйича тарқалганлигини ҳисобга олиб, Лаплас тенгламасининг фақат (r) га боғлиқ ҳади кўрилади:

$$\Delta\varphi = \frac{1}{r^2} \frac{d}{dr} \left(r^2 \frac{d\varphi}{dr} \right) = 0 \quad (1.26)$$

Лаплас тенгламаси (1.26) ни $r = 0$ нуқтада мусбат, масофанинг жуда катта қийматида нольга интилувчи, яъни $r = 0$ да $\varphi(r) > 0$ ва $r \rightarrow \infty$ да $\varphi(r) \rightarrow 0$ чегаравий шартни қаноатлантирувчи ечими

$$\varphi(r) = -\frac{C_1}{r} + A \quad (1.27)$$

бўлади. Интеграллаш доимийси (C_1) $r=r_0$ да майдон кучланганлигини $E(r_0)$ га тенглик шартидан топилади:

$$E(r_0) = j\rho = \frac{I\rho}{2\pi r_0^2} \quad (1.28)$$

Юқорида айтилганидек, $j = \frac{I}{2\pi r_0^2}$, радиуси r_0 га тенг бўлган яримшар сиртидан оқаётган ток зичлигидир. Иккинчи томондан, $\bar{E}(r_0)$ ни (1.27) дан фойдаланган ҳолда куйидагича ёзиш мумкин:

$$E(r_0) = -\left. \frac{d\varphi}{dr} \right|_{r=r_0} = \frac{C_1}{r_0^2} \quad (1.29)$$

Бу икки (1.28) ва (1.29) ифодалардан интеграллаш доимийси (C_1)

$$C_1 = \frac{I\rho}{2\pi} \quad (1.30)$$

бўлади. Интеграллаш доимийси (C_1) ни (1.27) га кўйсак, худди (1.28) га ўхшаш ифодани оламиз.

Солиширма қаршиликни тўрт зондли усул билан ўлчаш шартларини таъкидлаб ўтиш зарурдир.

1. Ўлчов бир жинсли намунанинг ясси текис сиртида бажарилиши керак.

2. Контакт орқали асосий бўлмаган заряд ташувчиларнинг инжекцияси бўлмаслиги керак. Бу сирт рекомбинация тезлиги катта бўлган намуналарда кузатилади, бу сиртга маълум ишлов бериш билан эришилади.

3. Токнинг сирт бўйича сирқиши (оқиши) бўлмаслиги керак.

4. Зондлар намуна сирти билан нуқтада контактлашган бўлиши ва бир чизикда ётиши керак.

5. Ток ўтказувчи зондлар билан яримүтказгич намуна сирти чегарасида зондлар кичик радиусли яримшар кўринишида бўлиши керак.

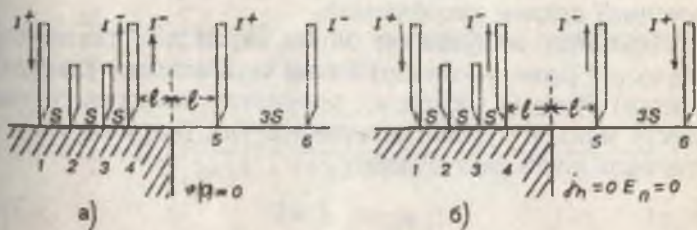
6. Зондларни намуна сирти билан контактлашган юзасининг диаметри зондлар орасидаги масофадан жуда кичик бўлиши керак ($D \ll S$).

Шуни эслатиб ўтиш керакки, кўп ҳолларда яримүтказгич намуналари аниқ геометрик ўлчамларга эга бўлади ва зондлар билан намуна қирраси орасидаги масофа l зондлар орасидаги масофа тартиби билан бир қаторда бўлади, бу ток зичлигининг потенциал тақсимотида сферик симметрия қонунининг бузилишига олиб келади. Натижада (1.24) формула билан аниқланган солиштирма қаршиликнинг қиймати ҳақиқий қийматдан фарқли бўлади, яъни хатоликка олиб келади. Шунинг учун умумий ҳолда ρ нинг ҳақиқий қийматини топиш учун яримчексиз намуналар учун ўринли бўлган (1.28) формулага намуна ўлчовларига ва зондларнинг намуна сиртида жойлашишига боғлиқ бўлган тузатиш функцияси (F) киритилади ва (1.24) қўйидагича ифодаланади.

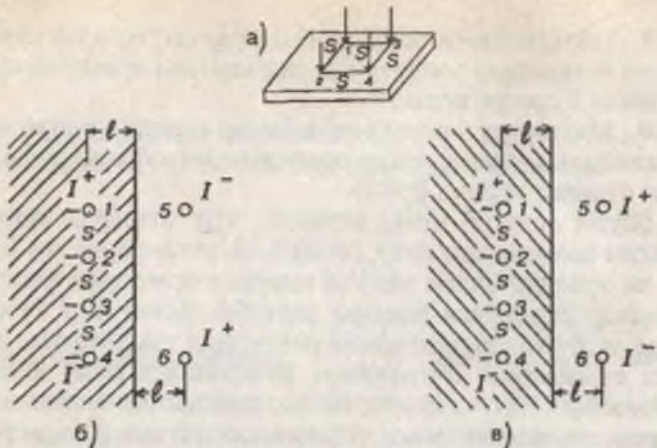
$$\rho = \frac{U}{I} 2\pi SF(l/S) \quad (1.31)$$

Баъзи бир ҳоллар учун тузатиш функциясини кўриб чиқайлик.

1. Яримчексиз, яъни геометрик ўлчамлари бир чизиқда жойлашган зондлар орасидаги масофадан жуда катта



1.10-расм. Яримчексиз намунанинг электр ўтказувчан (a), изолятор (b) мухит билан чегараланган томонига зондлар чизиги тик бўлгандага тузатиш функциясини ҳисоблаш модели чизмаси.



1.11-расм. Зондлар чизиги яримчексиз намунанинг ўтказувчан (б) изолятор (с) мухит билан чегараланган томонига параллель бўлганда тузатиш функциясини ҳисоблаш модели чизмаси. Солиширма қаршиликни тўрт зондли (квадрат) усул билан ҳисоблаш (а).

бўлган намунада (*a*, *b*, *d* $\gg S$) зондлар ётган текислик намунанинг ўтказувчан (металл қатлам — Ом контакти) ёки ток ўтказмайдиган мухит (масалан, ҳаво) изолятор билан контактлашган чегарасига тик ва параллел бўлсин. Биринчи ҳолда зондларнинг четки зонди, иккинчи ҳолда зондлар текислиги намуна чегарасидан l масофада жойлашган (1.10 ва 1.11-расм).

Тузатиш функцияларини электростатикада кенг кўлланиладиган кўзгуда тасвир усули (метод зеркального изображения) орқали ҳисобланади.

Маълумки, намунанинг бирон сирти ток ўтказмайдиган мухит (ҳаво, изолятор) билан чегараланган (контактлашган) бўлса (1.10б-расм), шу сиртда ток зичлигининг, электр майдон кучланганлигининг тик (нормал) ташкил этувчиси нолга teng бўлади.

$$\varphi_n = 0; E_n = 0 \quad (1.31a)$$

Агар намуна сирти ўтказувчан мухит (Ом контакти) билан чегараланган бўлса, шу сиртда унинг потенциали нолга teng бўлади (1.11a-расм):

$$\varphi(0)=0$$

(1.316)

Күзгуда тасвир усули билан тузатиш функцияларининг аналитик ифодасини аниқлаш учун намуна сирти қандай мұхит билан контактлашғанлығыга қараб (1.31a) ёки (1.31b) шарттарни бажарилишини таъминловчи симметрик жойлаштирилған мавхум нүқтавий ток манбалари жойлаштирилади ва потенциал зондлар контактлашған нүқталаридаги натижавий потенциалларини ҳамда иккى зонд орасында потенциаллар айирмаси (потенциал түшуві)-ни топиш керак бўлади. Мисол учун энг содда ҳолни кўрайлик. Зондлар бир чизикда жойлашған бўлиб, улар орасында масофалар тенг бўлсин ($S_1=S_2=S_3=S$). Зондлар (ётган текислик) чизиги ток ўтказмайдиган мұхит билан чегараланган қиррасига тик бўлиб, четки зонди чегарадан l масофада жойлашсин. Намунанинг қолган томонлари S дан жуда катта масофада бўлиб, потенциал тақсимотига таъсир кўрсатмайди (1.10-расм). Бу ҳолда қаралаётган ён сиртидан l — масофага симметрик жойлаштирилған бир хил ишорали мавхум нүқтавий (5 ва 6) ток манбалари (1.31a) шартни бажарилишини таъминлайди. Потенциал 2 ва 3 зондларда тўртта (1, 4, 5, 6) нүқтавий ток манбалари ҳосил қилган натижавий потенциаллари

$$\varphi_2 = \frac{I\rho}{2\pi} \left(\frac{1}{S} - \frac{1}{2S} - \frac{1}{2S+2l} + \frac{1}{5S+2l} \right) + A \quad (1.32)$$

$$\varphi_3 = \frac{I\rho}{2\pi} \left(\frac{1}{2S} - \frac{1}{S} - \frac{1}{S+2l} + \frac{1}{4S+2l} \right) + A \quad (1.33)$$

бўлади. Иккى ички (2 ва 3) зондлардаги потенциаллар айирмаси — кучланиш түшуви

$$U_{23} = U_2 - U_3 = \frac{I\rho}{2\pi S} \left(1 + \frac{1}{1+2l/S} - \frac{1}{2+2l/S} + \frac{1}{5+2l/S} \right) \quad (1.34)$$

Кўринишни олади. (1.34) дан солиширма қаршиликни (1.30) кўринишда ифодаласак, тузатиш функцияси

I.2a-жадвад

Зондларнинг жойланиши		Бир чизикда жойлаштирилган 4 зондли усулнинг тузатиш функциялари
1		$F_1(I/S) = \left(1 + \frac{1}{1+2I/S} - \frac{1}{2+2I/S} - \frac{1}{4+2I/S} + \frac{1}{5+2I/S} \right)^{-1} \quad (1.35)$
2		$F_2(I/S) = \left(1 + \frac{1}{2+2I/S} - \frac{1}{4+2I/S} - \frac{1}{1+2I/S} - \frac{1}{5+2I/S} \right)^{-1} \quad (1.36)$
3		$F_3(I/S) = \left[1 + \frac{2}{\sqrt{1+(2I/S)^2}} + (1+(I/S)^2)^{-\frac{1}{2}} \right]^{-1} \quad (1.37)$
4		$F_4(I/S) = \left[1 - 2 \cdot (1+(2I/S)^2)^{\frac{1}{2}} + (1+(I/S)^2)^{\frac{1}{2}} \right]^{-1} \quad (1.38)$

$$F_1(I/S) = \left(1 + \frac{1}{1+2I/S} - \frac{1}{2+2I/S} + \frac{1}{4+2I/S} + \frac{1}{5+2I/S} \right)^{-1} \quad (1.35)$$

бўлишилигини кўрамиз. Юқорида қайд этилган бошқа ҳолатлар учун тузатиш функциялари, мавҳум нуқтавий ток манбаларининг жойланиши 1.2а-жадвалда, уларнинг ҳар хил I/S учун қийматлари 1.2-жадвалда келтирилган.

1.26-жадвал

I/S	$F_1(I/S)$	$F_2(I/S)$	$F_3(I/S)$	$F_4(I/S)$
0	1,82	0,62	0,5	∞
0,2	1,365	0,79	0,533	8,07
0,5	1,182	0,882	0,658	2,08
1	1,06	0,947	0,842	1,232
2,0	1,01	0,992	0,965	1,038
5,0	1,004	0,996	0,997	1,003
10,0	1,005	0,9995	0,9996	1,004

Жадвал таҳлилидан кўринадики, $I \geq 3S$ бўлганда ҳамма кўрилган ҳолатлар учун тузатиш функциялари бирга яқин. Шунинг учун уни инобатга олиш шарт бўлмайди. Намуналарда солишириш қаршиликни аниқлашда зондларнинг томони S бўлган квадрат учига жойлаштирилган усул билан ҳам аниқлаш мумкин (1.11а-расм). Бу усул билан солишириш қаршиликни аниқлашда 1 ва 2 зондлардан I ток ўтказилиб, 3 ва 4 зондлар орқали потенциаллар айирмаси аниқланади. Яримчексиз намуналар учун ($a, b, d \gg S$), яъни, намуна ўлчамлари зондлар орасидаги масофадан жуда катта бўлганда солишириш қаршилик

$$\rho = \frac{U_{34}}{I_{12}} \cdot \frac{2\pi S}{2 - \sqrt{2}} \quad (1.39)$$

Формула билан ҳисобланади.

Зондлар яримчексиз намуналиниң бирор томонига зондлар орасидаги масофа тартибида жойлашган бўлса, ρ нинг тузатиш функцияси ҳисобга олинадиган

$$\rho = \frac{U_{23}}{I_{14}} \cdot \frac{2\pi S}{2 - \sqrt{2}} F_s(l/S) \quad (1.40)$$

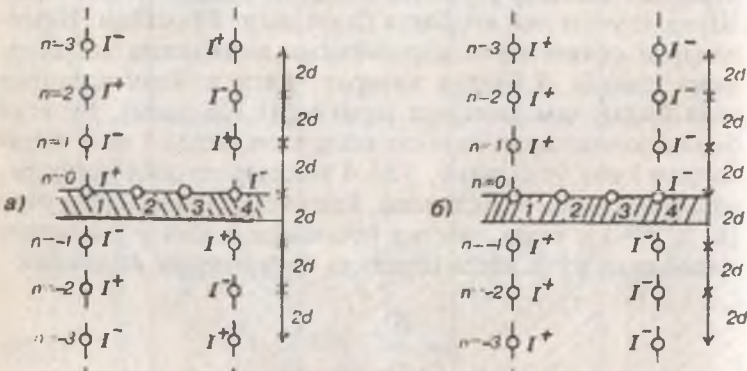
ифода билан аниқланади.

Тузатиш функцияси $F_s(l/S)$ нинг ҳар хил ҳолатлар учун аналитик ифодаси 1.3а-жадвалда келтирилган. Бу функцияларни ҳисоблашлардан куринадики, бирорта изоляцияланган ёки ўтказувчан қиррадан l — масофада ток зондлари перпендикуляр ёки параллел жойлашганда қирранинг таъсирини ҳисобга оладиган тузатиш функциялари $l/S \geq 3$ да бирга яқин.

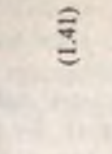
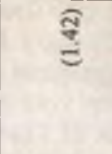
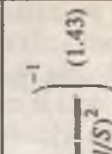
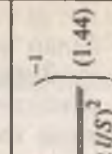
Намуна ўлчамлари (эни, бўйи, диаметри) чексиз катта ($a, b \gg S$), лекин қалинлиги зондлар орасидаги масофа тартибидаги пластина кўринишида бўлсин.

Бу намуналарда солишишторма қаршиликни аниқлаш яримчексиз намуналар каби тузатиш функциясини топишга келтирилади. Аммо бу ҳолда ҳам остки, ҳам устки сиртларидаги шартлар бир вақтда бажарилиши керак.

Агар намуна остки сатҳи ток ўтказувчан муҳит (Ом контакти) билан чегараланган бўлса, (1.12а-расм) юқори



1.12-расм. Остки сирти ўтказувчан (а), диэлектрик (б) муҳит билан чегараланган пластиналарда мавхум ток манбаларининг жойланishi тартиби.

№		Зондларнинг жойланиши	Квадрат учларига жойлаштирилган 4-зондли усулнинг тузатиш функциялари
1			$F_{S1}(l/S) = (2 - \sqrt{2}) \left(2 - \sqrt{2} + \frac{2}{(1+2l/S)} - \frac{2}{\sqrt{1+(1+2l/S)^2}} \right)^{-1} \quad (1.41)$
2			$F_{S2}(l/S) = (2 - \sqrt{2}) \left(2 - \sqrt{2} - \frac{2}{(1+2l/S)} + \frac{2}{\sqrt{1+(1+2l/S)^2}} \right)^{-1} \quad (1.42)$
3			$F_{S3}(l/S) = (2 - \sqrt{2}) \left(2 - \sqrt{2} + \frac{1}{(1+2l/S)^2} - \frac{2}{\sqrt{1+(1+2l/S)^2}} + \frac{1}{\sqrt{1+(2+2l/S)^2}} \right)^{-1} \quad (1.43)$
4			$F_{S4}(l/S) = (2 - \sqrt{2}) \left(2 - \sqrt{2} - \frac{1}{(1+2l/S)^2} + \frac{2}{\sqrt{1+(2+2l/S)^2}} - \frac{1}{\sqrt{1+(2+2l/S)^2}} \right)^{-1} \quad (1.44)$

сиртида $j=0$, $E=0$, остки сиргида $\varphi=0$ шартлари, агар остки сатқи ток үтказмайдыган изолятор мұхит (масалан, ҳаво) билан чегараланған бўлса. 1.12б-расм икки сиртида $j=0$, $E=0$ шартлари бажарилиши керак.

Намунанинг остки сирти үтказувчан мұхит билан чегараланған ҳолни күрайлик (1.12а-расм). Бу ҳолда остки сиртида $\varphi=0$ шарт бажарилиши учун ($n=-1$) да намунадан пастда d масофада (I^-) ва (I^+) мавхум ток манбаларини жойлаштирамиз, лекин устки сиртида $j=0$, $E=0$ ток зичлигининг нормал ташкил этувчисининг нолга тенглик шарти бузилади, унинг бажарилиши учун (пластина) намуна устки сиртидан ($n=+1$) да $2d$ масофага ($+I$) ва ($-I$) ток манбалари жойлаштирилади, бу билан остки сиртида $\varphi=0$ шарти бузилади, буни қаноатлантириши учун яна $n=2$ да $2d$ масофада ток манбалари киритамиз, бу ток манбаларини жойлаштириш чексиз кўп марта такрорланғанда (1.12-расм) намунанинг остки ва устки сиртларида (1.31а, б) шартлар бажарилади. Агар намуна остки сирти изоляцияланған мұхит билан чегараланған бўлса, икки сиртида (1.31а) шарт бажарилиши худди юқоридагига ўшаш кетма-кетликда мусбат ($+I$) ток манбай томонида мусбат мавхум ток манбаларини, манфий ($-I$) ток манбай томонида манфий мавхум ток манбаларини чексиз кўп марта такрорлаб жойлаштириш керак (1.12б-расм). Аввалдан айтилганидек, 2 ва 3 нуқталардаги потенциаллар чексиз кўп ток манбалари ҳосил қылган потенциаллар йиғиндинсига teng. Ток манбаларининг ишорасини ҳисобга олган ҳолда U_2 ва U_3 лар остки сирти үтказувчан мұхит билан чегараланған намуна учун (1.2) га кўра

$$U_2 = \frac{I\rho}{2\pi} \sum_{n=-\infty}^{\infty} (-1)^n \left\{ [S^2 + (2dn)^2]^{-\frac{1}{2}} - [(2S)^2 + (2dn)^2]^{-\frac{1}{2}} \right\} + A \quad (1.45)$$

$$U_3 = \frac{I\rho}{2\pi} \sum_{n=-\infty}^{\infty} (-1)^n \left\{ [(2S)^2 + (2dn)^2]^{-\frac{1}{2}} - [(S^2 + (2dn)^2]^{-\frac{1}{2}} \right\} + A \quad (1.46)$$

ифодалар билан аниқланади.

Бу икки тенгламадан $U_{23} = U_2 - U_3$ ни топиб солиштирма қаршиликни

$$\rho = \frac{U_{23}}{I} 2\pi S g_1\left(\frac{d}{S}\right) \quad (1.47)$$

куринишида ифодалаймиз. Тузатиш функцияси қуйидаги күрнишга зәғарады:

$$g_1\left(\frac{d}{S}\right) = \left\{ 1 + 4 \sum_{n=1}^{\infty} (-1)^n \left[\left(1 + 4n^2 \frac{d^2}{S^2} \right)^{-\frac{1}{2}} - \left(4 + 4n^2 \frac{d^2}{S^2} \right)^{-\frac{1}{2}} \right] \right\}^{-1} \quad (1.48)$$

Юқоридаги усул билан ҳисоблаш икки томонидан токтукказмайдиган мұхит (изолятор) билан чегараланған қалинлиғи d — бұлған намуна учун тузатиш функцияси

$$g_2\left(\frac{d}{S}\right) = \left\{ 1 + 4 \sum_{n=1}^{\infty} \left[\left(1 + 4n^2 \frac{d^2}{S^2} \right)^{-\frac{1}{2}} - \left(4 + 4n^2 \frac{d^2}{S^2} \right)^{-\frac{1}{2}} \right] \right\}^{-1} \quad (1.49)$$

бұлишини күрсатады. $g_1(d/S)$ ва $g_2(d/S)$ функцияларни (d/S) нинг ҳар хил қийматларидағи натижалари 1.36-жадвалда көлтирилген.

1.36-жадвал

d/S	0,1	0,2	0,5	1	2	3,333	5	10
$g_1(d/S)$	$1,9 \cdot 10^{-6}$	$3,42 \cdot 10^{-1}$	0,228	0,683	0,983	0,988	0,9948	0,9993
$g_2(d/S)$	13,86	6,139	2,78	1,504	1,094	1,0228	1,007	1,00045

Жадвал натижалари таҳлилидан күринадыки, $g_1(d/S)$ ва $g_2(d/S)$ ларнинг қийматлари $d/S \geq 4$ бұлғанда бирға инти-

лади. Лекин $g_2(d/S)$ функция (d/S)нинг 0 дан 0,4 гача бўлган оралифида (d/S) билан тўғри чизиқли боғланган бўлиб, $(2\ln 2)^{-1} d/S$ га пропорционал бўлади:

$$g_2(d/S) = (2\ln 2)^{-1} d/S \quad (1.50)$$

Шунинг учун $0 \leq d/S \leq 0,4$ оралифида икки томони ток ўтказмайдиган муҳит билан чегаралангандага намуна нинг солиштирма қаршилиги зондлар орасидаги масофага боғлиқ бўлмайди ва (1.47) га кўра

$$\rho = \frac{\pi d}{\ln 2} \cdot \frac{U}{I} = 4,53d \frac{U}{I} \quad (1.51)$$

Формула билан аниқланади.

1.4-§. Юпқа қатламларда солиштирма қаршиликни тўрт зондли усул билан аниқлаш

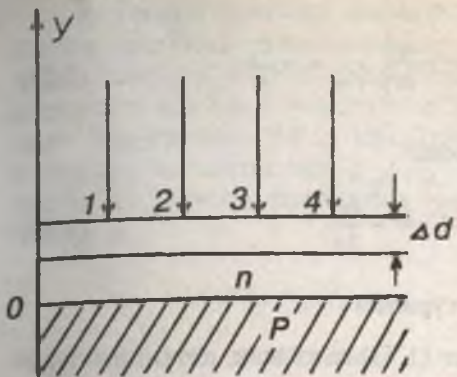
Агар намуна нинг қалинлиги d зондлар орасидаги ма софадан жуда кичик ($d \ll S$) ва унинг чегаралари чексизлика узоқлаштирилган ($a, b \gg S$) бўлса, 1 ва 4 зондлар соҳасида қалинлик бўйича кучланиш тушувини ҳисобга олмаслик мумкин. Бундай ҳолда токнинг ва потенциалнинг тақсимотини икки ўлчамли деб қараш мумкин. Потенциалнинг цилиндрик симметрия бўйича тақсимланишини ҳисобга олсак, икки ўлчамли Лаплас тенгламасининг (азимут бурчаги θ ни ҳисобга олмаймиз).

$$\Delta\varphi = \frac{1}{r} \frac{d}{dr} \left(r \frac{d\varphi}{dr} \right) = 0 \quad (1.52)$$

ечимидан потенциал ифодаси

$$\varphi(r) = C_1 \ln r + A \quad (1.53)$$

кўринишни олади C_1 — интеграллаш доимийси, у электр майдон кучланганигининг $r=r_0$ да $E(r_0)$ га teng бўлишидан аниқланади. Агар заряд ташувчиларнинг концентра-



1.13-расм. Бир жинсли бўлмаган юпқа намуналарда солиширима қаршилихни қалинлик бўйича тақсимотини ўлчаш.

цияси ва ҳаракатчанлиги қатlam қалинлиги бўйича у координатасига боғлиқ бўлса (1.13-расм) радиуси r , баландлиги d бўлган цилиндр сиртидан оқаётган тўла ток ифодаси

$$I = \int_0^d 2\pi r \cdot \bar{E} en(y) \mu(y) dy = 2\pi r \bar{E} \sigma_n = 2\pi r \frac{\bar{E}}{\rho_n} \quad (1.54)$$

бўлади. Бу ерда:

$$\sigma_n = \frac{1}{\rho_n} = \int_0^d en(y) \cdot \mu(y) dy \quad (1.55)$$

сирт солиширима ўтказувчанлиги, $\rho_n = \sigma_n^{-1}$ эса сирт солиширима қаршилиги деб юритилади.

Бир жинсли намуналарнинг ҳажмий солиширима қаршилиги, солиширима ўтказувчанлиги

$$\rho = \rho_n d; \quad \sigma = \sigma_n / d \quad (1.56)$$

бидан аниқланади. Бу формула билан аниқланган катталик солиширима ўтказувчанликнинг қалинлик бўйича ўрталашган қийматини беради. (1.53) ифодадаги C_1 интеграллаш доимийси (1.54) дан $r=r_0$ да аниқланган

$$E(r_0) = \frac{I \rho_n}{2\pi r_0} \quad (1.58)$$

ва

$$E(r_0) = -\frac{dp}{dr} \Big|_{r=r_0} = -\frac{C_1}{r_0} \quad (1.59)$$

ифодаларнинг тенглигидан

$$C_1 = -\frac{I\rho_n}{2\pi} \quad (1.60)$$

билин аниқланишини кўрамиз

Шундай қилиб, (1.60) ни (1.53) га қўйсак, потенциал ифодаси

$$\varphi(r) = -\frac{I\rho_n}{2\pi} \ln r + A \quad (1.61)$$

бўлади. Бу ерда r ток зондлари, 1 ва 4 дан r_1 ва r_4 масофа-да жойлашган нуқта координаталари 1 ва 4 зондлардан ўтгаётган мусбат ва манфиий токлар ҳосил қилган 2 ва 3 зондлардаги потенциалларни (1.61) билан ҳисоблаб, $U_{23} = U_2 - U_3$ дан сирт солиштирма қаршилиги ифодаси

$$\rho_n = \frac{\pi}{\ln 2} \cdot \frac{U_{23}}{I_{14}} \approx 4,532 \frac{U_{23}}{I_{14}} \quad (1.62)$$

куринишида бўлишлигини топамиз. Бир жинсли юпқа қатламларнинг солиштирма қаршилигини умумий ҳолда

$$\rho = \rho_n d = \frac{\pi d}{\ln 2} \cdot \frac{U_{23}}{I_{14}} = \frac{U}{I} \cdot d \cdot F_2^* \quad (1.63)$$

куринишида ифодалаш мумкин. Агар намунадан ҳар хил комбинацияда уланган зондлар орқали ток ўтказилса, (1.63) формуладаги F_2^* коэффициент ҳар хил қийматлар қабул қилиши мумкин (1.1-жадвал). Масалан, 1 ва 2 ёки 3 ва 4 зондлардан ток ўтказиб, 3 ва 4 ёки 1 ва 2 зондлардан потенциаллар айирмаси ўлчанса, $F_2^* = 21,84$ бўлиши аниқланган.

Бир жинсли бўлмаган намуналарда сирт $\rho_n(Y)$ ва ҳажм бўйича солишиштирма қаршиликлар ρ (y) ни юпқа қатламларда қалинлик бўйича тақсимотини топиш учун қатлам қалинлиги ҳар бир ўлчовдан сўнг Δd га камайтириб борилади. Бир-биридан Δd га камайтириб ўлчанган сирт солишиштирма қаршиликлари ρ_{n1}, ρ_{n2} орқали Δd га камайтирилган қатламнинг сирт солишиштирма қаршилигини ва у орқали ρ

$$\rho_n = \rho_{n1} \rho_{n2} / (\rho_{n2} - \rho_{n1}); \quad \rho = \rho_n \Delta d \quad (1.64)$$

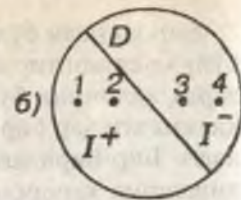
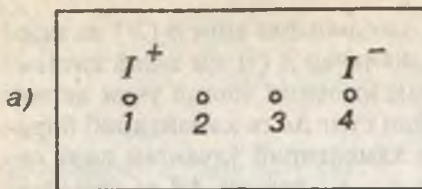
ифодалар билан ҳисобланади.

Юқорида Қўрилган ҳолатда юпқа қатламнинг икки сирти изоляцияланган, яъни ток ўтказмайдиган тагликдаги юпқа қатлам деб фараз қилинган. Қалинлиги зондлар орасидаги масофалар тартибида, лекин зондлар жойлашган сирт ўлчамлар чексиз катта ($a, b \gg S$ ёки $D \gg S$) қатламларнинг, яъни пластинка (диск) шаклидаги намуналарнинг солишиштирма қаршилигини аниқлашда (1.62) формулага қалинликнинг таъсирини ҳисобга оладиган тузатиш функцияси киритилади ва у

$$\rho = \frac{\pi d}{\ln 2} \cdot \frac{U_{23}}{I_{14}} f(d/S) \quad (1.65)$$

формула орқали ҳисобланади.

Тузатиш функцияси $f(d/S)$ нинг қиймати жуда юпқа қатламларда, яъни $d/S \leq 0,4$ да бирга яқин (унинг $d/S \geq 0,4$ даги қийматлари 1.4-жадвалда келтирилган). Амалиётда кўп ҳолларда геометрик ўлчамлари чекланган юпқа қатламларда (доира ва пластина кўринишидаги намуналар) солишиштирма қаршилики аниқлашга түгри келади. Бу ҳолда кўзгуда тасвир усулини куллаб, тузатиш функцияларининг ифодаси топилади. Тузатиш функцияси энг содда ҳоллар — түгри тўртбурчак шаклидаги пластина, диск кўринишидаги шакллар учун ҳисобланган (1.14-расм). Томонлари a ва b бўлган түгри тўртбурчакли юпқа ($d \ll S$) намунада зондлар катта томони (a)га параллел чизиқда жойлашган бўлса, солишиштирма сирт қаршилиги



1.14-расм. Геометрик ўлчамлари чекланган юпқа ($d \ll S$) тұғри түртбұрчак (a), доира — диск (b) шаклидаги намуналарда зондларнинг жойланиши.

$$\rho_s = \frac{U_{23}}{I} \cdot f\left(\frac{a}{b} \cdot \frac{b}{S}\right) \quad (1.66)$$

диаметри D бўлган диск шаклидаги юпқа намунада эса (1.14б-расм)

$$\rho_s = \frac{U_{23}}{I} \cdot f\left(\frac{D}{S}\right) \quad (1.67)$$

формулалар билан ҳисобланади.

Тузатиш функцияси $f(D/S)$ зондлар диск марказидан ўтган чизиқда ётса, қуйидаги кўринишга эга бўлади

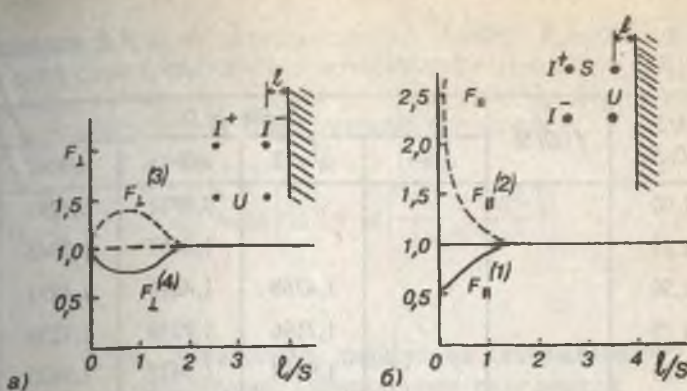
$$f(D/S) = \frac{\pi}{\ln 2 + \ln[(1 + 3(S/D)^2)/(1 - 3S^2/D^2)]} \quad (1.68)$$

Тузатиш функцияси $f(a/b, b/S)$ (b/S) нинг кичик қийматларига

$$f(a/b; b/S) \cdot \frac{S}{b} \approx f(a/b) \approx 1 \quad (1.69)$$

Шунинг учун (1.66) ни қуйидагича ифодалаймиз:

$$\rho_s = \frac{U_{23}}{I_{14}} \cdot \frac{b}{S} \cdot f(a/b) \approx \frac{U_{23}}{I_{14}} \cdot \frac{b}{S} \quad (1.70)$$



1.15-расм. Квадрат учларига жойлаштирилган түрт зондли усули билан ρ -ни аниқлашни ток үтказмайдынган мұхит билан чегараланған намуналарда ток зондларини туташтирувчи чизик параллель (б) ва перпендикуляр (а) бүлгандың өзін тузатын функциялары чизмаси.

Бундан солишикта сирт қаршилигининг тақрибий қийматини аниқлаш мүмкін. Тузатын функцияларининг $f(a/b, b/S)$, $f(D/S)$, $f(a/b)$ сон қийматлари 1.5-жадвалда келтирілген. Агар намуна нынг ўлчамлари (эни, бүйі, қалинлиги түрі түртбұрчак шаклидаги ва қалинлиги d , диаметри D диск шаклидаги намуналарда) зондлар орасындағы масофа тартибида бүлса, унда икки тузатын функцияларини $f(d/S)$ ва $f(a/b, b/S)$ ёки $f(D/S)$ ҳисобға олган ҳолда ρ аниқланади. Намуна түртбұрчак шаклида бүлганданда эса

$$\rho = \frac{U_{23}}{I_{14}} \cdot \frac{\pi d}{\ln 2} \cdot f\left(\frac{d}{S}\right) \cdot f\left(\frac{a}{b}, \frac{b}{S}\right) \quad (1.71)$$

Күриниши олади.

1.4-жадвал

d/S	0,4	0,5	0,714	1	1,25	1,4286	1,666	2
$f(d/S)$	0,9995	0,9974	0,9798	0,9214	0,849	0,7538	0,7225	0,6636

b/S D/S	$f(D/S)$	$f(a/b, b/S)$			
		$a/b=1$	$a/b=2$	$a/b=3$	$a/b \geq 4$
1,00				0,9988	0,9994
1,25				1,2467	1,2248
1,50			1,4788	1,4893	1,4893
1,75			1,7196	1,7238	1,7238
2,00			1,9454	1,9475	1,9475
2,50			2,3532	2,3541	2,3541
3,00	2,265	2,457	2,7000	2,7005	2,7005
4,00	2,929	3,114	3,2246	3,2248	3,2248
5,00	3,362	3,510	3,5750	3,5750	3,5750
2,50	3,927	4,0095	4,0361	4,0362	4,0362
10,00	4,172	4,2209	4,2357	4,2357	4,2357
15,00	4,365	4,3882	4,2947	4,3947	4,3947
20,00	4,436	4,516	4,4553	4,4553	4,4553
40,00	4,508	4,5120	4,5129	4,5129	4,5129
	4,532	4,5324	4,5324	4,5325	4,5325

Намуна диск күринишида бўлганда

$$\rho = \frac{U_{23}}{I_{14}} \cdot \frac{\pi d}{\ln 2} f\left(\frac{d}{S}\right) \cdot f\left(\frac{D}{S}\right) \quad (1.72)$$

бўлади. Квадрат учларига жойлаштирилган тўрт зондли усул билан ўлчанган юпқа қатламларнинг солиштирма қаршилиги

$$\rho = \frac{U}{I} \cdot \frac{2\pi}{\ln 2} d = R_i d = G_i^* \frac{U}{I} d \quad (1.73)$$

формула билан аниқланади. Бу ердаги $R_s = \rho/d$ қатламнинг сирт қаршилиги деб номланади. Диаметри D бўлган доираний намунада ρ ни ўлчашда зондлар доира марказида жойлашган бўлса, тузатиш функцияси:

$$G_S^* = 2\pi \left[\ln 2 + \ln \left(\frac{1 + 2S^2/D^2}{1 + 4S^2/D^2} \right) \right]^{-1} \quad (1.74)$$

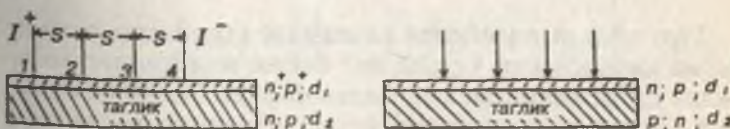
1.5-§. Эпитаксиал, диффузион қатламларнинг солишишторма қаршилигини тўрт зондли усул билан аниқлаш

Икки қатламли структураларда, масалан, таглик сиртида диффузия йўли билан олинган қатламни ёки тагликдан ўтказувчанигинан катталиги ва тури билан фарқланган эпитаксиал қатламларнинг солишишторма қаршиликларини, уларнинг қалинлик бўйича тақсимотини аниқлашда тўрт зондли усул қўлланилиши мумкин (1.16-расм).

Чегаралари чексизликка силжиган юпқа икки қатлами структура ($S > d_1, d_2$) ток зондларига нисбатан параллел уланган занжир ҳосил қиласди. Демак, 1 ва 4 зондлардан ўтаяётган токнинг бир қисми I_1 биринчи қатламдан, I_2 қисми иккинчи қатламдан ўтади, яъни

$$I = I_1 + I_2 \quad (1.75)$$

$$U = I_1 \rho n_1 \frac{\ln 2}{\pi} = I_2 \rho n_2 \frac{\ln 2}{\pi} \quad (1.76)$$



1.16-расм. Солишишторма қаршилигни тўрт зондли усул билан ўлчаш мумкин бўлган эпитаксиал структура турлари.

Бу ерда: ρ_{n1}, ρ_{n2} — солишиштима сирт қаршилиги. Иккинчи ифода параллел уланган занжирдаги күчланишни, 2 ва 3 зондлардаги потенциаллар айирмасини беради. Бу икки формуладан $\rho_1 = \rho_{n2}d_1$, $\rho_2 = \rho_{n2}d_2$ эканлиги ҳисобга олинганда

$$(\sigma_1 d_1 + \sigma_2 d_2)^{-1} = (d_1/\rho_1 + d_2/\rho_2)^{-1} = \frac{\pi}{\ln 2} \cdot \frac{U}{I} \quad (1.77)$$

тенгликни топамиз. Агар қатламлардан бирини ўтказувчанлиги жуда катта, масалан, биринчи юпқа қатламники $d_1\sigma_1 \gg d_2\sigma_2$ бўлса, иккинчи қатлам структурада токнинг ўтишига таъсир этмайди. Бундай ҳолда ўлчанган солишиштима қаршилик биринчи қатламга тегишли бўлиб, (1.51) орқали аниқланади:

$$\rho_1 = \frac{U}{I} \cdot \frac{\pi d_1}{\ln 2} \quad (1.78)$$

Юпқа эпитаксиал қатлам ва таглик икки хил тур ўтказувчанликка эга бўлса, чегарада ҳосил бўлган $p-n$ ўтиш токнинг остки қатлам орқали ўтишига тўсқинлик қиласди. Демак, тўрт зондли усул $p+p$, $n+n$ структураларда, яъни тагликнинг солишиштима қаршилиги эпитаксиал қатламнидан камида юз марта катта бўлган ҳолларда $p-n$, $n-p$ туридаги структураларда солишиштима қаршиликни аниқлашда қўлланилиши мумкин ва юқорида кўрилган икки қатламли структураларда диффузион, эпитаксиал қатламнинг солишиштима қаршиликлари юпқа намуналар учун ўринли бўлган формула билан ҳисобланади.

1.6-§. Солишиштима қаршиликни тўрт зондли усул билан ўлчашдаги хатоликлар

Тўрт зондли усул билан ўлчашдаги хатоликлар солишиштима қаршиликни ўлчашнинг физик моделининг назарияда қабул қилинган моделидан фарқли бўлиши формулага кирган кагталикларни ўлчаш, ўлчаш шарти ва тартибига боғлиқ бўлган тасодифий, мунтазам хатоликлар орқали аниқланади. Бу хатоликлар манбаини гўриб чиқайлик.

1. Зонд контакти юзасининг киритган хатолиги

Маълумки, солиштирма қаршиликни тўрт зондли усул билан ўлчашнинг физик асоси-назарияси курилган вақтда яримўтказгич билан зонд нуқтавий контакт ҳосил қиласди, деб қабул қилинган эди. Амалиётда бу шарт ҳеч вақт бажарилмайди, чунки контактнинг маълум юзачага эга бўлиши ўлчов натижасига мунтазам хатолик киритади. Ток ёки потенциал зондлари яримўтказгич билан контактлашганда радиуси r бўлган доирача ҳосил қилса, унинг киритган хатолиги $(r/S)^2$ билан аниқланади. Хатоликнинг ишораси ва катталиги зондлардан қайси бирида контактнинг нуқтавий бўлиш шарти бажарилмаслиги билан аниқланади. Зондлар бир чизиқда ётган ҳолда зонд контакт юзачаси потенциал зондлардан бирида пайдо бўлса, нисбий хатолик

$$\delta = \frac{\Delta\rho}{\rho} = \left(-\frac{1}{2} \ln 2\right) \ln \left[\left(2 + \frac{r^2}{S^2}\right) / \left(2 - \frac{r^2}{S^2}\right) \right] \quad (1.79)$$

формула билан аниқланади. Агар ток зондларидан бирида контактни нуқтавий бўлиш шарти бажарилмаса, нисбий хатолик

$$\delta = \left(\frac{1}{2} \ln 2\right) \cdot \ln \left[\left(6 - \frac{r^2}{S^2}\right) / \left(6 - \frac{2r^2}{S^2}\right) \right] \quad (1.80)$$

ифода билан аниқланади. Зондлар томони S бўлган квадрат учларига жойлашган ҳолда потенциал ёки ток зондларидан бирида контакт юзачага эга бўлса, мунтазам хатолик қуийдагича аниқланади:

$$\delta = \left(-\frac{1}{2} \ln 2\right) \cdot \ln \left[2 \left(1 + \frac{r^4}{S^4}\right) / \left(1 + \left(1 - \frac{r^2}{S^2}\right)^2\right) \right] \quad (1.81)$$

Тўртта зонднинг ҳаммасида контакт нуқтавий бўлмаса, умумий хатолик юқоридаги формулалар орқали аниқланган хатоликлар йигиндиси билан ифодаланади.

2. Зондлар орасидаги масофанинг тақрорланмаслиги билан боғлиқ хатолик

Зондлар орасидаги масофанинг тақрорланмаслиги со-лиштирма қаршиликни аниқлашда мунтазам хатоликлар киритади. Ҳар бир зондлар ҳолати яримутказгичда бир-бирига боғланмаган ҳолда ўртача квадратик хатолик билан ΔS га силжиса, қаршиликни ўлчашдаги тасодифий хатолик зондлар орасидаги масофалар тенг ва ишончлилик эҳтимоли 0,95 бўлган ҳолда ҳажмий намуналар учун

$$\delta \approx \frac{\Delta p}{\rho} = 2,06 \left(2 \frac{\Delta S}{S} \right) \quad (1.82)$$

бўлади. Солиштирма қаршилик юпқа қатламларда ўлчангандан зондлар орасидаги масофанинг ўзгариши билан боғлиқ тасодифий хатолик

$$\delta \approx \frac{\Delta p}{\rho} = \frac{\sqrt{5}}{2 \ln 2} \left(2 \frac{\Delta S}{S} \right) \quad (1.83)$$

формула орқали аниқланади.

3. Кучланишини ўлчашдаги хатолик

Тўрт зондли усул билан солиштирма қаршиликни аниқлашда кучланишни ўлчашдаги асосий хатолик потенциал зондларининг контакт қаршилиги билан боғлиқдир. Кон-такт қаршилиги германий ва кремнийларда потенциал зондлар орасидаги намуна қаршилигидан $10^3 \div 10^4$ марта катта бўлиши мумкин. Потенциал зондларининг контакт қаршилигига тушадиган кучланишни йўқотиш учун 2 ва 3 потенциал зондлар орқали ўтадиган токни йўқотиш керак. Бунинг учун кириш (ички) қаршилиги катта бўлган вольтметрлар (электрометрлар) қўлланилади ёки компенсация усули билан кучланиш ўлчанади.

4. Токнинг киритган хатолиги

Намунадан ток ўтганда у қизийди. Бу эса солиштирма қаршиликнинг ўзгаришига олиб келади. Қаршиликнинг температура коэффициенти кремнийда 0,009 К гача ети-

ши мумкин. Ток зондларининг контакт қаршиликлари натижасида намунада зондлар чизиги бўйича температура градиенти ва потенциал зондларда қўшимча потенциаллар айирмаси (термик электр юритувчи куч) пайдо бўлиши мумкин. Бу хатолик манбанини йўқотиш учун солишиштирма қаршиликни аниқлашда токнинг кичик қийматларида ва токнинг икки йўналишида ўлчаш ўтказилади. Бу икки ўлчов натижаларининг ўргачаси олинади. Яримўтказгич намуналарида солишиштирма қаршилик аниқланандиганда, унинг қизимаслиги учун солишиштирма қаршиликнинг катталигига қараб токнинг маълум бир қийматида (оптималь ток қийматларида) ўлчаш тавсия қилинади. 1.6-жадвалда кремний намуналарининг солишиштирма қаршиликларини ўлчашда қўлланилаётган ток қийматлари келтирилган. Шуни айтиб ўтиш керакки, бъозан юқори Ом ли кремний намуналарида ($1000 \div 10000$ Ом. см) токнинг кичик соҳасида ($I > 0,3$ mA) солишиштирма қаршиликнинг токка боғлиқлиги кузатилган. Буни кичик ток соҳасида намунада киришмалар текис тарқалмаганлиги — флюктуацияси натижасида пайдо бўлган ички майдоннинг ташки майдондан катталиги билан тушунтирилади. Шунинг учун юқори Ом ли намуналарда ток $I_{mA} > 1 > 0,3$ mA оралиғида ўлчанади, бу билан намунанинг қизиши камайтирилади.

1.6-жадвал

ρ , Ом·см	0,012	$0,008 \div 0,6$	$0,4 \div 60$	$40 \div 1260$	800
I , mA	100	10	1	0,1	0,01

5. Kontakt қаршилиги билан боғлиқ хатолик

Зонд билан яримўтказгич орасидаги контакт қаршилиги тўрт зондли усулнинг қўлланилишини чегараловчи энг асосий омиллардан биридир. Тақиқланган зона кенглиги катта бўлган A_2B_6 ва A_3B_5 турдаги яримўтказгичларда сиқиб кўйиладиган зондлар ҳосил қилган контакт қаршилиги шундай катта бўлиши мумкинки, бунда тўрт зондли усул ишламайди.

Баъзи бир ҳолларда бу қийинчиликни енгишда зарядланган сифимни зонд-яримұтказгич орқали зарядсизлаш күлланилади, бу билан контактта ишлов берилади. Натижада контакт қаршилиги камайтирилади, металл- яримұтказгич орасидаги потенциал түсиқ йүқотилади. Контакт қаршилиги билан металл-яримұтказгич орасидаги потенциал түсиқ билан боғлиқ бұлған хатоликни камайтириш учун металл зондга ишлатиладиган материалнинг қаттықлиги яримұтказгичнидан катта булиши керак.

Зонд материаллари сифатида диаметри $D=0,05\pm0,5$ мм бұлған вольфрам, карбид вольфрам симлари ишлатила-ди. Зондларнинг учлари одатда 45° дан 150° гача бурчак билан чархланади. С2080 маркалы зондлар қурилмасида ҳар бир зондга құйилған күч $1,75\pm0,25$ Н га тұғри келади, зондлар орасидаги масофа $1,3\pm0,01$ мм. С2171, зондлар қурилмасида зондлар орасидаги масофа $0,75\pm0,008$ мм, ҳар бир зондга құйилған ўртача сиқиши күчи $0,7\pm0,07$ Н. Бу қурилмалар билан сирт қаршилигини $0,1$ дан 10^5 Ом оралиқда $\pm4,5\%$ хатолик билан ўлчаш мүмкін.

6. Солиширма қаршиликтиннинг температурага боғлиқлигі

Солиширма қаршиликтиннинг температурага боғлиқлигі билан боғланған мунтазам хатоликларни йүқотиш учун ўлчов вақтида температура назорат қилиб борилади. T — температурада солиширма қаршилик $\rho(T)$ ни билған ҳолда шартли белгіланған T_0 — температурага мос келадиган қыйматта

$$\rho(T_0)=\rho(T)[1-C_T(T-T_0)] \quad (1.84)$$

формула орқали көлтирилади. Бу ерда: C_T — солиширма қаршиликтиннинг температура (термик) коэффициенти булиб, у яримұтказгичларнинг турига, киришмаларнинг табиатига ва концентрацияларига боғлиқ. $n-p$ — тур кремнийнинг термик коэффициентиннинг солиширма қаршиликка боғлиқлигі ($291-288$ К температура оралиғида) 1.7 жадвалда көлтирилған.

1. 7-жадвал

ρ , Ом·см	0,006	0,01	0,1	1	10	100	1000
C_t (n-тип)	0,002	-0,00022	0,0486	0,00736	0,00813	0,0083	0,0083
C_t (p-тип)	0,0016	0,0031	0,0372	0,00707	0,00825	0,00862	0,009

7. Икки қатламли структураларда ρ ни ўлчашда учрайдиган хатоликлар

Эпитаксиал қатламларнинг солиштирма қаршилигини аниқлашда уларнинг хусусияти билан боғлиқ бир қанча хатоликлар пайдо бўлиши мумкин. Эпитаксиал қатламда солиштирма қаршилик ўлчанаётганда p -п ва n -п структураларда p -п ўтишнинг ҳажмий заряд соҳаси кенгаяди. Эпитаксиал қатламнинг солиштирма қаршилиги таглиқнидан катта бўлганда ҳажмий заряд соҳасининг кенгайиши эпитаксиал қатлам томонга бўлади. Бу ҳодисани ҳисобга олмай (1.62) ва (1.63) формулалар билан солиштирма қаршилик ҳисобланганда, унинг қиймати орттириб ўтчанган бўлади. Юқори Ом ли, юпқа эпитаксиал қатламларни ўлчашда бу хатолик $10 \div 20\%$ га етиши мумкин.

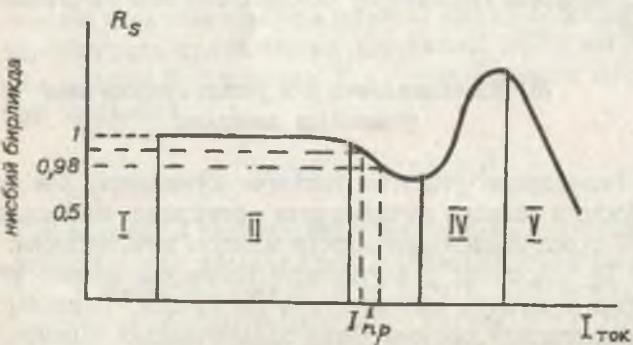
8. Изоляцияловчи p -п ўтиш орқали ток ўтишдаги хатолик

Зондлардан ўтаётган токнинг кўпайиши p -п ўтишга қўйилган тескари кучланишни орттиради, натижада ҳажмий заряд соҳасидаги электр майдон кучланганлиги ўсади. Бу шароитда p -п ўтишини изоляция қилиш хоссаси токнинг маълум қийматигача сакланади. Токнинг катта қийматларида ҳажмий заряд соҳаси орқали таглиқдан ток ўта бошлайди. Аникланишича, солиштирма қаршилиги $0,1 \div 2$ Ом·см, қалинлиги $0,9 \div 4$ мкм n -тип эпитаксиал

қатлам, солиширима қаршилиги $\rho = 10 \text{ Ом} \cdot \text{см}$ p — типли тагликка ўтказилган бўлса, унда эпитаксиал қатламнинг қаршилиги ўлчанаётганда p -п ўтиш орқали шунтланмаслиги учун сирт қаршилигининг 5% ўзгариш соҳасида потенциал зондлардаги кучланиш 100 мВ, сирт қаршилигининг 2% ўзгариш соҳасида 50 мВ бўлиши керак.

9. Зондларга қўйилган босим кучининг киритган хатолиги

Юпқа эпитаксиал қатламларнинг солиширима қаршилигини ўлчашда металл зонд билан эпитаксиал қатламнинг тешишлиси ва тагликда шунтланиш кучайиши мумкин. Бу ҳодиса содир бўлмаслиги учун зондга қўйилган кучни кичик қилиб танлаш керак. Зондга қўйилган ўртача кучланиш $0,3 \div 0,03$ Н бўлиши тавсия этилади. Зондга қўйилган кучни бундан кам бўлиши зонд контакт қаршилигини оширади, бу эса ўлчов асбобларининг кириш қаршилигини оширишни талаб қиласди. Эпитаксиал қатламларда юқорида кўрилган омиллар унинг сирт қаршилигини токка боғлиқ бўлишига олиб келади (1.17-расм). Бу боғланиш графигини бешта соҳага ажратиш мумкин. 1-соҳада ток ортиши билан сирт қаршилигининг камайиши, зонд яrimутказгич орасидаги потенциал тўсиқнинг камайиши ва потенциал контактлари қаршилигининг

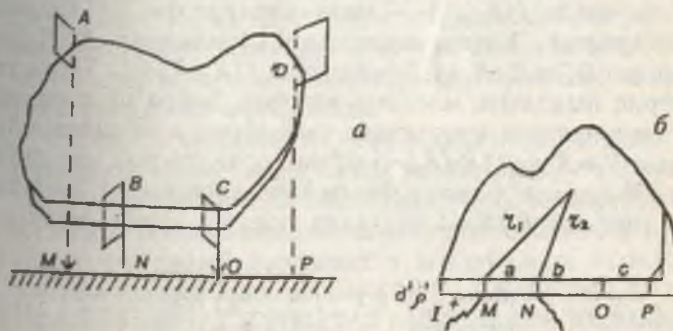


1.17-расм. Эпитаксиал қатламларда сирт қаршилигини зондлардан оқаётган токка боғлиқлиги.

ошиши билан тушунтирилади. Агар $R_{\text{кпр}} \gg R_{k_1} + R_{k_2}$ тенгсизлик бажарилмаса R_{k_1} ва R_{k_2} ларнинг токка боғлиқлиги 1-соҳани пайдо қиласди. Агар зондлардаги босим орттирилса ва вольтметрнинг кириш қаршилигининг каттаси олинса, 1-соҳа йўқолиши мумкин. 2-соҳада R_s — сирт қаршилиги токка боғлиқ эмас. Бу соҳада $R_{\text{кпр}} \gg R_{k_1} + R_{k_2}$ бўлганда энг катта аниқлик билан солиштирма қаршилик ўлчанади. Бу тенгсизлик бажарилмаса, 2-соҳада мунтазам равишида хатолик пайдо бўлиб, у $R_{k_1} + R_{k_2}/R_{\text{кпр}}$ катталик билан аниқланади. 3-соҳанинг пайдо бўлиши изоляцияловчи p -н ўтиш орқали ток сирқиши билан боғлиқ. Сирт қаршилигининг ошиши 4-соҳада p -н ўтишнинг ҳажмий заряд соҳаси кенгайиши билан боғлиқ. 5-соҳада R_s -нинг тез камайиши ток (бир қисми)нинг таглик орқали ўтиши шунтланиши билан боғлиқдир.

1.7-§. Ван-дер-Пау усули билан солиштирма қаршиликни ўлчаш

Исталган геометрик шаклга эга бўлган пластина кўринишидаги яримўтказгичли намуналарнинг солиштирма қаршилигини тўрт зондли усулнинг бир кўриниши бўлган Ван-дер-Пау усули билан ўлчаш мумкин (1.18-расм). Бу усулнинг қулайлиги шундан иборатки, ясси намуна ён



1.18-расм. Ван-дер-Пау усули билан солиштирма қаршиликни ўлчашда чизиқли А, В, С, Д контактларни (оригиналда) асл нусхада (а), ясси яримчексиз пластинада (аксида) М, Н, О, Р контактларнинг жойланиши (б).

сиртига түртта A , B , C , D нүктавий (ёки чизиқли) контакт олиниб, A ва B контактлардан ток үтказилади, C ва D контактлар орасидаги потенциаллар айирмаси үлчанади. Сүнг эса A ва D контактлардан ток үтказилади. B ва C контактлар орасидаги кучланиш үлчаниб

$$R_1 = \frac{U_{CD}}{I_{AB}} = R_{ABCD} \text{ ва } R_2 = \frac{U_{BC}}{I_{AD}} = R_{ADBC}$$

қаршиликлар ҳисобланади. R_1 ва R_2 қаршиликларни билган ҳолда солиштирма қаршилик

$$\rho = \frac{\pi d}{\ln 2} \frac{R_1 + R_2}{2} \cdot f(R_1/R_2) \quad (1.85)$$

формула билан аниқланади. Бу ерда: $f(R_1/R_2)$ — қаршиликлар нисбатига боғлиқ бўлган тузатиш функцияси, d — намунанинг қалинлиги. Тузатиш функцияси

$$ch \left[\frac{R_1/R_2}{R/R_2+1} \cdot \frac{\ln 2}{f(R_1/R_2)} \right] = \frac{1}{2} \exp \left(\frac{\ln 2}{f(R_1/R_2)} \right) \quad (1.86)$$

тenglamani қаноатлантиради, (R_1/R_2) — нинг ҳар хил қийматларидағи $f(R_1/R_2)$ — нинг натижалари 1.9-жадвалда келтирилган. Жадвал таҳлилидан кўринадики, R_1/R_2 нисбатнинг $0,7 \leq R_1/R_2 \leq 1,5$ оралиғида $f(R_1/R_2) \approx 1$. Тўғри геометрик шаклдаги, масалан, квадрат, доира кўрининишидаги намуналарда контактлар симметрик жойлаштирилган ҳолда $R_1=R_2$ ва $f(R_1/R_2)=1$ бўлиб, солиштирма қаршиликни 2% дан кам хатолик билан үлчаш мумкин. Қаршиликлар нисбати $R_1/R_2=1$ бўлганда тузатиш функциясини

$$f(R_1/R_2) = 1 + \left(\frac{R_1 - R_2}{R_1 + R_2} \right)^2 \frac{\ln 2}{2} - \left(\frac{R_1 - R_2}{R_1 + R_2} \right)^4 \left[\left(\frac{\ln 2}{2} - \frac{\ln 2}{12} \right)^3 \right] \quad (1.87)$$

билан ҳисоблаш мумкин. Ван-дер-Пау усулининг назарияси конформ акслантириш назариясига асосланган.

Конформ акслантириш назариясига күра, исталган шаклдаги бир аргумент билан боғланган (односвязанную) ёпиқ D -соҳани яримчексиз ясси текислик D' — соҳага алмаштириш мумкин. Бунда асл намунанинг (оригиналнинг) A, B, C, D контактларига уларнинг акси бўлган M, N, O, P контактлар мос келади (1.18-расм). Бундай алмаштирища асл нусхадаги ва намуна акси бўлган яримчексиз ясси пластина контактлари орасидаги кучланиш бир хил бўлади, яъни

$$U = (E \cdot r) = \frac{\rho' I r}{d \pi r} = \frac{\rho' I'}{\pi d'} \frac{r}{r} \quad (1.88)$$

Бу ерда: E электр майдон кучланганлиги

$$E = j\rho = \frac{I}{\pi r d} = \frac{I'}{\pi r d'} = -\frac{d\varphi}{dr} \quad (1.88a)$$

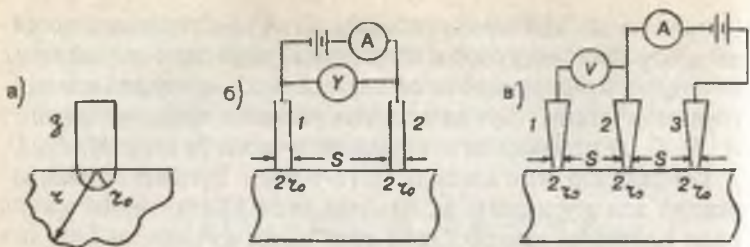
Бу ифода (1.88) дан

$$R_{ABCD} \cdot \frac{d}{\rho} = R_{MNOP} \frac{d'}{\rho'}; \quad R_{ADBC} \cdot \frac{d}{\rho} = R_{NOMP} \frac{d'}{\rho'} \quad (1.89)$$

тengликларни олиш мумкин. ρ, d — ўлчанаётган намуна-нинг солиштирма қаршилиги ва қалинлиги. ρ', d' — тас-вирнинг солиштирма қаршилиги ва қалинлиги. (1.89) даги тенгликлар конформ алмаштиришга нисбатан инвариантлик хоссасини ифодалайди.

Тасвирни яримчексиз ясси текислик (пластина) кўри-нишида бўлиши, чизиқли ток манбаларининг ҳосил қил-ган потенциаллари ва токи цилиндрик симметрия қону-ни билан тақсимланишига олиб келади. Шунинг учун чи-зиқли ток манбаларининг г масофадаги потенциали майдон кучланганлининг (1.88a) ифодасини интеграл-лашдан тасвирда жойлашган г масофадаги нуқтанинг по-тенциали топилади

$$\varphi'(r) = -\frac{I\rho'}{\pi d'} \ln r + A \quad (1.90)$$



1.19-расм. Радиуси r_0 бўлган яримсферик зонд орқали намунадан ток ўтганда потенциал тақсимотни ҳисоблашга чизма (а), намунада тарқалган қаршиликни ўлчашнинг икки (а) ва уч (б) зондли усуllibари схемалари.

Биринчи I^+ ток манбаидан r_1 , иккинчи I^- ток манбаидан r_2 масофада бўлган нуқтанинг потенциали (1.18-расм) ток манбаларининг ишораларини ҳисобга олганда (1.90)

$$\begin{aligned}\varphi'(r) = \varphi(r_1) + \varphi(r_2) &= -\frac{Ip'}{\pi d^*} \ln r_1 + \frac{Ip'}{\pi d^*} \ln r_2 + A = \\ &= \frac{Ip'}{\pi d^*} \ln \left(\frac{r_2}{r_1} \right) + A\end{aligned}\quad (1.91)$$

бўлишлигини кўрамиз. Демак, яримчексиз текислиқда исталган нуқтадаги потенциални топиш икки ток манбаидан иборат бўлган тизимда потенциални аниқлаш масаласига боғлиқ экан. (1.91) формуладан фойдаланиб, M ва N контактларидан ток ўтганда O ва P контактларда ҳосил қилинган φ_p , φ_o потенциалларни ва улар асосида O ва P контактлар орасидаги потенциаллар айримасининг

$$U_{op} = \varphi_p - \varphi_o = -\frac{I'_{MN} \rho'_n}{\pi d^*} \ln \left(\frac{(b+c+a)d}{(a+b)(b+c)} \right) \quad (1.92)$$

ва ундан R_{MNOOP} қаршиликнинг

$$R_{MNOOP} = \frac{U_{op}}{I'_{MN}} = -\frac{\rho'_n}{\pi d^*} \ln \left(\frac{b(a+b+c)}{(a+b)(b+c)} \right) \quad (1.93)$$

ифодасини топамиз. A ва D контактлар акси (тасвири) бўлган M ва P контактлардан ток ўtkазиб, N ва O контактлардаги потенциаллар (φ_N , φ_O) ни, улар орқали эса O ва N контактлар орасидаги потенциаллар айрмасини

$$U_{ON} = \varphi_O - \varphi_N = -\frac{I'_{MP}\rho'}{\pi d'} \ln\left(\frac{ac}{(a+b)(b+c)}\right) \quad (1.94)$$

ва ундан R_{MPN} қаршиликни аниқлаймиз

$$R_{MPNO} = \frac{U_{ON}}{I'_{MP}} = -\frac{\rho'}{\pi d'} \ln\left(\frac{ac}{(a+b)(b+c)}\right) \quad (1.95)$$

(1.93) ва (1.95) формулалардаги логарифм остидаги ҳадлар йигиндиси бирга тенг бўлишлигини, яъни

$$l^{-\frac{\pi d'}{\rho'} R_{MNOP}} + l^{-\frac{\pi d'}{\rho'} R_{MPNO}} = 1 \quad (1.96)$$

ифода билан аниқланишини кўрамиз. Инвариантлик хоссаси (1.89) га кўра тасвиридан оригиналга ўтсак, (1.96) қўйидагича бўлади:

$$l^{-\frac{\pi d'}{\rho'} R_1} + l^{-\frac{\pi d'}{\rho'} R_2} = 1 \quad (1.97)$$

(1.97) да R_1 ва R_2 ларнинг ўрнига

$$R_1 = \frac{1}{2}[(R_1 + R_2) + (R_1 - R_2)] \quad (1.98)$$

$$R_2 = \frac{1}{2}[(R_1 + R_2) - (R_1 - R_2)]$$

қўйилса,

$$ch\left[\frac{\pi d}{\rho} \cdot \frac{R_1 - R_2}{2}\right] = \frac{1}{2} \exp\left(\frac{\pi d}{\rho} \cdot \frac{R_1 + R_2}{2}\right) \quad (1.99)$$

кўринишга келади. Бунда

$$\frac{\pi d}{\rho} \cdot \frac{R_1 + R_2}{2} = \frac{\ln 2}{f(R_1/R_2)} \quad (1.100)$$

белгилаш билан (1.99) формулани (1.86) күринишида бўлган тузатиш функцияси f нинг тенгламасини оламиз. Бу ерда, $f(R_1/R_2)$ қаршиликлар нисбати R_1/R_2 га боғлиқ бўлган (юқорида келтирилган) тузатиш функцияси. (1.100) ифодадан юқорида келтирилган солиширтма қаршиликни Ван-дер-Пау усули билан ҳисоблаш формуласи келиб чиқади. Бу усул билан солиширтма қаршиликни ўлчашда одатда намунанинг ён сиртида Ом контактлари манипуляторга ўрнатилган тўртта йўналтирувчи учларига ўрнатилган қирраси чархланган тантал, карбид вольфрамнинг пластинкалари контактлаштириб олинади. Ҳар бир зонд намунанинг ён қиррасига пружина билан сиқилади, шу билан бирга, сиқиш кучини бошқариш мумкин. Солиширтма қаршиликни Ван-дер-Пау усули билан ўлчашдаги хатолик контакт юзасини катталашиши билан ортиб боради. Диск шаклидаги пластинкаларда контактнинг жойланишига ва ўлчовига боғлиқ хатолик назарий ҳисобланган. Баъзи бир ҳоллар учун хатолик 1.8-жадвалда келтирилган.

Шуни таъкидлаш керакки, бу усулни автоматлаштириш қулайдир. Бу усулга асосланган доира, квадрат, тўғри тўртбурчак шаклидаги қалинлиги $d=80 \div 1000$ мкм, солиширтма қаршилиги $\rho=10^{-2} \div 100$ Ом · см оралиқда бўлган пластинкаларнинг солиширтма қаршилигини ўлчайдиган автоматик курилма ясалган, намуналарни ρ буйича 4% хатолик билан 10 та гуруҳга ажратади, солиширтма қаршилиги эталондан $\pm 20\%$ га фарқ қилганинни яроқсиз намунаага чиқаради.

Энди ρ -ни ўлчашнинг икки комбинацияли тўрт зондли усулини кўрайлик. Кўп ҳолларда яrimутказгич намуналарнинг физик хоссаларини аниқ ўлчашиб зарурияти туфилади. Бунга бир жинсли яrimутказгич қатламларда сирт қаршилигини юза буйича тақсимотини тадқиқот қилиши кўрсатиш мумкин. Баъсан ўлчашнинг тасодифий хатолиги сирт қаршилигининг ўзгаришига teng бўлиб қолиши мумкин ва текширилаётган намунанинг бир жинслилиги тўғрисида мавжуд бўлган маълумотларни олиш мумкин бўлмай қолади.

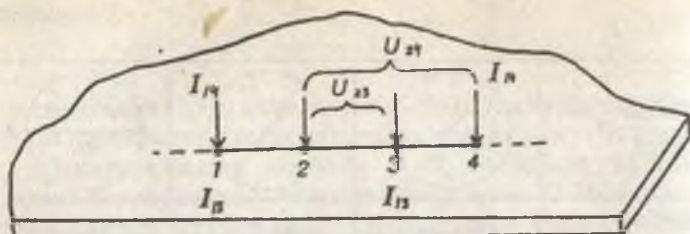
1.8-жадвал

Контакт шакли			
Нисбий хатолик	$0,77(l/D)^2$	$3,09(l/D)^2$	$8,14(l/D)^2$

1.9-жадвал

R_1/R_2	$f(R_1/R_2)$	R_1/R_2	$f(R_1/R_2)$	R_1/R_2	$f(R_1/R_2)$
1	1	4	0,882	12	0,7
1,2	0,995	4,5	0,865	14	0,675
1,4	0,990	5,0	0,847	16	0,650
1,6	0,985	5,5	0,830	18	0,625
1,8	0,975	6,0	0,815	20	0,610
2,0	0,970	7,0	0,800	25	0,57
2,2	0,963	8,0	0,790	30	
2,4	0,955	8,5	0,765	35	
2,6	0,945	9,0	0,757		
2,8	0,935	9,5	0,747		
3,0	0,925	10	0,730		

Түрт зондли усулларда зондлар орасидаги масофанинг тақрорланмаслигини йүқотишиң қийин бўлган тасодифий хатолик манбаларидан бири бу намуна ўлчовларини зондлар жойланишининг таъсирини ҳисобга олган тузатиш функциясининг сон қийматларини аниқлаш билан боғлиқ бўлган хатоликдир. ρ -ни ўлчашда икки комбинацияли түрт зондли усул кўрсатилган хатоликларни чеклайди.



1.20-расм. Бир чизиқда жойлашган үзаро масофалари тенг бўлган тўрттага зонд билан ρ ни ўлчаш.

Бу усулнинг моҳияти шундан иборатки, бир чизиқда жойлашган, зондлар орасидаги масофалари тенг бўлган тўртта зонд билан икки марта ўлчов ўtkaziladi.

1 ва 4 зондлардан ток ўtkazib, 2 ва 3 зондларда кучланиш ўлчанади. Иккинчи гада 1 ва 3 зондлардан ток ўtkazib, 2 ва 4 зондларда кучлананиш ўлчанади (1.20-расм) ва уларга мос келган қаршилик ҳисобланади:

$$R_1 = \frac{U_{23}}{I_{14}}; \quad R_2 = \frac{U_{24}}{I_{13}}$$

Юқорида аниқланганидек, пластина кўринишидаги юпқа намуналарнинг сирт солиштирма қаршилиги (1.62) формула каби

$$\rho_* = \frac{\pi}{\ln 2} \cdot \frac{U_{23}}{I_{14}} = \frac{\pi}{\ln 2} \cdot R_1 \quad (1.101)$$

орқали аниқланади. Агар намуна ўлчамлари чекли ва намуна тўғри геометрик шаклда бўлса, (1.101) га тузатиш функцияси киритилиши лозим бўлади, яъни

$$\rho_* = \frac{\pi}{\ln 2} R_1 G^* \quad (1.102)$$

G^* — тузатиш функцияси. G^* — намунанинг геометрик ўлчамларига, зондлар чизигининг намуна симметрия

ұқларига нисбатан қандай жойланишига, ток ва потенциал зондларининг қандай уланишига боғлиқ бўлган тузатиш функцияси. Пластина шаклидаги намуналарни бир чизикда жойлашган тўртта зонд икки қисмга бўлади. Бу намуналарнинг ҳар бирини Ван-дер-Пау усули билан ρ ни ўлчашда намунани (оригинални) конформ акслантирилгани деб қараш мумкин (1.18-расм). Шунинг учун бу ерда ҳам (1.100) ифода ўринли бўлади. Тўртта зонд бир чизикда жойлашган доира кўринишидаги пластинкаларда (1.97) га ўхшаш

$$\exp\left(-\frac{2\pi d}{\rho} R_1\right) + \exp\left(-\frac{2\pi d}{\rho} R_2\right) = 1 \quad (1.103)$$

ифодани оламиз. R_1 ва R_2 ларни

$$R_1 = \frac{R_2}{2} \left[\frac{R_1/R_2 + 1}{R_1/R_2} + \frac{R_1/R_2 - 1}{R_1/R_2} \right] \quad (1.104)$$

$$R_2 = \frac{R_1}{2} \left[\frac{R_1/R_2 + 1}{R_1/R_2} - \frac{R_1/R_2 - 1}{R_1/R_2} \right]$$

кўринишида ифодалаб (1.103) га қўйсак,

$$\exp\left[-\frac{\pi d}{\rho} R_1 \left(\frac{R_1/R_2 + 1}{R_1/R_2}\right)\right] \operatorname{ch}\left[\frac{\pi d}{\rho} R_1 \left(\frac{R_1/R_2 - 1}{R_1/R_2}\right)\right] = \frac{1}{2} \quad (1.105)$$

формулани оламиз. Агар (1.105) формулага қўйидаги белгилашни киритсак,

$$\frac{\pi d}{\rho} \cdot \frac{R_1/R_2 + 1}{R_1/R_2} \cdot R_1 = \frac{1}{2} \cdot \frac{\ln 2}{f(R_1/R_2)} \quad (1.106)$$

(1.105) ифода қўйидаги кўринишга келади:

$$\frac{1}{2} \exp\left[\frac{-\ln 2}{f(R_1/R_2)}\right] = \operatorname{ch}\left[\frac{-\ln 2}{f(R_1/R_2)} \cdot \frac{R_1/R_2 - 1}{R_1/R_2}\right] \quad (1.107)$$

(1.106) ифодадан солиширма сирт қаршилигини топамиз,

$$\rho_s = R_1 \cdot \frac{\pi}{\ln 2} \left(1 + \frac{1}{R_1/R_2} \right) \cdot f\left(\frac{R_1}{R_2}\right) \quad (1.108)$$

Шундай қылеб, (1.102) даги

$$G^* = f(R_1/R_2) \left(1 + \frac{1}{R_1/R_2} \right) \quad (1.109)$$

куринишдаги күпайтма намунанинг геометрик шаклига боғлиқ бўлган тузатиш функциясидир. Тузатиш функциясини шундай куринишда олишнинг ютуғи шундаки, тузатиш функцияси зондлар орасидаги масофага боғлиқ бўлмайди, бу билан зондлар орасидаги масофанинг такрорланмаслиги билан боғлиқ бўлган тузатиш функциясини ҳисоблашдаги хатоликлар йўқотилади. Тузатиш функцияси $f(R_1/R_2)$ ни 0,05% дан катта бўлмаган хатолик билан $1,2 < R_1/R_2 > 1,32$ оралиқда иккинчи даражали полином куринишида ифодалаш мумкин:

$$f\left(\frac{R_1}{R_2}\right) \left[1 + \left(\frac{R_1}{R_2}\right)^{-1} \right] = 14,696 + 25,173 \left(\frac{R_1}{R_2}\right) - 7,872 \left(\frac{R_1}{R_2}\right)^2 \quad (1.110)$$

R_1/R_2 ни ўзгариш соҳаси тўрт зондли усул билан аниқла-
надиган

$$R_1/R_2 = \ln 4 / \ln 3 = 1,262$$

қийматга яқин соҳада олинган. Шуни таъкидлаш керак-
ки, агар зондлар чизиги ёки четки зонд пластина четидан
қандайдир масофада жойлашган бўлса, (1.110) ифода зонд
чизикларининг исталган йўналишида қўлланилиши мум-
кин. Пластина четидан (5S) масофада зондлар жойлаш-
ган бўлса, сирт қаршилигини ҳисоблагандан хатолик 0,1%
дан ошмайди. Шу усул асосида автоматлашган, сирт бўйи-
ча қадамлаб силжийдиган зондлар курилмаси ясалган.

1.8-§. Солиширма қаршиликни нүктавий контактнинг тарқалган (ёйилган) қаршилик усули билан аниқлаш

1. Усул назарияси.

Бу усул яримұтқазгич ва унинг (ясси) текис сиртига тик жойлашган зонддан иборат бұлған структура қаршилигини ўлчаша асосланған. Агар металл зонд яримұтқазгичнинг ясси сирти билан кичик юзачали Ом контактты ҳосил қылса, шу контактдан ток ұтказиб ўлчанған қаршилик тарқалған (ёйилған) қаршилик деб аталади. Яримұтқазгичда контакт қаршилиги кичик бұлған катта юзали $S_0 \gg \pi r_0^2$ иккінчи контакт ҳам бор ва у металл зонддан узокда $l \gg r_0$ катта масофада жойлашған деб фараз қилинади. Бу усул кенг тарқалған бўлиб, бир жинсли яримұтқазгичларда, эпитаксиал структураларнинг ҳамма турида, диффузион қатламларда солиширма қаршиликни $10^{-3} \div 10^2$ Ом · см оралиқда ва қаршиликни қалинлик бўйича тақсимотини аниқлашда қўлланилади, унинг афзаликлариға яна намунанинг муайян нүктасидаги кичик ҳажмда қаршиликни ўлчашни кўрсатиш мумкин. Тарқалған қаршилик усулининг назарияси яримчексиз яримұтқазгич намуналаридан нүктавий зонд контактти орқали ток ұтганда ҳосил қылған потенциалнинг тақсимланишига асосланған (1.13а-расм). Маълумки, бундай ҳол учун потенциал тақсимоти (1.21) формула билан аниқланади. Равшанки, зонднинг яримұтқазгич билан ҳосил қылған контактининг диаметри $2r_0$ яримшар кўринишида бұлған ҳолида ҳам потенциал тақсимоти (1.21) га ўхшаш бўлади. Контакт радиуси r_0 бўлғанда намунадаги икки зонд орасидаги кучланиш тушуви зонднинг электр потенциалига тенг бўлади.

$$U = \varphi(r_0) - \varphi(l) = \left(\frac{I_p}{2\pi r} \right)_{r=r_0} - \left(\frac{I_p}{2\pi r} \right)_{r \gg r_0} \approx \frac{I_p}{2\pi r_0} \approx \varphi(r_0) \quad (1.111)$$

Агар $r=10r_0$ бўлса, контакт соҳасида қалинлиги $r-r_0$ бўлған қатламнинг кучланиши

$$U = \varphi(r_0) - \varphi(10r_0) = \frac{I_p}{2\pi} \left(\frac{1}{r_0} - \frac{1}{10r_0} \right) = 0,9 \frac{I_p}{2\pi r_0} \quad (1.112)$$

бүләди. У намунаға түшгән тұла күчланишдан 10% кам. Бундан күрінадыки, зонддан оқаёттән токнинг қийматини асосан контакт соҳасининг қаршилиги аниқлар экан, унинг күлами контакт радиуси қанча кичик бўлса, у ҳам шунча кичик бўләди. Яримчексиз намуналарда электр потенциалининг тарқалиши қонунидан, тарқалган қаршиликни (1.111) га кўра

$$R_p = \frac{U}{I} = \frac{\rho}{2\pi r_0} \quad (1.113)$$

билин аниқлаш келиб чиқади. Яримўтказгич сиртидаги оксид қатлами ва сирт ўтказувчанлигининг структура қаршилигига таъсири кичик бўлса, уни тарқалган қаршилик қиймати сифатида олиш мумкин. Маълумки, зонд ва яримўтказгичларнинг деформацияланишлари туфайли, зонд билан яримўтказгич орасидаги контактнинг ҳақиқий шакли ва ўлчамини аниқлаш жуда қийин. Шу билан бирга, у зонд контакти радиусига материалларнинг механик хоссаларига, зондга қўйилган кучга боғлиқ.

Кўрилаёттән усулнинг тўрт зондли усулдан фарқи шундаки, бунда контакт шакли қандайдир r_0 — радиусга эга бўлган ясси айланадан иборат. Икки материалнинг Юнг модулларини ва зондга қўйилган кучни билган ҳолда контактнинг радиусини ҳисоблаш мумкин. Радиуси r_0 бўлган ясси контактнинг яримчексиз намуналарда электр потенциалининг тақсимланиши Лаплас тенгламаси орқали аниқланади. Бундай структура (тузилма)нинг тарқалган қаршилиги

$$R_p = \frac{\rho}{4r_0} \quad (1.114)$$

Формула билан топилади.

Тажрибада тарқалган қаршилик одатда икки, уч зондли чизмалар билан ўлчанади (1.206, в-расм). Агар намунада потенциалнинг тарқимланиши маълум бўлса, у ҳолда

$$R_p = \frac{U(r_0)}{I_{12}} = \frac{U_{12}}{2I_{12}} - \frac{U(S)}{I_{12}}$$

бўлади. Бу ерда: S — зондлар орасидаги масофа, $U(r_0)$ — зондлаги потенциаллар. $S >> r_0$ бўлганда $U(S) \rightarrow 0$, $R_p = U_{12}/2I_{12}$ ўлчанган структура қаршилиги

$$R_{\text{пр}} = \frac{U_{12}}{I_{12}} = 2R_p = \frac{\rho}{2r_0} \quad (1.115)$$

бўлади. Бу ерда, $U(S)/I_{12}$ — баръер қаршилиги.

Уч зондли усул билан ўлчангандан 2 ва 3 зондлардан ток ўтказиб, 1 ва 2 зондлардан кириш қаршилиги катта бўлган вольтметрда кучланиш ўлчанади. Бу билан 3 зонд контактига тушган кучланиш йўқотилади ва ўртадаги 2 контактнинг тарқалган қаршилиги ўлчанади:

$$R_p = \frac{U_{21}}{I_{23}} + \frac{U(S)}{I_{23}} + \frac{U(2S)}{I_{23}} \quad (1.116)$$

Уч зондли чизма билан ўлчангандан зондларнинг бир хил бўлиши талаб этилмайди, лекин бир қанча сабаблар борки, металл-яrimtутказгич структураларидағи қаршиликни идеал структуралардаги тарқалган қаршилиқдан фарқли бўлишига олиб келади.

Металл-яrimtутказгич орасида потенциал тўсиқ пайдо бўлса, яъни уларнинг чиқиш ишлари ҳар хил бўлган A_x/A_y ҳолда заряд ташувчилар билан бойиган ёки камбағаллашган қатлам ҳосил қиласди. Омик бўлмаган kontaktдан ток ўтганда, кучланишнинг тескари йўналишида потенциал тўсиқ соҳаси қатламишининг қаршилиги ортади, кучланишнинг тўғри йўналишида инжекция туфайли kontakt қаршилиги камаяди. Булар билан бир қаторда kontaktдан ток ўтганда kontakt соҳасининг қизиши, термо Э Ю К ҳосил бўлиши қаршилиknинг ўзгаришига олиб келади. Қаршилиknинг ўзгаришига олиб келадиган сабаблардан яна бирини кўрсатиш мумкин. Kontaktнинг кичик юзачага эга бўлиши ва kontakt соҳасида электр майдони кучланганилигини катта бўлишлиги ҳаракатчанликнинг камайишига, яъни қаршилиknинг ўзгаришига олиб келиши мумкин. Бу кўрилган ҳодисалар тарқалган қаршилиknни ҳисоблашда қабул қилинган яrimtутказгичнинг бир жинсли ва Ом kontaktли бўлсин деб қабул қилинган фаразлар-

нинг бузилишига олиб келади. Шунинг учун структуранинг тарқалган қаршилиги ҳақиқий қиймати (1.115) га мос тушади деб кутиш қийин.

Тарқалган қаршиликни кичик токларда ($10^{-7} \div 10^{-2} A$), кичик кучланишларда ($U=kT/e$) ўлчаш билан юқорида қайд этилган бაъзи бир ҳодисаларнинг таъсирини камайтириш-минимумга келтириш мумкин. Ҳисоблашларнинг кўрсатишича, кремний намуналарида зонд контакти радиуси 4 мкм, кучланиш $U \leq 15$ мВ бўлганда контакт соҳаси температурасининг ўзгариши $0,1^{\circ}\text{C}$ дан ортмайди, электр майдон кучланганлиги заряд ташувчилар ҳаракатчалигининг майдонга боғлиқлик соҳасидан кичик ($E < 10^3 \div 10^4$ В/см) бўлади. Юпқа, қаршилиги катта намуналарда сирт ҳолатлари ҳосил қўлган сирт ўтказувчанинг тарқалган қаршиликка таъсири қўйилган кучланниши камайтиргани билан йўқолмайди, шунинг учун ўлчангандек структура қаршилиги (1.115) дан фарқ қиласади. У ҳолда эмперик коэффициент $K(\rho)$ орқали ўлчангандек структура қаршилиги қўйидагича ифодаланади:

$$R_{\text{жн}} = K(\rho) \frac{\rho}{4r_0} \quad (1.116,6)$$

Бу ҳодисалар контакт радиусининг ҳақиқий қийматини тўғридан-тўғри аниқлаш мумкин эмаслиги, тарқалган қаршиликни солиштирма қаршилиги аниқ бўлган (эталон) намуналардан фойдаланиб даражалаш зарурятини туғдиради, яни, $R_{\text{жн}} = f(\rho)$ боғланишни топиш керак бўлади. Ўлчов натижалари аниқ ва такрорланувчан бўлиши учун солиштирма қаршилиги ўлчанаётган ва этalon намуналарнинг сирти бир хил ишловдан ўтиши ва унинг сифати сирт ишловининг маълум стандарт талабига жавоб бериши керак. Зонд манипулятори тузилиши ва зонд ўлчами kontakt юзасининг хар доим бирдай бўлишини таъминлаши керак. Кўп ҳолларда зондлар сифатида учиға осмийдан яримшар кўринишида қопланган қаттиқ материаллар, рутений қотишмаларининг симлари ишлатилади. Зондлар учидаги яримшар кўринишидаги осмийдан иборат пойнак (учлик)нинг радиуси 25 мкм чамасида бўлганда, kontakt радиуси тахминан 4 мкм ни ташкил этади. Пойнакка юқори аниқликда ишлов берилади. Кон-

такт хоссаларининг такрорланиши учун зондларга қўйилган кучланиш, яъни юза бирлигига қўйилган куч $10^2 + 10^4$ Н/см² оралиқда ўзгаради. Бунда зондга қўйилган юк бир хил сақланиши ва зондларни оҳиста тик кўтарилишига эришиш керак. Юқорида келтирилган босим зондлар намуна сиртидаги оксид қатламни тешишга етарли бўлган қониқарли Ом контакти ҳосил қиласади. Бу усул билан ажратилган муайян жойдаги, асосан қалинлиги бир неча контакт радиуси (r_0) га тенг бўлган қатламнинг тарқалган қаршилигини, яъни солиштирма қаршиликни ўлчаш мумкин. Фазовий ажратиш қобилияти тахминан контакт диаметри (10 мкм)га тенг. Солиштирма қаршилик ўлчанаётган соҳанинг ҳажми $10^{-10} + 10^{-11}$ см⁻³ тартибида бўлсин. Бу ҳолат кремнийда ва бошқа яримутказгич намуналарида солиштирма қаршиликнинг сирт ва қалинлик бўйича флюктуациясини ўрганишга имкон беради. Солиштирма қаршиликни ўлчащдаги хатоликлар яримутказгич билан зонд орасидаги масофани контакт ўлчамини ҳар хил бўлишидан, оксидланган қатламнинг (парданинг) қатнашишидан, контакт соҳасининг қизишидан, ҳаракатчанликнинг кучли электр майдонида камайиши билан содир бўлиши мумкин. Солиштирма қаршилиги катта намуналарда сирт соҳасида бўладиган ҳажмий заряд соҳасининг ва вақт бўйича сирт потенциалининг ўзгариши кучли таъсир кўрсатиши мумкин. Ҳар хил яримутказгичлар учун уларнинг сиртига ишлов бериш, намунани даражалашга тайёрлаш ва ўлчащдаги шарт-шароитларнинг таклифлари ишлаб чиқилган. Кремний намуналарини ўлчашга ва (колибрювка) даражалашга тайёрлаш учун куйидаги ишлов ўтказилиши тавсия этилади. Кремний намуналарини кесгандан сўнг калий ишқорида (КОН) 100°C да 10 минут қайнатиб, икки томонидан тахминан 15 мкм қатlam единиб юборилади, сўнг унга механик кимёвий сайқал бериб 25–35 мкм чамасида қатлам олиб ташланади, сўнг пероксид-аммиак эритмасида ювилиб, ҳавода 150°C да 15 минут ушланади. Шу усул билан ишловдан ўтган намуналарда ишонч эҳтимоллиги 0,95 бўлгани ҳолда қаршиликни ўлчащдаги хатолик 3,5% дан ошмайди. Бундан ташқари, кремний намуналарида яхши натижаларга эришиш учун кетма-кет икки технологик босқични ўз ичига олган ишлов кўлланилади: олмос пастаси АП–2 билан силлиқ-

орқали ҳисобга олинади. Бир жинсли бўлмаган намуна-ларнинг бир қатламли моделини кўрамиз. Энг содда кўри-нишдаги қатламда қалинлик бўйича солиштирма қарши-лик ҳар хил бўлса, берилган қалинликда у бир жинсли қатлам, структура эса икки қатламли структура деб қара-лади. Қалинлиги d , солиштирма ўтказувчанилиги σ_1 қат-ламда радиуси r_0 бўлган Ом контакти жойлашган (1.22-расм). Иккинчи қатлам тагликнинг юқори қатлами билан бир хил типдаги ўтказувчанликка эга бўлсин. Унинг ўтказувчанлиги σ_2 қалинлиги етарлича катта бўлсин, у ҳолда тагликни ярим чексиз намуна деб ҳисоблаш мум-кин бўлади. Юқори қатламдаги электр потенциали φ_1 таг-ликдаги φ_2 Лаплас тенгламасини қаноатлантиради. Бунда чегаравий шартни қўйидагича таърифлаш мумкин.

Металл-ярим ўтказгич контактида потенциал ўзгармас, қатламнинг юқори сиртида токнинг нормал ташкил этув-чиси нолга teng, қатлам билан таглик чегарасида ток ва потенциал узлуксиз бўлади. Бу шартлар қатлам ва таглик бир жинсли ва чегарада ҳажмий заряд йўқ деган фаразга тўғри келади. Бир жинсли бўлмаган намунанинг бир қат-ламли модели бўйича Лаплас тенгламасини ечиш билан қатламдаги ҳамда тагликдаги электр потенциаллар (φ_1 , φ_2) тақсимотини топиш ва улар асосида контактнинг тар-қалган қаршилигини тузатиш функцияси орқали ҳисоб-лаш мумкин. 1.226-расмда тузатиш функциясининг

$$f(K_1 d/r_0 = Ur_0 \sigma_1 R_{y_{\text{ин}}})$$

$K=\sigma_1 - \sigma_2/\sigma_1 + \sigma_2$ параметрнинг ҳар хил қийматларида d/r_0 нисбатга боғланиши келтирилган. Бу ерда: σ_1 — ўлчани-ши керак бўлган қатламнинг солиштирма ўтказувчанли-ги, σ_2 — қиймати аниқ бўлган тагликнинг солиштирма ўтказувчанлиги. $\sigma_1 = \sigma_2$ бўлганда $K=0$, намуна эса бир жинс-ли ярим чексиз ҳажмга эга бўлади. Шунинг учун

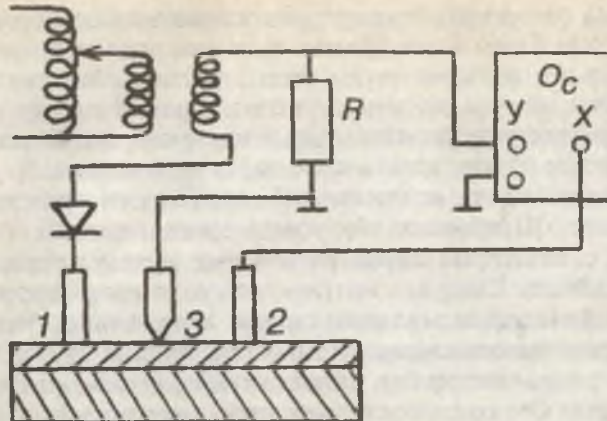
$$f(0, d/r_0) = 1$$

бўлади. Агар $r_0 > d$ бўлса, қатламнинг ва тагликнинг со-лиштирма ўтказувчанликлари бир-биридан катта фарқ-ланса, тузатиш функциялари бирдан жуда кўп фарқ қила-ди. Агар контакт радиуси қалинликдан кичик бўлса ($r_0 < d$),

тузатиш функцияси ўтказувчанликларнинг исталган қийматларида бирга яқин бўлади. Солиширма қаршиликни тарқалган қаршилик усули билан ўлчашда бир жинсли бўлмаган намуналар учун тузатиш функциясини киритиш ва электрон ҳисоблаш машиналарида ҳисоблаш билан боғлиқ бўлган қийинчиликларга қарамасдан, бу усул қалинлик бўйича солиширма қаршиликни аниқлашда кулайдир. Шунингдек, бу усулда қатлам қалинлиги ва унинг солиширма қаршилигига оид муҳим чеклашлар мавжуд эмас. Юқорида келтирилган солиширма қаршиликни ўлчашдаги мулоҳазалардан кўринадики, уларни ўлчашдаги хатоликларнинг энг катта ташкил этувчилари контакт юзасини ҳар бир ўлчашда тақрорланмаслиги, контактларни Ом контакти бўлмаслиги, сирт ишловига боғлиқлиги, ҳажмий заряднинг таъсири билан боғлангандир.

1.9-§. Солиширма қаршиликни металл-яримўтказгич нуқтавий контактининг тешилиш кучланиши бўйича ўлчаш усули

Солиширма қаршилиги ρ таглиқникидан катта бўлган эпитаксиал қатламларда (pp^+ , pr^+ — структураларда) солиширма қаршилик металл-яримўтказгич нуқтавий контактининг (диоднинг) тешилиш кучланиши орқали аниқланиши мумкин. Усулни бир жинсли намуналарга, pP^+ , r^+r , $p-n$ эпитаксиал структураларга ҳам қўллаш мумкин. Лекин уни метрологик курсаткичлари бошқа усулларга нисбатан пастроқ бўлгани учун сўнгти туркум намуналарда ρ — ни ўлчашга кенг қўлланилмади. Кўрилаётган усул билан ρ — ни аниқлашда намуна сиртига учта зонд жойлаштирилади (1.23-расм). Зонд материалининг шакли шундай танланиши керакки, бунда 1 ва 2-зондлар контактлари Ом kontaktига яқин бўлиб, kontakt қаршилиги кичик бўлсин, 3-зонд эса kontakt яримўтказгич билан нуқтавий диод ҳосил қўлсин. 1 ва 3-зондларга кутбланиши диоднинг тескари йўналишига мос келадиган пульсацияланувчан кучланиш берилади, 2 ва 3-зондлардан кучланиш, R — қаршилик ёрдамида диоддан ўтаётган ток ўлчанади. Диоднинг вольт-ампер характеристика (тавсифи)си кириш қаршилиги катта бўлган осциллографда кўрилади ва тे-



1.23-расм. Металл-яримұтқазғычли структураларда нүктавий контактнинг тешілиш күчланиши бүйіча солишиштірма қаршиликтікни ўлчаш схемасы (а), ВАХни тескари күчланиш соҳасы (б).

шилиш күчланиши соҳасидаги бурилиш нүктаси қайд қилинади ($U_{\text{теш}}$). Зондниң құллаш билан 1 зонд контакт қаршилигининг таъсири йүқтолади.

Амалий тадқиқоттар нүктавий диоднинг тешілиш күчланиши күп омилларга, масалан, тешілиш күчланишининг үтказувчанлик типига, зондга қойылған күчланишга (босим күчига), контакт юзасиға, сирт ишловига боғлиқлигини күрсатади. Бу боғланишларни мукаммал ёриттан нүктавий диод назарияси ва тешілиш күчланишини солишиштірма қаршиликтік билан боғлаган аналитик ифодаси йүқ. Демак, күрилаётган усул билан ρ ни түргидан-түгри ўлчов үтказиш орқали аниқладаб бўлмайди. Шу сабабли ρ ни аниқлашда солишиштірма қаршиликлари маълум бўлган (этalon) намуналар ёрдамида $U_{\text{теш}} = f(r)$ боғланишни даражалаш графиги олиниб, ундан фойдаланиш тақозо этилади. Яримұтқазғычлар солишиштірма қаршилиги 0,1 дан 10 Ом. см гача бўлган оралиқда нүктавий диодларда тешілиш күчланишининг ρ га боғлиқлик (даражалаш) графиги

$$U_{\text{теш}} = A\rho^b \quad (1.117)$$

қүринишида ифодаланади. Бу ерда: A , b — яримұтказгич, зонд материалларига ва бир қанча қоқорида келтирилған омилларга боялық коэффициентлар. Солиширма қаршилиги $0,08 \leq \rho \leq 4$ Ом. см бұлган n -тип кремний намуналар билан вольфрам зонди ҳосил қылған нұқтавий диодда тешилиш күчланиши күйидаги күринища ҳисобланади:

$$U_{\text{теш}} = 92\rho^{0.57} \quad (1.118)$$

Бу боғланиш 1 ва 2 зондларга диаметри 250 мкм, 3 зондга эса диаметри 60 мкм бұлған вольфрам құллаш билан олинған. Усулни кремний эпитаксиал структураларига құллаш бүйіча ұтказилған текширишларға құра эпитаксиал қатламларда ишончли натижалар олиш учун қатламнинг солиширма қаршилиги $0,1 \leq \rho \leq 1$ Ом. см оралиқда бұлишлігі, қалинлігі 5 мкм дан кам бұлмаслігі мақсадға мувоғидир. ρ нинг қуи чегараси ВАХни тешилиш соқасидаги күринишининг ёмонлашиши, яғни тешилиш соқасида бурилишнинг аниқ намоён бұлмаслігі билан, қоқори чегараси катта тескари күчланишда тәглилкә томон силжиб, қатлам орқали тешилиши билан тушунтирилади. $n-n^+$ эпитаксиал структураларда n -қатламнинг солиширма қаршилигини аниқлашда даражалаш графиги

$$U_{\text{теш}} = 68,39 + \rho^{0.536} + 21,23\rho^{0.877} \quad (1.119)$$

күринища ифодаланған мұносабатдан фойдаланиш тавсия этилади. Зонд материалларининг $U_{\text{теш}} = f(\rho)$ га таъсирини үрганишда пұлат, вольфрам, осмий құлланилған. n -тип кремнийда зонд материалларининг таъсири катта әмаслігі аниқланған. Зонддаги босим күчининг тешилиш күчланишининг қыйматига таъсири күчлироқдир. Босим күчини 10 г дан 100 г гача үзгариш эталон монокристалл намуналарда 10%, эпитаксиал қатламларда 20% камайишга олиб келған. Кремний намуналаридаги қониқарлы натижалар зондға 50 г күч құйилғанда учининг диаметри 250 мкм бұлған осмий зонд құллаш билан олинған. Эпитаксиал қатламларда оғиш бурчаги 1° бұлған қия текислик ҳосил қылған, солиширма қаршиликнинг қалинлік бүйіча тақсимотини үрганиш мүмкін. Иккі ҳаfta-

гача сақланган намуналарда ўзгармас ток билан ВАХ ни ўлчаш құлланилғанда натижаларнинг такрорланиши 5%, қисқа мүддатда сақланган намуналарда 1% га етади. nn^+ , pp^+ — эпитаксиал қатлам солиширма қаршилигини аниқлашда нүктавий диод ҳосил құлувчи зондга вольфрам, Ом контактлари ҳосил құлувчи зондларга пұлат лезвия құлланилған. Зондга босим кучи 1 г дан 10 г гача ўзгарғанда даражалаш графиги

$$U_{\text{теш}} = rE_{\max} + \frac{r}{2\epsilon\epsilon_0\mu\rho_0} \left[2 - \sqrt[3]{r(3\epsilon\epsilon_0\mu\rho E_{\max} + r)^2} \right] \quad (1.120)$$

назарий муносабат билан аниқланиши күзатылған. Бу ерда: $E_{\max} = 210 \text{ кВ/см}$; $\epsilon = 16$; $r = 13 \text{ мкм}$; μ — ҳаракатчанлик. Сирті охирги босқичда 5г $HF + 8\text{г} HNO_3 + 15\text{г} CH_3COOH$ — кислоталар аралашмасыда кимёвий сайқалланған, солиширма қаршилиги тұрт зондли усул билан ўлчанды германий намуналари ёрдамида даражалаш графиги олинған. $\rho = 15\%$ гача хатолик билан ўлчанды бу усулнинг хатолиги, даражалаш графигини олишдаги хатоликлардан иборатдир. Арсенид галийли nn^+ , pp^+ эпитаксиал структураларда қатламнинг солиширма қаршилигини, монокристалл намуналар солиширма қаршилигини ўлчаш учун диаметри 3 мм бұлған карбид вольфрам тәйекчадан учи 30° бурчак остида, диаметри 225 мкм гача чархланған зонд ишлатылып, унга құйилған босим кучи 200 дина бұлған ҳолда олинған даражалаш графиги намунада заряд ташувчиларнинг концентрацияси $10^{15} \leq n \leq 10^{19} \text{ см}^{-3}$ гача бұлған ораплиқда ўзгарғанда

n — тип $GaAs$ учун $U_{\text{теш}} = 100(n/10^{15})^{-0.372}$

p — тип $GaAs$ учун $U_{\text{теш}} = 75(p/10^{15})^{-0.338}$

билан аниқланиши күрсатылған. Даражалаш графиги 6 тадан Холл контакти олинған ва улар орқали n , p — аниқланған намуналар ёрдамида аниқланған.

Усулнинг хатоликлари тұғрисида қисқача тұхталамиз. Усулнинг асосий хатоликлари иккى омил билан тешилиш күчланишини ўлчашдаги ва этalon ҳамда текшириладиган намуналар сиртининг ишлови бир хил бұлмаслигидан ҳосил бұлған хатоликлар билан аниқланади. $U_{\text{теш}}$ ни аниқ ўлчаш учун ВАХ нинг тешилиш соҳасидаги бу-

рилиши кескин бўлиши керак. Бунга зонд, яримутказгич материалларини, зондлар шаклини, унга қўйилган босим кучини танлаш билан эришилади. Потенциал тусиқ ҳосил қўйилган контактнинг қаршилиги катта бўлиши керак. Зондлар уни диаметри $25+100$ мкм оралиқда бўлади. Зондга қўйилган босим ошиши билан ρ камаяди. Босим кучи ортганда, зонд учларининг эластик ва пластик деформацияланиши туфайли, уларнинг контакт юзаси катталашади ва натижада тешилиш кучланишининг камайишига олиб келади. Зонд контакт юзаларининг такрорланмаслиги билан боғлиқ тасодифий хатоликларни камайтириш учун потенциал тусиқ ҳосил қиласидаган зонд-қаттиқ металл ёки қаттиқ қотишмалар, масалан, вольфрам, карбид-вольфрам, пўлат, осмий, родийлар ишлатилади.

Ўлчаш ва даражалаш пайтида зондларга қўйилган босим кучлари бир хил қилиб олинади: оқибатда, ўлчов натижаларининг бир-бирига яхши яқинлашиши таъминланади. Ўлчов зондига (нуқтавий диодга) қўйилган оптималь кучланиш $0,2-0,4$ Н оралиғида ётади, ёрдамчи контакт қаршилигининг $U_{\text{теш}}$ га таъсирини камайтириш учун уларга қўйилган босим кучи 0,5 дан 1 Н гача ортирилади, ўлчаш пайтида потенциал тусиқ соҳасида 1 Вт гача қувват ажрапиши мумкин ва у контакт соҳасининг кучли қизишига олиб келиши мумкин. Шунинг учун тешилиш кучланишининг қиймати ўлчаш усулига боғлиқ. Контактда ажраладиган қувватни камайтириш учун ўлчовни импульс режимда ўтказиш тавсия этилади. Импульс давомийлигининг камайиши билан U_T ортади. Тасодифий ва мунтазам хатоликлар этalon намуналар билан текшириладиган намуналар сиртининг ишловига боғлиқ. Одатда даражалаш графиги пластина шаклидаги монокристалл намуналарда ўтказилади, шунинг учун уларнинг сирти механик ёки кимёвий усул билан сайқалланади, эпитаксиал қатламда эса сирт ҳеч қандай ишловдан ўтмайди. Этalon намуна сиртини эпитаксиал қатлам сиртига яқинлаштириш учун HCl бугида едириш тавсия этилади, бу билан эталондаги сирт ишлов технология жараёни эпитаксиал қатлам ўстириш жараёнiga яқинлаштирилади.

Тажрибада кузатилган даражалаш графигини ифодаловчи (1.117) формулада коэффициент (b) нинг 0,51 дан 0,66

гача ўзгариши ўлчаш натижаларига таъсир қилувчи кўп омиллар билан тушунтирилади, шунинг учун усулнинг хатолиги тўғридан-тўғри ρ ни ўлчаш усулларига нисбатан катта. Кўпгина муаллифларнинг курсатишларича, у 10% дан 70% гача етади. Статистик текширишлардан маълум бўлишича, усулнинг тасодифий хатолиги ишонч эҳтимоллиги 0,95% бўлганда солиштирма қаршилиги $\rho=0,1 \text{ Ом} \cdot \text{см}$ намуналарда 54%, $\rho=1,0 \text{ Ом} \cdot \text{см}$ учун 40%, $\rho=5 \text{ Ом} \cdot \text{см}$ учун эса 70% га teng.

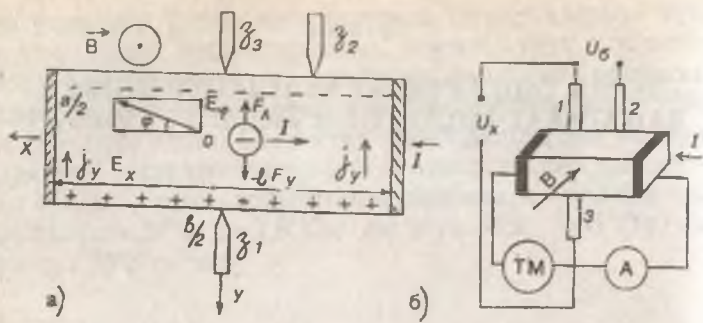
ЗАРЯД ТАШУВЧИЛАР КОНЦЕНТРАЦИЯСИ ВА ҲАРАКАТЧАНЛИГИНИ ЎЛЧАШ УСУЛЛАРИ

Эркин заряд ташувчилар (электронлар, каваклар) концентрацияси (n , p)ни ва ҳаракатчанлик (μ_p , μ_n)ни ўлчашнинг бир қанча усуллари мавжуд. У ёки бу усульнинг қўлланисиши уларнинг метрологик характеристикасига, ўлчанаётган параметрларни тушунтириш маълумотларга бойлиги, ўлчаш усулларининг физик асослари, намунанинг электрофизик хоссалари, геометрик шакли ва ўлчамларига боғлиқ. Ўлчаш усулини танлашда булардан ташқари ускуналарнинг техник мураккаблиги, физик катталикларни ўлчашдаги хатоликларни назарда тутиш керак. Заряд ташувчилар концентрацияси ва ҳаракатчанлигини ўлчаш усуллари ичидаги тарқалгани Холл эфектига асосланган усулдир. Бу усул билан яримўтказгич намунада μ_p ни ўлчашдан ташқари, электр ўтказувчаник типини ҳам аниқлаш мумкин. Заряд ташувчилар концентрацияси ва ҳаракатчанлигини температурага боғлиқлигини ўлчаб, тақиқланган зона кенглигини, киришмаларнинг маҳаллий энергетик сатҳлари, ионизация энергияси, киришма атомларнинг концентрацияси ва заряд ташувчиларнинг сочилиш механизмларини аниқлаш мумкин.

2.1-§. Холл эфекти ёрдамида заряд ташувчиларнинг концентрацияси ва ҳаракатчанлигини ўлчаш усуллари

a) Холл электр юритувчи кучи

Холл эфекти яримўтказгич намуналарда уларга электр ва магнит майдонларининг бир вақтдаги таъсиридан вужудга келади. ҳ ўқи йўналишида (намуна бўйи бўйлаб)



2.1-расм. Холл электр юритувчи кучининг пайдо булишини тушинтиришга чизма (а) ва Холл эффектини үлчаш схемаси (б)

оқаётган параллелепипед шаклидаги намунани унга тик z ўқи бўйича йўналган магнит майдонига киритганда, намунада магнит ҳамда ток I йўналишига тик бўлган у ўқи йўналишида кўндаланг электр юритувчи куч (ЭЮ К) ҳосил бўлишига Холл эффекти деб аталади (2.1-расм). Бу эффектининг моҳиятини қисқача кўриб чиқайлик. Узунлиги a , эни b , қалинлиги d бўлган намуна берилган бўлсин. x ўқи бўйича I ток ўтаётган намунани z ўқи бўйича йўналган магнит майдонига тик қилиб ўрнатганда x — ўқи бўйича $V_x = -\mu_n E$ ўртacha дрейф тезлик билан ҳаракатланаётган электрон Лоренц кучи

$$F = -e[V_x B] \quad (2.1)$$

таъсирида x ва z ўқларига тик бўлган y — ўқи йўналишига бурилади (офади). Электрон ва кавакларнинг дрейф тезликларининг йўналиши ва заряд ишоралари ҳар хил бўлгани учун улар намунанинг фақат бир томонига оғади. Шундай қилиб, намунада y — ўқи йўналишида кўндаланг

$$I_y = I_{xy} + I_{py} \quad (2.2)$$

ток пайдо бўлади. Намунанинг y — ўқи йўналишидаги үлчами чекланган ҳолда I_y — ток намуна устки сиртида (расмда келтирилган ҳол учун) заряд ташувчиларнинг тўпланишига, остки қисмида эса уларнинг ишораларига

тескари ишорали етишмаган зарядлар түпланишига олиб келади. Натижада намунанинг остики ва устки томонлари қарама-қарши зарядланади ва кўндаланг Холл электр майдонининг ошиб бориши унинг заряд ташувчиларга (электрон ёки кавакка) таъсир кучи ($F = eE$) Лоренц кучига ва кўндаланг I — ток нолга тенг бўлгунча давом этади. Натижавий электр майдон кучланганлиги (\vec{E}) x — ўқига нисбатан магнит майдон индукцияси B_z га пропорционал бўлган Холл бурчакка оғади

$$\operatorname{tg} \psi_H = \frac{E_x}{E_z} = \mu_H \cdot B_z \quad (2.3)$$

бу ерда: μ_H — ҳаракатчанлик бирлиги билан ўлчанадиган пропорционаллик коэффициенти. У Холл ҳаракатчанлиги деб юритилади. Заряд ташувчиларнинг Холл ҳаракатчанлиги электр ўтказувчанликни ($\sigma = e\mu_H$) аниқловчи микроскопик ҳаракатчанликдан фарқ қиласи. Қаттиқ жисмларда кинетик ҳодисаларнинг назариясига кўра бу ҳаракатчанликлар

$$\mu_{nH} = e\langle\tau^2\rangle/\mu_e\langle\tau\rangle; \quad \mu_n = \frac{e\langle\tau\rangle}{m_e} \quad (2.4)$$

ифодалар билан аниқланади. Бу ерда: τ — заряд ташувчиларнинг релаксация вақти, μ^* — заряд ташувчиларнинг **эффектив массаси**, $\langle\tau\rangle$, $\langle\tau^2\rangle$ — релаксация вақти ва унинг квадратини заряд ташувчилар энергияси бўйича ўрталаштирилган қиймати. Бу ифодалардан кўринадики, μ_{nH} ва μ_n ҳаракатчанликларни фарқли бўлиши релаксация вақтининг энергия бўйича ҳар хил усул билан ўрталаштирилиши экан. Холл тажрибадан кучсиз магнит майдонда Холл электр майдон кучланганлиги ($E_H = E_y$) ни кўйидаги эмперик формула билан аниқланишини кўрсатди:

$$\vec{E}_y = \vec{E}_H = R_H [j_x \vec{B}] \quad (2.5)$$

Бу ерда: j_x — ток зичлиги, R_H — намуна хоссасига боғлиқ Холл доимийси, \vec{B} — магнит майдон индукцияси вектори. (2.3) ва (2.5) формулалардан

$$j_x R_H = \mu_H E_x \quad (2.6)$$

тенгликтин оламиз. Намуна n — типли яримүтказгич бўлганда, ток зичлиги ифодаси $j_x = \sigma E = e\mu_n n E_x$ ни (2.6) га кўйиб, Холл доимийсининг

$$R_{nH} = \frac{\mu_{nH}}{en \mu_n} = \frac{r_n}{en} \quad (2.7)$$

кўринишдаги ифодасини оламиз. Худди шунга ўхшаш p — тип ўтказувчанликка эга бўлган яримүтказгичларда Холл доимийси куйидагича бўлади:

$$R_{pH} = \frac{\mu_{pH}}{ep \mu_p} = \frac{r_p}{ep} \quad (2.8)$$

Бу ерда: n, p — мос равища электрон ва кавак концентрацияси, r_n, r_p мос равища электрон ва кавакнинг Холл омиллари бўлиб, Холл ҳаракатчанликларининг дрейф ҳаракатчанликларига нисбати $r_n = \frac{\mu_{nH}}{\mu_n}, r_p = \frac{\mu_{pH}}{\mu_p}$ билан ифодаланадилар ва улар $\langle \tau^2 \rangle / \langle \tau \rangle^2$ га тенг бўлган катталик билан аниқланади. r нинг қиймати заряд ташувчи-ларнинг сочилиш механизмига боғлиқ бўлиб, заряд ташувчи-ларнинг релаксация вақтини, уларнинг энергияга боғланиш функциясини кўрсатади. Содда зонали айни-маган яримүтказгичларда заряд ташувчилар кристалл панжаранинг иссиқлик тебранишида сочилса, Холл фактори $r = r_n = r_p = 3\pi/8 \approx 1,17$ га, ионлашган киришма атомларида сочилса, $r = 1,93$ га, нейтрал атомларда сочилса, $r = 1$ га тенг бўлади.

Ўтказувчанликка икки хил заряд ташувчилар: электрон ҳамда кавак қатнашса, Холл доимийси куйидаги ифода билан аниқланади:

$$R_H = \frac{r_n \mu_n^2 n - r_p \cdot p \cdot \mu_p^2}{(en \mu_n + ep \mu_p)^2} \quad (2.9)$$

Шундай қилиб, заряд ташувчилар концентрацияси ва ҳаракатчанлигини аниқлаш учун солиширма қаршилик-ни (ёки ўтказувчанликни) ва Холл доимийсini ўлчаш керак. Бу ўлчовни ўтказиш (216-расмда келтирилган ҳол) учун юқори сиртига иккита зонд (1 ва 2), пастки қисмiga зондлардан бирининг қаршисига 3-зонд жойлаштирилди. 1 ва 3 зондлар орасидаги потенциаллар айирмаси орқали Холл электр юритувчи кучини, 1 ва 2 зондлар орқали U_H — намунанинг бир қисмидаги кучланишнинг тушуви ўлчанади. Холл электр майдон кучланганлиги $E_x = U_H/b$ ва ток зичлиги $j_x = I_x/bd$ га teng бўлганлигини ҳисобга олган ҳолда (2.5) формуладан Холл зондлари орасидаги потенциаллар айирмаси, яъни Холл кучланиши тушуви

$$U_H = R_H I_x B_z / d \quad (2.10)$$

ифода билан аниқланади:

$$R_H = \frac{U_H d}{I_x B_z}; \quad \left[\frac{m^3}{A \cdot T} \right] \quad (2.11a)$$

Агар (2.10) га кирган катталиклар кучланиш, ток кучи, узунлик, магнит майдони индукцияси СИ системасида (Вольт, Ампер, Теслада) ўлчанса, Холл доимийси R_H бирлиги m^3/Kl бўлади ва (2.11a) формула билан ҳисобланади. Агар магнит индукцияси Гаусса ($I=10^4 \text{ Гс}$), узунлик сантиметрда ўлчанса, Холл доимийсининг бирлиги $\text{см}^3/Kl$ бўлади ва у

$$R_H = 10^8 \frac{dU_H}{I_x B_z}; \quad [\text{см}^3/Kl] \quad (2.11b)$$

билин ҳисобланади. Юқорида кўрилган Холл эфекти узун $a > b$, d намуналарда ўринли. Чунки бунда, физик мулоҳазаларга кўра, намунанинг марказий қисмida ток зичлиги j_z ва майдон кучланганлиги x га боғлиқ бўлмайди. j_z ва E_x лар у координатага боғлиқ эмас. Намунанинг узунлик бўйича ўрта қисми бир жинсли бўлади. $y = \pm b/2$ сиртлар-

да тұпланған зарядлар намуна күндалаң кесимига үтка-
зилған Ом контактлари орқали оқа бошлайди. Ток үта-
диган Ом контактлари соҳасига яқын жойда x бүйіча бир
жинсли бұлмаган электр майдон күчланғанлыгынинг пайдо
бўлишига олиб келади. Бу соҳада Лоренц кучи Холл май-
дони билан тенглаша (мувозанатлаша) олмайди, у ўқи
бүйіча ташкил этувчиси $j_y \neq 0$ бўлади. Бу соҳанинг кенг-
лиги эса $(1+1,5)b$ га тенг. Ўлчов зондлари шу соҳадан
ташқарида бўлганда (2.10) ва (2.11) формулалар ўринли
бўлади. Бу уни $a \geq 3b$ бўлган намуналарга қўллаш мумкин
деган сўздир. Акс ҳолда E_y ва U_H ларнинг заряд оқиши
билан боғлиқ бўлган камайишини ҳисобга олишга тўғри
келади. Кичик магнит майдонда $\mu_B \ll 1$ Холл зондлари 1
ва 3-намунанинг ўртасида ($x=0$ да) жойлашган бўлса, Холл
Э Ю К

$$U_H = \frac{a}{b} \Phi \left(\frac{a}{b} \right) R_H \cdot \frac{IB}{d} \quad (2.12)$$

формула билан топилади. Ҳисоблашларнинг кўрсатиши-
ча, 0,7% дан кичик католик билан ўлчангандага $\Phi(a/b)$ ни
куйидаги формула билан аниқлаш мумкин:

$$\Phi(\alpha) = \Phi \left(\frac{a}{b} \right) = 0,742 \ln \left[\frac{\alpha(1 + \alpha/2\pi)}{0,742} \right] \quad (2.13)$$

б) Холл эфектини билан бир вақтда содир бўладиган —
(ҳамроҳ) эфектлар

Холл эфектини ўлчашда назорат қилиб бўлмайдиган
мунтазам (систематик) ва тасодифий хатоликлар манбаи
бўлган, ўлчов натижаларини хатоликка олиб келувчи бир
қанча эфектлар (ҳодисалар) пайдо бўлади. Буларга ку-
йидагиларни кўрсатиш мумкин:

Эттенгаузен эфекти. Намунадан магнит майдон
йўналишига тик бўлган йўналишда ток ўтганда улар-
га тик бўлган йўналишда температура градиентининг пай-
до бўлишига Эттенгаузен эфекти деб юритилади. Агар
ток x ўқи, магнит майдони z ўқи бүйіча йўналган бўлса,
у ўқи бүйіча пайдо бўлган температура градиенти магнит

майдон индукцияси B га, ток зичлиги j_x га пропорционал:

$$\nabla T_s = \frac{\partial T}{\partial y} = -K_s j_x B_z \quad (2.14)$$

Бу ерда: K_s — Эттенгаузен коэффициенти.

Магнит майдони тезлиги ўргача тезликдан катта “иссиқ” заряд ташувчиларга (электрон ёки кавак) каттароқ куч билан таъсир этади, тезлиги ўргача тезликдан кичик бўлган “совуқ” заряд ташувчиларга эса таъсир кучи кичикроқ бўлади. Маълумки, Холл электр майдонининг электронга (кавакка) таъсир кучи ўргача тезликка эга бўлган электронга (кавакка) магнит майдонининг таъсир кучини, яъни Лоренц кучини компенсациялай олади ва натижада улар оғмасдан x ўқи бўйича ҳаракатланади. Шунинг учун магнит майдон таъсирида заряд ташувчиларнинг тезлик бўйича ажралиши юзага келади. “Иссиқ” заряд ташувчилар (2.1-расм) юқори томонга, “совуқ” заряд ташувчилар пастки томонга оғади. Заряд ташувчилар билан кристалл панжара орасида энергия алмашинуви туфайли, “иссиқ” заряд ташувчилар тўпланган томон кристалл панжаранинг мувозанатдаги ҳолатига нисбатан исийди, “совуқ” заряд ташувчилар тўпланган томони совийди ва намунада кўндаланг температура градиентининг пайдо бўлишига олиб келади. Эттенгаузен эффектининг ишораси ҳам Холл эффекти каби майдон ва ток йўналишига боғлиқ. Кўндаланг температура градиенти ҳосил қилган Зеебек эффекти туфайли вужудга келган Эттенгаузен термоэлектр юритувчи кучи, яъни Эттенгаузен кучланиши ҳар доим Холл кучланишига қўшилади. Уни ток ёки магнит майдон йўналишини ўзгартириш билан ажратиб бўлмайди;

Нерист-Эттенгаузен эффекти x ўқи бўйича температура градиенти бўлган намунани x ўқига тик z ўқи бўйича йўналган магнит майдонига жойлаштирилганда буларга тик бўлган y ўқи бўйича намунада кўндаланг потенциаллар айирмасининг пайдо бўлишига Нерист-Эттенгаузен эффекти дейилади. Температура градиенти натижасида намунада иссиқ томондан совуқ томонга диф-

фузияланувчи заряд ташувчиларга магнит майдонида Лоренц кучи таъсир этиб, уларни бир томонга оғдиради. Бунинг оқибатида магнит майдон индукцияси \vec{B} га ва температура градиенти $\nabla_x T$ га пропорционал бўлган кўндаланг потенциаллар айирмаси — кучланиш пайдо бўлади.

$$U_{Nz} = A_{Nz} \cdot \nabla_x T \cdot B_z \cdot b \quad (2.15)$$

Бу ерда: A_{Nz} — Нернст-Эттенгаузен коэффициенти, b -у ўқи йўналишидаги намуна ўлчами. Нернст-Эттенгаузен эффициентининг ишораси магнит майдон йўналиши ўзгариши билан ўзгаради, у ток йўналишига боғлиқ эмас;

Риги-Ледюк эффициенти x ўқи бўйича температура градиенти бўлган намунани унга тик магнит майдони \vec{B} га жойлаштирилганда Лоренц кучи таъсирида диффузияланувчи заряд ташувчилардан “иссиқ” заряд ташувчилар бир томонга, “совуқ” заряд ташувчилар иккинчи томонга оғади (бурилади) ва натижада уларнинг қристалл панжара билан энергия алмашинуви туфайли, Эттенгаузен эффициента ўхшаш кўндаланг у — ўқи бўйича температура градиенти пайдо бўлади:

$$\nabla_x T = A_{xz} \nabla_x T B_z \quad (2.16)$$

Бу намунадаги кўндаланг температура градиенти Холл зондлари орасида қўшимча потенциаллар айирмасини U_{Kz} вужудга келтиради. Бу ҳодиса Риги-Ледюк эффициенти деб юритилади. U_{Kz} нинг ишораси магнит майдон йўналишига боғлиқ бўлиб, ундан оқаётган ток йўналишига боғлиқ бўлмайди;

Кўндаланг магнит қаршилик эффициенти (магнитосопротивление).

Юқорида кўрдикки, ўртача тезлик билан ҳаракатланадётган заряд ташувчиларга Лоренц кучи таъсир этмайди, чунки Холл электр майдони уни компенсациялади. Шунинг учун уларнинг магнит майдонида траекторияси ўзгармайди. Лекин заряд ташувчилардан тезликлари ўртача тезликдан катталари ҳамда кичиклари E майдон йўналишига нисбатан икки томонга оғади. Уларнинг ҳаракат

тезлиги электр майдони E_x бүйича камаяди деб қарааш намуна қаршилигининг ошиши деб қарааш билан бир хил. Бу күндаланг магнитоқаршилик эффекти деб аталади. Магнит майдонида солиштирма қаршиликтин нисбий үзгариши кичик иккинчи тартибли функция билан боғланган бўлиб,

$$\frac{\Delta\rho}{\rho} = (\mu_H B)^2 \quad (2.17)$$

билин аниқланади. Шунинг учун кичик магнит майдонида ($\mu_H B \ll 1$) ўлчанаётган солиштирма қаршиликтин күндаланг магнитоқаршилик эффекти таъсирини эътиборга олмаса ҳам бўлади;

Холл зондларининг ноэкви потенциал сиртларда жойланishi. Холл Э Ю Кига таъсир этадиган яна бир омил сифатида Холл электродларини ноэкви потенциал сиртга жойлашганда ҳосил бўладиган кучланиш U_0 ни кўрсатиш мумкин. Бу кучланиш 1 ва 3-зондлар силжиган қисмининг қаршилигига, намунадан ток ўткандаги кучланишнинг тушувига teng бўлади. U_0 Холл кучланишига қушилиши ҳам, айрилиши ҳам мумкин. Унинг ишораси фақат ток йўналишига боғлиқ. Юқорида ёритилганлардан кўринадики, Холл кучланишини аниқ ўлчаш учун кўрилган эффектларни инобатга олиш зарур экан.

2.2-§. Холл Э Ю Кини ўлчаш усуслари

а) Ўзгармас ток ва ўзгармас магнит майдони ёрдамида Холл кучланишини ўлчаш

Бу Холл электр юритувчи кучини ўлчашнинг энг содда ва кенг тарқалган усулидир. Параллелепипед шаклидаги намунани ўзгармас ток манбаига улаб, ундан ток ўтказилади. Намуна ўзгармас магнит ёки электромагнит қутблари орасига киритилади. Холл эффектини кичик магнит майдонда ўлчаш учун магнит майдон индукцияси 1 Теслагача олинади. Магнит қутблари орасидаги масофа ни ёки электромагнитда ундан оқаётган токни ўзгарти-

риб, магнит майдон индукциясининг исталган қиймати-ни олиш мумкин. Магнит майдон уланганда, унинг таъсирида қаршиликнинг ўзгариши намунадан ўтгаётган токни ўзгартирмаслиги учун, ток манбанинг чиқиш қаршилиги катта бўлиши керак. Намунадан оқаётган токни амперметр билан ёки кетма-кет уланган қаршиликдаги кучланишни ўлчаш орқали аниқлаш мумкин. Холл электр юритувчи кучи намунанинг тегишли томонига жойлаштирилган (қисиб қўювчи) контактлар ёки нуқтавий зондлар билан ўлчанади. Ўлчов натижалари катта ишончга эга бўлиши учун, кўп ҳолларда, кавшарланган (қалайланган) ёки пайвандланган контактлар ишлатилади. Холл контактларининг юзаси катта бўлиб қолиши намунада ток тақсимотининг бузилишига ва намунанинг шунтланишига олиб келиши мумкин. Бу юқори Ом ли намуналарда айниқса муҳимдир. Контактлар қаршилигининг ўлчов натижаларига таъсирини йўқотиш учун зондлар орасидаги кучланиш одатда ички қаршилиги катта бўлган вольтметр-электрометрларда компенсация усули билан ўлчанади. Холлoeffекти билан бирга содир бўладиган, юқорида кўрилган ҳодисаларни ҳисобга олганда, Холл электродлари (1 ва 3) да ўлчангандан кучланиш Эттенгаузен, Нернст-Эттенгаузен, Риги-Ледюк эфектлари ҳосил қилган кучланишлар ҳамда Холл зондларининг бир-бирига нисбатан силжишидан ҳосил бўлган ноэквипотенциал кучланишлар йигиндиндисидан иборат бўлади. Бу натижавий (йигинди) кучланишдан Холл кучланишини ажратиш учун магнит майдон ўйналишини икки марта ўзгартириб, турт бора ўлчов ўтказилади. Бунда ўлчангандан кучланиш қуйидагича бўлади:

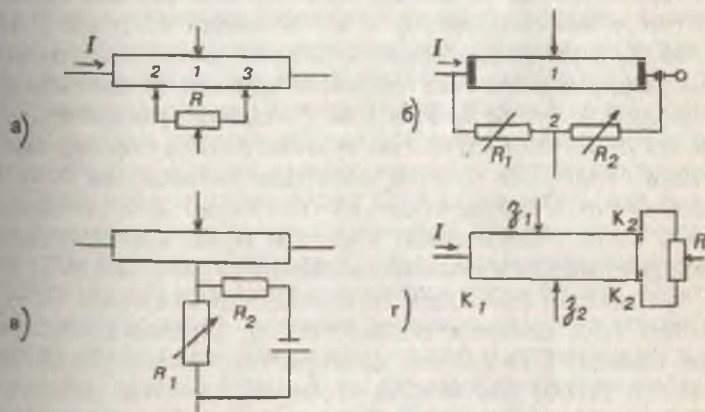
$$\begin{aligned}
 I+; B+ & U_1 = U_H + U_\Theta + U_{N\Theta} + U_{RZ} + U_0 \\
 I-; B+ & U^2 = -U_H - U_\Theta + U_{N\Theta} + U_{RZ} - U_0 \\
 I-; B- & U_3 = U_H + U_\Theta - U_{N\Theta} - U_{RZ} - U_0 \\
 I+; B- & U_4 = -U_H - U_\Theta - U_{N\Theta} - U_{RZ} + U_0
 \end{aligned} \tag{2.18}$$

Бу турт ўлчов асосида қуйидаги

$$U_H + U_3 = \frac{(U_1 - U_2) + (U_3 - U_4)}{4} \quad (2.19)$$

ифодани оламиз. Бундан күринадики, Холл ва Эттенгаузен кучланишларининг ишоралари бир хил бўлгани учун Холл кучланишида қўшимча Эттенгаузен кучланиши сақланади. Колган эфектларнинг Холл кучланишига таъсирини йўқотиш мумкин экан.

Шуни эслатиб ўтиш керакки, намунадаги бўйлама температура градиенти ишораси ток йўналишига боғлиқ бўлса (масалан, Пельте эфекти ёки баръер туфайли), унда тўртга ўлчов билан фақат Холл электродлари нинг ноэкипотенциал кучланишини йўқотиш мумкин. Колган эфектларни таъсирини йўқотиш учун ўзгарувчан ток, ўзгарувчан магнит майдон усулларидан фойдаланилади. Юқори Ом ли яримўтказгич намуналарда ноэкипотенциал кучланишни назарий йўқотиш усули тўрт марта Холл электродларидаги кучланишни ўлчаш каби) ҳамма вақт ҳам натижка беравермайди. Бу туркум намуналарда токнинг ортиши Холл зондлари орасидаги кучланишнинг ўсишига олиб келади, баъзан Холл кучланишидан ҳам катта бўлиб қолиши мумкин. Бундай ҳолларда U_H ни ўлчаш аниқлиги пасайиб, уни ўлчаш мумкин бўлмай



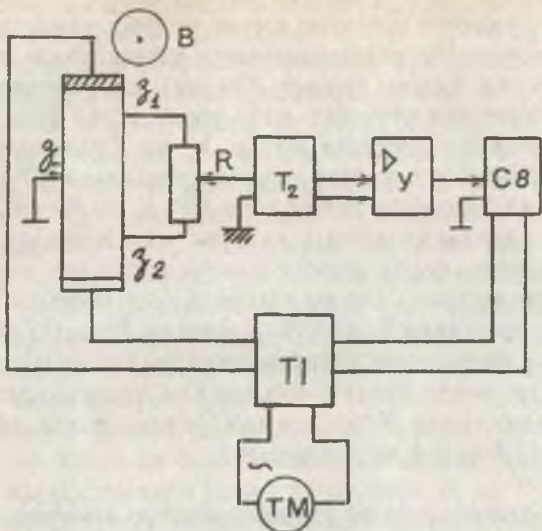
2.2-расм. Холл электродлари (контактлари) потенциалларининг бир хил бўлмаслиги билан боғлиқ кучланишни йўқотиш схемалари.

қолади. Шунинг учун Холл электродларининг аниқ ўрнатилмаганлиги билан боғлиқ бўлган U_R нинг ўлчов натижаларига таъсирини йўқотишда бошқа бир неча усуллар кўлланилади, яъни ноэквипотенциал кучланиш компенсацияланади. 2.2-расмда амалиётда қўллаб келинаётган кучланишни компенсациялаш усули билан ўлчашнинг чизмаси келтирилган. Уч зондли чизма билан U_R ни йўқотишда R потенциометрда (қаршиликда) 1-зонднинг потенциалига тенг нуқта топилади. Бу қаршилик намунани шунтламаслиги учун, яъни ундан ўтадиган токнинг намунадан оқаётган токка нисбатини ҳисобга олмайдиган бўлиши керак. Шунинг учун унинг қаршилигидан катта $R_1 \gg R_2$ бўлиши керак. Ўлчаш чизмасига катта қаршиликнинг уланиши ўлчашнинг сезгиригини камайтиради. Уч зондли чизма кўпроқ қаршилиги кичикроқ намуналарда кўлланилади. Кўприк чизмасини (2.2б-расм) қўллаш билан U_H ни ўлчашда 1-зонднинг чап ва ўнг томонидаги намуна қаршиликлари ҳамда ўзгарувчан R_1 ва R_2 қаршиликлар кўприкнинг тўртта елкасини ҳосил қиласди. Магнит майдон уланмаган ($B=0$) да R_1 ва R_2 қаршиликларни ўзгартириб, 1 ва 2-нуқталарда ҳар хил потенциалга эришилади. Бу усул билан Холл электродларида Холл электр кучининг ярми ўлчанади, чунки намунадан оқаётган ток икки қисмга бўлинади. Шунинг учун унинг сезгиригини камчилик деб кўрсатиш мумкин. 2.2в-расмда келтирилган чизма ёрдмида U_0 — кучланишни йўқотиш учун K_2 ва K_3 контактлар орасига уланган қаршилик орқали уларда бир-бирига тенг бўлмаган шундай потенциаллар топиладики, бунда $B=0$ да 1 ва 2 зондлар орасидаги кучланиш нолга тенг бўлади ва эквипотенциал сиртлар силжийди. Уларнинг бундай силжиши натижасида 1 ва 2 зондлар битта сиртда ётади. Бу усул билан U_0 ни компенсация қилиш намунанинг узунлиги унинг кенглиги тартибida бўлганда бўлганда амалга оширилади. Акс ҳолда K_2 ва K_3 контактлар орасидаги потенциаллар айирмаси намуналининг ўрта қисмida эквипотенциал сиртларга таъсири кам бўлади. 2.2в-расмда келтирилган чизмада алоҳида олинган ташқи ток манбаи билан U_0 компенсацияланади. Бунда R_1 қаршиликдан ташқи ток манбаи орқали ток ўтказилганда унга тушган кучланиш билан компенсацияланади. Ўлчов сезгиригини камайтирмаслик учун чиз-

мада R , қаршилик етарлича кичик қилиб олиниши керак. Заряд ташувчилар концентрацияси кичик, ёмон үтказувчанликка эга бўлган (юқори Ом ли) намуналарда Холл электр юритувчи кучи бир неча милливольт бўлади. Намуна қаршилиги ортиши билан U_x ни ўлчашдаги хатоликлар ортиб боради. Агар намуна қаршилиги 10^6 Ом тартибида, гальванометр сезигирлиги 10^{29} А/шк бўлса, электр юритувчи кучни ўлчашдаги хатолик ≈ 1 мВ бўлади. Ўлчов чизмаларининг сезигирлигини ошириш учун гальванометрни электрометрлар билан алмаштириш мумкин. Лекин ўзгармас ток билан Холл кучланишини ўлчашда электрометр ёки ўзгармас ток кучайтиргичлари билан ишлаш қийинчилиги пайдо бўлади. Юқори Ом ли намуналарда бу қийинчиликларни Холл токини ўлчаш билан йўқотиш мумкин (2.3 ва 2.4 ларни қаранг).

б) Ўзгарувчан ток ва ўзгармас магнит майдони ёрдамида. Холл электр юритувчи кучини ўлчаш

Холл кучланишини ўлчаётганда, намунада ток йўналишида пайдо бўлган температура градиенти ишораси ток йўналишига боғлиқ бўлса, ўзгармас магнит ва ўзгармас ток ёрдамида уларнинг йўналишини ўзгартериш усули билан Нернст, Риги-Ледюк кучланишларини йўқотиш мумкин эмаслигини юқорида эслатиб үтган эдик. Иссиқлик жараёнларининг инерционлиги сабабли, намунадан юқори частотали ток үтказиш билан намунадаги температура градиенти ва у билан боғлиқ бўлган Нернст, Риги-Ледюк эффектларининг Холл эффектига таъсирини йўқотиш мумкин. Қизиш ва у билан пайдо бўлган кучланишлар вақт буйича ўзгармайди, Холл ўлчов асбоблари фақат ўзгарувчан электр сигнални ўлчайди. Намунадан ўзгарувчан ток үтганда магнит майдонида ўзгарувчан ток частотасига тенг бўлган Холл кучланиши ҳосил бўлади. Одатда ўзгарувчан электр сигнални ўзгармас сигналга нисбатан кучайтириш осон. Ўзгарувчан токни маълум яrimутказгичларга қўллаш билан Холл кучланишини ўлчовчи сезигир курилмани яратиш мумкин. Бу усул Холл электр юритувчи кучини катта олиш қийин бўлган, ҳаракатчанлиги, солишишима қаршилиги кичик бўлган намуналарда концентрация ва ҳаракатчанликни ўлчашда катта аҳамиятга эга. Ўлчов пайтида намунадан ўтаётган ўзгарувчан ток-



2.3-расм. Холл электр юритувчи кучини ўзгарувчан ток ва ўзгармас магнит ёрдамида ўлчаш схемаси.

нинг Холл электр юритувчи кучи электр занжирда ҳосил қиласидиган кераксиз сигналларни (наводокни), шовқинни йўқотиш керак. 2.3-расмда Холл электр юритувчи кучнинг ўзгарувчан ток ва ўзгармас магнит ёрдамида ўлчаш чизмаларидан бири келтирилган. Ўзгарувчан ток манбайдан (ТМ) ажратувчи трансформатор Тр1 орқали намунага кучланиш берилади. Шу трансформатордан яна таянч сигнал синхрон детекторга берилади. Ноэкипотенциал кучланиш $B=0$ да R — қаршилик орқали компенсацияланади. Холл контакtlаридан олинадиган кучланиш Тр2 — трансформатор орқали кучайтиргичга, сунг синхрон детекторга берилади ва Холл кучланиши ўлчанади. Синхрон детектор ҳар хил шовқинларни камайтиради ёки тўлиқ йўқотади. Тр2 трансформаторнинг кириш қаршилиги R — қаршиликка ва зондлар орасидаги қаршиликка нисбатан етарлича катта бўлиши керак.

Бу чизмада частотаси $\nu=570$ Гц бўлган ўзгарувчан токни қўллаш билан кичик қаршиликли намуналарда Холл электр юритувчи кучини ўлчашда сезгириллиги 10^{-9} В га ет-

ган. Бу чизма билан магнит майдон индукцияси $B=4600$ Гс да заряд ташувчилар концентрацияси $n=6 \cdot 10^{21}$ см⁻³, ҳаркатчанлиги $\mu_n=2$ см/В. с бўлган намунада Холл эфекти ўлчанганд. Шуни таъкидлаш керакки, бу усул билан ўтказувчаникнинг типини ҳам аниқлаш мумкин. Агар Холл кучланиши билан намунадан ўтаётган ток бир фазада бўлса, p -тип намунада $R_H > 0$ бўлади, агар қарама-қарши фазада бўлса, n -тип намунада $R_H < 0$ бўлади.

в) Холл электр юритувчи кучини ўзгарувчан ток ва ўзгарувчан магнит майдони усули билан аниқлаш

Намунадан ўтаётган ток ва унга қўйилган магнит майдони ўзгарувчан бўлиб, уларнинг ўзгариши қўйидаги қонуниятлар бўйича бўлсин:

$$B = B_0 \cos(\omega_1 t + \delta_1) \quad (2.20)$$

$$I = I_0 \cos(\omega_2 t + \delta_2)$$

Бу ерда: B_0 , I_0 — мос равишда магнит майдон индукцияси ва ток амплитудалари, ω_1 ва ω_2 — уларнинг частоталари. δ_1 ва δ_2 — фазалар силжиши, $\omega_2 > \omega_1$, деб ҳисобланса, (2.24) ни (2.15) га қўйсак, Холл электр юритувчи кучи ифодаси қўйидаги кўринишни олади:

$$U_H = \frac{I_0 B_0}{d} R_H \cdot \cos(\omega_1 t + \delta_1) \cdot \cos(\omega_2 t + \delta_2) =$$

$$= \frac{I_0 B_0}{d} R_H \left\{ \cos[(\omega_2 - \omega_1)t + (\delta_2 - \delta_1)] + \right. \quad (2.21)$$

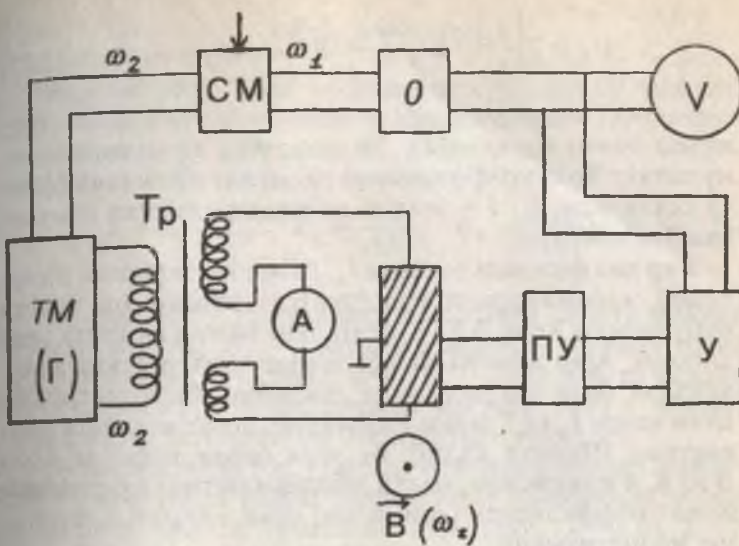
$$\left. + \cos[(\omega_2 + \omega_1)t + (\delta_1 + \delta_2)] \right\}$$

Бундан кўринадики, ўзгарувчан Холл ЭЮК ифодаси частотаси $(\omega_2 - \omega_1)$ ва $(\omega_2 + \omega_1)$ бўлган иккита гармоникани ўзичига олади. Холл зондлари орасидаги ўзгарувчан кучланишни гармоника частоталаридан бирига $\omega_2 - \omega_1$ ва $\omega_2 + \omega_1$, созланган танловчи кучайтиргичга бериб, Холл ЭЮК ининг амплитудаси ўлчанади ва Холл доимийси

$$R_H = \frac{2U_H}{I_0 B_0} \cdot d \quad (2.22)$$

формула билан аниқланади. Бу билан ҳамма құшимча, иккінчи даражали эффектлар таъсири йүқтілади. Масалан, зондларни носимметрик жойланиши билан бөгланған ω_1 частотали күчланишни, магнит майдонининг ҳосил қылған ω_2 частотали ва иссиқлик эффектлари билан бөглиқ күчланишларни күрсатиш мүмкін. Шундай қилиб, құшимча эффектларнинг катта электр сигнал шовқинида қиймати кичик бүлған Холл электр юритувчи күчини үлчаң мүмкін. Күчли үзгарувчан магнит майдонини олишдаги қийинчиликларга қарамасдан, тор соҳали (узкополосный) күчайтиргичларнинг құлланиши күрилманинг сезгирилигини анча оширади. Холл ЭЮК иниң температурага бөглиқлигини үлчаң ва Холл күчланишнинг үзгаришини узлуксиз ёзіб олишни бу усулнинг ағзаликларидан бири сифатида күрсатиш мүмкін. Үзгарувчан магнит майдони электромагнит чулғамларыда ω_2 частотали ток үтказиш билан ёки механик усул билан ҳосил қилинади.

Частоталар бир-биридан кескин фарқ қылған ҳолда ЭЮК ни үлчащда шовқин сигнал (наводка) бүлмайды. $\Delta\nu=0,5+1$ Гц бүлған тор соҳали күчайтиргичларнинг құлланиши ток ва магнит майдон частоталарининг жуда турғун булишигини талаб қылади, акс ҳолда сигналнинг $\omega_2-\omega_1$ ёки $\omega_2+\omega_1$ частоталари кучли үзгаришга учрайди ва $\omega_2-\omega_1$ ёки $\omega_2+\omega_1$ частотага созланған күчайтиргичда Холл ЭЮК и күчланишни кескин камайтиради. Одатда магнит чулғами частотаси $\nu=50$ Гц бүлған үзгарувчан ток тармогига уланади. Одатда саноатда ток частотасини турғун ушлаб туришга эришиб бүлмайды. Шу сабабли, ω_1 частотанинг үзгариши билан мос равищда ω_2 частотаны үзгартырадын шундай қурилма яратылғанки, у частоталар фарқини $\omega_2-\omega_1$ күчсиз үзгартыради (сақтайди). Үзгарувчан ток ва үзгарувчан магнит майдон усули орқали Холл ЭЮК ини үлчаңга халақыт берадын сабаблардан бирига ω_1 ва ω_2 частотали күчланишларнинг аралашышига олиб келувчи ток контактларыда үзгарувчан токнинг түғриланишини күрсатиш мүмкін, чунки бунда Холл Э Ю К частотасига тенг частотали тебранишни ҳосил қылувчи шовқин сигнал ҳосил булиши мүмкін. Шунинг учун Ом контактларини эритиб олиш технологиясини яхшилаш (масалан, $n+n$, $p+p$ контактлар олиш) ҳамда гантель күринишидаги намуналар



2.4-расм. Холл эффектини ўзгарувчан ток ва ўзгарувчан магнит майдонда ўлчаш схемаси.

күллаш билан бунинг таъсирини камайтириш мумкин. Шунга мувофиқ контактлар сифатига қўйилган талаб ўзгармас ток усулига нисбатан қаттиқроқ. Бу усул билан Холл ЭЮК ини ўлчашнинг блок чизмаларидан бири 2.4-расмда келтирилган. Чизмада ўзгарувчан ток манбаи сифатида чиқиши қаршилиги кичик бўлган иккита симметрик каналли паст частотали генератор ишлатилади. Кучланиш намунага генератордан ажратувчи трансформатор орқали берилади. Намунадан ўтгаётган ток трансформатор T_p нинг иккиласми чулғами ўртасига уланган амперметр билан, ўзгарувчан Холл ЭЮК $\omega_1 + \omega_2$ ёки $\omega_2 = \omega_1$ частотага созланган танловчи резонанс кучайтиргич билан ўлчанади. Бу усул билан Холл ЭЮК ишорасини аниқлашнинг бир қанча радиотехник чизмалари мавжуд: масалан, намунадаги Холл ЭЮК ни этalon намунадаги Холл ЭЮК га солиштириб аниқлаш мумкин. Бунинг учун ўтказувчаник типи аниқ бўлган эталон намуна олиб, уни Холл ЭЮК ўлчанаётган намуна Холл ЭЮК ига кетма-кет улаб, улар солиштирилади. Бу ҳолда Холл ЭЮК

$$U_H = 2 \left(\frac{R_{H3}}{d_{3T}} \cdot BI_3 \pm \frac{R_H}{d} BI \right) \cos(\omega_2 - \omega_1)t \quad (2.23)$$

ифода билан аниқланади. Бу ерда: R_{H3} , d_3 — этalon на-
мунанинг Холл коэффициенти ва магнит йўналиши бўйи-
ча қалинлиги, I_3 , I — этalon ва текширилаётган намуна-
дан ўтаётган ток.

Бир хил фазадаги токлари I_3 , I нинг катталигини ўзгар-
тириб, қарама-қарши тип ўтказувчанликка эга бўлган
намуналарда Холл Э Ю К нолга teng бўлган вазиятга эри-
шилади. Агар намуна билан этalon электр ўтказувчан-
ликлари типи ҳар хил бўлса, токлардан бирининг фаза-
сими ҳамда I_3 ва I ларни ўзgartириб, компенсацияга эри-
шилади. Шундай қилиб, бу усул билан нафақат Холл
Э Ю К и ишорасини, балки текширилаётган намунанинг
Холл коэффициенти (доимийси) нинг абсолют қиймати-
ни топиш мумкин

$$R_H = R_{H3} \frac{d}{d_3} \frac{I_3}{I} \quad (2.24)$$

Бу компенсация усулида магнит майдонининг катта-
лигини билиш шарт эмас. Одатда этalon намуна элект-
ромагнит қутблардан бирига ёпишириб қўйилади. Холл
ЭЮК ини ўлчайдиган саноат қурилмаларида ток генера-
тори частотаси 70—75 Гц, магнит қутбларининг пойнаги
(учлиги) 40 мм, улар орасидаги масофа 40 мм тартибида
бўлса, 3000 эрстедгача бўлган магнит майдонини ҳосил
қилиш мумкин. Бу усул билан ҳаракатчанликлари $5 \div 10^{-2}$
 $\text{см}^2/\text{В} \cdot \text{с}$ бўлган намуналарда Холл эфектини ўлчаш
мумкин бўлган. Шуни назарда тутиш керакки, ўзгарув-
чан майдонда яхлит металл қисмлар (криостат), уни уш-
лаб турадиган тутқичлар индукцион ток билан қизиши
мумкин.

2.4-чизмадаги аралаштиргичдан чиқаётган стандарт
фазали кучланиш билан намунадаги кучайтирилган Холл
кучланиши осциллографда ҳосил қилган лиссажу шакл-
ларига қараб Холл ЭЮК и ишорасини, яъни намунада
электр ўтказувчанлик типини аниқлаш мумкин.

2.3-§. Холл токи

Биз юқорида Холл эфектининг кўрганда бу эфектнинг назарияси стационар ҳолатда куйидаги ифодаларга олиб келишини курган эдик:

$$\tilde{E} = \tilde{E}_n + \tilde{E}_H; \quad \tilde{E}_n = \frac{\tilde{j}_n}{\sigma(B)}; \quad \tilde{E}_H = \frac{\mu_n}{\sigma(B)} [\tilde{j}_n \tilde{B}] \quad (2.25)$$

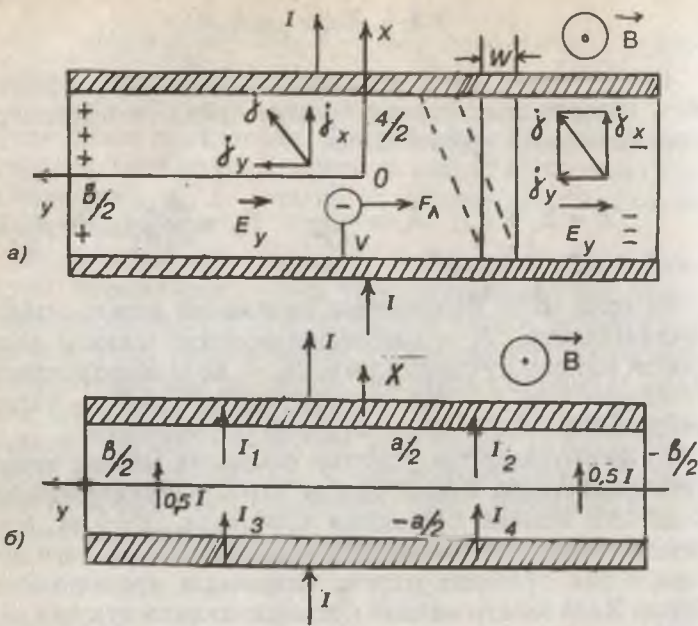
Бу ерда: \tilde{E} — намунанинг натижавий электр майдон кучланганлиги, E_n — намунадан оқаётган токнинг ҳосил қилган майдон кучланганлиги, \tilde{E}_H — Холл электр майдон кучланганлиги, j — ток зичлиги вектори, $\sigma(B)$ — магнит майдондаги солиштирма электр ўтказувчанлиги.

Бу формулалар ток ўтаётган намунани магнит майдонига киритганда пайдо бўлган Холл эфектининг бир жиҳатини намоён бўлишини кўрсатади, $\tilde{B}=0$ да $\tilde{E}=E$ бўлади. Магнит майдони (Лоренц кучи) ток зичлиги векторига тик бўлганда магнит майдонига пропорционал бўлган Холл электр майдон кучланганлигини вужудга келтиради. (2.25) даги ифодаларнинг ток зичлигига нисбатан ечими куйидаги

$$\begin{aligned} \tilde{j} &= \tilde{j}_n + \tilde{j}_H + \tilde{j}_1; & \tilde{j}_n &= \sigma' \tilde{E}; & \tilde{j}_H &= \sigma' \mu_n [\tilde{E}_n \tilde{B}] \\ \tilde{j}_1 &= \sigma' \mu_n^2 \tilde{B} (\tilde{B} \tilde{E}); & \sigma' &= \frac{\sigma}{1 + \mu_n^2 B^2} \end{aligned} \quad (2.26)$$

ифодаларга олиб келади. Холл ўлчовлари ўтказилганда одатда $E \perp B$ қилиб олинади, бунда $\tilde{j}_1=0$ бўлади. (2.30) ифодалар Холл эфектининг иккинчи жиҳатини курсатади. Холл эфекти магнит майдон индукцияси ҳамда ўтказувчан ток зичлиги векторига тик ва магнит майдонига пропорционал Холл токини ҳосил қиласади. Намунада Холл эфекти текширилганда Холл электр майдон кучланганлигини характерловчи тенгламалар тизими (2.25) ёки унга эквивалент (2.26) тенгламалар яна куйидаги ифодаларни ўз ичига олади:

$$div \tilde{j} = 0; \quad rot \tilde{E} = 0 \quad (2.27)$$



2.5-расм. Холл токининг пайдо бўлишини тушунтиришга чизма (а),
Холл токининг контактлар орқали уланиши.

Бунга қуидаги чегаравий шартлар қўйилади:

1. Намуна сиртининг металл қопланмаган қисмида электр майдон ва токнинг тангенциал (нормал) ташкил этувчиси

$$\vec{E}_i = 0; \quad j_i = 0 \quad (2.28)$$

бўлади. Бунда контактларнинг потенциали ёки ундан оқаётган ток берилиши керак. Маълумки, токли намунани ток йўналишига тик бўлган магнит майдонига киритсак, узун, тор намунанинг ўрта қисмида ностационар Холл токидан, зарядларининг тўпланиши сабабли, Холл электр юритувчи кучи (ЭЮК) пайдо бўлади. Калта, юпқа ва кенг ($a \ll b$) намунада Холл эфектини кўрайлик (2.5-расм).

Узун ва тор намунадаги каби Лоренц кучи дрейф ҳарарати қилаётган заряд ташувчиларни оғдиради, аммо на-

мунанинг қалинлиги кичик ва эни катта шаклда бўлиши туфайли, намуна ўрта қисмининг бирор ерида оғган зарядлар тўпланиши кузатилмайди ва натижада Холл электр майдони пайдо бўлишига олиб келмайди, яъни Лоренц кучини мувозанатловчи майдон вужудга келмайди, Оу — ўки бўйича стационар Холл токи оқади. $y = \pm b/2$ сиртларда тўпланган зарядлар намуна марказидан узоқлашган ва майдон кучланганинг E_y ташкил этувчиси пайдо бўлмайди. Бу эффектни миқдорий қарашда, намуна марказидаги катталикларни у га боғлиқ бўлмаслигидан фойдаланамиз. Бу ҳолда (2.28) дан кўринадики, j ва E_y лар x га боғлиқ, эмас, (2.28) га кўра

$$E_y \left(x = \pm \frac{a}{2} \right) = 0$$

бўлади. Марказий қисмида E_y x га боғланмаган бўлгани сабабли, $E_y = 0$. Бу мулоҳазаларни ва (2.26) ифодани қўллаб,

$$j_x = j_s + \tau' E_x; \quad j_y = j_H = \mu_s B_j \quad (2.29)$$

формулаларни оламиз. Булардан кўринадики, E_x ва j_x x га боғлиқ эмас ва электр майдон бир жинслидир. Магнит майдонида ток зичлиги вектори θ бурчакка бурилади. $y = \text{const}$ текисликдан оқаётган тўла Холл токи

$$I_H = a \cdot d \cdot j_y \quad (2.30)$$

Формула билан топилади.

Намуна контактининг бир қисмидан оқаётган ток

$$I_B = dbj \quad (2.31)$$

бўлади. Бу ерда: b — ток ўтаётган контакт соҳасининг кенглиги. (2.35) формуладан фойдаланиб, токнинг (2.30) ва (2.31) ифодаларини қўйидаги кўринища олиш мумкин:

$$I_H = \mu_s B \sigma d \cdot U; \quad I_B = \sigma' \frac{bd}{a} U \quad (2.31 \text{ a})$$

Күчсиз магнит майдонида $1 \gg B^2 \mu^2$ намунада бир жинсли электр майдон ($\sigma = \sigma'$) бўлгани учун Холл токи

$$I_H = \frac{a}{b} \cdot \mu_n B \cdot I \quad (2.32)$$

куринишни олади. Эслатиб ўтамизки, $y = \pm b/2$ сиртларда тўпланган зарядлар уларнинг атрофида $E \neq 0$ булишига олиб келади, ток зичликларини j_x ва j_y марказ яқинидаги қийматлардан фарқли булишига олиб келади ва электр майдонининг бир жинслилиги бузилади. Бир жинсли бўлмаган соҳа эса ён сиртлардан ($1 \div 1,5$) а масофагача бўллади. Бунда токнинг контактлар орқали уланиши со-дир бўллади. (2.31) формулалар намунанинг ўрта қисмида ($a \leq 3b$) соҳасида ўринли ҳисобланади. Акс ҳолда, Холл токи, Холл ЭЮК и каби тузатиш функциялари орқали ҳисобланади. (2.30) ва (2.31) ларга кўра, бўйи кичик ва эни катта намуналарнинг ($b \gg a$) марказий қисмида магнит майдони солиширма ўтказувчанлик ($\sigma = j_x/E_x$) ни $(1 + \mu^2 B^2)$ марта камайтиради, солиширма қаршиликни шунча марта оширади. Бу ҳодиса геометрик магнит қаршилик эффекти деб аталади ва у куйидагича тушунтирилади: Холл токи намунада ток найини узайтиради ва унинг кўндаланг кесимини камайтиради (2.5а-расм). Чизмада $B=0$ да кенглиги $w \ll a$ бўлган контакт соҳасидан оқаётган ток найининг чизиқлари узлуксиз чизиқ билан белгиланган, $B \neq 0$ да узлукли чизиқ билан кўрсатилган. Бунда ток узунлиги катта бўлган най орқали оқади. Найнинг ўтказувчанлиги ток найининг энига тўғри пропорционал, узунлигига тескари пропорционал, яъни ўтказувчанлик (w/a) га пропорционалдир. $B \neq 0$ да кенглиги $w/(1 + \operatorname{tg}^2 \theta)^{1/2}$ га, узунлиги $a(1 + g^2 \theta)^{1/2}$ ва ўтказувчанлиги

$$\sigma' \approx \frac{W}{a} \frac{1}{1 + \operatorname{tg}^2 \theta} \approx \frac{W}{a} \left(1 + \mu_n^2 B^2\right)^{-1} \quad (2.33)$$

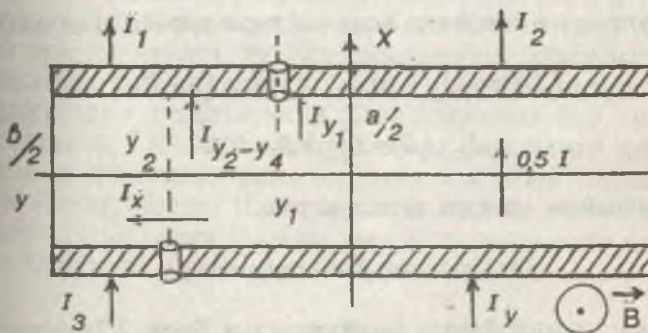
га teng бўллади. Шундай қилиб, магнит майдони найининг ўтказувчанлигини камайтиради ва шунга мувофиқ найининг қаршилигини оширади. Геометрик магнит қаршилик эффекти (кўпроқ) юпқа (ток йўналиши бўйича), эни

кенг намуналарда ҳам, узун намуналарнинг контактлар соҳасига яқин бўлган жойларда ҳам кузатилади. Бошқа шаклдаги намуналарда, масалан, "Корбино" доирасида ҳам кузатилиши мумкин (2.7-ға қаранг). Узун намуналарнинг марказий қисмида, Холл токи йўқ жойларда бу эфект кузатилмайди.

2.4-§. Холл токларини ўлчаш ва у орқали яримўтказгич намуналарда заряд ташувчиларнинг концентрацияси ва ҳаракатчанлигини ўлчаш

Намуна сиртларидағи омик контактларни қисмларга ажратиш усули.

Биз кўрдикки, намунадан оқаётган Холл токи контактлар орқали уланади. Контактларни бўлакларга бўлиш (ажратиш) Холл токини ташқи занжирга чиқаришга ва ўлчашга имкон беради. Намуна сиртидаги контактлар бир-биридан бир жинсли майдон соҳасида ажратилган бўлсин (2.6-расм). Ўлчов чизмаларига уланган тўртта контактлар орқали $I_1 + I_2$ токлар ўтади. Бу токлар ажратилган қисмларда ажратилган контактларнинг эквипотенциаллигини таъминлайди. Стрелка билан кўрсатилган чизиқчалар ток йўналишлари кесиб ўтаётган соҳада кўрсатилган. Ажратилган контактлар орасидаги масофа намуна узунлигидан жуда кичик ва бу майдоннинг бир жинслигини бузмайди. Контактлар намуна марказида ажратилган ҳол



2.6-расм. Ом контактлари бўлакларга ажратилган намуна.

энг содда ҳолга мос келади, лекин буни ҳамма вақт амалга ошириб бўлмайди, шунинг учун умумий бўлган ҳолда контактларнинг ажратилиш жойи марказга нисбатан силжайди. Координата ўқлари билан намуна тўртта бўлакка ажратилади. Контактлар намуна ўртасидан ажратилган бўлганда бу тўртта соҳада заряд сақланиш қонуни бажарилишини ҳамда тўла ток

$$I=I_1+I_2=I_3+I_4 \quad (2.34)$$

бўлишлигини назарда тутиб, тўрт соҳа токларининг қуидаги ифодаларини олиш мумкин.

$$I_1=0,5I+0,5I_H \quad I_2=0,5I-0,5I_H \quad (2.35)$$

$$I_3=0,5I-0,5I_H \quad I_4=0,5I+0,5I_H \quad (2.36)$$

Лекин юқоридаги контактнинг чапга силжиши I_1 токнинг камайишига, I_2 нинг ортишига олиб келади. Бу қиймат $y \geq 0$ соҳага кирадиган I_{y1} ва I_{y2} токларга тенг, шунинг учун (2.35) ва (2.36) қуидаги куринишни олади:

$$I_1=0,5I+0,5I_H-I_{y1} \quad I_2=0,5I-0,5I_H+I_{y1} \quad (2.37)$$

$$I_3=0,5I-0,5I_H-I_{y2} \quad I_4=0,5I+0,5I_H+I_{y2}$$

Бу ифодалардан

$$I_1-I_2=I_H-2I_{y1}; \quad I_1-I_3=I_H-I_{y1-y2} \quad (2.38)$$

формулаларни топамиз. Холл токлари қаралаётган ҳолда

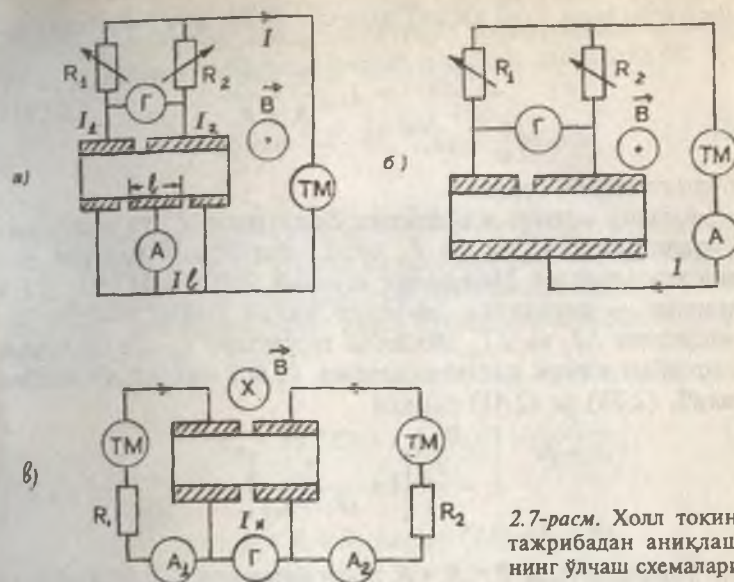
$$I_H(\vec{B})=-I_H(-B); \quad I_{y1}(B)=I_{y1}(-B) \quad (2.39)$$

$$I_{y2-y1}(B)=I_{y2-y1}=I(-B)$$

бўлишлигини назарда тутиш керак.

Холл токини ўлчаш чизмалари

Холл токини ўлчаш чизмаларидан бири 2.7а-расмда келтирилган. Бу намунанинг юқори сиртида бир-биридан ажратилган контакт олинади, Холл токини ўлчаш учун



2.7-расм. Холл токини тажрибадан аниқлашнинг ўлчаш схемалари.

унга параллель ички қаршилиги (R_i) $R_1 + R_2$ қаршилилкка ва ажратилған контакт орасидаги намуна қаршилигига нисбатан жуда кичик бўлган гальванометр уланади. Ток манбаига, намунага кетма-кет уланган амперметр намунадан ўтаётган токни ўлчайди. Холл токини ўлчаш учун $B=0$ да R_1 ва R_2 қаршиликлар орқали гальванометрдан ўтаётган ток нольга ($I_r=0$) келтирилади, сўнг магнит майдон уланади. Магнит майдон уланганда намунада Холл токи вужудга келади. $B \neq 0$ да гальванометр билан магнит майдонида вужудга келган, юқори сиртида ажратилған контактларни туташтирувчи Холл токининг бир қисми аниқланади. Гальванометрнинг ички қаршилиги кичик бўлганда гальванометрдан оқаётган ток Холл токининг ярмига teng бўлади. Намунанинг юқори қисмидаги ажратилған контактларга уланган электр занжири учун қуйидаги Кирхгоф қоидаси ўринлидир:

$$I_1 - I_2 = 2I_r \left(1 + \frac{R_i}{R_1 + R_2} \right) + I \frac{R_2 - R_1}{R_2 + R_1} \quad (2.40)$$

$B=0$ бүлгандында $I_r=0$ қилиб олинса, (2.38) ва (2.40) лардан

$$-\frac{2I_{r1}}{1} \Bigg|_{R=0} = I_{B=0} \frac{R_2 - R_1}{R_2 + R_1} \quad (2.41)$$

бүлишлигини топамиз.

Күчсиз магнит майдонида Холл токи I_{r1} га нисбатан умумий ток $I=I_1+I_2$ ва I_{r1} нинг ўзгаришини назарга олмаслик мүмкін. Модомики шундай экан, улар (ΔI_1 , ΔI_{r1}) магнит — қаршилик эффекти билан пайдо бүлгандар. Бу эффектда ΔI_1 ва ΔI_{r1} иккінчи тартибли, I_B эса биринчи тартибли кичик катталиклардир. (2.40) ифодани ҳисобга олиб, (2.38) ва (2.41) лардан

$$I_r = \frac{I_B}{2} \left[1 + \frac{R_r}{(R_1 + R_2)} \right]^{-1} \quad (2.42)$$

ни топамиз. Агар $R \ll R_1 + R_2$ шарт бажарылса, $I_r = I_B/2$ бұлади. Юқорида айттылғанларга күра гальванометр Холл токининг ярмини үлчайды. Бу гальванометрга $0,5I_B$ R_r га тенг бүлгандың күчләнеш түшүвини ва ажратылған контакттарда ноэквипотенциаллук ҳосил қиласынан Холл токини үлчашщадың нисбий хатолик

$$\frac{\Delta I_B}{I_B} = \frac{R_r}{R'} \quad (2.43)$$

бұлади. Бу ерда, R' — ажратылған контакттар орасидаги намуна қаршилиги. Маълумки, ток контакттарининг ажратылышы намунада электр майдонининг маҳаллій бузилишига олиб келади ва контакттар потенциаллари бир хил бүлгандында хатолик

$$\left| \frac{\Delta I_B}{I_B} \right| \approx \frac{\delta}{a} \quad (2.44)$$

бұлади. Бу ерда, δ — ажратылған контакттар орасидаги масофа. Холл токини, намунаға қўйилған күчләнешини

ва намунадан ўтаётган токни билган ҳолда, кучсиз магнит майдонида заряд ташувчилар концентрацияси ва ҳарачтанлиги куйидаги формулалардан аниқланади:

$$I = \sigma \frac{b \cdot d}{a} \cdot U; \quad I_H = \frac{a}{b} \mu_{nH} BI \quad (2.45)$$

2.7а-расмда келтирилган чизма билан ихтиёрий магнит майдонида Холл токини ўлчаш мумкин. Бунда ток I_r , нинг ўзгаришини ташлаб юбориш мумкин бўлмайди, уни йўқотиш учун магнитнинг икки йўналишида Холл токи ўлчаниди, яъни

$$I_H = (I_r(B) - I_r(-B)) \left(1 + \frac{R_r}{R_1 + R_2} \right) \quad (2.46)$$

$$R_r \ll R_1 + R_2 \text{ да } I_H = I_r(B) - I_r(-B) \quad (2.47)$$

Ҳаракатчанлик (2.26) асосида олинган тўла ток

$$I_r = \sigma' \frac{Id}{a} U; \quad I_H = \mu_{nH} B \sigma' d U \quad (2.48)$$

формулаларидан топилади. Бунинг учун кенглиги l бўлган соҳадан ўтаётган ток ва унга қўйилган кучланишни ўлчаш керак (2.7а-расм). Бу усул билан ўлчащда намунанинг ости Ом контакти икки қисмга ажратилади, яъни юқори Ом ли намуналарнинг солиштирма қаршилигини ўлчаш каби кўриқловчи ҳалقا ишлатилади. Икки контактда эквипотенциаллик шарти

$$I_r R_A \ll U \quad (2.49)$$

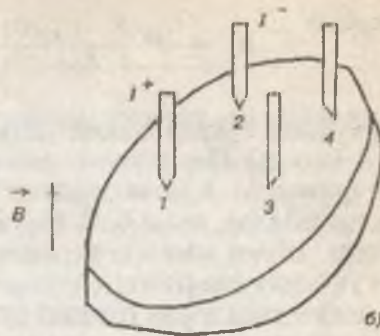
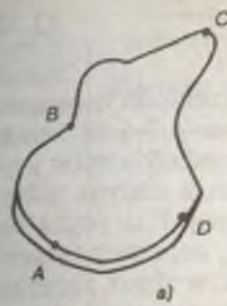
да бажарилади. Бу билан сирт бўйлаб оқаёттан сирт ўтказувчанлиги токини ҳамда бир жинсли бўлмаган электр майдон соҳасида оқаёттан токларнинг таъсирини йўқотиш мумкин. Холл токини ўлчашга доир яна бир чизма 2.7в-расмда келтирилган. Унга асосан ажратилган контактларда R_1 ва R_2 орқали $B=0$ да эквипотенциалликка

эришилади. Бунда R_1 , $R_2 \gg R_3$ булиши керак. Магнит майдон уланганды гальванометрдан үтәётган ток I_1 Холл токи I_2 ни күрсатади. Намунадан оқаётган тұла ток A_1 ва A_2 амперметрлар билан үлчанади. Чизма күчсиз магнит майдонида Холл ҳаракатчанлыгини үлчашга яроқлидир.

Холл токини үлчашга асосланған заряд ташувчилар ҳаракатчанлыгини ва концентрациясини аниклаш усули кейинги йилларда ишлаб қызғылттан. Текширишларнинг күрсатишича, бу усул ҳам, Холл ЭЮК ини үлчашга асосланған усул каби, намуна хоссалари түгрисидеги маълумоттарни беради, маълум шароитда Холл токини үлчашни амалга ошириш енгилрөк ва қулайдир. Масалан, бу усул билан юқори Ом ли намуналарнинг ҳамда қалинлиги бўйича бир жинсли бўлмаган диффузион қатламларни, эпитаксиал қатламларнинг параметрларини үлчаш қулайдир. Маълумки, Холл ЭЮК ини юқори Ом ли намуналарда үлчаш учун ички қаршилиги катта бўлган электрометр-вольтметрлар қўлланилади. Намуна қаршилиги катта бўлғанда сирқиши токи пайдо булиши мумкин. Бунда вольтметрлар билан ишлаш қийинчилик туғдиради. Холл токини үлчашда эса ички қаршилиги кичик гальванометр қўлланилади, бу билан ток сирқиши йўқотилади. Кўп қатламли структураларда Холл ЭЮК и қийматига ҳар бир қатламнинг кўшған хиссаси муносабатлар билан боғланган. Холл токини үлчаш усулида натижавий Холл токига ҳар бир қатламнинг кўшған хиссаси содда боғланган бўлиб, у қўшилиб боради. Анистропик намуналарда Холл ЭЮК ини үлчаш билан солиштирма қаршилик тензори, Холл токини үлчаш билан солиштирма үтказувчанлик тензорини аниклаш мумкин.

2.5-§. Ван-дер-Пау ва түрт зондли усул билан яримутказгич намуналарда заряд ташувчилар концентрацияси ва ҳаракатчанлыгини үлчаш

Ихтиёрий шаклдаги пластинкаларда, юпқа қатламларда, эпитаксиал структураларда концентрация ва ҳаракатчанликни үлчашда энг қулай, хатолиги кичик бўлган Ван-дер-Пау усули қўлланилади. Бунинг учун намуна четидан түртта контакт олинади. Бу контактларнинг иккита



2.8-расм. Ихтиёрий шаклдаги намуналарда Ван-дер-Пау усули билан Холл доимийсіні аниқлашада контактларнинг жойланиши (a), Холл доимийсіні аниқлашынг түрт зондлы усули (б).

қарама-қаршиси орқали ток үтказилиб (I_{AC}), иккита қарама-қаршисида күчланиш (U_{BD}) ўлчанади. Магнит майдони уланган ва уланмаган ҳолдаги күчланиш тушувлари $U_{BD}(O)$ ва $U_{BD}(\vec{B})$ ўлчаниб, Холл Э Ю К и аниқланади. Күчланиш ўлчанадиган контактлар умумий ҳолда экви-потенциал сиртларда үтмаслиги мүмкін (2.8-расм). Магнит майдонига киритилған намунанинг BD контактлари орасидаги күчланишнинг ўзгариши күчсиз магнит майдонда $\mu_B \vec{B} \ll 1$ Холл Э Ю К ига тенг бўлади, чунки бу ҳолда B ва D контактлар орасидаги қаршиликнинг магнит майдонда ўзгариши билан боғлиқ күчланиш инобатга олмаслик даражада кичик бўлади

$$U_H = U_{BD}(\vec{B}) - U_{BD}(O) \quad (2.50)$$

Ўлчаш даврида ток құймати бир хил ушлаб турилса, Холл доимийсі R_H (2.11а) га кўра

$$R_H = \frac{U_{BD}(\vec{B}) - U_{BD}(O)}{I \vec{B}} d \quad (2.51)$$

Формула билан аниқланади. Заряд ташувчилар ҳаракат-чанлиги ва концентрацияси

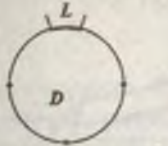
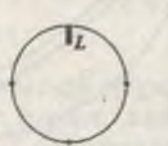
$$\mu_H = \frac{U_{BD}(\vec{B}) - U_{BD}(O)}{J \cdot \vec{B} \cdot \rho}; \quad n = \frac{r}{e \mu_H \rho} \quad (2.52)$$

формулалар орқали ҳисобланади. Солиштирма қаршилик ρ ни Ван-дер-Пау усули билан аниқлаш 1.7-§ да батафсил ёритилган. Контактларнинг таъсирини йўқотиш учун маҳсус шаклда, яъни беда барги шаклида намуна тайёрланади. Шуни эслатиш керакки, Ван-дер-Пау усули билан ўлчашда пластинка сиртлари ясси, параллел бўлиши ва, лекин унда дарча (тешик) бўлмаслиги керак. Эпитаксиал структураларда n , μ -ни ўлчашда қатламнинг солиштирма қаршилиги кичик $n-n^+$, ёки $p-p^+$, ёки $p-n$ типидаги эпитаксиал структуралар бўлиши керак.

Ом контактларини олиш мураккаб ва вақтни кўп оладиган жараёндир, бу эса Холл усулларининг амалиётда қўлланилишига қийинчилик туддиради. Шунинг учун контакт қаршилигининг таъсири ўлчов билан боғлиқ хатоликларда унчалик мухим бўлмаган ҳолларда қаршиликлари жуда юқори бўлмаган намуналарни, эпитаксиал структураларни текширишда, Холл доимийсини тез ўлчаш учун квадрат учларига жойлаштирилган тўрт зондли усулни қўллаш мумкин (2.8б-расм).

Ван-дер-Пау усули назариясида тўртта нуқтавий контактни намуна четига жойлашган бўлсин деб фараз қиласлик. Мабодо бу контактлардан бири нуқтавий бўлмай, қандайдир ўлчамга эга бўлса ёки намуна четига жойлашган бўлса, ҳисоблаш формулаларига тузатиш функцияси ни киритиш керак бўлади. Контактларни Ван-дер-Пау усулига киритган хатоликлари доира ва тўғри тўртбурчакли шаклдаги намуналар учун ҳисобланган. Контактлар бир-бирига нисбатан 90° бурчак остида жойлашган доира шаклидаги намуналарда мутлақ бўлмаган (нуқсонни) битта kontaktнинг киритган хатолиги 2.1-жадвалда келтирилган. 2.8б-расмда келтирилган чизма бўйича ўлчанганди, қалинлиги зондлар орасидаги масофадан жуда кичик ($d \ll S$) бўлган намуналарнинг икки зонд орасидаги потенциаллар айрмаси

$$U' = U_p + U_M + U_N = \frac{J\rho \ln 2}{\pi d} \cdot C_p [1 + \beta^2] + \frac{R_N IB}{d} C_N \quad (2.53)$$

Нисбий хатолик	Намунада контактларнинг кўришини ва жойланishi		
			
$\Delta\rho/\rho$	$-\frac{1}{16} \frac{1}{\ln 2} \cdot \left(\frac{l}{D}\right)^2$	$-\frac{1}{4} \frac{1}{\ln 2} \cdot \left(\frac{l}{D}\right)^2$	$-\frac{1}{2} \frac{1}{\ln 2} \cdot \left(\frac{l}{D}\right)^2$
$\Delta\mu/\mu$	$\frac{2}{\pi^2} \left(\frac{l}{D}\right)$	$\frac{4}{\pi^2} \left(\frac{l}{D}\right)$	$\frac{2}{\pi} \left(\frac{l}{D}\right)$

билин аниқланади. Бу ерда $C\rho$, C_h — намуна ўлчамлари-ни ўлчаш натижаларига таъсирини ҳисобга оладиган ту-затиш коэффициентлари,

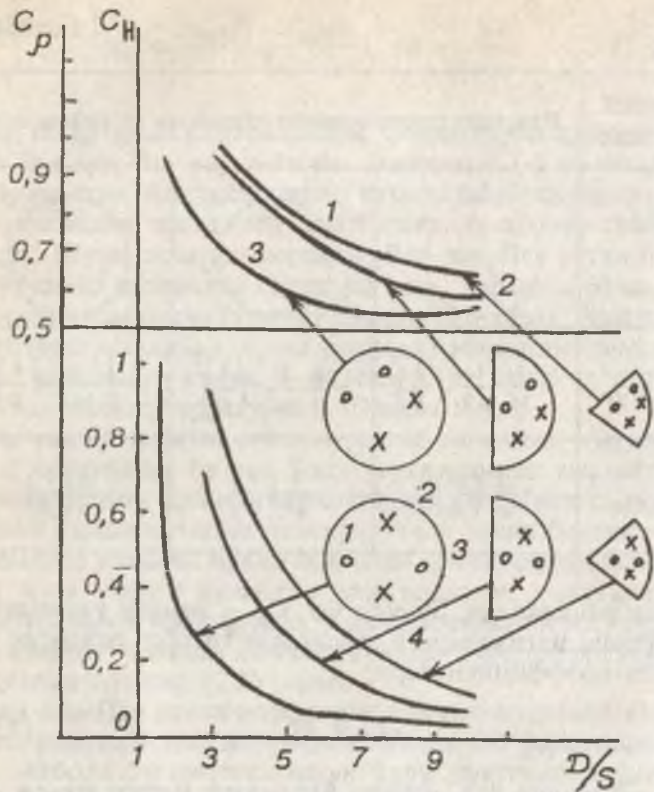
$$\beta = R_B \tilde{B}/\rho \quad (2.54)$$

U_ρ — биринчи ҳад, намуна ўлчамлари (четки томон эф-фектлар) таъсирини ҳисобга олган тўрт зондли усул билин солиширмал қаршиликни аниқлаш формуласи. Ик-кинчи ҳад $(1+\beta^2)$ — кўпайтувчи намуна четки қисмлари-ни Холл электр юритувчи кучини туташтиришидан вужудга келган Холл токига магнит майдонининг таъси-рини ифодалайди. Бу ҳодиса иккиласмачи Холл эфекти деб аталади.

U_M — зондлардан оқаётган токка қаршилик қиласди, шунинг учун U_M ни геометрик магнит қаршиликнинг на-моён бўлиши деб тушунтирилади.

U_B — учинчи ҳад Холл электр юритувчи кучи.

Кучсиз магнит майдонда (μ_n ; $\tilde{B} \ll 1$) U_M ҳадни инобатга олмаслик мумкин. Зондларнинг занжирга уланиш чиз-масини таълаб ҳамда намунадаги зондларни симметрик жойлаштириб, шунга эришиш мумкинки, потенциал зонд-



2.9-расм. Тұрт зондлы усул билан үлчашдаги доира, ярим доира, сектор күринишидеги намуналар учун тузатын функциялары ва зондлар жойланиши. X — ток зондлари, O — потенциал зондлари.

лар орасидаги тұла күчланиш (2.53) даги ташкил этувчи-ларнинг бирига тенг булишига эришиш мүмкін. Доира ва яримдоира шаклидеги намуналарда U_p , U_H ни үлчаш учун зондлар квадрати диагонали радиал симметрия чизиги бүйіча жойлаштырылады. U_M ни үлчашда потенциал зондлар сифатыда (1,3 ёки 2,4) радиал симметрия чизигінде тик диагонали бүйіча жойлашган зондлар олинади. I_1 ни үлчашда ($B=0$) да 3 ва 4 зондлардан ток үтказаб, I_{34} ва 2 зондлар орқали күчланиш үлчанади ёки аксинча.

C_p , C_H — тузатиш коэффициентлари 2.9-расмда келтирілген. Бу ўлчовлар орқали солишиштірма қаршиликтің Холл доимийсін күйидегі

$$\rho = \frac{\pi d}{C_p I \ln 2}; \quad R_H = \frac{\pi U_H}{C_H B I} \quad (2.55)$$

иғодалардан топилады. 2.10-расмда түгри түртбұрчак шакидегі пластинкаларда зондларнинг жойланиши таузатыш коэффициентлари C_p , C_H келтирилген.

2.6 §. Холл эффектини ўлчащдаги мунтазам (систематик) хатоликларга таъсир этувчи омиллар

Холл эффекті билан ҳамроҳ (бирга содир бұладиган) бұлған термогальваномагнит ҳодисалардан ташқари, бир қанча омиллар борки, улар Холл эффектини ўлчащдаги мунтазам хатоликларга таъсир этады. Шу омилларни қисқача күриб чиқайлик.

1. Намуна күндаланған кесимига ўтказылған металл электродлар Холл күчланишини шунтлайды, натижада Холл зондлары орасидеги потенциаллар айрмаси унинг қақиқий қыйматидан (U_H) кичик бұлады. Холл күчланиши Холл контактлары ва ток электродлары орасидеги масофага боғлиқ. Намунанинг ұртасида жойлашған Холл контактларидеги күчланиш намуна узунлигининг эніга нисбати $a/b \geq 5$ бұлғанда максимумға эришади ва Холл күчланишидан 1% дан катта бұлмаган қыймат билан фарқланади. Шунинг учун яримтқазғич намуналарда Холл эффектини ўлчашта тайёрлашда шунға амал қилиниши керак.

2. Холл доимийсі күчсиз магнит майдонида ($\mu_m B \ll 1$) намунадан ўтаётган токка I , магнит майдон индукциясы B , ва Холл күчланишига түгри пропорционал бұлады. Германий ва кремний намуналари учун магнит майдонининг кичиқлик шарти магнит майдон индукциясининг $B < 1$ Тл бұлған соҳаларыда бажарилади. Масалан, $InSb$ да $\mu_m B \ll 1$ тенгсизлик магнит майдон индукциясининг $B < 0,3$ Тл соҳаларыда бажарилади. Шундай қилиб, ҳар бир ярим-

Үтказгич учун магнит майдонининг кичиклик шартини қаноатлантирувчи магнит майдон индукциясининг каталигини билиш керак, шунда бу билан боғлиқ ўлчаща-ти хатолик йўқотилади.

3. Холл доимийлари (2.7, (2.8)), (2.9) ифодаларининг хоссалари ҳамма йўналишда бир хил бўлсин деб фараз қилинган намуналар, яъни, изотроп намуналар учун ўрин-лидир. Умумий ҳолда хоссалари анизатроп бўлган ярим-ўтказгичлар учун бу муносабатлар бажарилмайди. Лекин ток ва магнит майдон йўналишлари намунанинг кристаллографик ўқлари йўналишидан катта фарқ қилмаса, бу билан боғлиқ хатоликни йўқотиш мумкин. Холл доимийсини аниқлашда U_h ни магнитнинг икки йўналишида ўлчаб, натижалар ўртасини олиш тавсия этилади. Бу тавсия, яъни ўзгармас ток ва ўзгармас магнит майдонида Холл доимийсини ўлчаща инобатга олинади.

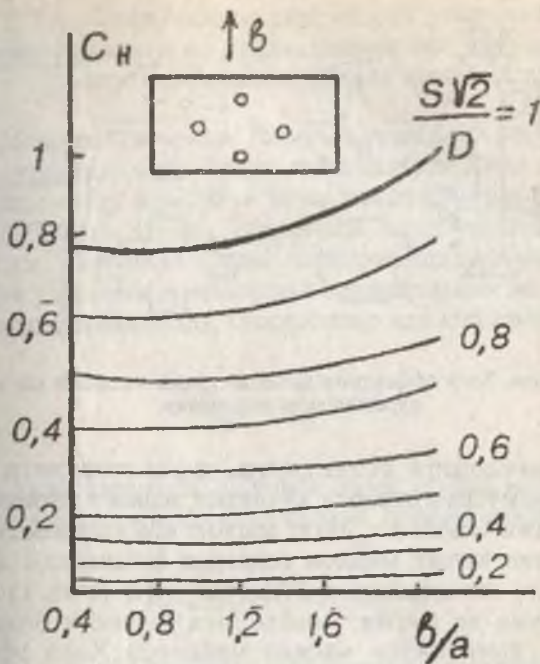
4. Холл эфектининг юқорида келтирилган формула-лари фақат энергия зоналари *айнимаган* яримўтказгичлар учун келтирилган, акс ҳолда ўлчанаётган Холл доимий-сига ҳар бир энергия зоналаридаги заряд ташувчиларнинг қўшган ҳиссасини ҳисобга олиш керак. Масалан, *p*-тип германий валент зонаси *айнигиз* бўлиб, у оғир кавакли ва енгил кавакли тармоқлардан, ҳамда ўзаро спин орбитал таъсирилашви туфайли парчаланган тармоқдан иборатдир. Маълумки, концентрациялари ва ҳаракатчанликлари-рининг нисбатлари

$$\frac{P_l}{P_h} = 0,04; \quad \frac{\mu_H}{\mu_{ph}} = 8 \quad (2.56)$$

мос равища тенгдир. *p*-тип германий учун Холл доимийси

$$R_{pH} = \frac{r_H e \mu_{pe} P_e - r_{Hh} \mu_{pn}^2 P_h}{e(\mu_{pH} P_l + \mu_{ph} P_h)^2} \quad (2.57)$$

ифода билан аниқланади. Енгил ва оғир кавакларнинг тажрибада аниқланган Холл доимийсига қўшган ҳисса-ларини ажратиш мумкин эмас, шунинг учун тажрибада аниқланган Холл доимийси, Холл ҳаракатчанлиги фақат

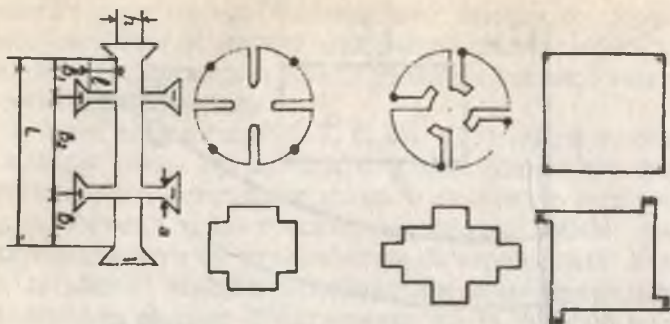


2.10-расм. Түрт зондли Холл усули билан ўлчашда түгри түртбұрчак шаклдаги намуна учун тузатын функциясы.

яrimүтказгичнинг киришма билан легирланиш даражасини миқдорий, заряд ташувчиларнинг сочилиш механизмларини сифат жиҳатдан баҳолашда хизмат қилиши мүмкин.

Зоналар тузилиши мураккаб бўлган яrimүтказгичларда тажрибадан олинган. μ_H ва R_H ларни аниқ изоҳлаш (тавсифлаш) учун текширилаёттан муйян материалларда уларнинг зоналар тузилишини ҳисобга олган Холл эфекти устида назарий тадқиқотлар ўтказиш керак.

5. Холл фактори магнит майдонининг индукциясига боғлиқ. Кучли магнит майдонида заряд ташувчилар релаксация вақтининг иссиқлик энергиясига боғлиқ, функцияси кучсиз. Шунинг учун заряд ташувчиларнинг сочилиш механизмларida магнит майдон ошиши билан Холл фактори бирга интилади ($r_H \rightarrow 1$). Холл факторининг



2.11-расм. Холл эффиқтениң үлчашда құлланиладын ҳар хил күринищдаги намуналар.

магнит майдонига боғлиқлиги, ҳаракатчанлығи катта бұлған яримұтқазгичларда күчлироқ намоён бұлади. Масалан, n -тип GaAs да p_n нинг магнит майдонга боғлиқлиги нисбатан кичик майдон соҳасида бошланади. Бу билан боғлиқ хатоликларни йүқотиши учун Холл күчланишини токка ва магнит майдонига чизиқли боғланиш соҳасида, яъни кичик магнит майдонда Холл эффиқти үлчаниши керак.

6. Холл эффиқти үлчанаёттан намунанинг ёритилишидан бәзан пайдо бұлған фотоутказувчанлик, фото ЭЮК хатоликка олиб келиши мүмкін. Шунинг учун олдин намунани ёруғлиқка сезгирлиги текширилади, мабодо у ёруғлиқка сезгир бұлса, үлчовлар қоронгуда олиб борилади. Хатоликни камайтириш учун бундан ташқары күйидагиларга риоя қилиш керак. Электр майдон күчланғанлығи 1В/см тартибида бұлиши, контактларнинг инжекциясини йүқотиши, юқори Ом ли намуналарда сирт үтказувчанлығи билан боғлиқ сирт сирқиши токлари йүқотилиши керак. Бу омыллар маълум үлчаш чизмаларини танлаш билан ёки ҳар хил кимёвий ишловлар беріш билан йүқотилади. Холл зондлари орқали намуна шунтланмаслиғи учун маълум бир шаклда, масалан, “гантель” күринишида намуналар тайёрлаш тавсия этилади (2.11-расм).

Түртта Холл контактлы намуна тайёрлашда уларнинг үлчамлари $c \geq 0,1$ см; $b_1, b_2 \geq 2h$; $d \leq 0,1$ см; $1 \text{ см} \leq L \leq 1,5$ см тартибида бұлиши тавсия этилади.

2.7. §. Яримұтқазгичларда заряд ташувчилар концентрацияси ва ҳаракатчанлигини намунанинг магнит қаршилиги бүйича аниқлаш

a) *Магнитто қаршилик (магниторезистив) эффекти.*

Биз юқорида узун, энсиз намуналарда Холл эффектини Холл электр юритувчи кучи пайдо бўлиши билан намоён бўлишини кўрдик. Маълумки, n -тип ўтказувчаникка эга бўлса, намунада эркин электронларнинг релаксация вақтини уларнинг энергиясига боғлиқлигини назарда тутсак, электр майдонида электронлар ҳар хил дрейф тезлик

$$V_{\text{пр}} = -\frac{e}{m_*} \tau(\varepsilon) \vec{E}$$

билин ҳаракатланади. Шунинг учун уларга магнит майдонида ҳар хил катталикда бўлган Лоренц кучи

$$F_x = -e \cdot \frac{e}{m_*} \cdot \tau(\varepsilon) E_x \cdot B$$

таъсир этади. Холл электр майдони (E_H) мувозанатга (стационар ҳолатта) эришганда тезликлари ўртача энергияга (ε) мос келган электронларда (\bar{E}_H) нинг электронга таъсир кучи Лоренц кучига тенглашади. Шунинг учун дрейф ҳаракатига магнит майдон таъсир этмайди. Тезликлари ўртача тезликдан катта ва кичик бўлган электронлар эса ҳаракат йўналишларини электр майдонига нисбатан ўзгартиради, уларнинг ҳаракат йўли оғади. Оқибатда магнит майдонида намуна қаршилигининг ортиши кузатилади. Бу ҳодиса физикавий магнит қаршилик эффекти деб аталади. Мазкур эффектнинг батафсил назарияси Больцманнинг кинетик тенгламаси ечими асосида қаралади. Магнит майдонида нисбий солиштирма қаршиликтининг ўзгариши $j_x = \text{const}$ ва $j_y = 0$ бўлганда

$$\frac{\Delta\rho}{\rho} = \frac{E_x(B) - E_x(O)}{E_x(O)} = \frac{E(B)}{E(O)} - 1 \quad (2.58)$$

ифода билан аниқланади.

Кучсиз магнит майдонида ($\mu_n B \ll 1$ ёки $\mu^2 B^2 \ll 1$) киришмавий (п ёки р-тип) ўтказувчанликли яримўтказгичлар учун нисбий солиширма қаршиликнинг магнит майдонида ўзгариши

$$\frac{\Delta\rho(B)}{\rho(0)} = \frac{\rho(B) - \rho(0)}{\rho(0)} \quad (2.59)$$

ифода билан, физикавий магнито солиширма ўтказувчанлик

$$\sigma(B) = e\mu_n n(1 - \beta B^2 \mu_n^2) \quad (2.60)$$

ифода билан аниқланади. Бу ерда, β — физикавий

$$\beta = \frac{<\tau^3><\tau> - <\tau^2>^2}{<\tau>^4} \quad (2.61)$$

магнито қаршилик коэффициенти. Релаксация вақтиning энергияга боғланишини назарда тутмаслик, яъни электронларнинг тезликлари энергияси қандай бўлишидан қатъи назар, бир хил бўлади деб олиш магнит қаршилик коэффициентини тўла йўқотишга олиб келади ($\beta=0$): β — заряд ташувчиларнинг сочилиш механизмига, яримўтказгичларнинг зоналар тузилишига боғлиқ. Кўп ҳолларда релаксация вақти (τ) нинг энергияга боғлиқлиги даражали функция $\tau \sim e^{-s}$ бўлади. Бунда электронларнинг изоэнергетик сатҳлари шар сиртидан иборат бўлса, кучсиз магнит майдонда ва айнимаган яримўтказгичларда заряд ташувчиларда турли сочилиш механизмлари содир бўлгандаги S -нинг, Холл фактори r_H , магнит қаршилик коэффициенти β -нинг қийматлари 2.2-жадвалда келтирсан.

Жадвал таҳлилидан кўринадики, магнито қаршилик коэффициенти Холл факторига нисбатан сочилиш механизмига кучлироқ боғлиқ экан. Кристалл панжараси кубик сингоний тузилиши яримўтказгичлар Ge , Si , $GaAs$, $InSb$ ва ҳоказоларда Холл эфектининг катталиги кристалл ўқларининг йўналишига боғлиқ бўлмайди. Холл ўлчовларини кристалл ўқларининг исталган йўналишида бажариш мумкин. Магнит қаршиликнинг катталиги эса

ўлчашнинг қайси кристаллографик ўқларига нисбатан бажарилишига боғлиқ. Холл эффицидат магнитоқаршилик катталигини ўлчашиб техник жиҳатдан Холл электр юритувчи кучини ёки Холл токини ўлчашга нисбатан соддароқ. Лекин юқорида курсатилганлар ҳаракатчанликни физикавий магнито қаршилик буйича бир мунча қийинчиликларга ва катта хатоликларга олиб келиши мумкин. Буйи калта, эни сербар намуналарда Холл эффицидат Холл токи пайдо булиши билан намоён булишини кўрган эдик. Бунда магнит майдонида ҳосил бўлган Холл токи (I_H) ўтказувчанлик токини оғдиради (2.5-расм). Ток ўтагётган най шаклидаги каналнинг узунлиги (a) магнит майдонида ортиб $a(1+\mu^2B^2)^{1/2}$, эни (w) камайиб $w/(1+\mu^2B^2)$ булишлиги оқибатида, ўтказувчанлик $w/a(1+\mu^2B^2)^{-1}$ га пропорционал бўлади. Шундай қилиб, магнит майдони намунанинг ўтказувчанлигини камайтиради, яъни қаршилигини оширади. Бу ҳодиса, физикавий магнито қаршиликтан фарқли ўлароқ, геометрик магнит қаршилик эффицидат деб аталади. Демак, тоза магнитоқаршилик эффицидат буйи калта, эни сербар бўлган намуналарда электр майдонининг бир жинсли соҳасида амалга ошади. Ўлчамлари чекланган намуна учун нисбий магнито қаршилик $E_z = \text{const}$, $E_x = 0$ да ўлчангандада

2.2-жадвал

Сочилиш механизмлари	S	r_H	β	β_r
Ионлашган киришмаларда	3/2	1,93	2,15	5,89
Нейтрал киришмаларда	0	1	1	1
Акустик фононларда	-1/2	1,18	0,381	1,77

$$\left(\frac{\Delta\rho(B)}{\rho(O)} \right)_\Gamma = \frac{E_x(B) - E_x(O)}{E_x(O)} = \frac{j_x(B)}{j(O)} \quad (2.62)$$

күринишиңни олади. n -тип яримұтқазгичларнинг геометрик магнитоқаршилик эффекти орқали нисбий солиширма қаршиликтининг магнит майдонида үзгариши $\mu_n B \ll 1$ да

$$(\Delta\rho/\rho)_r = \beta_r \mu_n^2 B^2 \quad (2.63)$$

формула билан аниқланади. Бу ерда,

$$\beta_r = \frac{\langle r^3 \rangle}{\langle r \rangle^3} \quad (2.64)$$

геометрик магнитоқаршилик коэффициенти, β_r — сочилиш механизмига боғлиқ бұлган катталик бұлиб, унинг қиймати жадвалда көлтирилген. Кучли магнит майдони $\mu_n B \gg 1$ да геометрик магнитоқаршиликни $\mu_n^2 B^2$ га пропорционаллығы сақланади, физикавий магнитоқаршилик эса заряд ташувчилар ҳаракатчанлигига боғлиқ бұлмаган қийматта эришиб түйинади. Ҳаракатчанлиги катта бұлган яримұтқазгичларда магнит майдон индукциясининг кичик қийматларда кучли магнит майдони шартты амалга ошғани учун бундай яримұтқазгичларда геометрик магнитоқаршилик усули бүйіча μ_n ни аниқлаш афзалроқ дидир. Бундан ташқары, физикавий солиширма магнитоқаршилиги релаксация вақтларининг айрмаси билан боғланған (2.60) ва у жуда кичик бўлиши мумкин. Масалан, $GaAs$ да уй температурасида қаршиликтининг нисбий үзгариши $B=1\text{Tl}$ да $\Delta\rho/\rho=2\%$ а $(\Delta\rho/\rho)_r=50\%$ га teng.

б. Заряд ташувчилар ҳаракатчанлигини намунанинг геометрик магнитоқаршилиги бүйіча аниқлаш

Бу усул билан заряд ташувчилар ҳаракатчанлигини ўтчаш бүйін калта, эни сербар бұлган намуналарда геометрик магнитоқаршилик күзатыладиган ($E=\text{const}$, $E=0$) шарт бажарылганда ўринли бұлган (2.72) ифодага асосланған. Намуна қисқа ва сербар бұлса, металл контакттар (электродлар) орқали Холл электр майдони уланади. Бунда электр майдони намуна бўйлаб йўналади, электр токи эса майдонга нисбатан Холл бурчагига оғтан ҳолда оқади. n -тип яримұтқазгичлар учун Холл ҳаракатчанлиги билан геометрик магнитоқаршилик бүйіча ўлчанған ҳара-

катчанлик орасидаги боғланишни күрайлик. Геометрик магнитоқаршилик орқали аниқланадиган ҳаракатчанликни (2.63) дан топамиз

$$\mu_r = \frac{1}{B} \left[\frac{\Delta \rho(B)}{\rho(0)} \right]^{\frac{1}{2}} = \beta_r^{\frac{1}{2}} \mu_s \quad (2.65)$$

Магнит майдон уланмаганды ва уланганда пластина шаклидаги намуналарнинг юза бирлигидаги қаршиликлари $R(0)$ ва $R(B)$ бўлсин. Кучсиз магнит майдони $\mu B \ll 1$ да (2.63) га кўра уларнинг нисбати

$$\frac{\Delta R(B)}{R(0)} = (\mu_r B)^2 = (r_N \mu_s \xi B)^2 \quad (2.66)$$

бўлади, бу ерда

$$\xi = \frac{\beta_r^{\frac{1}{2}}}{r_N} = \frac{\mu_r}{(r_N \mu_s)} \quad (2.67)$$

(2.67) ифодадан сочилиш механизмига боғлиқ коэффициент ξ ни тажрибада аниқлаш мумкинлиги кўринади. Релаксациянинг вақт доимийси импульс буйича ўзгармас бўлган тақрибидаги $\xi = 1$, акустик фононларда сочилиш бўлса $\xi = 1,13$, ионлашган киришма атомларида сочилса $\xi = 1,26$ га тенг бўлади. (2.26) ва (2.31) формулалар чексиз катта ўлчамли $b \gg a$ юпқа намуналар учун, яъни Холл электр майдони кузатилмайдиган ҳол учун ўринли. Намуна ўлчамлари чекланганда Холл электр майдони қисман шунтланади (металл электродлари) ва геометрик магнитоқаршиликни камайтиради. Шундай қилиб, геометрик магнитоқаршилик эфекти намунанинг ўлчамларига боғлиқ. Холл электр юритувчи кучи қисқа тўғри бурчақли пластиинкаларда аниқланганда, тенгламага Холл ЭЮК ини контактлар орқали шунтланиш даражасини ифодаловчи тузатиш функцияси f киритилади ва у орқали ўлчамлари чекланган намунанинг нисбий геометрик магнитоқаршилиги

$$\left[\frac{\Delta R(B)}{R(0)} \right]_r = \frac{\Delta R(B)}{R(0)} \cdot f \quad (2.68)$$

аниқланади. Энг содда ҳолда f намуна узунлигини көнглигига нисбати билан аниқланади. Нисбат $a/b \leq 0,35$ бүлганды, аниқланиш хатолиги 10% дан катта бүлмаганда $f=1-0,543\frac{a}{b}$ билан ифодаланади. a/b нисбаттинг исталған қийматыда f — релаксация вақтининг ўрталаштирилган қийматыга бағыт. * Шундай қилиб, μ_r — ҳаракатчанлыкни сферикизоэнергетик сиртли киришмавий яримұтказгичларда аниқлаш мүмкін. Геометрик магнитоқаршилик шакли Корбино диски күринишида бүлган намуналарда ҳам күзатылади (2.12, б-расм). Бунда марказий контакт айланма ҳалқасынан контакт билан ажратылған. Корбино диски шаклидаги намунада электр майдонининг азимутал ташкил этувчиси $E=0$ бүләди, бу йұналишда $j=j_p \neq 0$ Холл токи оқади. Магнит майдонидаги ток зичликлари ифодаси (2.26) дан

$$\frac{R(B)}{R(0)} = \frac{\rho(B)}{\rho(0)} (1 + \mu_{nH}^2 B^2) \quad (2.69)$$

ифодани олиш мүмкін. Корбино доираси учун бу формулаға

$$R(B) = \Delta R(B) + R(0); \quad \rho(B) = \Delta \rho(B) + \rho(0)$$

ни қўйиб, Холл ҳаракатчанлигининг

$$\mu_{nH} = \frac{1}{B} \sqrt{\frac{\frac{\Delta R(B)}{R(0)} - \frac{\Delta \rho(B)}{\rho(0)}}{1 + \frac{\Delta \rho(B)}{\rho(0)}}} \quad (2.70)$$

ифода билан аниқланишини кўрамиз. Физикавий магнитоқаршилик жуда кичик бўлган ҳолда $\frac{\Delta \rho(B)}{\rho(0)} \ll \frac{\Delta R(B)}{R(0)}$ Корбино доираси (диски)да магнитоқаршилик бўйича ҳаракатчанлик қўйидагича аниқланади:

$$\mu_{nN} = \frac{1}{B} \sqrt{\frac{\Delta R(B)}{R(0)}} \quad (2.71)$$

Геометрик магнитоқаршилик усули эпитаксиал қатламларда юқори Ом ли қатламлар заряд ташувчиларининг ҳаракатчанликларини ўлчашда энг куладир (nn^+ , pp^+ — структураларда). Бу усулда ҳам контактлар қаршилиги кичик бўдиши керак, чунки у $R(0)$ ни ошириб, ҳаракатчанлини камайтиради ва натижада мунтазам хатолик вужудга келади. Назарий текширишларнинг кўрсатишича, электр майдони йўналишида концентрация градиенти магнит қаршиликнинг ўзгаришига олиб келмайди. Магнит майдонидаги ва майдон бўлмагандаги қаршиликлар ўртача солиштирма қаршиликка пропорционал бўлади. Эпитаксиал технология билан қатламлар солища бу жуда муҳимдир. Магнит майдонининг электр майдони йўналишига нисбатан йўналишига қаттиқ талаб кўйилмайди. Масалан, магнит майдони 26° га оғганда ҳаракатчанликни ўлчашдаги хатолик 10% дан ошмайди. Намунани магнит майдонида текширганда ўзгармас ва ўзгарувчан ток кўприклиридан фойдаланилади. Ўлчовлар магнит майдонининг ҳар хил қийматларида олиб борилади, $\Delta R(B)/R(0)$ нисбат B^2 ва пропорционал бўлади. Тажриба натижалиридан заряд ташувчиларнинг ҳаракатчанлиги (2.30) билан ҳисобланади. Қаршиликни ўлчаш кўприклирининг чиқиш сигналларидан илдиз чиқариш учун, электрон чизмасини қўллаш билан ҳаракатчанликка пропорционал сигнал олинади. У геометрик қаршилик усули билан ҳаракатчанликни тўғридан-тўғри аниқловчи асбоб яратиш имконини туғдиради.

2.8 §. Яримўтказгичларда тақиқланган зона кенглигини, донор ва акцептор киришма атомларининг концентрацияси ва ионланиш энергиясини аниқлаш

a. Тақиқланган зона кенглигини солиштирма ўтказувчаникнинг температурага боғлиқлигидан аниқлаш

Яримўтказгичларнинг солиштирма ўтказувчанлиги хусусий электр ўтказувчанлик ($n-p-n$) соҳасида кўйидаги

$$\sigma_i = en(\mu_n + \mu_p) \quad (2.72)$$

формула билан ифодаланади, бу ерда n_i — заряд ташувчилярнинг хусусий концентрацияси. Яримутказгичларда электрон ва каваклар статистикасига кўра хусусий концентрация

$$n_i = (N_e \cdot N_v)^{1/2} \exp\left(-\frac{Eg}{2kT}\right) \quad (2.73)$$

ифода билан топилади. Бу ерда:

$$N_e = 2(2\pi m_e^* k T / h^2)^{3/2}; \quad N_v = 2(2\pi m_p^* k T / h^2)^{3/2} \quad (2.74)$$

бўлиб, улар мос равищда ўтказувчаник ва валент зоналарида эффектив квант ҳолатларининг зичлиги, Eg — тақиқланган зона кенглиги, K — Больцман доимийси, T — температура, m_e^* , m_p^* — электрон ва кавакларнинг эффектив массалари. (2.74) дан кўринадики,

$$(N_e \cdot N_v)^{1/2} - T^{3/2}.$$

Электрон ва каваклар ҳаракатчанлигининг температурага боғлиқлиги бир хил бўлади деб қабул қилиб, уларнинг ҳар бирида ҳаракатчанликнинг температурага боғлиқлигини кенг температура оралигига температуранинг даражали функцияси кўринишида ифодалаш мумкин:

$$\mu_{n,p} = A_{n,p} T^\alpha \quad (2.75)$$

Ҳақиқатда электрон ва кавакларнинг температурага боғлиқлиги бир-биридан фарқ қиласи, бошқача қилиб айтганда, улар ҳар хил қийматдаги η — билан аниқланади. Ҳаракатчанликлар нисбати $b = \frac{\mu_n}{\mu_p}$ температурага боғлиқ бўлмаган доимий катталиқдир. Юқорида қайд қилинган фаразларга кўра, хусусий солиштирма электр ўтказувчаник (2.72) ни

$$\sigma_i = CT^{\chi-1} \exp\left(-\frac{Eg}{2kT}\right) \quad (2.76)$$

күринища ёзиш мумкин. (2.76) ни логарифмлаб, қуйидаги күринища ифодалаш мумкин:

$$\ln(\sigma_i T^{(r-\chi)}) = \ln C - \frac{E_g}{2\kappa T} \quad (2.77)$$

Демак, тажрибада үлчанган хусусий солиштирма электр ўтказувчанликнинг температурага боғлиқлигини (2.78) ифода кўринишидаги графигини тасвирлаб E -ни аниқлаш мумкин экан:

$$E_t = -2\kappa \frac{\Delta \ln(\sigma_i T^{(r-\chi)})}{\Delta(1/T)} \quad (2.78)$$

Электрон-вольт бирлигига E ни аниқлаш учун қуйидаги формула ишлатилади:

$$E_t = -0,397 \frac{\Delta \lg(\sigma_i T^{(r-\chi)})}{\Delta(1000/T)} \quad (2.79)$$

(2.76) ва (2.77) формулалардан кўринадики, E ни аниқлаш учун η қийматини билиш керак. Лекин кўп ҳолларда $\eta \sim 3/2$ тартибида бўлгани учун $T^{(r-\chi)} = 1$ қўпайтмани ташлаб юбориш мумкин. Юқори температура соҳасида $\ln(\sigma_i T^{(r-\chi)})$ ни $(1/T)$ га боғланишини қўллашда хусусий ўтказувчанликнинг ҳамда аралашма ўтказувчанлик соҳаларида чизиқли боғланишдан четга чиқишини назарда тутиш керак. Юқори температураларда бу боғланишнинг чизиқли боғланишдан четга чиқиши заряд ташувчиларнинг юқори тартибли сочилиш эффиқти таъсирида вужудга келиши мумкин. Киришмавий электр ўтказувчанликда ҳаракатчанлиги кичик бўлган заряд ташувчилар пайдо бўлса, хусусий ўтказувчанликдан киришмавий ўтказувчанлик соҳасига ўтганда, чизиқли боғланишдан сезиларли даражада четга чиқиши кузатилади. $E = \text{const}$ бўлганда, яъни температурага боғлиқ бўлмаса, (2.77) ифода билан топилган E тақиқланган зонанинг катталигига teng бўлади.

Ҳақиқатда тақиқланған зона кенглигі температурага боялған бўлади ва бу боғланишнинг кўриниши ўлчаш натижаларига кучли таъсир кўрсатади. Агар E нинг температурага боғланиши

$$E = E_{\text{so}} - \beta T \quad (2.80)$$

кўринишида бўлса, кўрилаётган усул билан (2.77) дан $T=0$ даги тақиқланған зона кенглигининг қиймати аниқланади. У исталган температурадаги қийматини (2.91) орқали аниқлаш учун β бошқа ўлчашлар билан топилган бўлиши керак. E нинг ҳароратга боғланиши мураккаброқ чизиқли бўлмаган кўринишида бўлса, $\ln(\sigma_e T^{\gamma-\frac{1}{2}})$ нинг $1/T$ га боғлиқлиги чизиқли боғланишдан анча четта чиқади ва (2.78) формула билан топилган энергия қийматини тақиқланған зона кенглигининг ҳақиқий қийматини ҳеч қайси бир температурада бермайди (ифодаламайди).

б. Холл доимийсининг температурага боғланишига тақиқланған зона кенглигини аниқлаш

Биз юқорида келтирган аралашмавий (киришмавий) ўтказувчанликка эга бўлган яримўтказгичларнинг Холл доимийси (2.09) хусусий ўтказувчанлик соҳаси ($n=p=n_i$) да (2.09) ва (2.73) формулаларга кўра қўйидаги

$$R_H = \frac{r_H}{e} \frac{\mu_n - \mu_p}{\mu_n + \mu_p} (N_c \cdot N_v)^{-\nu_2} \exp\left(\frac{Eg}{2kT}\right) \quad (2.81)$$

кўринишига эга бўлишини кўрган эдик. Кўп ҳолларда амалда бажариладиган $\frac{\mu_n - \mu_p}{\mu_n + \mu_p}$ нисбатнинг температурага боялған эмас деб фараз қилиб, (2.81)

$$R_H T^{\frac{1}{2}} = c \exp\left(\frac{Eg}{2kT}\right) \quad (2.82)$$

кўринишига келтирилади (2.82) дан кўринадики, Холл доимийсини ҳар хил температурада ўлчаб, хусусий ўтказув-

чанлик соҳасида E_g ни аниқлаш мумкин. Бунинг учун тажриба натижасини $\ln(R_H T^{1/2})$ нинг $1/T$ га боғланиши кўринишида чизиб, унинг оғиш бурчаги тангенси топилади ва у орқали E_g ҳисобланади:

$$E_g = 2\kappa \frac{\Delta \ln(R_H T^{1/2})}{\Delta(1/T)} \quad (2.83)$$

E_g -ни электрон-вольт бирлигига аниқлаш учун

$$E_g = 0,397 \frac{\Delta \lg(R_H T^{1/2})}{\Delta \left(\frac{1000}{T}\right)} \quad (2.84)$$

ифода қўлланилади. Шуни айтиш керакки, бу усул билан топилган E_g температураси $T=0$ К га мос келган ҳақиқий тақиқланган зона кенглигини беради. Агар $\ln(R_H T^{1/2})$ нинг $(1/T)$ га боғланиши чизиқли боғланишдан кучли фарқ қиласа, буни тақиқланган зона кенглигининг температурага чизиқли боғланишидан фарқ қилиши билан ҳамда катта концентрацияли заряд ташувчиларни кўп фононли сочилиш ва электрон-кавак жуфтларида сочилиш жараёнларини вужудга келиши билан тушунтириш мумкин. Бу охирги икки жараён сочилиш механизмларига боғлиқ бўлган Холл коэффициентларига (r_{nH} , r_{pH}) таъсир қиласи, ҳаракатчанликнинг температурага боғланиши кўринишини ўзgartиради.

в. Эркин заряд ташувчиларнинг концентрациясини температурага боғланишидан ΔE_p , N_A , N_D -ни аниқлаш

Холл доимийсининг катта температура оралигида ўзгаришини тадқиқ қилишда эркин заряд ташувчилар концентрациясининг ҳароратга боғлиқларини таҳтил қилмоқ керак. Умумий ҳолда уни таҳтил қилиш анчагина мураккаб масаладир. Ҳақиқий n -тип яримутказгичларда ҳамма вақт бир неча турдаги донор ва акцептор киришмалар бўлади. Баъзи бир киришма атомлари биргина электронни эмас, балки бир неча электронни бериши ёки қабул қилиши (бириктириши) мумкин. Киришма атомларининг

асосий сатқидан ташқари, киришмаларнинг қўзғалган сатҳи электронни тутиб олиши мумкин. Булардан ташқари энергетик сатҳларнинг айнишини ҳисобга олиш керак.

Ҳар бир яримұтказгичда қандайдир миқдорда донор ҳамда акцептор киришмаларининг бўлиши яримұтказгични қисман компенсациялади. Шунинг учун, ҳар бир алоҳида олинган ҳолда, нимани ташлаб юбориш кераклиги ҳал қилиниши керак.

Айтайлик, яримұтказгичнинг тақиқланган зонасида энергия сатҳлари E_D ва E_A бўлган донор ва акцептор киришмалар ва уларнинг концентрациялари N_D , N_A ва $N_D > N_A$ бўлсин. Шундай қилиб, яримұтказгич электрон ўтказувчаникка эга бўлиб, қисман компенсацияланган бўлади. Бизга маълумки, электронейтраллик шароитида мусбат зарядлар миқдори манфий зарядлар миқдорига тенг бўлади. Манфий зарядлар ўтказувчан зонадаги эркин электронлар концентрацияси билан акцептор сатҳидаги ионлашган акцептор атомларининг йигиндинисига тенг, мусбат зарядлар зичлиги валент зонадаги каваклар концентрацияси билан ионлашган донор киришма атомлари йигиндинисидан иборат. Яримұтказгичларда электрон ва каваклар статистикасига кўра донор сатҳидаги электронлар ва акцептор сатҳидаги электронлар концентрациялари кўйидаги ифодалар билан аниқланади:

$$n_D = \frac{N_D}{1 + \frac{1}{g_D} \exp\left(-\frac{E_D - E_F}{kT}\right)} \quad (2.85)$$

$$n_A = \frac{N_A}{1 + \frac{1}{g_A} \exp\left(-\frac{E_A - E_F}{kT}\right)}$$

Бу ерда g_D , g_A киришма сатҳларининг айниш коэффициенти омили содда бўлган ҳолда сатҳларнинг айниши факат электрон спини билан боғланган бўлганда, донор киришмаси учун $g_D=2$, акцептор киришмаси учун $g_A=1/2$ бўлади. Германийда саёз энергетик сатҳ ҳосил қиласидиган

донор киришмалар сатхι учун $g_D=2$ га, акцептор сатхлар учун $g_A=4$ га тенг бўлади. Юқоридаги изоҳга кўра айни-маган n -тип киришмавий яримўтказгичлар учун электронейтраллик шарти

$$n + n_A = N_D - n_0 + p \quad (2.86)$$

кўринишни олади. Бу тенглама асосида заряд ташувчилар концентрациясининг температурага боғлиқлигини таҳдил қилиш мумкин ва уларда ўзига хос характерли соҳаларни аниқлаш мумкин. (2.86) да Маҳаллий рекомбинация марказларидағи электронлар ҳисобга олинмаган, яъни рекомбинация марказларининг концентрацияси кичик деб фараз қилинган. Паст температураналар соҳасида валент зонадаги каваклар концентрациясини электрон концентрациясига нисбатан ҳисобга олмаслик мумкин ($n \gg p$). Бундан ташқари, ҳамма акцептор киришма атомини ионлашган $n_A = N_A$ деб ҳисоблаш мумкин. Шу тахминларни назарда тутсак, электронейтраллик тенгламиши (2.86)

$$n + n_A - N_D - n_D = n + N_A - N_D + N_D \left[1 + \frac{1}{g_0} \exp\left(\frac{E_D - E_F}{KT}\right) \right]^{-1} = 0 \quad (2.87)$$

кўринишга келади. Бу тенгламада

$$n = N_e \exp\left(-\frac{E_D - E_F}{KT}\right) \quad (2.88)$$

бўлишини ҳисобга олиб, (2.87) ифодадан

$$\frac{(n + N_A)n}{N_D - N_A - n} = \frac{N_e}{g_F} e^{-\frac{\Delta E_D}{KT}} \quad (2.89)$$

Формулага келамиз. Бу ерда $\Delta E_D = E_C - E_D$ — киришма атомининг ионланиш энергияси. Паст температура соҳасида электрон концентрацияси камаяди ва (2.89) нинг маҳражида электрон концентрациясини N_D -га нисбатан ташлаб юбориш мумкин. Бунда (2.89) дан

$$n = \frac{N_D - N_A}{N_A + n} N_c \exp\left(-\frac{\Delta E_D}{kT}\right) \quad (2.90)$$

ифодани оламиз ва уни температурага боғлиқ икки соҳасини текшириб кўрамиз:

Тўла ионланиш температурасидан

1. Паст температурада ($T_3 > T_1$)

$$n \ll N_A, \text{ агар } N_D > 2N_A \quad (2.91)$$

$$n \ll N_D, \text{ агар } N_D < 2N_A$$

шартлар бажариладиган соҳада, яъни яримўтказгич компенсацияланган соҳада электрон концентрациясининг температурага боғлиқлиги

$$n = \frac{N_D - N_A}{g_D \cdot N_A} N_e \exp\left(-\frac{\Delta E_D}{kT}\right) \quad (2.92)$$

кўринишни олади.

2. Юқорироқ температура соҳасида ($T_3 > T_1 > T_0$), $N_D \gg N_A$, агар $N_D \gg n \gg N_A$ шартлар бажариладиган соҳада, яъни яримўтказгич компенсацияланмаган соҳада температура билан заряд ташувчилар (электронлар) концентрациясининг боғланишини

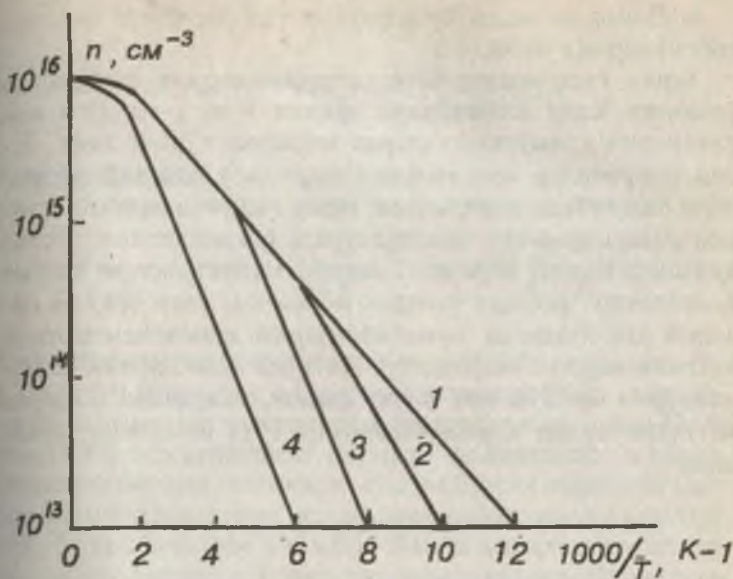
$$n = \sqrt{\frac{N_e N_D}{g_D}} \exp\left(-\frac{\Delta E_D}{2kT}\right) \quad (2.93)$$

кўринишда оламиз.

$n > N_A$ шарт $n < N_A$ шартга қараганда юқорироқ температурада бажарилади, шунинг учун электрон концентрациясининг температурага боғлиқлик графити икки соҳадан иборат бўлиб, булардан биринчиси аста-секин иккинчи сига ўтади (2.12-расм).

3. Электрон концентрацияси логарифмининг температура ($1/T$) га боғланишини назарий ҳисоблаш натижаси.

Киришмавий электр ўтказувчанлик соҳасида (2.92) ва (2.93) ифодаларга кўра, донор ва акцепторларнинг энер-



2.12-расм. Ҳар хил акцептор концентрациясида назарий ҳисобланган заряд ташувчилар концентрациясининг температурага боғлиқлиги.

$$N_d - N_A = 10^{16} \text{ cm}^{-3}; E_d = 0,1 \text{ эВ}; m_d = 0,25 m_0; g_d = \frac{1}{2} \text{ бўлган хол учун}$$

$$1 - N_A = 0; 2 - N_A = 10^{14} \text{ cm}^{-3}; 3 - N_A = 10^{15} \text{ cm}^{-3}; 4 - N_A = 10^{16} \text{ cm}^{-3}$$

гия ионизацияси ΔE_d , ΔE_A нинг тоза киришмавий электр ўтказувчанлик соҳасида Ҳолл доимийсининг температурага боғлиқлиги (компенсацияланмаган яримўтказгичда)

$$\lg(R_H T^{\chi}) = f(1000/T)$$

компенсацияланган киришмавий электр ўтказувчанлик ҳолида эса

$$\lg(R_H T^{\chi}) = f(1000/T) \quad (2.94)$$

Функциялари оғиш бурчагининг тангенси орқали (2.83) ини (2.84) дан E_g ни аниқлаш каби топилади.

4. Донор ва акцептор киришма атомларининг концентрацияларини аниқлаш.

Заряд ташувчилар концентрацияларини тажрибада ўлчанган Холл доимийлари орқали n ва p -типдаги киришмавий яримутказгичларда топишни кўрган эдик. Заряд ташувчилар концентрацияларининг назарий ифодалари тажрибада аниқланган заряд ташувчиларнинг концентрацияларининг температурага боғлиқлигини таҳлил қилишга имкон беради. Тажриба натижаларини таҳлил қилишнинг мақсади шундан иборатки, улар орқали назарий ҳисобланган муносабатларни қаноатлантирувчи катталикларни аниқлашдир. Назарий ҳисобланган катталикларни маълум деб фараз қилиш, тажрибада олинган катталиклардан киришмаларнинг тўла ионланиш соҳасида

$$n(T_3) = N_D - N_A \quad (2.95)$$

қийматни аниқлашга имкон беради. Ин $n(T) = f(1/T)$ функция оғиш бурчагининг тангенсидан донор киришма атомининг ионланиш энергияси топилади. Бунда ΔE_D ни билган ҳолда T_1 температурада ($T_1 < T_3$) электрон концентрацияси $n(T_1)$ ни ўлчаб, (2.92) дан

$$N_A \cdot g_D = \frac{n(T_3) \cdot N_c}{n(T_1)} \exp\left(-\frac{\Delta E_D}{kT_1}\right) \quad (2.96)$$

ифодани оламиз.

(2.93) ифодани қаноатлантирувчи T_2 температура ($T_3 > T_2 > T_1$) соҳасида электрон концентрациясини билган ҳолда (2.93) дан

$$\frac{N_D}{g_D} = \frac{n^2(T_2)}{N_e} \cdot \exp\left(\frac{\Delta E_D}{kT_2}\right) \quad (2.97)$$

ифода топилади. (2.96) ва (2.97) ларнинг кўпайтмаси ва (2.95) N_D , N_A -га нисбатан тенгламалар тизимини ташкил этади. Тенгламалар тизимининг ечими

$$N_D = \frac{1}{2} A^{\frac{1}{2}} + \frac{1}{2} n(T_3) \quad (2.98)$$

$$N_A = N_D - n(T_3) = \frac{1}{2} A^{\frac{1}{2}} - \frac{1}{2} n(T_3)$$

бұлади, бу ерда

$$A = \left[n^2(T_3) + 4 \frac{n^2(T_2) \cdot n(T_3)}{n(T_1)} \cdot \exp \left[- \frac{\Delta E_D(T_2 - T_1)}{K T_1 T_2} \right] \right]^{\frac{1}{2}}$$

Агар киришма сатұларининг айниш коэффициентлари (g_d , g_n) маълум бўлса ёки олдиндан танланган бўлса, киришма концентрациясини топишида назарий хисобланган (2.96) ёки (2.97) ифодаларнинг биридан фойдаланиш мумкин. Бунда ионланиш энергияси маълум бўлган киришма концентрацияларини аниқлаш Холл доимийсининг икки температурада ўлчангандык қиймати бўйича аниқлаш масаласига келади. Биринчи ўлчаш киришмаларнинг тўла ионланиш соҳасида ўтказилади:

$$R_H(T_1) = \frac{r_{H3}}{e n(T_3)} = \frac{r_{H1}}{e(N_D - N_A)} \quad (2.99)$$

Иккинчи ўлчаш T_1 ёки T_2 соҳаларда ўтказилади:

$$R_H(T_1) = \frac{r_{H1}}{e n(T_1)}; \quad R_H(T_2) = \frac{r_{H2}}{e n(T_2)} \quad (2.100)$$

Булардан (2.96), (2.97) га кўра N_A ва N_D лардан бири

$$N_A = \frac{1}{\varepsilon_D} \frac{r_{H3}}{R_H(T_3)} \cdot \frac{R_H(T_1)}{r_{H1}} N_c \cdot \exp \left(- \frac{\Delta E_D}{\kappa T_1} \right) \quad (2.101)$$

ёки

$$N_D = \frac{r_{H2}^2 \varepsilon_D}{(e R_H(T_2))^2 N_c} \exp \left(- \frac{\Delta E_D}{\kappa T} \right)$$

аниқланади. (297) ифода ёрдамида донор концентрацияси N_D аниқланса акцептор концентрацияси N_A ҳисобланади. Аксинча, N_A аниқланса $N_D - N_A = n(r_3)$ дан ҳисобланади. Агар T_1 ва T_2 температуруларда заряд ташувчиларда сочилиш кристалл панжарарадан ионлашган киришмаларга үтиш соҳасида бўлса, $\frac{r_{H3}}{r_{H1}} = 0,61$ бўлади ва зарурият бўлганда буни ҳисобга олиш керак. N_A ва N_D ларни аниқлашнинг яна бир усулини кўрайлик. Бу усул заряд ташувчилар концентрациясини аниқлашнинг (2.89) ифодасига асосланган, нейтраллик шартидан олинган (2.89) формуладан акцептор концентрациясини

$$N_A = \frac{1}{g_D} N_c \exp\left(-\frac{\Delta E_p}{kT}\right) \cdot \left(\frac{N_D - N_A}{n} - 1\right) - n \quad (2.102)$$

кўринишига келтирамиз. Бу ифода кенг температура орлиғида аралаш ўтказувчанлик соҳасигача бажарилади, чунки буни олишда ҳеч қандай фаразсиз электронейтраллик шартидан тўғридан-тўғри олинган. (2.102) ифодага кўра, киришма атомининг ионланиш энергияси маълум бўлса, Холл доимийсининг икки марта ўлчангандан қиймати бўйича: 1) биринчи ўлчаш киришма атомининг тұла ионланиш соҳасида (T_3); 2) ихтиёрий T_1 температура ($T_1 < T_3$) да шу ўлчашларга кўра, N_D ва N_A

$$N_A = \frac{1}{g_D} N_c \exp\left(-\frac{\Delta E_p}{kT}\right) \cdot \left[\frac{r_{H3} R_H(T_1)}{R_H(T_3) \cdot r_{H1}} - 1 \right] - \frac{r_{H1}}{e R_H(T_1)} \quad (2.103)$$

$$N_D = \frac{r_{H3}}{e R_H(T_3)} + N_A$$

формулалардан ҳисобланади. Умуман 4 та катталиктини N_A , N_D , g_D , ва ΔE_p ни аниқлаш учун (2.102) ифодага кичик квадратлар усулини кўллаб, уларнинг шундай қийматлари топиладики, улар эксперимент натижалари билан мос түшсин. Юқорида келтирилган муроҳаза ва усулларни тұла p -тип ўтказувчанликка эга бўлган яримётказгичларга ҳам кўллаш мумкин.

Юқорида күрилган усуллардан ташқари, N_A ва N_B ни аниқловчи бир қанча усуллар бор. Масалан, паст температурада инфрақизил нурларнинг киришма атомларида ютилишига асосланган усулни кўрсатиш мумкин. Бундай тажрибалар ўтказиш мураккаб бўлиб, олинган натижалар етарли даражада ноаниқдир. N_B ва N_A ни алоҳида аниқлашда уларнинг парамагнетик резонансларини текшириш орқали аниқлаш мумкин. Бунда жуда ҳам катта қийинчиликларга дуч келинади. Шулар билан бирга, магнит майдонида қаршиликнинг ўзгаришига асосланган усулни ҳам келтириш мумкин.

ЯРИМҮТКАЗГИЧЛАР ПАРАМЕТРЛАРИНИ ОПТИК УСУЛЛАР БИЛАН ҮЛЧАШ

3.1-§. Яримүтказгичларнинг оптик параметрлари

Яримүтказгичларда оптик ҳодисалар асосида электромагнит түлқинларнинг боғланган валент электронлар, боғланмаган эркин заряд ташувчилар, кристалл панжара ва киришма атомлари, электрон-ковак плазмалари билан ўзаро таъсири ётади. Шунинг учун оптик ҳодисалар яримүтказгичли кристалларда түлқин узунлиги $0,2 \div 100$ мкм оралиғида бўлган электромагнит түлқинлар таъсирида содир бўладиган кенг жараёнларни ўз ичига олади.

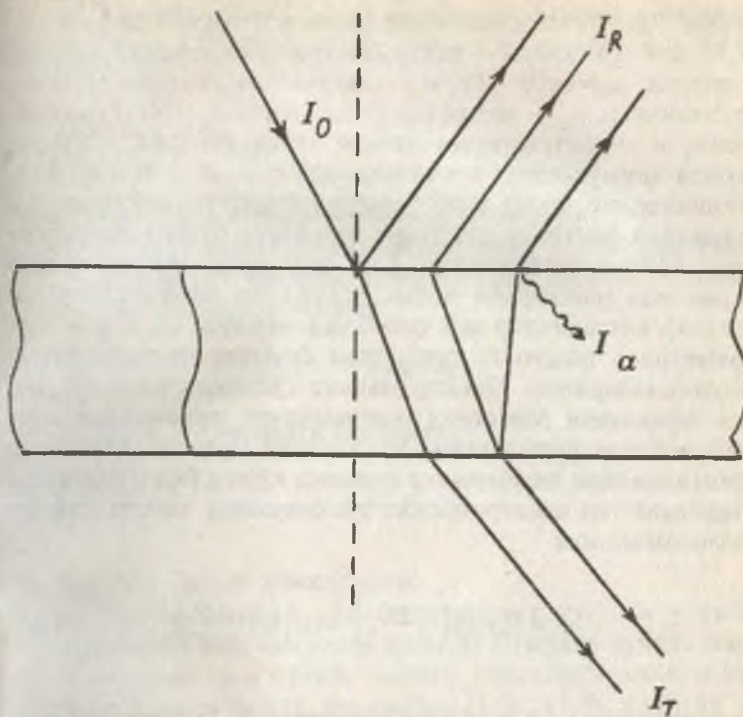
Яримүтказгич сиртига тушган ёруғлик уч қисмга ажралади: бир қисми қайтади, бир қисми синиб намунага киради, унинг бир қисми ютилиб, бир қисми эса намунадан ўтади (3.1а-расм). Намунадан қайтган I_R , ўтган I_T ва намунада ютилган I_a ёруғлик интенсивликларининг уларга тушган ёруғлик интенсивлиги I_0 га нисбати билан аниқланадиган катталиклар

$$R_v = \frac{I_R}{I_0}; \quad T_v = \frac{I_T}{I_0}; \quad A_v = \frac{I_a}{I_0} \quad (3.1)$$

мос равишда намунанинг ёруғликни қайтариш ва ўтказиши (шаффоффлик, тиниқлик) коэффициентлари, A_v – ютиш қобилияти деб аталади. Бу катталиклар намунадан ёруғлик оқимининг қандай қисми қайтишини, ўтишини ва намунада ютилишини кўрсатади. Энергиянинг сақланиш қонунига мувофик:

$$R_v + T_v + A_v = 1 \quad (3.2)$$

бўлади. Оптика курсларидан маълумки, T , R , A лар билан оптик константалар орасидаги муносабатлар элек



3.1, а-расм. Пластина шаклидаги яримүтказгич намунада нурнинг йўли.

Ўтказувчан муҳитда (солишиштирма электр ўтказувчанилиги $\sigma \neq 0$ бўлганда) комплекс нур синдириш кўрсаткичи билан аниқланади

$$\bar{n}^2 = c^2 \mu_0 \left(\mu \epsilon_0 - i \omega \right) = (n - i \chi)^2 \quad (3.3)$$

Бу ерда нур синдириш кўрсаткичи \bar{n}^* нинг ҳақиқий қисми $n = c/i$ бўлиб, у ёруғликнинг вакуумда тарқалиш тезлигини яримүтказгичдаги тарқалиш тезлиги i га нисбати олган аниқланадиган катталиқдир. Мавхум қисми χ электромагнит тўлқинларининг муҳитда сўнишини кўрсатдиган катталиқдир. Шунинг учун χ — ютилиш кўрсат-

кичи ёки экстенция коэффициенти деб юритилади, $\epsilon_0 = (4\pi \cdot 9 \cdot 10^{-9}) \Phi/m$ — вакуумнинг диэлектрик сингдирувчанлиги, $\mu_0 = 4\pi \cdot 10^{-7} \text{ Гн}/m$ — вакуумнинг магнит сингдирувчанлиги, ϵ — намунанинг диэлектрик сингдирувчанлиги, σ — солишиштирма электр ўтказувчанлик. Ўмумий ҳолда яримўтказгич кристаллариди ϵ , μ , σ — тензор катталиклардир, яъни улар электромагнит тўлқинларининг кристалл ўқларига нисбатан тарқалиш йўналишига бўлиқ бўлган катталиклар. Куб шаклидаги кристалларда кристалл панжараси оптик ҳодисалар параметрларини скаляр катталиклар деб ҳисоблаш мумкин. ϵ_1 , σ , μ — параметрлар намунага тушаётган ёруғлик частотасининг функцияларидир. Электромагнит тўлқинларнинг муҳитда тарқалиши Максвелл тенгламалари тизимининг ечими асосида ўрганилади. Ўтказувчан муҳитда Максвелл тенгламалари тизимининг ечимига кўра z ўки йўналища тарқалаётган электромагнит тўлқинининг электр майдон кучланганлиги

$$E_z = E_{v0} \exp\left(-\frac{\omega_x}{c} z\right) \cdot \exp\left(i\omega t - \frac{rz}{c}\right) \quad (3.4)$$

кўринишдаги ифода билан аниқланади. Бу формула амплитудаси экспонента қонуни бўйича сўнувчи ясси электромагнит тўлқинларнинг электр майдон кучланганлигини ифодалайди. Одатда оптик асбобларда электр майдон кучланганлиги амплитудаси квадратига пропорционал бўлган ёруғлик интенсивлиги (I) ўлчанади. Шунга кўра, (3.4) дан

$$I_v \sim \left[E_{v0} \exp\left(-\frac{\omega_x}{c} z\right) \right]^2 = E_{v0}^2 e^{-\frac{2\omega_x}{c} z} \quad (3.5)$$

бўлади. Бундан кўринадики, муҳитда тарқалаётган ёруғликнинг интенсивлиги намуна сиртидан узоклашган сари камайиб боради. (3.5) тенгламанинг

$$I_v = I_0 e^{-\alpha z} \quad (3.6)$$

күринишдаги ифодаси ёруғликнинг мұхитда ютилишини күрсатувчи Бугер-Ламберт қонуни деб юритилади. Бу ерда

$$\alpha = 2 \frac{\omega \chi}{c} \quad (3.7)$$

α — ютилиш коэффициенти деб аталади.

Яримұтказгичларнинг оптик хоссаларини ёритишида n ва χ билан бир қаторда, комплекс диэлектрик сингдирувчанлик ҳам құлланилади:

$$\epsilon = \epsilon_1 - i\epsilon_2 \quad (3.8)$$

n^* билан ϵ орасидаги боғланиш

$$\bar{n}^* = \sqrt{\epsilon \mu} \quad (3.9)$$

формула билан аниқланади.

Электромагнит түлқинларининг түлқин узунлиги $\lambda=0,2 \div 100$ мкм соңасыда яримұтказгичлар күчсиз магнит хоссаларига эга бўлиб, магнит сингдирувчанлиги бирга яқин бўлади ($\mu \approx 1$). Бу вақтда (3.3), (3.7), (3.8) ва (3.9) тенгламалардан

$$\epsilon_1 = n^2 - \chi^2; \quad \epsilon_2 = 2n\chi = \frac{\sigma}{\epsilon_0 \omega}; \quad \alpha(\omega) = \epsilon_2 \frac{\omega}{nc} \quad (3.10)$$

бўлишилигини қўрамиз. Яримұтказгичларнинг оптик хоссаларини ϵ_1 ва ϵ_2 , орқали ҳисоблашга зарурият бўлган вақтда n ва χ параметрларга ўтиш унчалик қийинчилик туғдирмайди. Нур синдириш курсаткичлари n_1 ва n_2 бўлган мұхит чегарасига тушган ёруғлик иккига ажралади: бир қисми қайтади, бир қисми эса синиб, намунага киради. Маълумки, кутбланган ёруғлик икки мұхит чегарасига тушганда қайтган (E'), синган (E'') түлқинларнинг электр майдон кучланганларлари амплитудалари Френель тенгламалари орқали аниқланади. Бунда $\mu_1 = \mu_2 \approx 1$ бўлганда E' ва E'' лар қуйидаги ифодалар орқали топилади:

$$E'_{vp} = E_{vp} \frac{\operatorname{tg}(\varphi - \varphi^*)}{\operatorname{tg}(\varphi + \varphi^*)}; \quad E''_{vs} = \frac{\sin(\varphi^* - \varphi)}{\sin(\varphi + \varphi^*)} \cdot E_{vs}$$

(3.11)

$$E''_{vp} = E_{vp} \frac{2 \sin \varphi^* \cos \varphi}{\sin(\varphi + \varphi^*) \cos(\varphi - \varphi^*)}; \quad E''_{vs} = \frac{2 \sin \varphi^* \cos \varphi}{\sin(\varphi + \varphi^*)} \cdot E_{vs}$$

Бу ерда φ — тушиш, φ'' — синиш бурчаклари. E_p , E_s — тушаётган түлқинларнинг электр майдон кучланганликлари амплитудаси. P ва S — индекслар электр майдон кучланганлигини ёруғликнинг тушиш текислигига параллел ва унга тик текислиқда ётишини мос равищда кўрсатади. Кутбланган ёруғликнинг намунадан қайтиш коэффициентлари

$$R_{vs} = \left| \frac{E'_{vs}}{E_{vs}} \right|^2; \quad R_{vp} = \left| \frac{E'_{vp}}{E_{vp}} \right|^2 \quad (3.12)$$

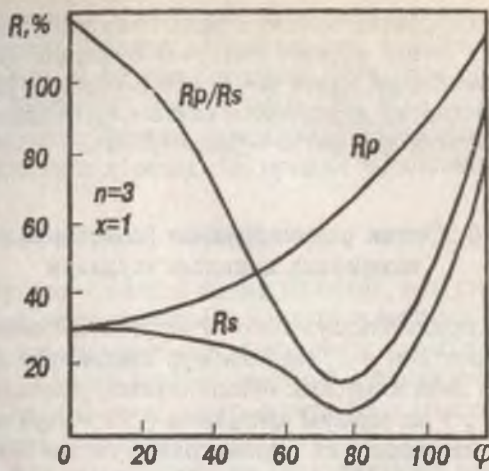
ўтиш коэффициентлари (шаффофлик коэффициентлари) куйидаги ифодалар билан аниқланади.

$$T_{ss} = \left| \frac{E''_{ss}}{E_{ss}} \right|^2; \quad T_{vp} = \left| \frac{E''_{vp}}{E_{vp}} \right|^2 \quad (3.13)$$

Френель тенгламаларидан кўринадики, ёруғликнинг намунадан қайтиш ва ўтиш коэффициентлари ёруғликнинг тушиш бурчагига (3.16-расм), оптик константаларига, электр майдон кучланганлиги векторининг йўналишига боғлиқ. Эслатиб ўтамиз, Френель тенгламалари муҳитнинг нур синдириш кўрсаткичи комплекс бўлган ҳол учун ҳам ўринлидир. Бунда синиш қонуни

$$\frac{\pi}{n_1} = (n - i\chi) = \sin \varphi / \sin \varphi'' \quad (3.14)$$

кўринишида бўлади. Биринчи муҳит ҳаво бўлганда $n_1 = 1$ бўлиб, синиш бурчаги комплекс бўлади. Ёруғлик ҳаводан



3.1, б-расм. Ҳаво яримүтказгич чегарасида чизиқли қутбланган ёруғликнинг қайтиш коэффициентларининг тушиш бурчагига боғланиши (нур синдириш кўрсаткичи $n=3$, ютиш кўрсаткичи $c=1$ бўлган хол учун).

яримүтказгич сиртига тик тушганда $\varphi = \varphi'' = 0$ бўлади. Френель муносабатларига кўра, ҳаво-яримүтказгич чегарасидан ёруғликнинг қайтиш коэффициентининг оптик константалар (n ва χ) билан боғланиши қуидаги кўринишни олади:

$$R_r = R_{rs} = R_{ps} = \frac{(n - 1)^2 + \chi^2}{(n + 1)^2 + \chi^2} \quad (3.15)$$

(3.15) дан кўринадики, қайтиш коэффициенти ёруғлик тушганда унинг қандай қутбланганлигига боғлиқ бўлмайди. Қайтиш коэффициентининг тушиш бурчагига боғлиқлиги шуни кўрсатадики, тушиш бурчагининг $\varphi = 0 \div 17^\circ$ оралиғида деярли ўзгармайди, шунинг учун амалиётда тушиш бурчагининг $0 \div 17^\circ$ оралиғида ўлчангандай қайтиш коэффициентини тик тушгандаги каби қараш мумкин. (3.15) tenglamadan кўринадики, қайтиш коэффициентини ўлчаш билан бир вақтда икки параметр (n ва χ) ни аниқлаш мумкин эмас. Кўп яримүтказгичларда нур

синдириш кўрсаткичининг етарлича катта бўлиши туфайли, уларда ютиш кўрсаткичи $\chi=0$ бўлганда ҳам қайтиш коэффициентлари катта $R=30\div40\%$ бўлади. Намуналарда нур синдириш кўрсаткичи катта $n \gg \chi$ бўлганда қайтиш коэффициенти ҳам катта бўлади ($R \approx 1$).

3.2 §. Оптик параметрларни (константаларни) тажрибада аниқлаш усуслари

Биз юқорида ўтказувчан $\sigma \neq 0$ мухитда диэлектрик сингдирувчаник $\epsilon = \epsilon_1 - i\epsilon_2$ ни ёки нур синдириш кўрсаткичи $(\bar{n}^* = n - i\chi)$ нинг комплекс бўлишигини, уларнинг ҳақиқий (n , $\epsilon_1 = n^2 - \chi^2$) ва мавхум қисмлари (χ , $\epsilon_2 = 2n\chi$) нинг кристаллининг микроскопик параметрлари билан бевосита боғлиқ эканлигини кўрган эдик. Яримутказгичлар тузилишини, параметрларини оптик усувлар билан аниқлашда биринчи навбатда n ва χ ларни алоҳида ёки $\epsilon_1 = n^2 - \chi^2$ ва $\epsilon_2 = 2n\chi$ ларни ёруғлик тўлқин узунлигининг кенг соҳасида ва ҳар хил температураларда аниқлаш лозим. Оптик параметрларнинг (константаларни) аниқлаш усувларини икки гуруҳга бўлиш мумкин. Биринчи гуруҳ усувлари ёруғликнинг қайтиш коэффициентини ўлчашга, иккинчи гуруҳ усувлари намунанинг тиниқлигини (шаффоғлигини) ўлчашга асосланган. Оптик константалар (n , χ , α) ни тажрибада ўлчаш усувларни қисқача кўриб чиқамиз. Ютиш кўрсаткичи нур синдириш кўрсаткичидан анча кичик ($n \gg \chi$) бўлган тўлқин узунлиги соҳасида (3.15) дан (3.16) тенгламани оламиз:

$$R_v = \frac{(n-1)^2}{(n+1)^2} \quad (3.16)$$

$n^2 \gg \chi^2$ шарт тўлқин узунлигининг катта $\lambda > \lambda_s$ соҳасида $\left(\lambda_s = hc/E_g = \frac{1.24}{E_g(\text{eV})}, [\text{мк}] \right)$ ҳам бажарилади, бу ерда E_g — тақиқланган зона кенглиги. Кўп яримутказгичларда, ҳатто заряд ташувчилар концентрацияси катта бўлганда ҳам $n^2 \gg \chi^2$ шарт бажарилади. Шунинг учун (3.16) ифодадан нур синдириш кўрсаткичининг табиий ёруғликда қайтиш

коэффициентини ўлчаш билан аниқлаш мумкин. Кристалларда ёруғлик тұлқын узунлигининг күчсиз ютилиш соҳасида R ёки R_p/R -нинг тушиш бурчагига боғланиш графигидан Брюстер бурчаги, яни R_p , R_p/R -лар минимумга эришадиган бурчак аниқланади. Брюстер бурчаги (φ_B) нур синдириш күрсаткичи орқали ҳисобланади:

$$n = \operatorname{tg} \varphi_B \quad (3.17)$$

Агар намунада ютилиш содир бўлмаса, нур синдириш күрсаткичини яssi параллель сиртли пластина куринишида бўлган намунанинг шаффоғлигига қараб ҳам аниқлаш мумкин. Ҳавода турган пластина кўринишидаги намуна ичида ёруғликнинг қайта-қайта (куп марта) қайтиши содир бўлса (интерференцияни ва ютилишни ҳисобга олмагандан), унинг шаффоғлик (ёруғликнинг намунадан ўтиши) коэффициенти қўйидаги кўринишини олади.

$$T_v = \frac{1 - R_v}{1 + R_v} = \frac{2n}{n^2 + 1} \quad (3.18)$$

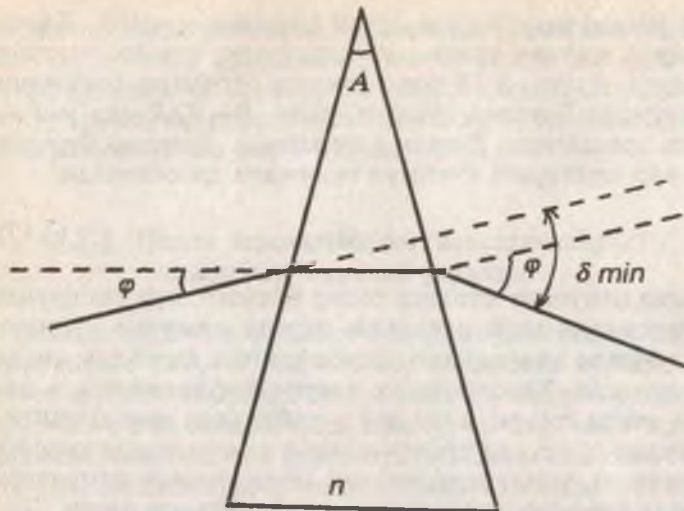
Шундай қилиб, намуна шаффоғлигини билган ҳолда нур синдириш күрсаткичи қўйидаги ифода билан аниқланади:

$$n = \frac{1 - \sqrt{R_v}}{1 + \sqrt{R_v}} = \frac{1 - [(1 - T_v)/(1 + T_v)]^{1/2}}{1 + [(1 - T_v)/(1 + T_v)]^{1/2}} \quad (3.19)$$

Бу ҳолда тўла қайтиш коэффициенти

$$R_v + T_v = 1 \quad (3.20)$$

ифода билан аниқланади. Бу ерда ҳам энергиянинг сақланиш қонуни бажарилади. Намунанинг юқори шаффоғлик (тиниклик) соҳасидаги нур синдириш кўрсаткичини аниқлашда катта аниқлик билан ўлчайдиган призма усулидан фойдаланиш мумкин. Бунинг учун текширилаётган намунадан синдириш бурчаги A бўлган призма яслади (3.2-расм). Тўлқын узунлиги λ бўлган монокроматик ёруғликнинг параллел оқими (дастаси) призмадан ўтган-



3.2-расм. Ёруғликнинг кичик бурчакка четланиши (оғиши) ҳолида призма орқали нур йули.

дан сўнг δ — бурчакка оғади, бунда нурнинг синиш бурчаги нурнинг призмадан чиқишидаги синиш бурчагига тенг бўлганда, n -ни ўлчашда энг катта аниқликка эришилади:

$$\varphi_{\text{кириш}} = \varphi_{\text{чиқарш}} = \varphi$$

Бу ҳолда δ — бурчак энг кичик бўлади. Шунинг учун призма усули одатда кичик бурилиш (оғиши) усули деб юритилади. Нур синдириш кўрсаткичи қўйидаги тенглама билан топилади:

$$n = \frac{\sin\left(\frac{A + \delta_{\min}}{2}\right)}{\sin(A/2)} \quad (3.21)$$

Текширишлар бу усул билан яримўтказгичларда нур синдириш кўрсаткичининг 0,01% аниқлик билан ўлчаш мумкинлигини кўрсатди.

Ютилиш кўрсаткичи (χ) ни ёки ютилиш коэффициенти (α) ни $n^2 \gg \chi^2$ бўлганда пластинка шаклидаги намуналарнинг шаффофлик коэффициентини ўлчаш билан аниқлаш мумкин,

$$T_v = \frac{(1 - R_v)^2 [1 + \lambda \alpha / 4\pi n]}{(\exp(\beta) - R_v \exp(-\beta))^2 + 4R \sin^2(\delta + \psi)} \quad (3.22)$$

бу ерда: $\beta = \frac{\alpha d}{2}$ (d — намуна қалинлиги, α — ютилиш коэффициенти), δ — намунадан ёруғлик бир марта ўтганидаги фаза ўзгариши (фаза силжиши)

$$\delta = \frac{2\pi}{\lambda} nd \cos \varphi$$

билин ифодаланади (φ — плёнкада нурнинг синиш бурчаги), ψ — намунадаги ёруғликнинг \vec{E} ва \vec{H} векторлари орасидаги фазавий бурчаги бўлиб,

$$\lg \psi = \frac{2\chi}{n^2 + \chi^2 - 1} \quad (3.23)$$

билин аниқланади. Агар интерференция кузатилмаса (намуна сиртидаги нуқсонлар туфайли ёки ёруғлик тўлқин узунылтигининг катта бўлиши туфайли), T , R ни α — орасидаги боғланишлари соддалашади ва

$$T_v = \frac{(1 - R)^2 [1 + (\lambda \cdot \alpha / 4\pi n)^2]}{\exp(\alpha d) - R^2 \exp(-\alpha d)} \quad (3.23a)$$

бўлади. $n^2 \gg \chi^2$ бўлганда, яъни $\frac{\alpha \lambda}{4\pi n} \ll 1$ да шаффофлик коэффициентининг $(1 - R)/(1 + R)$ дан 10% гача бўлган ўзгариш соҳасида шаффофлик коэффициенти қуйидаги тенгламадан аниқланади:

$$T_v = \frac{(1 - R_v) 2e^{-\alpha d}}{1 - R_v^2 e^{-2\alpha d}} \quad (3.23b)$$

Таъкидлаш керакки, бу соддалашган тенглама билан α ни аниқлаш учун катта ҳисоб қилиш талаб қилинади. Шунинг учун одатда α ни аниқлашда ҳар хил R ларга мос келган номограммалардан фойдаланилади. Шаффоффлик коэффициенти $n^2 \gg \chi^2$ бўлганда ($T < 10\%$ бўлса) $1 \gg R^2 e^{-2ad}$ бўлади ва (3.22б) дан ютилиш коэффициенти қўйидагича аниқланади:

$$\alpha = \frac{1}{d} \ln \left[\frac{(1 - R_v)^2}{T_v} \right] \quad (3.24)$$

Агар синдириш кўрсаткичлари бир биридан фарқ қиласа, плёнка (парда) тагликдан иборат структурани плёнкада ютилишини аниқлаш учун плёнка ҳаво ва плёнка таглик, таглик билан ҳаво чегараларидағи ёруғликнинг қайтишини ҳисобга олиш керак. Агар тагликда кучсиз ютилиш содир бўлса, юпқа қатламда ютилиш коэффициенти қўйидагича ҳисобланади:

$$\alpha = \frac{1}{d} \ln \left[\frac{(1 - R_{v1})(1 - R_{v2})(1 - R_{v12})}{T_v} \right] \quad (3.25)$$

Бу ерда: R_{v12} , R_{v2} , R_{v1} плёнка-таглик, таглик-ҳаво, плёнка-ҳаво чегараларидағи қайтиш коэффициентлари. Тажрибадан яримўтказгичларда ютилиш коэффициентини қайтиш ва шаффоффлик коэффициентлари натижалари буйича аниқлаш учун қўйидаги босқичлардан ўтилади. Дастреб намунанинг сиртига сайқал берилади, унинг қалинлиги $ad \gg 1$ шартига жавоб беради. Бу билан намунанинг остки сиртидан ёруғликнинг қайтиши таъсири йўқотилади ва мумкин бўлган тўлқин узунлиги соҳасида турли температурада ва бошқа ташки таъсирлар остида R_v ўлчанади, бу ёруғликнинг сиртдан бир карра (марта) қайтиши коэффициентини беради. Сўнгра намунанинг қалинлиги камайтирилади: $ad < 1$ ёки $(1 - R)/(1 + R) > T > 10\%$ шаффоффлик соҳасида ёруғликнинг ўтиш интенсивигини текширилаётган соҳада аниқ ўлчаш мумкин бўлсин. Бу ҳолда T ни ўлчаш имкони вужудга келади. Ютилиш коэффициентини шаффоффлик коэффициенти қиймати бўйича аниқ-

лашда $T > 10\%$ бўлганда (3.226) ва $T < 10\%$ бўлганда (3.25) тенгламадан фойдаланилади. Ютилиш коэффициентини аниқлашда фақат шаффофлик коэффициентини ўлчаш билан ҳам чегараланиш мумкин, бунинг учун қалинлеклари d_1 ва d_2 бўлган бир хил кристаллдан намуналар тайёрланади, уларнинг қалинлиги шундай бўлиши керакки ($\alpha d_1 > 1$ ва $\alpha d_2 > 1$ бўлиб), шаффофлик коэффициентлари T_{v1} ва T_{v2} , 10% бўлсин, у ҳолда текширилаётган намунахонг ютилиш коэффициенти

$$\alpha = \frac{1}{d_2 - d_1} \ln \frac{T_{v1}}{T_{v2}} = \frac{1}{d_2 - d_1} \ln \frac{I_{v1}}{I_{v2}} \quad (3.26)$$

билин ҳисобланади. Бу ерда I_{v1} ва I_{v2} мос равищда қалинлиги d_1 ва d_2 бўлган намуналардан ўтган ёруғлик интенсивлигидир. Агар тадқиқотчи ихтиёридаги намуна кичик бўлса, уни қалинлигини юққалаштириш билан ўлчаш мумкин.

Ютилиш коэффициенти α ни ҳисоблаш тенгламаси (3.25) нинг таҳлили $T < 10\%$ ва $R = 35\%$ бўлганда, шаффофликнинг 10^3 марта ўзгариши ютилиш коэффициентининг фақат 6 марта ўзгаришига олиб келади. Демак α нинг қийматини катта оралиқда ўлчаш учун битта материалдан ясалган ҳар хил қалинликдаги намуналар тўплами бўлиши керак. Масалан, яримўтказгичларда ёруғликнинг хусусий ютилиш чегарасида ютилиш коэффициенти (α) 10^2 дан то 10^4 см^{-1} гача ўзгарилиши мумкин. Қалинлиги d — бўлган ҳар бир намуна учун ютилиш коэффициентининг максимуми α_{\max} шаффофлик минимуми қиймати бўйича аниқланади. α_{\min} тажрибада α ни аниқлашда кузатиладиган энг катта хатоликка эришиш билан баҳоланади. Ютилиш коэффициентини ўлчашнинг нисбий $\delta\alpha = \frac{\Delta\alpha}{\alpha}$ хатолиги (3.26) учун

$$\delta\alpha = \delta d + \left(\frac{2R_v}{1 - R_v} \delta R_v + \delta T_v \right) \left[\ln \frac{(1 - R_v)^2}{T_v} \right]^{-1} \quad (3.27)$$

билин аниқланади. Агар α ни уни ташкил этувчилари-нинг хатоликлари йиғиндисидан ($\delta R + \delta d + \delta T$) катта бўлмаган хатолик билан ўлчанади деб фараз қилинса, у ҳолда $R = 35\%$ бўлганда

$$\alpha_{\min} \approx \frac{1}{d} \quad (3.28)$$

ифода ўринли бўлади ва у шаффофлик коэффициенти $T=16\%$ бўлгандаги қийматига мос келади. Ютилиш коэффициентининг $\alpha < 1/d$ соҳасида α ни аниқлашдаги хатолик α_{\min} ни аниқлашдаги хатоликдан катта бўлади. Шундай қилиб, текширилаётган соҳада ютилиш коэффициенти $\alpha = 10^{-1} \text{ см}^{-1}$ дан $\alpha = 10^4 \text{ см}^{-1}$ гача ўзгарса, камида икки хил d_1 ва d_2 қалинликдаги намуна олинниши керак. ($d_2 > d_1$). d_1 қалинликни топиш учун (3.26) тенгламага ютилиш коэффициентининг юқори чегараси 10^4 см^{-1} , R ва T -нинг минимум қийматлари қўйилиб ҳисобланади. Масалан, 10^4 см^{-1} , $T_{\min} = 0,01\%$ ва $R = 35\%$ бўлганда, $d_1 = 8,3 \text{ мкм}$ эканлиги кўринади. d_2 — қалинлик эса қўйидаги (3.29) тенглами билан топилади:

$$d_2 = \frac{1}{\alpha_{\min}} = \frac{1}{10 \text{ см}^{-1}} = 1 \text{ мм}. \quad (3.29)$$

Қалинлиги $d_2 = 1 \text{ мм}$ бўлган намунада ютилиш коэффициентини 10 дан 84 см^{-1} гача, қалинлиги $d_1 = 8,3 \text{ мкм}$ намунада 240 дан 10^4 см^{-1} гача текшириш мумкин. Ютилиш коэффициентини $84 \div 240 \text{ см}^{-1}$ оралиқда текшириш учун қалинлиги $d_3 = 200 \text{ мкм}$ бўлган учинчи намуна зарур (керак). Бу намуна билан $\alpha_{\min} = 50 \text{ см}^{-1}$ дан $\alpha_{\max} = 415 \text{ см}^{-1}$ гача ўлчаш мумкинки, кичик ютилиш коэффициентларини ўлчаща ютилиш коэффициентини аниқлашдаги хатоликнинг минимум бўлиш шарти $ad = 1$ дан ёруғликнинг тарқалиш йўналишида намуна қалинлиги катта бўлишилигини талаб этади. Жуда кичик ютилиш коэффициентларини $\alpha < 10^{-2} \text{ см}^{-1}$ ўлчаш учун маҳсус усуслар яратилган.

3.3-§. Заряд ташувчилар концентрацияси ва ҳаракатчанлигини ўлчашнинг оптик усуслари

Яримўтказгичларда ёруғликнинг эркин заряд ташувчиларда ютилиши хусусий ютилишнинг қизил чегарасидан катта бўлган тўлқин узунлиги соҳаси ($\lambda > \lambda_c$, ёки $h\nu > E_c$) да айниқса муҳим ўрин тутади. Эркин заряд ташувчилар-

да ёруғлик ютилиш механизмининг классик назариясида әркин заряд ташувчиларнинг ёруғлик (электромагнит) тұлқинининг электр майдонида олган кинетик энергиясига яримүтказгич намунасидаги ҳар хил нұқсанлар (кристалл панжара даврийлигининг бузилиши) билан үзартысьирлаштында (сочилишида) иссиқликка айланиши деб қаралади. Квант механикаси нұқтаи назаридан кристалл панжаранинг даврий майдонида ҳаракатланаёттан әркин электронлар импульснинг сақланиш қонунинг күра, ёруғликни ютмаслиги керак. Лекин кристалл панжаранинг тебраниши ёруғликнинг әркин электронда ютилишини вужудға келтиради. Оптик константаларнинг ёруғлик тұлқин узунлигига боғланиши аналитик ифодасини оптик константалар дисперсиясининг классик назарияси ёрдамида олиниши мүмкін. Бу назарияга күра қаттық жисм чизиқли осцилляторлар тұпламидан иборат деб ва электромагнит тұлқинларининг электр майдонида электроннинг ҳаракат тенгламаси ечими қаралади,

$$m\ddot{x} + m\omega_0^2 x + \frac{m}{\tau} \dot{x} = -eE_{v0} e^{i\omega t} \quad (3.30)$$

Бу тенгламанинг биринчи ҳади Ньютон кучини, иккінчи ҳади мувозанат ҳолатидан силжиган x масофага пропорционал бұлған (қайтарувчи) эластиклик кучини, учинчи ҳади тормозловчы кучни, яғни заряд ташувчилар тезлигига пропорционал бұлған ишқаланиш кучини, үнд томонидаги ҳади электронга электр майдонининг таъсир кучини тавсифлайды. Шундай қилиб, үтказувчан зонадаги электронларнинг эффектив массаси m , га тенг бұлған әркин электрон деб қаралади, шунинг учун (3.30) тенгламадаги қайтарувчи кучни нолға тенглаштириб ва m массасини электрон эффектив массаси билан алмаштириб,

$$m_n \ddot{x} + \frac{m_n}{\tau} \dot{x} = -eE_{v0} e^{i\omega t} \quad (3.31)$$

Электромагнит тұлқинининг электр майдонидаги әркин электрон ҳаракат тенгламасини оламиз. Электр майдон таъсирида электроннинг гармоник тебранма ҳаракати содир бұлади. Шу билан биргә бу тебранишнинг комплекс амплитудаси (3.31) тенгламага күра күйидегида бўлади:

$$x_0 = -\frac{e\ddot{E}_{v0}}{m_n} \cdot \frac{1}{\left(\omega^2 + \frac{\omega}{\tau} i\right)} \quad (3.32)$$

Бунда ҳосил бўлган қутбланиш вектори

$$\vec{P}_{vv} = eN\vec{x}_0 \quad (3.33)$$

бўлишилигини эътиборга олиб, электр майдон индукциясиning ифодасидан

$$\vec{D}_v = \epsilon_0 \epsilon \vec{E}_v = \epsilon_0 \vec{E}_v + \vec{P}_v, \quad (3.34)$$

комплекс диэлектрик сингдирувчанликнинг аниқланишини кўрамиз.

$$\epsilon = \epsilon_1 + \epsilon_2 \cdot i = 1 + \frac{\bar{P}_{vv}}{\epsilon_0 \bar{E}} \quad (3.35)$$

Зоналараро ўтишларни ϵ га қўшган ҳиссаси ҳисобга олинганда, хусусий ютилиш чегараси билан бўйлама оптика тебранишлар частотаси оралиғида $\omega_p > \omega > \omega_{\infty}$ диэлектрик сингдирувчанлик (3.35) тенглами

$$\epsilon(\omega) = \epsilon_\infty \left[1 + \frac{\omega_p^2}{\omega(\omega + i\tau^{-1})} \right]. \quad (3.36)$$

билин аниқланади. Бундан унинг ҳақиқий ва мавхум қисмлари қуйидаги қўринишни олади:

$$\epsilon_1(\omega) = n^2 - \chi^2 = \epsilon_\infty \left[\frac{1 - \omega_p^2 \tau^2}{(1 + \omega^2 \tau^2)} \right] \quad (3.37)$$

$$\epsilon_2(\omega) = 2n\chi = \frac{\epsilon_\infty \omega_p^2}{\omega} \left[\frac{\tau}{(1 + \omega^2 \tau^2)} \right] \quad (3.38)$$

Бу ерда $\omega^2 = n\epsilon_0\epsilon_m m$ — эффектив массаси m , концентрацияси N бўлган эркин заряд ташувчиларнинг плазмавий частотаси. (3.37) ва (3.38) ифодаларнинг релаксация вақти τ га боғлиқ ($\omega^2\tau^2 + 1$) кўпайтмаларида энергия бўйича ўрталаштириш ҳисобга олинмаган. Агар τ энергияга боғлиқ бўлса, ϵ_1 ва ϵ_2 лар электронларнинг кристалларда сочилиш механизмига боғлиқ бўлади. (3.37) ва (3.38) ларда электромагнит тўлқинларнинг кристалл панжара билан таъсирланиши ҳам ҳисобга олинмаган. Бу таъсирлашишда кимёвий боғланишнинг улуши кичик, заряд ташувчилар концентрацияси катта бўлган яrimутказгичларда унчалик муҳим эмас. Ёруғликнинг хусусий ютилиш чегарасининг частотаси билан кристалл панжаранинг бўйлами оптик тебранишлар частотаси оралифида тоза кристаллар учун юқори частотали диэлектрик сингдирувчаник частотага боғлиқ бўлмайди, доимий ϵ_m га teng бўлади. Бу частота оралифида ҳаракатчанлиги катта бўлган яrimутказгичлар учун

$$\omega^2\tau^2 \gg 1$$

шарт бажарилиши мумкин. n -тип германий учун релаксация вақти тахминан 10^{-13} секундни ташкил этади. Ёруғликнинг тўлқин узунлиги $\lambda = 20$ мкм бўлганда, $\omega^2\tau^2 \approx 400$ га teng бўлади. $\omega^2\tau^2 \gg 1$ шарт бажарилганда (3.37) ва (3.38) ифодалар

$$\epsilon_1 = n^2 - \chi^2 = \epsilon_\infty \left(1 - \frac{\omega_p^2}{\omega^2} \right) \quad (3.39)$$

$$\epsilon_2 = 2n\chi = \epsilon_m \omega_p^2 / \tau \omega^3 \quad (3.40)$$

куринишни оладилар.

Ёруғликни эркин заряд ташувчиларда ютилиш коэффициенти α (3.10) ва (3.40) ларга кўра

$$\alpha \approx \frac{\epsilon_m \omega_p^2}{n \cdot c \cdot \omega^2} \left\langle \frac{1}{\tau} \right\rangle - \lambda^2 \left\langle \frac{1}{\tau} \right\rangle \quad (3.41)$$

ифода билан аниқланади. Ютилиш коэффициенти заряд ташувчиларнинг сочилиш механизмига, яъни $\langle 1/\tau \rangle$ нинг

Үртача қийматига боғлиқ бўлиб, ёруғлик тўлқин узунлигининг квадратига пропорционалдир. Ўтказувчанликка ҳар хил типдаги заряд ташувчилар қатнашса, улардаги ютилишлар қўшилади. Паст частоталарда ($\omega^2\tau^2 \ll 1$) ютилиш коэффициенти:

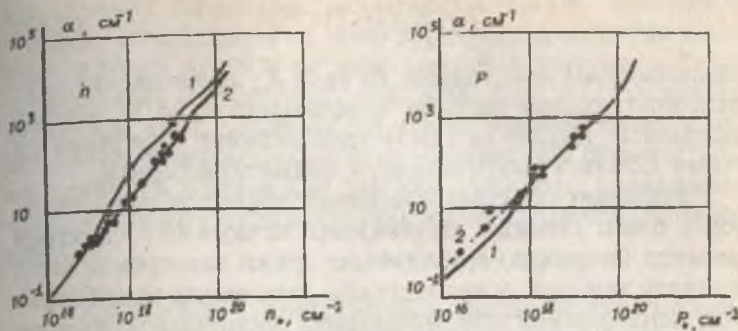
$$\alpha = Ne^2\tau/m^*c \cdot n e_0 \sim \sigma_0 \quad (3.42)$$

у частотага боғлиқ бўлмайдиган ва доимий электр майдонда кристаллнинг солиштирма ўтказувчанилигига пропорционал бўлган катталик.

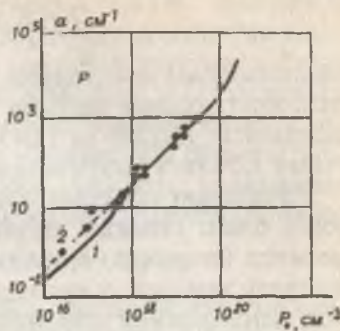
Релаксация вақтининг энергияга боғлиқлиги даражали функция кўринишида бўлганида (3.38) ни сочилиш механизмига боғлиқ бўлган γ коэффициентга кўпайтирилади. Сочилиш кристалл панжара тебранишида содир бўлса, $\gamma = 1,13$ га, ионлашган киришма атомда содир бўлса, $\gamma = 3,4$ га тенг бўлади. Эркин электронларда ёруғлик ютилишининг квант назариясига кўра ютилиш коэффициентининг тўлқин узунлигига боғлиқлиги $\alpha \sim \lambda^{-n}$ кўринишида ва даражада (η) 2 дан фарқли бўлиб, сочилиш механизмига қараб, 1 дан 4 гача ўзгаради. Кўпгина яримутказгич материалларда тажрибадан олинган ютилиш коэффициентининг тўлқин узунлигига боғлиқлиги мураккаб кўринишга эга.

a) Заряд ташувчилар концентрациясини ёруғликнинг ютилиши бўйича аниқлаш

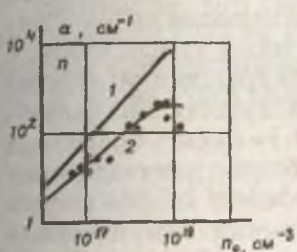
Тажрибада ютилиш коэффициенти бўйича, заряд ташувчилар концентрациясини аниқлашда, ютилиш коэффициентини уларнинг концентрациясига боғлиқлиги асос қилиб олинган. Ютилиш коэффициентини тажрибада аниқланган ёруғликнинг намунадан ўтиш ва қайтиш коэффициентлари бўйича ҳисоблаб, заряд ташувчилар концентрациясини аниқлаш мумкин. Лекин тажрибада аниқланган ва назария бўйича ҳисобланган натижалар бирбиридан фарқлангани учун одатда олдиндан тажрибада олинган $\alpha = f(N)$ градиуровка (даражалаш) графигидан фойдаланиб топилади. Бунинг учун заряд ташувчилар концентрацияси маълум бўлган бир қанча намуналарда ютилиш коэффициентининг концентрацияга боғлиқлиги аниқланади. Ютилиш коэффициентининг концентра-



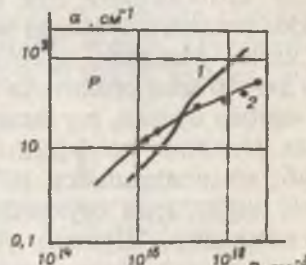
a)



b)



b)



3.3-расм. n , p — типдаги кремний намуналарда ёргулкнинг ютилиш коэффициенти ани заряд ташувчилар концентрациясига назарий (1-чизик) тажриба йўли билан (—чизик) боғланиш.
a — ёргулкнинг тўлқин узунлиги 40 мкм бўлган хол учун.

цияга назарий боғланиши, $\alpha = f(N)$ тажриба натижалари билан мос тушмаслиги эркин заряд ташувчиларда ёргулк ютилишининг назарий модели етарлича яхши ишланмаганилигидан далолат беради. Бир қанча ҳолларда тажриба ва назария натижалари қисқа тўлқин узунлиги оралигига мос тушади. Масалан, p , n -тип кремнийларда инфрақизил соҳанинг қисқа тўлқин узунлиги қисмида $\alpha(N)$ нинг назарий ва амалий қийматлари бир-бирига мос тушади, узун тўлқин узунлик қисмида эса, кучли фарқ кузатилади (3.3-расм).

Тажрибада ёргулкни намунадан ўтиш (шаффоффлик) коэффициенти орқали $T > 0,1$ да қиймати ютилиш коэффициенти (2.236) ва қайтиш коэффициенти

$$R = R_{\nu_0} (1 - T) e^{-\alpha d} \quad (3.43)$$

ифодаларидан аниқланади. Бу ерда R_{ν_0} яримчексиз намунада ёруғликнинг қайтиш коэффициенти, d — намуна қалинлиги. (3.236) ва (3.43) тенгламанинг биргалиқдаги ечими ютилиш коэффициенти қийматини беради.

Ўлчашнинг спектрал оралигини танлашда шуни эътиборга олиш керакки, оралиқнинг маълум бир спектрал қисмида (соҳасида) ёруғликнинг эркин электронда ютилишидан ташқари, у яна киришма атомларида ҳамда кристалл панжаранинг тебранишларида (фононларда) ютилиши мумкин. Заряд ташувчилар концентрациясини аниқлашда хатоликларга йўл қўймаслик учун ўлчанаётган тўлқин узунлиги соҳасида бошқа ютилишлар кичик булиши керак. Масалан, кремнийда тўлқин узунлигининг 6 мкм дан 40 мкм оралиғида фононда ёруғликнинг ютилиши намоён бўлади, шу билан бирга, ёруғликнинг фононларда ютилиш коэффициенти $0,3 \div 10 \text{ см}^{-1}$ оралиғида бўлиб, концентрацияси 10^{18} см^{-3} бўлган намуналарнинг эркин зарядларда ёруғликнинг ютилиш коэффициенти тартибидадир. Шунинг учун кремний намуналарида ўлчовни асосан тўлқин узунлигининг $\lambda < 5 \text{ мкм}$ ёки $\lambda > 40 \text{ мкм}$ бўлган соҳаларида ўтказилиши мақсадга мувофиқдир. Бунда қисқа тўлқин узунлик соҳасидан фойдаланиб стандарт ўлчов асбобларини қўллаган мъкулдир. Тажрибани заряд ташувчилар концентрацияси кичик бўлган намуналарда ўтказиш мақсадга мувофиқдир. Чунки ютилиш коэффициенти тўлқин узунлигининг ортиши билан ортиб боради. Бунда ўлчанаётган заряд ташувчилар концентрациясини қўйи чегараси 10^{15} см^{-3} гача камаяди (Ўлчаш техникаси 40 мкм да қийинлашади). Яримутказгич параметрларини ўлчашда ёруғлик манбаи сифатида лазер нурларининг қўлланиши катта имкониятлар яратади. Бунда ёруғликни тўлқин узунлиги тартибида бўлган кичик диаметрли юзага тўплаш (ёруғлик зондини олиш) ва намуналарнинг кичик соҳасини текшириш мумкин.

Лазер нурлари интенсивлигининг катта бўлиши ўлчов асбоблари ҳамда усульнинг сезгирилигини оширади, намунани тор ва кенг қилиб, лазер нурлари билан ёритиш мумкин. Лазерларни ёруғлик манбаи сифатида ишлатилишининг ютуғи шундан иборатки, инфрақизил интрос-

котларнинг характеристикаларини яхшилаш имконини беради. Ҳаракатланувчи лазер нурларига асосланган микроскопларни яратиш ва улар ёрдамида текширилаётган намуналарда бир жинсли эмаслиликнинг тақсимланиши тұғрисида аниқ маълумотлар олиш мүмкин ҳамда концентрация, ҳаракатчанлыкнинг нафақат юза бүйича, балки қалинлик бүйича ҳам ҳар хил күндаланг кесимларда тақсимланиши тұғрисидаги міндорий натижаларни олиш мүмкин.

б) Еруғликнинг плазма резонанси соҳасида намунадан қайтиши бүйича әркін заряд ташувчилар концентрацияси ва ҳаракатчанлыгини аниқлаш усули

Намунанинг нур синдириш (n) ва ютилиш күрсаткыч (χ) ларини (3.37) ва (3.38) лардан топиб, еруғликнинг қайтиш коэффициенти ифодаси (3.15) га қойсак, ЭХМ да ҳисоблаш қулагай бұлған

$$R(\omega) = R(a, b, \varepsilon_{\infty}) = \frac{(G^{-1}F - \varepsilon_{\infty}^{-\frac{1}{2}})^2 + a^2 F^{-2} G^{-2}}{(FG^{-1} + \varepsilon_{\infty}^{-\frac{1}{2}}) + a^2 F^{-2} G^{-2}} \quad (3.44)$$

қайтиш коэффициентининг спектрал боғлаништаги аналитик ифодаси олинади. Бу ерда:

$$F(a, b) = \left([a^2(b^2 - 1) + 1]b + \{[a^2(b^2 - 1) - 1]^2 b^2 + a^2\}^{\frac{1}{2}} \right)^{\frac{1}{2}} \\ G(a, b) = [2b(a^2 b^2 + 1)]^{\frac{1}{2}} \quad (3.45)$$

$$a = \omega_p \cdot \langle \tau \rangle; \quad b = \omega / \omega_p$$

бұлади. Шундай белгилаш билан өптик константаларнинг дисперсион муносабатлари қуидеги тенгламалар билан ифодаланади:

$$\varepsilon_1(\omega) = n^2 - \chi^2 = \varepsilon_{\infty} \left(1 - \frac{a^2}{a^2 b^2 + 1} \right) \quad (3.46)$$

$$\varepsilon_2(\omega) = 2n\chi = \frac{\varepsilon_\infty \cdot a}{b(a^2b^2 + 1)} \quad (3.47)$$

$$n(\omega) = \sqrt{\varepsilon_\infty} G^{-1}(a, b) F(a, b) \quad (3.48)$$

$$\chi(\omega) = \sqrt{\varepsilon_\infty} F^{-1}(a, b) G^{-1}(a, b) \quad (3.49)$$

Булар ёрдамида яримүтказгичлар параметрларини аниқлашда плазманинг тебраниш частотаси

$$\omega_p^2 = e^2 N / \varepsilon_0 \varepsilon_\infty \cdot m_n \quad \text{ёки} \quad \lambda_p = \frac{2\pi c}{\omega_p} \quad (3.50)$$

ва ўлчамсиз $a = \omega <\tau>$ катталик асосий параметрлардан ҳисобланади. Уларни билган ҳолда яримүтказгич хоссаларини тавсифловчи катталиклардан электр ўтказувчанинг частотага боғлиқлигини, ўзгармас ток учун солиштирма ўтказувчанлик (σ_0), релаксация вақти $<\tau>$ ни аниқлаш мумкин.

$$\sigma = (\omega) = \frac{c \varepsilon_\infty a}{2\lambda_p(a^2b^2 + 1)}; \quad \sigma_0 = \frac{c \varepsilon_\infty a}{2\lambda_p}; \quad <\tau> = \frac{a\lambda_p}{2\pi c} \quad (3.51)$$

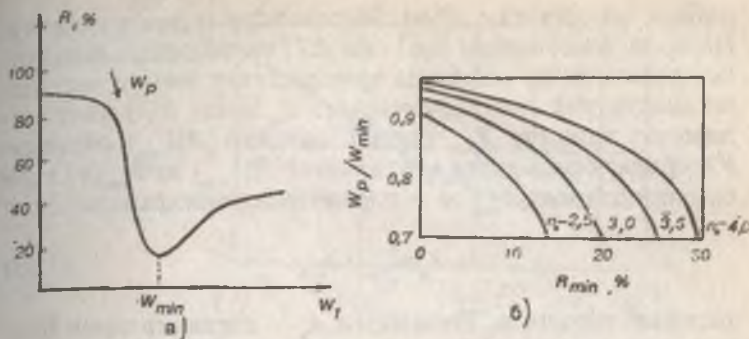
Эркин заряд ташувчилар концентрациясининг эффектив массасига нисбати куйидаги

$$\frac{N}{m_n} = \frac{\pi c^2 \varepsilon_\infty}{e^2 \lambda_p} \quad (3.52)$$

тenglama ёрдамида ҳисоблаб топилади. Демак, $R(\lambda)$ орқали намуна параметрларини аниқлашнинг биринчи босқичида λ_p ва a — параметрлар аниқланади. Бунинг учун ЭХМ да берилган

$$\varepsilon_\infty \{5(CdS), 8,5(GaAs), 10,5(GaP), 11,7(Si), 16(Ge)\}$$

a -ни 0 дан 25 гача, b -ни 0,5 дан 2,5 гача бўлган оралиқдаги қийматларида қайтиш коэффициентининг спектри



3.4-расм. Яримұтказгичли намунада концентрациянинг маълум қийматида қайтиш спектри (а), плазма частотаниң қайтиш коэффициентининг минимал қийматига боғланиши (б).

ҳисобланади. Кремний учун ($\epsilon_{\infty} = 11,7$) $R(\omega)$ ни ҳисоблаш натижалари 3.4а-расмда көлтирилган. Расмдан күриниб турибиди, частота ортиши билан ютилиш коэффициенти маълум бир частота (ω_p) дан бошлаб кескин камаяди, ω_p -га яқин соҳада минимумга эришади, сўнг оҳиста ортиб боради.

Ёруғликнинг плазма частотаси $\omega = \omega_p$ да намуналарда ютилиш ҳодисаси плазма-резонанс деб юритилади. Плазма-резонанс спектри бўйича яримұтказгичлар параметрини аниқлашнинг бир қанча усуллари яратилган. $R(\omega)$ дан маълумки, плазма-резонанс қисқа тўлқин узунлик соҳасида ($\lambda < \lambda_{min}$) ва $b > 1$ да б қанча катта бўлса, қайтиш коэффициентига a -параметр шунча кам таъсир қилади, у қайтиш спектрининг $b = 1$ соҳасида сезиларли таъсир кўрсатади. Параметр a нинг камайиши билан заряд ташувчилар концентрацияси ва қайтиш коэффициентининг минимумдаги қиймати $R_{min} \sim m_e / 4N$ ортиб боради, минимуми қисқа тўлқин узунлик соҳасига силжийди, минимуми ёйилиб, камроқ аниқлик билан (аниқланади) намоён бўлади. Демак, плазма-резонанс минимумининг спектрал ҳолати заряд ташувчилар концентрациясига боғлиқ. Берилган ϵ_{∞} учун ёруғликнинг қайтиш спектри бўйича $R_{min} = f(b_{min})$ ва $R_{min} = f(a)$ лар ҳисобланади (3.4б-расм). Кейинги босқичда назарий ҳисобланган $R(\omega)$ спектри таж-

рибада аниқланган $R(\omega)$ боғланишга солиширилади. Назарий ҳисобланган $R(\omega)$ ёки $R(\lambda)$ ни танлашда бошланғич параметрлар сифатида кристаллнинг юқори частотали диэлектрик сингдирувчанлиги ϵ_∞ ҳамда $R(\lambda)$ нинг минимумга эришган λ_{\min} түлқин узунлиги $R(\lambda_{\min})$ олинади. Юқоридаги расмларда келтирилган $R(b_{\min})$ ва $R_{\min}(a)$ каби боғланишлардан b_{\min} ва a параметрлар аниқланади, сұнг

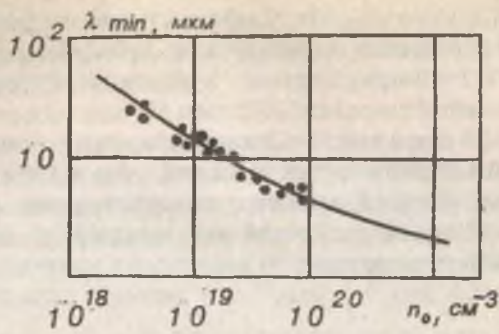
$$\lambda_p = \lambda_{\min} \cdot b_{\min} \quad (3.53)$$

хисоблаб топилади. Топилган a , λ_p — параметрларни билгани ҳолда, σ_0 , $\langle \tau \rangle$, N/m^3 — аниқланади. Шуни таъкидлаш керакки, $R(\lambda)$ ни ҳисоблашга кирган, тажрибадан аниқланадиган катталиклар, R_{\min} , λ_{\min} кристаллнинг ҳажмий хоссаларидан ташқари, уларнинг сирт ишловига ҳам боғлиқ. Текширишларнинг күрсатишича, яримұтказгич сирттика механик ишлов беришда, яъни силлиқлашда сирт қатлами деформацияланади. Механик сайқал бериш яъни силлиқлаш ва ялтиратиш билан бу деформацияни йүқотиши мүмкін эмас.

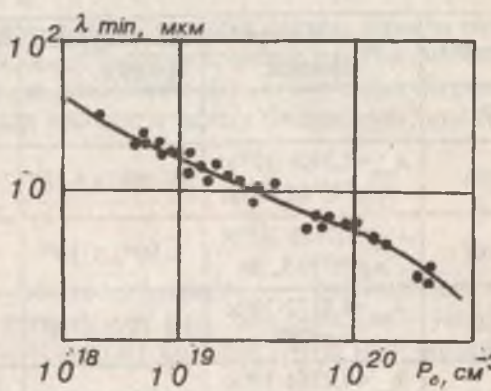
Қайтиш коэффициенти спектрининг худди үзидай тақрорланишига фақат сирт қатламини кимёвий едириш ва сайқал бериш орқали эришилади. Одатда амалиётда заряд ташувчилар концентрациясини ўлчащаңда концентрацияси маълум бўлган намуналар асосида аниқланган $N(\lambda_{\min})$ боғланишдан, яъни плазма-резонанснинг калибропка (даражалаш) чизигидан фойдаланиб топилади (3.5-расм). 3.1-жадвалда кремний ва $GaAs$ яримұтказгичлари эмперик боғланишларининг аналитик ифодаси келтирилган.

Заряд ташувчилар концентрацияси N ни плазма-резонанс усули билан аниқлашнинг хатолиги λ_{\min} ни ўлчаш аниқлигига ва калибропка чизигининг $R(\lambda_{\min})$ оралық хатолигига боғлиқ. λ_{\min} ни ўлчашнинг мунтазам хатоликларининг ташкил этувчилари спектрал асбоблар түлқин узунлиги бўйича градуировка хатолигидан ва қайтиш спектри минимумининг кескинлиги билан боғлиқ бўлган тасодифий хатоликлардан иборат.

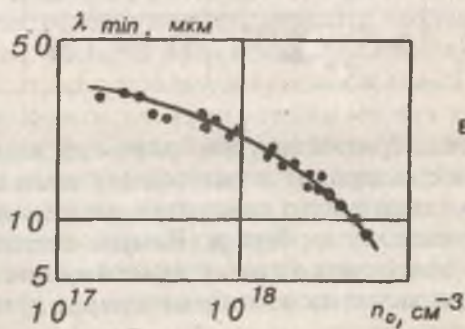
Заряд ташувчилар концентрациясининг камайиши билан плазма-резонанс минимумининг кенглиги үсади,



a)



б)



в)

3.5-расм. λ_{\min} ни заряд ташуучилар концентрациясига боғланиши:
 а) н-тилдеги кремний узун, б) р-тилдеги кремний узун,
 в) н-тилдеги GaAs узун.

шунинг учун λ_{\min} ни ўлчашдаги тасодифий хатолик ва концентрацияни аниқлашдаги хатоликлар ортади. Статистик текширишларнинг кўрсатишича, заряд ташувчилар концентрацияси 10^{20} дан 10^{18} см^{-3} гача камайганда, ишонч оралифи 0,95 бўлган аниқлиқда ўлчашнинг тасодифий хатолиги n-тип кремний учун $\pm 10\%$ дан 50% гача ортади. Галлий арсенид концентрациясини 10^{19} дан 10^{17} см^{-3} оралиқда ўлчашнинг тасодифий хатолиги $\pm 10\%$ дан 80% гача ортади.

3.1-жадвал

Материал	λ_{\min} – эмперик ифодаси	концентрация оралиғи, см^{-3}	Аппроксимация хатолиги %
<i>Si</i>			
<i>n</i> -тип	$\lambda_{\min} = 3,2908 \cdot 10^{11} \times n^{-0,5451} + 1,8153$	$1,5 \cdot 10^{18} \dots 1,5 \cdot 10^{21}$	2,4
<i>p</i> -тип	$\lambda_{\min} = 1,2125 \cdot 10^{15} \times p^{-0,7370} + 3,184$	$3 \cdot 10^{18} \dots 1 \cdot 10^{20}$	0,8
<i>GaAs</i>	$\lambda_{\min} = 8,4172 \cdot 10^2 \times n^{-0,08125}$	$1,5 \cdot 10^{17} \dots 6 \cdot 10^{17}$	0,5
<i>n</i> -тип	$\lambda_{\min} = 4,1584 \cdot 10^7 \times n^{-0,3451}$	$6 \cdot 10^{17} \dots 2,5 \cdot 10^{18}$	—
галлий арсенид	$\lambda_{\min} = 1,7231 \cdot 10^{10} \times n^{-0,4875}$	$2,5 \cdot 10^{18} \dots 1 \cdot 10^{19}$	—

Юқорида ёритилган усул билан бир жинсли, кўпқатламли намуналарнинг электрофизик хоссаларини аниқлаш заряд ташувчилар концентрацияси ва ҳаракатчанигини ўлчашга имкон беради. Намуна сиртининг алоҳида олинган соҳаларида ўлчов ўтказиш мумкин, шунингдек уларни ҳар хил технологик мақсадларда қўллаш мумкин.

в) Заряд ташувчилар концентрациясини Фарадей эффектин билан ўлчаш усули

Ясси (чизиқли) қутбланган ёруғлик доимий магнит майдонига жойлаштирилган намунадан майдон йўнали-

ши бўйича ўтганида унинг кутбланиш текислигининг бурилиши Фарадей эффиқти ва бурилиш бурчагини Фарадей бурчаги φ_F деб аталади.

Оптика курсидан маълумки, ясси кутбланган ёруғликнинг электр майдон кучланганларни соат мили бўйича (ўнг) ва унга тескари йўналишда айланувчи (чап) айланма кутбланган икки тўлқин суперпозиция (йигинди) сидан иборат деб қарашиб мумкин. Магнит майдонида муҳитнинг нур синдириш кўрсаткичи бу тўлқинлар учун икки хил (n_+ , n_-) бўлади, шунинг учун улар ҳар хил фазовий тезликлар $V_+ = \frac{c}{n_+}$, $V_- = \frac{c}{n_-}$ билан тарқалади ва натижада

улар орасида фаза фарқи θ вужудга келади, бунинг оқибатида ясси чизиқли кутбланган ёруғлик намунадан чиққан чоғида кутбланиш текислиги φ_F — бурчакка бурилади. Бурилиш бурчаги қуидаги ифода билан аниқланади.

$$\varphi_F = \frac{\theta}{2} = \frac{\pi l(n_- - n_+)}{\lambda} = \frac{\omega l}{2c}(n_- - n_+) \quad (3.54)$$

Бу ерда: l — намуна узунлиги, λ — ёруғликнинг вакумдаги тўлқин узунлиги, n_+ ва n_- мос равишда — ўнг ҳамда чап айланма кутбланган ёруғлик учун нур синдириш кўрсаткичлари.

Борди-ю, Фарадей эффиқти эркин заряд ташувчилар билан боғланган бўлса, уларнинг ҳаракати нуқтаи назаридан қараганда, Фарадей эффиқтини Холл эффиқти деб қарашиб мумкин: заряд ташувчилар ёруғлик тўлқини электр майдон кучланганлиги таъсирида ташқи магнит майдонга тик йўналишда ҳаракатланади. Борди-ю, заряд ташувчилар ўзгармас магнит майдонга нисбатан қандайдир бурчак билан ҳаракатланса, уларнинг траекторияси магнит майдон йўналишида спирал кўринишида бўлади.

Заряд ташувчилар айланма частотасининг циклатрон резонанси частота ω_c деб юритилади. Циклатрон частота заряд ташувчиларнинг эффиқтив массаси ва магнит майдон индукциясига боғлиқ бўлиб, электрон учун $\omega_c = eB/m_e$, кавак учун эса $\omega_c = eB/m_p$ билан аниқланади.

Фарадей бурчаги ишораси электрон ва кавак учун ҳар хил бўлиб, у ёруғликнинг доимий магнит майдон индук-

цияси векторига нисбатан қандай йұналишда тарқалишига боғлиқ. Агар магнит майдон индукцияси бүйича тарқалаётган ёруғлукнинг күтбланиш текислиги соат мили бүйича бурилса, Фарадей бурчаги мусбат деб ҳисобланади. Кучсиз магнит майдонида $\mu^2 B^2 \ll 1$ ва $\omega^2 \tau^2 \gg 1$, $n_- + n_+ = 2\bar{n}$ шартлар бажарылғанда, Фарадей бурчагининг (3.54) ифодаси n — тип намуналар учун

$$\varphi_F = \frac{e^2 \lambda^2 B \cdot l \cdot N}{2\pi^2 c^3 \epsilon_0 m_e \bar{n}} \quad (3.55)$$

күренишни олади. Бу ерда \bar{n} — магнит майдон индукцияси йүқ ($B=0$) бүлгандаги нур синдириш күрсаткичи. (3.55) теңгламадан күринадыки, эркін заряд ташувчилар вужудга келтирған күтбланиш текислигининг бурилиш бурчаги заряд ташувчилар концентрацияси N га, ёруғлук түлқин узунылыгининг квадрати λ^2 га, намуна узунылығы l га, магнит майдон индукцияси B га пропорционал бўлиб, сочилиш механизмига боғлиқ эмас. Агар ўлчов ёруғлукнинг инфракизил түлқин узунылығи соҳасида ўтказилса, релаксация вақтими чегараловчи $\omega^2 \tau^2 \gg 1$ шарт бажарилади намунада тарқалаётган ёруғлук намуна ичида қайта-қайта қайтиши сабабли унинг оптик йўли узаяди ва Фарадей бурчагининг φ_F ортишига олиб келади. Бунда Фарадей бурчаги φ_F нинг намуна ичида ёруғлукнинг қайта-қайта қайтишидан содир бўлган φ'_F бурчак орқали боғланиши куйидаги ифода билан аниқланади.

$$\varphi_F = \varphi'_F [1 + 2R^2 \exp(-ad) \cos 4\varphi'_F]^{-1} \quad (3.56)$$

(3.55) теңгламадан күриниб турибдики, агар намунада нур синдириш күрсаткичи, заряд ташувчилар концентрацияси маълум бўлса, заряд ташувчиларнинг эффектив масасини аниқлаш мумкин ёки эффектив масаси маълум бўлса, заряд ташувчилар концентрациясини топиш мумкин.

Заряд ташувчилар эффектив масасини аниқлаш усули сифатида Фарадей айланишининг қўлланишини чекловчи бир қанча омиллари мавжуд. Масалан, анизатроп массали намуналарда ўлчанаётган эффектив масса ўрта-

ча қийматни беради. Күп яримұтқазгичларда валент зонаси экстремуми айниган бұлиши p -тип яримұтқазгич материалларда ўлчов натижаларини изоҳлашни мураккаблаштиради.

Агарда заряд ташувчиларнинг эффектив массаси заряд ташувчилар концентрациясига боғлиқ бўлса, заряд ташувчилар концентрацияси m^* — ўзгармас соҳасида Фарадей бурчагини ўлчаш билан топилади. Масалан, GaAs да эффектив массасининг концентрацияга боғлиқлигини $N < 10^{18} \text{ см}^{-3}$ да инобатга олмаслик мумкин.

$\omega^2\tau^2 \ll 1$ соҳада ҳам Фарадей эффективидан заряд ташувчилар концентрациясини аниқлаш мумкин. Фарадей эффективи билан намуналарда заряд ташувчиларнинг нотекис тарқалишига боғлиқ бир жинсда эмаслиликнинг тақсимотини ўрганишда юпқа намуна сиртининг кичик соҳаси ясси қутбланган нур билан (маҳаллий) кетма-кет ёритилади. Ясси чизиқли қутбланган ёруғлик намуна билан ёруғлик манбай орасига поляризаторни жойлаштириш билан олинади. Поляризатор сифатида кўпинча Николь призмаси қўлланилади. Фарадей бурчагини ўлчаш учун намуна билан фотокабулқилгич орасига поляризатор (Николь призмаси) жойлаштирилади ва у анализатор деб номланади. Бурилиш бурчаги φ_F анализаторни фотокабулқилгичда энг катта сигналга эришгунча айлантириб топилади.

Спектрнинг инфрақызыл соҳасида $\lambda=2 \text{ мкм}$ да Фарадей бурчагини ўлчашда (3.55) ифодани қўллаш шарти магнит майдонининг индукция вектори $B=1 \text{ Тл}$ бўлганда бажарилади, чунки концентрацияси $N=10^{15} \text{ см}^{-3}$ бўлган галлий арсенид намунаси учун қалинлиги $l=1 \text{ мм}$, $\lambda=10 \text{ мкм}$, $B=1 \text{ Тл}$ бўлганда, магнитооптик бурилиш бурчаги $\varphi_F=0,1^\circ$ бўлади. φ_F -ни ўлчашнинг аниқлигини ошириш учун у магнитнинг икки йўналишида ўлчанади ва

$$\sin 2\varphi_F = (I_1 - I_2) / (I_1 + I_2) \quad (3.57)$$

билан аниқланади. Бу ерда I_1 ва I_2 — фотокабулқилгичда олинган энг катта ва энг кичик ёруғликнинг интенсивлигига пропорционал бўлган электр сигналдир.

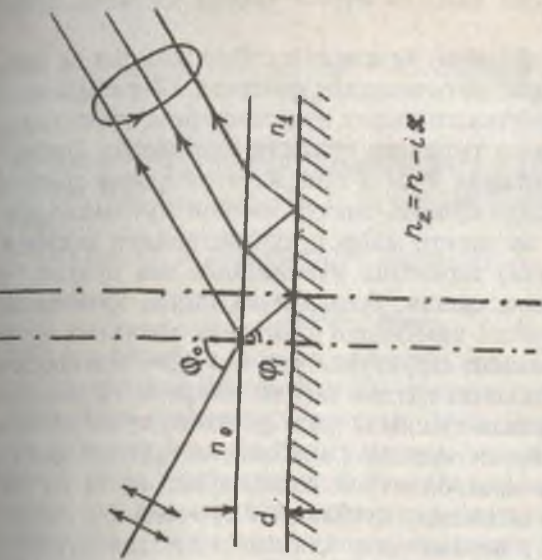
Эркин заряд ташувчилар билан боғланган Фарадей эффективидан ташқари, зоналароро Фарадей эффективи ҳам

содир булиши мумкин. Фотоннинг энергияси тақиқланган зона кенглигига яқин соҳасида кутбланиш текислигининг бурилиши бу икки эффект билан пайдо бўлади. Заряд ташувчилар концентрацияси кичик бўлган намуналарда ва тўлқин узунлиги кичик бўлган соҳада зоналар-аро Фарадей эффектини ҳисобга оладиган тузатиш коэффициентини киритиш керак бўлади. Бунинг учун Фарадей бурчаги φ нинг қиймати юқори Омли намуналарда ўтказилади. Фарадей эффектини ўлчаща эластик механик кучланишлар хатолик манбалари сифатида хизмат қилади. Бу нурнинг иккиге ажралиш синиш ҳодисасига олиб келади, бунинг оқибатида намунага тушаётган ясси кутбланган тўлқин намунадан ўтганда, эллиптик кутбланиди. Фарадей эффекти кўп материалларда ўлчангандан бошқа усуллар натижалари билан солиширилган. Бу эффект ёрдамида n — тип индий антимонидда ўтказувчан зонанинг параболик эмаслигини тасдиқловчи, электрон эффектив мессасининг заряд ташувчилар концентрацияси ва намуна температураси билан ўсуви функция булишилиги кўрсатилган. Яримўтказгич намуналарнинг биржинслиликка тез миқдорий ва сифатий жиҳатдан текшириш натижаларини телевизор экранида қайд қиласиди, Фарадей эффектига асосланган автоматик қурилмалар яратилган.

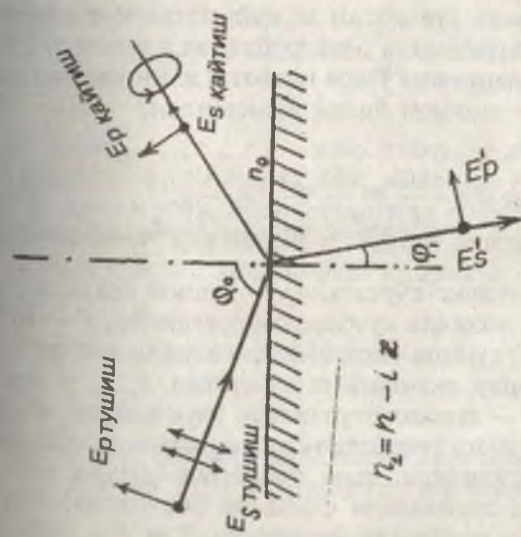
3.4 §. Эллипсометрия усули

Усулнинг моҳияти.

Охирги йилларда илмий-тадқиқот институтларида ҳозирги замон микроэлектроника саноатида бир жинсли ва бир жинсли бўлмаган материалларнинг (диффузион, эпитаксиал қатламли структуралар) параметрларини контактсиз ўлчаш, назорат қилиш усулларидан бири бўлган эллипсометрия усули кенг кўлланилмоқда. Эллипсометрия усули кутбланган ёруғликни, текширилаётган намуна билан ўзаро таъсиrlашиши туфайли, ундан қайтганда кутбланиш ҳолатининг ўзгаришини аниқлашга асосланган. Чизиқли кутбланган ёруғликнинг намунадан қайтгандаги кутбланиш ҳолатининг ўзгариши таъсиrlашаётган намунанинг ҳажмий хусусиятларига, сиртнинг хосса-



a)



б)

3.6-расм. Эпитетаксиал қатламыз (а), эпитетаксиал кагемалы (б), яримүтказыч намуна сиртидаң қайттал
чиңкүли күтбаптан бүрткекинг (пурнинг) юли.

си ва структурасига боғлиқ. Ҳозирги замон эллипсо-метрия усули асосан қайтган нурни таҳлил қилишга асосланган.

Чизиқли кутбланган ёруғликнинг бир жинсли ва эпитетаксиал қатламли намуналардан қайтиши 3.6-расмда келтирилган. Яримұтказгичларда нур синдириш күрсаткичи комплекс бўлиши туфайли, чизиқли кутбланган ёруғлик намунадан қайтганда P ва S ташкил этувчилари орасида фаза фарқи пайдо бўлади, электр майдон кучланганларни ўзгаради ва электр майдон кучланганлиги векторининг охири (учи) тарқалиш йўналишига тик бўлган текисликда эллипс чизади, бошқача айтганда, кутбланган ёруғлик ўтказувчан намунадан қайтганда эллиптик кутбланади. Эпитаксиал структураларда эса ҳаво эпитетаксиал қатлам ва эпитетаксиал қатлам таглик чегараларидан қайтган нурлар орасида кўшимча фаза фарқи вужудга келади. Намунадан қайтган эллиптик кутбланган ёруғлик ҳолати одатда иккита эллипсометрик параметрлар (ψ ва Δ) билан, бошқача айтганда, кутбланиш бурчаклари орқали аниқланади. Бу параметрлар қайтган эллиптик кутбланган нурнинг тарқалиш йўналишига тик текисликдаги шаклини ва қандай йўналишда эканлигини кўрсатади. Параметр ψ бурчак тушаётган ва қайтаётган нурларнинг P ва S ташкил этувчилари электр майдон кучланганларни амплитудаларининг ўзаро нисбати, яъни қайтиш коэффициентлари нисбати билан аниқланади:

$$\operatorname{tg} \psi = \frac{(E'_{P_{\text{кай}}} / E'_{P_{\text{кай}}})}{(E_{P_{\text{түш}}} / E_{S_{\text{түш}}})} = \frac{|r_P|}{|r_S|} \quad (3.58)$$

бу ерда: S — (индекс-кўрсаткич) — тушиш текислигига тик текисликда чизиқли кутбланган ёруғликни, P — (индекс-кўрсаткич) тушиш текислигига чизиқли кутбланган ёруғликка тегишли эканлигини кўрсатади. r_P , r_S — ёруғликнинг S ва P — ташкил этувчилари учун қайтиш коэффициенти. Намунага тушаётган ёруғлик чизиқли кутбланган деб фараз қилинади, яъни тушаётган ёруғликнинг P ва S — ташкил этувчилари фазалари бир-бирига тўғри (мос) келади. Ўз навбатида, ёруғликни P ва S — ташкил этувчиларининг (3.58) ифодалаги комплекс қайтиш коэффициентлари нисбати билан аниқланади.

эффициентлари нисбати күйидагича ифодаланиши мумкин.

$$\frac{r_p}{r_s} = \left| \frac{r_p}{r_s} \right| e^{i(\delta_p - \delta_s)} = e^{i\Delta} \operatorname{tg} \psi \quad (3.59)$$

бу эллипсометрияниң асосий тенгламасидир. r_p нинг r_s га нисбати n_2 , χ_2 , n_1 , d_1 , λ , φ_0 параметрларниң функциясиdir.

Иккинчи эллипсометрик параметр Δ

$$\Delta = \delta_{P_{\text{поляриз}}^{\text{тест}}} - \delta_{S_{\text{поляриз}}^{\text{тест}}} = \delta_p - \delta_s \quad (3.60)$$

га тенг булиб, у намуна сиртидан ёруғликнинг қайтиши сабабли пайдо бўлган P ва S — ташкил этувчилари орасидаги фаза фарқини кўрсатади. Модомики ёруғликнинг поляризация ҳолати фақат иккита параметр билан аниқланар экан, битта тушиш бурчагига (φ_0) мос келган билан ўтлашдан ҳам иккита параметрни аниқлаш мумкин. Қалинлиги d_1 , бўлган эпитаксиал плёнкали гомоэпитаксиал структуралар учун (3.59) тенглама қўйидаги кўринишни олади.

$$\operatorname{tg} \psi e^{i\Delta} = \frac{r_{1P} + r_{2P} e^{-2\delta i}}{1 + r_{1P} \cdot r_{2P} e^{-2\delta i}} = \frac{1 + r_{1S} \cdot r_{2S} e^{-2\delta i}}{r_{1S} + r_{2S} e^{-2\delta i}} \quad (3.61)$$

Бу ерда r_{1P} , r_{1S} , r_{2P} , r_{2S} — ҳаво-плёнка, плёнка-таглик чегараларидан ёруғликнинг мос равища P ва S — ташкил этувчилари учун Френель қайтиш коэффициентлари, δ — ёруғликнинг қалинлиги d_1 , бўлган эпитаксиал қатламдан ўтища вужудга келган фаза ўзгариши (градусларда):

$$\delta = \left(300 \frac{d_1}{\lambda} \right) (n_1^2 - \sin^2 \varphi_0)^{1/2} \quad (3.62)$$

Маълумки, чизиқли қутбланган ёруғликнинг P ва S компоненталари учун диэлектрик сингдирувчанликлари

$$\sqrt{\varepsilon_1} = n_1 - i \chi_1 \quad \text{ва} \quad \sqrt{\varepsilon_2} = n_2 - i \chi_2$$

бўлган икки ўтказувчан муҳит чегарасидан Френель қайтиш коэффициентлари

$$r_{01S} = \frac{\sqrt{\varepsilon_0} \cos \varphi_0 - \sqrt{\varepsilon_1} \cos \varphi_1}{\sqrt{\varepsilon_0} \cos \varphi_0 + \sqrt{\varepsilon_1} \cos \varphi_1}, \quad r_{01P} = \frac{\sqrt{\varepsilon_1} \cos \varphi_0 - \sqrt{\varepsilon_0} \cos \varphi_1}{\sqrt{\varepsilon_1} \cos \varphi_0 + \sqrt{\varepsilon_0} \cos \varphi_1}$$

$$r_{12S} = \frac{\sqrt{\varepsilon} \cos \varphi_1 - \sqrt{\varepsilon_2} \cos \varphi_2}{\sqrt{\varepsilon_1} \cos \varphi_1 + \sqrt{\varepsilon_2} \cos \varphi_2}, \quad r_{12P} = \frac{\sqrt{\varepsilon_2} \cos \varphi_1 - \sqrt{\varepsilon_1} \cos \varphi_2}{\sqrt{\varepsilon_2} \cos \varphi_1 + \sqrt{\varepsilon_1} \cos \varphi_2}$$

ифодалар билан аниқланади. Бу ерда φ_0 — ёруғликнинг тушиш бурчаги, φ_1 — эпитаксиал қатламдаги синиш бурчаги, φ_2 — тагликтаги синиш бурчаги.

$$\cos \varphi_1 = \sqrt{1 - \frac{\varepsilon_0}{\varepsilon_1} \sin^2 \varphi_0}; \quad \cos \varphi_2 = \sqrt{1 - \frac{\varepsilon_0}{\varepsilon_2} \sin^2 \varphi_0}$$

Модомики, r_{1S} , r_{1P} ва $e^{-2i\delta}$ — комплекс катталиклар (r_{1S} , r_{1P} — ҳақиқий катталиклар (чунки $\chi_1=0$) экан, (3.61) ифода ҳам комплекс бўлади. Ҳақиқий ва мавхум қисмларини ажратиб, ψ ва Δ ларнинг оптик константалари n_2 , χ_2 — бўлган таглика ўтказилган эпитаксиал қатлам қалинлигига боғланишини аниқлаш мумкин, яъни:

$$\operatorname{tg} \psi = \sqrt{\Phi_1^2 + \Phi_2^2}; \quad \operatorname{tg} \Delta = \frac{\Phi_2}{\Phi_1} \quad (3.63)$$

Φ_1 ва Φ_2 лар эллипсометрия асосий тенгламасининг ҳақиқий ва мавхум қисмларидир:

$$\Phi_1 = \Phi_2(n_0, \lambda_1, \varphi_0, d_1, n_1, n_2, \chi_1, \chi_2)$$

$$\Phi_2 = \Phi_2(n_0, \lambda, \varphi_0, d_1, n_1, n_2, \chi_1, \chi_2)$$

Бурчаклар (ψ ва Δ) ни ўлчаб, (3.63) тенгламаларни бирга ечиб қайтган тизимида исталган иккита ноаниқ параметрни аниқлаш мумкин. Демак, эллипсометриянинг амалий масалалари nn^+ , pp^+ эпитаксиал структураларда эпитаксиал қатлам қалинлиги ҳамда тагликтаги заряд ташувчи-

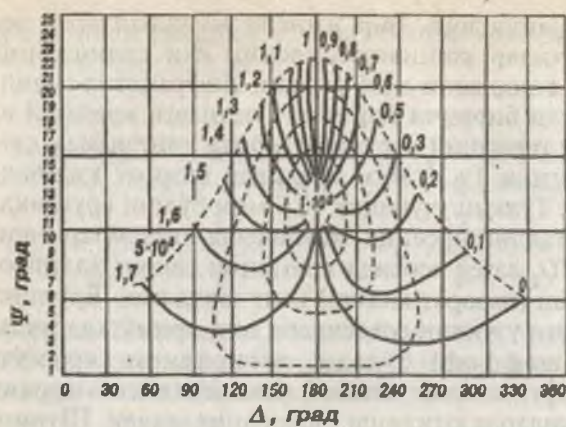
лар концентрациясини, бир жинсли материалларда эса заряд ташувчилар концентрациясини ёки солиштирма қаршиликни аниқлашга олиб келади. Инфракүзил эллипсометрия усули биринчи марта nn^+ типидаги кремний ва pp^+ типидаги германий структураларида эпитаксиал қатлам қалинлигини $1 \div 10$ мкм оралықда назорат қилишда үлланилган. Тұлғын узунлиги 10,6 мкм бўлган ёругликда кремний ва галлий арсенид эпитаксиал қатламларининг қалинлиги CO_2 лазер асосида яратилган саноат эллипсометрида ўлчаш (назорат қилиш) кенг тарқалган. Ёругликнинг бу тұлғын узунлик соҳасидаги тоза яримұтказгичлар тиник (шаффоф) бўлади, легирланған яримұтказгичларда ёругликнинг ютилиш механизми асосан эркин заряд ташувчиларда ютилиши билан аниқланади. Шунинг учун ёругликнинг инфракүзил соҳасида микроэлектроникада кенг тарқалган nn^+ , pp^+ кремний, галлий арсенид типидаги ва бошқа материалларнинг гомоэпитаксиал структураларини шаффоф (тиник), эпитаксиал қатлам, ёругликни ютувчи тагликдан иборат структура деб қараш мумкин. Яримұтказгичлар оптик константалари дисперсиясининг классик назариясига мувофиқ

$$n_2^2 - \chi_2^2 = \varepsilon_{\infty} - \frac{4\pi\rho}{1 + 4\pi^2 c^2 \tau^2 \lambda^{-2}} \quad (3.64)$$

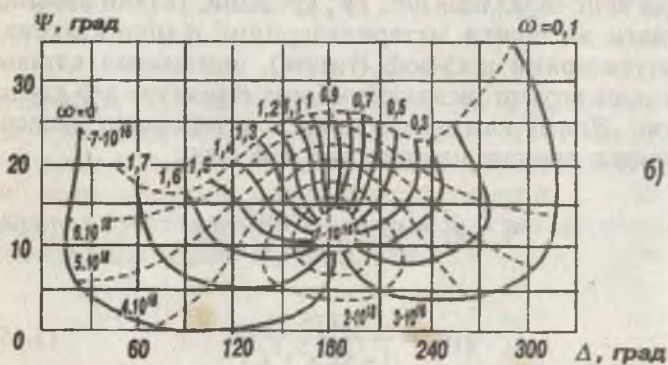
$$\chi_2 n_2 = \frac{\lambda/\rho}{1 + 4\pi^2 c^2 \tau^2 \lambda^{-2}} \quad (3.65)$$

ифодалар олинган. Бу ерда, n_2 — тагликнинг нур синдириш күрсаткичи, χ_2 — экстенция коэффициенти, ε_{∞} — кристалл панжара диэлектрик сингдирувчанлиги, τ — релаксация вақти, ρ — солиштирма қаршилик.

Яримұтказгичларнинг оптик константалари заряд ташувчилар концентрацияси, релаксация вақти орқали (3.63) ва (3.64) муносабатлар билан боғланган. Солиштирма үтказувчанлик ва релаксация вақти, ҳар хил заряд ташувчилар концентрацияси учун, Ирвин $\rho=f(N)$ диаграммасидан топилади. Эпитаксиал қатламнинг қалинлиги ва таглик концентрациясининг керакли соҳасида эллипсометрик параметрлар (ψ ва Δ) ЭХМ да ҳисобланади ва ҳисоблаш



a)



б)

3.7-расм. Эпитаксиал қатлам-таглик чегараси кескін бұлған nn^+ -типдеги GaAs эпитаксиал структуралыңың қалинлігі $d=0,3$ мкм бұлған чизиқты оралиқ үтиш қатлами ҳисобда олинған хол учун, $\varphi-\Delta$ номограммасы (а), nn^+ -тип GaAs структурали тагликдеги электронлар концентрациясы ва эпитаксиал қатлам қалинлігини анықлаш $\varphi-\Delta$ номограммасы (б).

натижалари ва Δ координаталарыда номограмма күринишида көлтириләди. ψ ва Δ лар қалинлікнинг даврий функцияси бұлғани учун, берилған заряд ташувчилар концентрациясида $\psi(\Delta N_2, d_1)$ бояланиш ёпиқ зерткізуден иборат болады. Тажрибада үлчамнан ҳар бир жуфт ψ ва Δ параметрлар номограммаларыда тагликни қандайдыр за-

ряд ташувчилар концентрациясига, эпитаксиал қатлам қалинлигига мос келган даврий әгри чизиқда ётган нүкта түғри келади. 3.7-расмда эпитаксиал қатлам-таглик чегараси кескин бўлган pp^+ типидаги $GaAs$ эпитаксиал структурасининг номограммаси келтирилган. Кўп ҳолларда эпитаксиал структуралар юқори температураларда олинади, бунинг натижасида диффузия, автолегирлаш жараёнлари содир бўлиб, чегаранинг кескинлик шарти бузилади ва эпитаксиал қатлам-таглик чегарасида оралиқ ўтиш қатлами пайдо бўлади. Текширишларнинг кўрсатишича, агар киришма атомларининг қалинлик бўйича тақсимоти маълум бўлса (масалан, чизиқли), бу оралиқ ўтиш қатлами нинг таъсирини $\psi - \Delta$ номограммани ҳисоблашда эътиборга олиш мумкин. Бунда эллипсометрия тенгламасига қўшимча параметр d_0 — оралиқ ўтиш қатлам қалинлиги киритилади. Бу параметр маълум бўлса, масалан, тагликда заряд ташувчилар концентрацияси маълум бўлса, у ҳолда эллипсометрик ўлчовлар эпитаксиал ва оралиқ ўтиш қатламлар қалинликларини аниқлашга имкон беради. Агар оралиқ ўтиш қатлами қалинлиги технологик жиҳатдан такрорланувчан катталик бўлса, у вақтда уни эллипсометрик номограммани ҳисоблашда эътиборга олиш мумкин. 3.7а-расмда қалинлиги $d_0 = 0,3$ мкм бўлган чегаравий оралиқ ўтиш қатлами нинг ҳисобга олинган эллипсометрик номограммаси келтирилган.

Кутбланиш бурчаклари ψ ва Δ ни тажрибада аниқлаш

Чизиқли кутбланган ёруғликни таҳлил қилиш, яъни эллипсометрия параметрларини аниқлаш қурилмаси қуйидаги асосий қисмлардан иборат бўлади: ёруғлик манбаи, поляризатор, анализатор, чорак тўлқин узунлик пластина (компенсатор) фотоқайдқилгич, модулятор, кучайтиргич. Лазерларнинг интенсивлиги спектрофотометр ёруғлик манбаларига нисбатан катта бўлгани учун, сўнгги йилларда улар эллипсометрларда ёруғлик манбаи сифатида ишлатилмоқда. Саноатда улар асосида ҳар хил тўлқин узунлик соҳасида ишлайдиган эллипсометрлар, эллипсометрик микроскоплар (УИТ—ТЭС, ЭИ—09, ИТ—1, 7—0031; ЛЭМ—2, ЛЭМ—3, ЛЭФ—3М ва бошқалар) ишлаб чиқарилади.

Табиий ёруғликдан чизиқли кутбланган ёруғлик олишда поляризатор кўлланилади, анализатор поляризатор каби

ишлиайди ва компенсатордан ўтган күтбланган ёруғликни таҳлил қилишга хизмат қиласи. Фақат чизиқли поляризатор ва анализатор орқали қисман күтбланган ёруғликни эллиптик күтбланган ёруғликдан ажратиб бўлмайди, чунки анализаторни оптик ўқ атрофида айлантирганда, икки ҳолда ҳам ёруғликнинг интенсивлиги ўзгаради, интенсивликнинг максимум қийматини минимумга нисбати бирг хил бўлиши мумкин. Бу нисбат айланана бўйлаб күтбланган ёруғлик учун ҳам, табиий ёруғлик учун ҳам бирга тенг бўлади. Буларни бир-биридан ажратиш (фарқлаш) учун эллиптик күтбланган нур анизатропик кристалдан ясалган пластина (компенсатор) дан ўтказилиб, унинг ортогонал ташкил этувчилари орасида шундай фаза фарқи ҳосил қилиш мумкинки, бунда эллиптик күтбланган ёруғлик чизиқли күтбланган нурга айлансан. Бу ҳодиса анализаторда кузатилади ва таҳлил қалинади. Компенсатор сифатида икки ўқли кристалларда бош ўқига параллел қилиб қирқиб олинган кварц, слюда, исланд шпати, CdS — монокристалл пластиналари кўлланилади. Агар компенсатор пластинасига кираётган чизиқли күтбланган ёруғликнинг электр майдон кучланганлиги вектори кристаллнинг оптик ўқига нисбатан 45° бурчак остида тушса, у ҳолда оддий ва файриоддий нурларнинг интенсивликлари бир хил бўлади. Агар пластина қалинлиги

$$\frac{\pi}{2} = 2\pi d(n_0 - n_H)/\lambda$$

шартни қаноатлантира, у ҳолда компенсатордан чикқан нур айланана бўйлаб күтбланган ёруғликка айланади. Оддий ва файриоддий нурлар орасидаги нурлар $\left(\frac{\pi}{2}\right)$ га тенг фаза фарқи пайдо қиласиган пластина чорак тўлқин узунлик пластинаси деб юритилади.

Бу ерда, n_0 — оддий нурнинг нур синдириш кўрсаткичи, n_H — файриоддий нурнинг нур синдириш кўрсаткичи. Күтбланиш бурчаклари ψ ва Δ ни тажрибадан аниқлаш учун поляризатор ва намуна орасига уларга нисбатан ўқи 45° бурчак остида чорак тўлқин узунликли пластина жойлаштирилади. У ўлчов давомида ўзгартирилмайди. Бу

ҳолда интенсивликнинг минимумга эришиш ҳолати фотокабулқилгич ёрдамида кетма-кет анализатор ва поляризаторларни бураб топилади. Одатда минимумни 3—4 марта кетма-кет бураш билан топиш мумкин, бу билан поляризаторни ва анализаторнинг азимут бурилиш бурчлари аниқланади. Ўлчов одатда ўлчашнинг, яъни, анализатор азимут бурчагининг икки соҳасида бажарилади. Биринчи соҳада анализаторнинг азимут бурчаги $0 < A_1 \leq +90^\circ$ оралиқда ўзгаради. Бу соҳада $\Delta < 180^\circ$ да бўлса, ёруғлик минимуми поляризатор азимут бурчагининг $-45^\circ < P < +45^\circ$ оралиғида, $\Delta > 180^\circ$ бўлганда эса поляризатор азимут бурчаги $45^\circ < P < 135^\circ$ оралиғида кузатилади. Анализатор азимут бурчагининг иккинчи ўзгариш соҳасида $90^\circ < A_2 < 180^\circ$ ёруғлик минимуми поляризатор азимутини $45^\circ < P \leq 135^\circ$ ёки $135^\circ < P_2 < 225^\circ$ оралиғида кузатилади. Бунда ψ ва Δ лар

$$\begin{aligned}\Delta &= P_1 + P_2 \\ \psi &= [A_1 + (180 - A_2)]/2\end{aligned}$$

ҳисоблаш формулаларидан аниқланади.

Кейинги йилларда эллипсометрик ўлчашларнинг сезгирилти жиҳатидан юқори, ўрганиладиган материаллар доирасининг кенгайишига имкон берадиган, автоматлаштириш қулай бўлган бир қанча усувлари яратилган.

ψ ва Δ ларнинг тажрибада аниқланган қийматлари бўйича олдиндан чизилган номограммадан ёки эллипсометрия асосий тенгламаси орқали ҳисоблаб, яrimутказгич намуналар оптик константаларининг электрофизик параметрлари аниқланади.

НОМУВОЗАНАТ ЗАРЯД ТАШУВЧИЛАР ПАРАМЕТРЛАРИНИ ҮЛЧАП УСУЛЛАРИ

4.1-§. Номувозанат заряд ташувчилар параметрлари

Яримұтқазгичлар ташқы таъсир остида, яъни ёруғлик, ренттен, γ — квантлар, тезлантирилған нейтрал, заряд-ланган заррачалар ҳамда $p-n$ үтиш орқали инженция, электр майдонда зарбдан ионланиш, туннел жараёнлари туфайли номувозанат заряд ташувчиларнинг пайдо бўлиши, генерацияланиши мумкин. Номувозанат заряд ташувчилар яримұтқазгич материаллари жа асбобларининг электрофизик, фотоэлектрик хоссаларини аниқлайди. Номувозанат заряд ташувчиларнинг дрейф ҳаракатчалиги (μ) диффузия коэффициенти (D), диффузон узунлик (L), яшаш вақти (τ), сиртий рекомбинация тезлиги (S) каби параметрлар билан тавсифланади. Бу параметрларни аниқлаш усуллари электрон, кавак узлуксизлик тенгламаларининг баъзи бир соддалаштирувчи фаразлар билан берилған бошланғич, чегаравий шартларни қаноатлантирувчи ечимини топишга асосланган. Яримұтқазгич намуналарда номувозанат заряд ташувчилар хусусияти (табиати, хатти-ҳаракати) қуидаги

1. Электрон, кавак ток зичликлари

$$\gamma_n = e\mu_n nE + e\partial_n \text{grad}n \quad (4.1)$$

$$\partial_p = e\mu_p pE - e\partial_p \text{grad}p \quad (4.2)$$

2. Узлуксизлик

$$\frac{\partial n}{\partial z} = g_n - \frac{\Delta n}{\tau_n} + \frac{1}{e} \text{div} j_n \quad (4.3)$$

$$\frac{\partial p}{\partial z} = g_p - \frac{\Delta p}{\tau_p} - \frac{1}{e} \text{div} j_p \quad (4.4)$$

тenglamalari sistemasi echimi bilan tawsiflanadi:
Бу ерда $n = n_0 + \Delta n$ ва $p = p_0 + \Delta p$ — номувозанат ҳолатдаги заряд ташувчилар (электрон, кавак) тұла концентрацияси n , p — мувозанатдаги заряд ташувчилар электрон, кавак концентрацияси; Δn , Δp — номувозанат заряд ташувчилар электрон, кавакнин мувозанат ҳолатдагисига нисбатан ортиқча концентрацияси, Δn , Δp — электрон, кавак диффузия коэффициентлари; μ_e , μ_p — электрон, кавак ҳаракатчанлуклари; τ_n , τ_p — электрон, кавак яшаш вақтлари; g_n , g_p — электрон, кавакни генерациялаш тезликлери.

Фотоинженция (ёруғлик орқали) номувозанат ҳолатдаги заряд ташувчиларни ҳосил қылғанда генерация тезлиги

$$g = \alpha \beta I_0 e^{-\alpha x} (1 - R) / h\nu = goe^{-\alpha x}$$

ифода билан топилади. Бу ерда α — ёруғликнинг яримутказгичда ютилиш коэффициенти, R — ёруғликнинг намунадан қайтиш коэффициенти, $h\nu$ — фотон энергияси, β — заряд ташувчиларнинг квант чиқиши коэффициенти I_0 — ёруғлик интенсивлігі. (4.3) ва (4.4) тенгламалардан күринадик, номувозанат ҳолатдаги заряд ташувчилар концентрацияларининг үзгариш тезликлари $\frac{\partial \Delta n}{\partial t}$, $\frac{\partial \Delta p}{\partial t}$ ни заряд ташувчиларнинг рекомбинация, генирация, дрейф-диффузия жараёнлари аниқлады. Заряд ташувчилар концентрацияси фақат бир йұналишда, масалан, x — үкі бүйіча үзгарады ва электр майдон күчланғанлығы E x үкі бүйіча йұналған бұлсın деб олинған ҳол учун, (4.3) ва (4.4) тенгламалар (4.1) ва (4.2) ни назарда туттандыра, қуйидеги күришилни олади:

$$\frac{\partial \Delta p}{\partial t} = g_p - \frac{\Delta p}{\tau_p} + D_p \frac{\partial^2 \Delta p}{\partial x^2} - \mu_p \cdot p \frac{\partial E}{\partial x} - \mu_p E \frac{\partial \Delta p}{\partial x} \quad (4.5)$$

$$\frac{\partial \Delta n}{\partial t} = g_n - \frac{\Delta n}{\tau_n} + D_n \frac{\partial^2 \Delta n}{\partial x^2} + \mu_n \cdot n \frac{\partial E}{\partial x} + \mu_n E \frac{\partial \Delta n}{\partial x} \quad (4.6)$$

Бу ерда $\left(\frac{\partial E}{\partial x} \right)$ Пуассон тенгламаси

$$\frac{\partial E}{\partial x} = \frac{\epsilon}{\epsilon_0 \epsilon} (\Delta p - \Delta n) \quad (4.7)$$

билин ифодаланади. Ҳажмий заряд вужудга келмаганда, яъни намунада электр нейтраллик шарти $\Delta n = \Delta p$ бажарилганда $\frac{\partial E}{\partial x} = 0$ бўлади. Бу ҳол яхши ўтказувчанилкка эга бўлган яримўтказгичларда кузатилади. Киришмали яримўтказгичнинг бирор жойида қайси усул билан бўлмасин асосий бўлмаган заряд ташувчилар инжекциялансан. Пайдо бўлган ҳажмий заряд бунда икки усул билан: бу соҳадан асосий бўлмаган заряд ташувчиларни чиқариб ташлаш орқали, ёки ҳажмий зарядни бошқа типдаги заряд орқали, яъни асосий заряд ташувчилар билан компенсацияниши мумкин. Асосий заряд ташувчиларнинг катта концентрацияларида электр нейтралликни тиклаш учун уларнинг қайта тақсимланиши жуда тез, максвелл релаксация вақти

$$\tau_M = \epsilon_0 \epsilon / \sigma \quad (4.8)$$

ичида содир бўлиши керак. ϵ_0 , ϵ — вакуум, яримўтказгичнинг диэлектрик сингдирувчанилклари, τ — яримўтказгичнинг солиштирма ўтказувчанилиги.

Амалиётда асосий заряд ташувчиларнинг қайта тақсимланиши ҳеч қандай қийинчилик тутдирмайди. Но асосий заряд ташувчиларнинг диффузия жараёни ўз ҳаракатчанилгига, диффузия коэффициентига эга бўлган нейтрал заррача каби содир бўлади. Электр майдонида асосий бўлмаган заряд ташувчилар зарядланган заррача каби дрейфланади. Лекин асосий заряд ташувчиларнинг тез қайта тақсимланиши туфайли, ҳажмий заряд ҳосил бўлмайди. Демак, заряд ташувчиларнинг кичик концентрацияларида, икки ишорали заряд ташувчиларнинг фазода қайта тақсимланиши орқали, электроннейтралликнинг тикланиши содир бўлади.

$\Delta p = \Delta n$ бўлганда $g_p = g_n$, $\sigma = \tau$, бўлади. (4.5) ни $\tau = \epsilon n m_p$ га, (4.6) ни $\sigma = e p \mu$ га кўпайтириб, ўхшаш ҳадларни қўшиб,

$$\frac{\partial \Delta p}{\partial t} = g_p - \frac{\Delta p}{\tau_p} + D \frac{\partial^2 \Delta p}{\partial x^2} - \mu_E E \frac{\partial \Delta p}{\partial x} \quad (4.9)$$

күринища бўлган узлуксизлик тенгламасини оламиз. Кичик электр майдонларида заряд ташувчилар дрейф ҳаракатининг диффузиясига нисбатан ҳисобга олинмаслиги мумкин, шунинг учун (4.9) ни кичик электр майдонда

$$\frac{\partial \Delta p}{\partial t} = g_p - \frac{\Delta p}{\tau_p} + D \frac{\partial^2 \Delta p}{\partial x^2} \quad (4.10)$$

күринища ифодалаш мумкин. Бу ерда,

$$D = \frac{\sigma_n D_p + \sigma_p D_p}{\sigma_n + \sigma_p} = \frac{n + p}{n/D_p + p/D_n} \quad (4.11)$$

$$\mu_E = \frac{\tau_n \mu_p - \tau_p \mu_n}{\tau_n + \tau_p} = \frac{(n - p)}{(n/\mu_p + P/\mu_n)} \quad (4.12)$$

(4.10) тенглама (4.5) ва (4.6) тенгламаларга тенг кучли бўлиб, электронейтраллик шарти бажарилган шароитда, у заряд ташувчилар табиатини ифодалайди. (4.10) даги D — электрон-кавакнинг диффузиясини аниқлайди ва заряд ташувчиларнинг бикутбий диффузия коэффициенти, (4.12) даги μ_E эса бикутбий дрейф ҳаракатчанлиги деб юритилади.

n -тип киришмали яримутказгичда $n \gg p$ бўлгани учун (4.11) ва (4.12) лардан

$$D = D_p; \mu_E = \mu_p$$

p -тип киришмали яримутказгичда $p \gg n$ бўлгани учун

$$D = D_n; \mu_E = -\mu_n$$

ва хусусий яримутказгичда $p = n$ бўлгани учун

$$D = 2 \frac{D_n D_p}{D_n + D_p}; \mu_E = 0$$

бўлишилигини кўрамиз. Киришмали яримутказгичларда заряд ташувчиларнинг бикутбий диффузия коэффициен-

ти асосий бўлмаган заряд ташувчилар диффузия коэффициентига teng бўлишлигини, биқутбий дрейф ҳаракатчанлик абсолют қиймати бўйича асосий бўлмаган заряд ташувчилар ҳаракатчанлигига mos келишини курдик. Бундан ташқари, электрон кавак концентрациялари n ва p -ларнинг нисбатига қараб μ_E — ишорасини ўзгартиради: $n=p$ ва $\mu_E=0$ бўлишлигини гувоҳи бўламиз. Агар биқутбий диффузия коэффициенти (4.11)ни Эйнштейн муносабати

$$D = \frac{KT}{e} \mu_D \quad (4.13a)$$

орқали ифодаласак, ҳаракатчанликнинг яна бир ифодасини, яъни заряд ташувчиларнинг биқутбий диффузион ҳаракатчанилик ифодасини оламиз.

$$\mu_D = \frac{n + p}{\frac{\mu_n}{n} + \frac{\mu_p}{p}} \quad (4.13b)$$

Киришмали яримўтказгичларда $n \gg p$ ёки $p \gg n$ ўринли бўлганда μ_D қиймати μ_E га teng бўлиб, унинг ишораси ҳамма вақт мусбат бўлади. Хусусий яримўтказгичларда

$$\mu_D = 2 \frac{\mu_n \mu_p}{\mu_n + \mu_p} \text{ дир.} \quad (4.13b)$$

Узлуксизлик тенгламалари (4.9) нинг баъзи бир содда ҳоллардаги ечимини таҳлил қиласиз.

1. Фараз қиласизлик, электр майдон қўйилмаган ($E=0$) ва намунада номувозанатдаги заряд ташувчилар текис $g_v = \alpha \beta I_{0v} (1 - R_v)$ генирациялансин. Намуна эркин сиртла-рида сиртий рекомбинация содир бўлмасин ($S=0$). Бу ҳолда дрейф, диффузия жараёнлари бўлмайди, шунинг учун (4.9) тенглама

$$\frac{\partial \Delta p}{\partial t} = g - \frac{\Delta p}{\tau_p} = (1 - R_v) \alpha \cdot \beta I_{0v} - \frac{\Delta p}{\tau_p} \quad (4.14)$$

күриниши олади. Номувозанат заряд ташувчилар концентрациясининг вақт бўйича ўзгаришини фақат генерация ва рекомбинация жараёнлари аниқлайди. Ёпишиш (тутқич) марказлар бўлмагандага генерация тезлиги $g_0 = \alpha \beta I_{0v} (1 - R_v)$ — га мос $\Delta p_{боз}$ — бошлангич концентрация тўғри келсин.

Агар $t=0$ да генерация жараёни тўхтатилса, $t>0$ да $g=0$ бўлганда (4.14) нинг ечими

$$\Delta p = p(t) - p_0 = \Delta p_{боз} \cdot \exp\left(-\frac{t}{\tau_p}\right) = \alpha \beta I_{0v} (1 - R_v) \tau_p e^{-\frac{t}{\tau_p}} \quad (4.15)$$

бўлади. Текис генерация билан вужудга келган асосий бўлмаган заряд ташувчилар концентрациясининг сўниши ёргулук интенсивлиги I_{0v} (уйғотиш даражаси) кичик Δn , $\Delta n \ll n_0 + p_0$ ёки жуда катта I_{0v} да, яъни катта даражали инжекция Δn , $\Delta p \gg n_0 + p_0$ бўлганда экспонента қонуни билан содир бўлади. Бундан фойдаланиб, номувозанат заряд ташувчиларнинг яшаш вақтини аниқлаш мумкин. Бу ердаги τ_p — вақтни яримтказгичга киритилган ноасосий заряд ташувчилар концентрациясини e — марта камайишига кетган вақт деб қараш мумкин.

2. Стационар ҳол $\frac{d\Delta p}{dt} = 0$ ни кўрайлик. Электр майдони бўлмагандага ва яримчексиз намунанинг x — ўқи бўйича номувозанат заряд ташувчилар нотекис генирацияниб, ҳажм бўйича $t=0$ да $g=0$ деб фараз қилинганда, узлуксизлик тенглама

$$\frac{d^2 \Delta p}{dx^2} - \frac{\Delta p}{\tau_p} = 0 \quad (4.16)$$

кўринишида бўлади. Бу тенгламанинг

$$p_{x=0} = \Delta p(0) + p_0, \quad p_{x \rightarrow \infty} = p_0$$

чегара шартларини қаноатлантирувчи ечими

$$\Delta p(x) = p(x) - p_0 = \Delta p(0) \exp\left(-\frac{x}{L}\right) \quad (4.17)$$

бўлади. Бу ечимдан фойдаланиб, яримўтказгич намуналарида асосий бўлмаган заряд ташувчилар диффузион узунлиги $L = \sqrt{D\tau}$ ни аниқлаш мумкин. L ни асосий бўлмаган заряд ташувчилар диффузияси содир бўлганда улар концентрациясининг e — марта камаядиган масофаси деб қарашиб мумкин. Тақиқланган зонадаги ёпишиш (тутқич) марказларида ушланган зарядлар, заряд ташувчиларнинг диффузион оқимига ҳисса қўшмайди. Шунинг учун диффузион узунлик орқали яшаш вақтини аниқлаганда, ёпишиш марказлари номувозанат, асосий бўлмаган заряд ташувчилар яшаш вақтига таъсир кўрсатмайди.

3. Стационар, ностационар масалаларни кўришда, баъзи бир ҳолларда, чегаравий шартлар,

$$j_{\pm} = eD \frac{\partial \Delta p}{\partial x} \Big|_{x=0}, \quad a = \pm S(p - p_0) \Big|_{x=0}, \quad a \quad (4.18)$$

кўринишда берилиши мумкин. Бу ерда, S — ўлчамлиги тезлик бирлиги билан аниқланадиган катталик, у сиртий рекомбинация тезлиги деб аталади. Мазкур чегаравий шартнинг маъноси шундан иборатки, у S — тезлик билан сиртга оқиб кираётган заряд ташувчилар оқимини англатади. S нинг энг катта қиймати заряд ташувчилар тезлиги 10^7 см/с нинг тўртдан бирига тенг бўлиб, германний ва кремнийлар учун уй шароитида $2 \cdot 10^6$ см/с тартибida бўлади. Агар намунада ёпишиш маркази мавжуд бўлса, асосий, ноаассий заряд ташувчиларнинг яшаш вақтлари бир-биридан жуда катта фарқ қиласи $\tau_n \neq \tau_p$. Ёпишиш марказларида ушланган заряд ташувчилар концентрацияси ошиқча номувозанат заряд ташувчилар концентрациясидан катта бўлса, асосий заряд ташувчилар яшаш вақти номувозанат асосий бўлмаган заряд ташувчилар яшаш вақтидан жуда катта бўлади.

n — тип материалларда $\tau_n \gg \tau_p$, p — типда эса $\tau_p \gg \tau_n$ бўлади. Бу ҳолда битта намуна учун заряд ташувчиларнинг яшаш вақти ўлчаш усуllibарига қараб ҳар хил қийматга эга бўлиши мумкин. Текширишлар шуни кўрсатадики, но-

мұвозданат заряд ташувчилар концентрациясини, яғни номұвозданат ўтказувчанликнинг вақт бүйіча сұнишига асосланған ҳамма т ни ұлчаш усуллари ёпишиш (тутқыч) марказларининг ҳолатига, концентрациясига боғлиқ бўлган заряд ташувчилар вақтини беради.

Диффузион узунликни ұлчашга асосланған заряд ташувчилар яшаш вақтини аниклашнинг ҳамма усуллари яримұтказгич намуналарида ёпишиш (тутқыч) марказларини бор ёки йўқ бўлишига, уларнинг ҳолатига боғлиқ бўлмаган асосий заряд ташувчилар яшаш вақтини берадилар. Яримұтказгич намуналарида заряд ташувчиларнинг яшаш вақтини, диффузион узунлигини аниклашнинг жуда кўп усуллари мавжуд. У ёки бу усулни қўллаш яримұтказгич материаллари ва асбобларининг ишлашини аникладиган заряд ташувчилар ҳашаш вақтига қараб танланади. Яримұтказгичларда номұвозданат заряд ташувчиларни генерациялаш усулларига қараб, ташувчилар яшаш вақтини, диффузион узунлигини ұлчашнинг стационар, ностационар усуллари тавсия этилган.

3-туркум усуллар сифатида p -и үтишни қўллашга асосланған усулларни кўрсатиш мумкин. Охирги йилларда ёргулик интенсивлиги катта бўлган импульсли лазерларнинг яратилиши муносабати билан заряд ташувчилар яшаш вақтини катта Δt , $\Delta p \gg n_0 + p_0$ даражали инжекцияда ұлчаш имкони туғилди. Нурланишли, нурланишсиз рекомбинациялар заряд ташувчиларнинг яшаш вақтини, диффузион узунлигини аникловчи жараёнлардир. Бундан ташқари, τ , L намуналарни олиш шароитига, иссиқлик ишловларига ва температурага боғлиқ параметрлардир.

4.2 §. Номұвозданат заряд ташувчилар билан инжекцияланған намунанинг ўтказувчанлиги

Узунлиги a , эни b , қалинлиги d түғри бурчакли паралелепипед шаклида бўлган ва $x=0$ ва $x=a$ даги кўндаланг кесимларига Ом контактлари олинган намунанинг номұвозданат ўтказувчанлигини таҳлил қиласиз (4.1-расм) x — йўналишда намунадан I — ток ўтказилганда ундаги кучланиш ташуви V бўлсин. Намунада қандайдир усул, ма-

салан, фотоинжекция (ёрглик) билан ёки инжекцияловчи контакт орқали ток импульси билан номувозанат заряд ташувчилар электрон, кавакни генерациялайлик, уларнинг тақсимоти ихтиёрий бўлиб, концентрациялари Δn , $\Delta p \ll n_0 + p_0$ Ом контактларида эса

$$\Delta n /_{x=0,a} = \Delta p /_{x=0,a} = 0 \quad (4.20)$$

бўлсин. Намунанинг Ом контактларидан икки-уч диффузион узунлик $(2 \div 3) Z$ дан катта масофада жойлашган ўрта қисмида заряд ташувчиларнинг инжекцияси содир бўлса, (4.20) шартни амалга ошириш мумкин. Намунадан оқаётган электрон, кавак токлари (4.1), (4.2) нинг х бўйича ташкил этувчилари

$$\begin{aligned} j_{nx} &= e\mu_n(n_0 + \Delta n)(E_{0x} + \Delta E_x) + eD_n \frac{\partial \Delta n}{\partial x} \\ j_{px} &= e\mu_p(p_0 + \Delta p)(E_{0x} + \Delta E_x) - eD_p \frac{\partial \Delta p}{\partial x} \end{aligned} \quad (4.21)$$

билин ифодаланади. Бу ердаги ва кейинги учрайдиган “0” белги уларнинг мувозанат ҳолатдаги қийматини билдиради.

(4.19) шарт ўринли бўлганда, (4.21) даги Δn ΔE_x , Δp ΔE_x ларни, иккинчи тартибдаги кичик ҳадлар бўлгани учун, инобатта олмаса бўлади. Электрон кавак токлари j_{nx} , j_{px} ни кўшиб, кейин эса бутун намуна ҳажми $(a \cdot b \cdot d)$ бўйича интеграллаймиз. Токнинг диффузион ташкил этувчиларининг интегралга қўшган ҳиссаси (4.20) шартига кўра нолга тенг, чунки

$$\int_{abd} \frac{\partial \Delta n}{\partial x} dx dy dz = \int_{abd} \frac{\partial \Delta p}{\partial x} dx dy dz = \int_{bd} (\Delta n(a) - \Delta n(0)) dy dz = 0$$

Ана шундай тенгликни p учун ҳам ёзиш мумкин.

$$V_0 = a \cdot E, \quad \Delta V = \int_0^a \Delta E_x dx, \quad I = \int_{bd} (j_{nx} + j_{px}) dy dz$$

муносабатларни назарда тутсак, намунада номувозанат заряд ташувчилар инжекцияланганда, ундан оқаётган токнинг ўзгариши

$$\Delta I = \frac{e}{a^2} (\mu_p \Delta p + \mu_n \Delta N) V_0 + G_0 \Delta V \quad (4.22a)$$

бўлади. Бунда

$$\begin{aligned}\Delta p &= \int_{abd} \Delta n \, dx \, dy \, dz \\ \Delta N &= \int_{abd} \Delta p \, dx \, dy \, dz\end{aligned} \quad (4.22b)$$

ΔN , Δp — мос равишда намунадаги номувозанат электрон, кавакларнинг тўла сони,

$$G_0 = \frac{bd}{a} e (\mu_n \cdot n_0 + \mu_p p_0) = \frac{1}{R_0} \quad (4.23)$$

намунанинг мувозанат ҳолатдаги (қоронфудаги) ўтказувчанилиги, мувозанат ҳолатида намунадан оқаётган токни

$$I_0 = V_0 / R_0 = G_0 V_0$$

орқали, намунадан номувозанат ҳолатда (заряд ташувчи-лар инжекцияланганда) оқаётган токни

$$I = \frac{V}{R} = G \cdot V = (G_0 + \Delta G) V \quad (4.24)$$

формула орқали ифодаласак ҳамда кичик инжекцияда Δn , $\Delta p \gg n_0$, p_0 , яъни $G_0 \gg \Delta G$ бўлишилигини назарда тутсак, заряд ташувчилар инжекцияланган намунадан оқаётган токнинг ўзгариши

$$\Delta I = \Delta G V_0 + G_0 \Delta V \quad (4.25)$$

ифода билан аниқланишини кўрамиз. (4.22) ни (4.25) билан солиштиришдан намунага электрон, кавак инжекцияланганда ўтказувчаниликнинг ортиши:

$$\Delta G = \frac{e}{a^2} (\mu_n \Delta N + \mu_p \Delta p) \quad (4.26)$$

салан, фотоинжекция (ёргулук) билан ёки инжекцияловчи контакт орқали ток импульси билан номувозанат заряд ташувчилар электрон, кавакни генерациялайлик, уларнинг тақсимоти ихтиёрий бўлиб, концентрациялари Δn , $\Delta p \ll n_0 + p_0$ Ом контактларида эса

$$\Delta n /_{x=0,z} = \Delta p /_{x=0,z} = 0 \quad (4.20)$$

бўлсин. Намунанинг Ом контактларидан икки-уч диффузион узунлик ($2 \div 3$) Z дан катта масофада жойлашган ўрта қисмида заряд ташувчиларнинг инжекцияси содир бўлса, (4.20) шартни амалга ошириш мумкин. Намунадан оқаётган электрон, кавак токлари (4.1), (4.2) нинг x бўйича ташкил этиувчилари

$$\begin{aligned} j_{nx} &= e\mu_n(n_0 + \Delta n)(E_{0x} + \Delta E_x) + eD_n \frac{\partial \Delta n}{\partial x} \\ j_{px} &= e\mu_p(p_0 + \Delta p)(E_{0x} + \Delta E_x) - eD_p \frac{\partial \Delta p}{\partial x} \end{aligned} \quad (4.21)$$

билин ифодаланади. Бу ердаги ва кейинги учрайдиган “0” белги уларнинг мувозанат ҳолатдаги қийматини билдиради.

(4.19) шарт ўринли бўлганда, (4.21) даги Δn , Δp , ΔE_x ларни, иккинчи тартибдаги кичик ҳадлар бўлгани учун, инобатта олмаса бўлади. Электрон кавак токлари j_{nx} , j_{px} ни қўшиб, кейин эса бутун намуна ҳажми ($a \cdot b \cdot d$) бўйича интеграллаймиз. Токнинг диффузион ташкил этиувчиларининг интегралга қўшган ҳиссаси (4.20) шартига кўра нолга тенг, чунки

$$\int_{abd} \frac{\partial \Delta n}{\partial x} dx dy dz = \int_{abd} \frac{\partial \Delta p}{\partial x} dx dy dz = \int_{bd} (\Delta n(a) - \Delta n(0)) dy dz = 0$$

Ана шундай тенгликни p учун ҳам ёзиш мумкин.

$$V_0 = a \cdot E, \quad \Delta V = \int_0^a \Delta E_x dx, \quad I = \int_{bd} (j_{nx} + j_{px}) dy dz$$

муносабатларни назарда тутсак, намунада номувозанат заряд ташувчилар инжекцияланганда, ундан оқаётган токнинг ўзгариши

$$\Delta I = \frac{e}{a^2} (\mu_p \Delta p + \mu_n \Delta N) V_0 + G_0 \Delta V \quad (4.22a)$$

бўлади. Бунда

$$\begin{aligned}\Delta p &= \int_{abd} \Delta n \, dx \, dy \, dz \\ \Delta N &= \int_{abd} \Delta p \, dx \, dy \, dz\end{aligned} \quad (4.22b)$$

ΔN , Δp — мос равишда намунадаги номувозанат электрон, кавакларнинг тўла сони,

$$G_0 = \frac{hd}{a} e (\mu_n \cdot n_0 + \mu_p p_0) = \frac{1}{R_0} \quad (4.23)$$

намунанинг мувозанат ҳолатдаги (қоронғудаги) ўтказувчанилиги, мувозанат ҳолатида намунадан оқаётган токни

$$I_0 = V_0 / R_0 = G_0 V_0$$

орқали, намунадан номувозанат ҳолатда (заряд ташувчи-лар инжекцияланганда) оқаётган токни

$$I = \frac{V}{R} = G \cdot V = (G_0 + \Delta G) V \quad (4.24)$$

формула орқали ифодаласак ҳамда кичик инжекцияда Δn , $\Delta p \gg n_0, p_0$, яъни $G_0 \gg \Delta G$ бўлишилигини назарда тутсак, заряд ташувчилар инжекцияланган намунадан оқаётган токнинг ўзгариши

$$\Delta I = \Delta G V_0 + G_0 \Delta V \quad (4.25)$$

ифода билан аниқланишини кўрамиз. (4.22) ни (4.25) билан солиширишдан намунага электрон, кавак инжекцияланганда ўтказувчаниликнинг ортиши:

$$\Delta G = \frac{e}{a^2} (\mu_n \Delta N + \mu_p \Delta p) \quad (4.26)$$

ифода билан аниқланади. (4.19) ва (4.20) шартлар бажарилганда (4.26) ифода намунада инжекцияланган заряд ташувчиларнинг ҳар қандай тақсимланишида ўринли бўлади. Юқорида кўрдикки, (4.20) шартнинг бажарилиши диффузион токнинг нолга teng бўлган ҳиссасини таъминлайди. Шунинг учун (4.26) ни

$$\Delta n/x=0=\Delta n/x=a; \quad \Delta p/x=0=\Delta p/x=a \quad (4.27)$$

билин алмаштириш мумкин. Дейлик, (4.21) да электр майдон кучланганлиги шундай катта ва токнинг диффузион ташкил этувчисини ташлаб юбориш мумкин бўлсин, у ҳолда (4.20) ва (4.27) шартлар бажарилиши ёки, бажарилмаслигидан қатъи назар, у (4.25) ифода ўринли бўлади. Ихтиёрий инжекцияланиш даражасида, яъни (4.19) шарт бажариладими, йўқми, (4.26) ифода ўринли бўлиши учун Δn , Δp лар x га боғлиқ бўлмаслиги керак. Бу шартни, масалан, намуна сиртини бир хил интенсивликда ёритиш билан амалга ошириш мумкин. Кучсиз инжекцияда, яъни (4.19) бажарилганда, намуна қаршилиги ΔR нинг ўзгариши

$$\Delta R = R_0 - R = \frac{1}{G_0} - \frac{1}{G_0 + \Delta G} = \frac{\Delta G}{G_0(\Delta G + G_0)} \approx R_0^2 \Delta G \quad (4.28)$$

билин аниқланади, бу ерда R_0 — мувозанатдаги намуна қаршилиги.

4.3 §. Номувозанат заряд ташувчилар параметрларини ўлчашнинг ностационар усуслари

a. Номувозанат заряд ташувчилар параметрларини ўлчаш усули назарияси

Маълумки, заряд ташувчилар генерацияланишининг қандай содир бўлишига, намуна ўлчамларига, сирт ишловига қараб заряд ташувчилар концентрацияси (фото-ўтказувчаник)нинг вақт бўйича ўзгаришини, яъни релаксацияларини аниқловчи рекомбинация, дрейф, диффузия жараёнлари ҳар хил кечади. Шунинг учун 4.1-§ да

келтирилган $\Delta n(x, y, z, t)$ ёки $\Delta G(x, y, z, t)$ ларнинг сунидан аниқлаш мумкинлиги тұғрисидаги ғояни амалиеттә татбиқ этиш учун қайд етилган омиллар ва жараёнларни $\Delta n(x, y, z, t)$ ва $\Delta G(x, y, z, t)$ релаксацияларига таъсирини батафсилроқ таҳлил қылайлик. Олдин намуна тұғри бурчакли ёлғиз (якка) ёки даврий ёруғлик импульси билан ёритилган ҳолни қараб чиқайлик. Фотон энергияси $\hbar\omega \geq E$, бұлган ёруғлик импульси давомийлиги ичида номувозанат заряд ташувчилар намуна ҳажми бүйича текис генерацияланған ва эркін сиртлари шундай ишловдан ўтказилғанки, сиртій рекомбинация кичик (бошқача айттанды, кузатылmasин) деб фараз қиласыз. Бу ҳолда заряд ташувчиларнинг диффузияси вужудга келмайды.

$\Delta n = \Delta p$ да чизикли рекомбинация $\left(\frac{\Delta p}{\tau_p}\right)$ мавжуд бўлганда,

$E=0$ да узлуксизлик тенгламаси (4.14) кўринишда бўлади. Кичик интенсивликдаги (Δn , $\Delta p \ll n_0 + p_0$) амплитудаси I_0 , давомийлиги T бўлган тұғри бурчакли ёруғлик импульси билан ёритилганда, импульснинг давомийлиги оралиғида $0 \leq t = T$ (4.14) нинг ечими

$$\Delta p = \alpha \beta I_0 \tau_p (1 - e^{-\frac{t}{\tau_p}}) (1 - R) \quad (4.29)$$

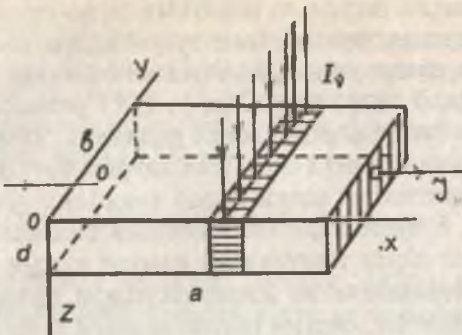
ва импульс тутагандан сўнг $T \leq t$ да

$$\Delta p = \alpha \beta \tau_p I_0 (1 - e^{-\frac{T}{\tau_p}}) e^{-\frac{t-T}{\tau_p}} \cdot (1 - R) \quad (4.30)$$

бўлади. Агар ёруғлик импульсининг давомийлиги заряд ташувчилар яшаш вақтидан катта ($T > \tau_p$) бўлса, заряд ташувчиларнинг концентрацияси стационар

$$\Delta n_{em} = \alpha I_0 \beta \tau_p (1 - R) \quad (4.31)$$

Қийматга эришиб улгуради. Шундай қилиб, кўрилаётган ҳолда заряд ташувчиларнинг концентрацияси (Δn , Δp) ҳамда уларга пропорционал бўлган фотоўтказувчанлик, импульс давомийлиги оралиғида



4.1-расм. Яримүтказгич намунанинг модели.

$$\Delta G \sim \Delta p \sim (1 - e^{-\frac{t}{\tau_p}}) \quad (4.32)$$

Импульс тугагандан сұнғ

$$\Delta G \sim \Delta p \sim e^{\frac{-t-T}{\tau_p}} \quad (4.33)$$

қонуниятлари бүйіча үзгәради. Энди фототказувчанлык-нинг сұнишида диффузия, дрейф рекомбинация жараёнлари қатнашадынан мұраккаброк ҳолни күрайлык. Намуна $X=0$, $X=2A$, $Y=0$, $Y=2B$ $Z=0$, $Z=2C$ дан үтган текисликтер билан чекланған түғри бурчакли параллелопипед шаклида бұлсın (4.1-раем). Айтайлык, намуна n — типли яримүтказгич бұлсın, у ҳолда номувозанатий заряд ташувчиларнинг диффузиясини асосий бұлмаган заряд ташувчи, яғни кавак аниқлайды. Заряд ташувчилар текис генерацияланған намунани сиртларида, заряд ташувчиларнинг сирттій рекомбинацияси содир бұлғанда, сиртга томон йұналған заряд ташувчилар оқими вужудға келади. Бу билан ҳажм бүйіча заряд ташувчиларнинг нотекис тақсимланишиға ва нағижада уларнинг диффузияси содир бұлади. Фараз қылайлык, намунада ёпишиш марказлари йўқ, ёруғлик импульснинг үйготиш даражаси (интенсивлігі) кичик Δn , $\Delta p \ll n_0 + p_0$ бұлсın. Импульс давомийлігі шундай кичик бұлсінки, уннан тугаш вақтини вақт ҳисобининг бошланишини ($t=0$) деб қабул қилиш

мумкин бўлсин. $t=0$ да ҳажм бўйича бир хил (текис) тарқалган номувозанат электрон, кавакларнинг диффузия, рекомбинация жараёнлари бошланади. Ўтказувчаникни ўтлаш учун зарур бўлган X — йўналишда электр майдони мавжуд бўлган ҳолда узлуксизлик тенглама (4.4) си, яъни,

$$\frac{\partial \Delta p}{\partial t} = -\frac{\Delta p}{\tau_p} - \mu E \frac{\partial \Delta p}{\partial x} + D \operatorname{divgrad} \Delta p(x, y, z, t) \quad (4.34)$$

билин ифодаланади. Узлуксизлик (4.34) тенгламани бошланғич

$$\Delta p(x, y, z, t)|_{t=0} = \Delta p_{\text{боз}} \quad (4.35)$$

ва сиртий рекомбинацияни ҳисобга олувчи

$$x = 0, \quad x = 2A \quad \text{сиртларида} \quad D \frac{\partial \Delta p}{\partial x} = \pm S_a \Delta p$$

$$y = 0, \quad y = 2B \quad \text{сиртларида} \quad D \frac{\partial \Delta p}{\partial y} = \pm S_b \Delta p \quad (4.36)$$

$$z = 0, \quad z = 2C \quad \text{сиртларида} \quad D \frac{\partial \Delta p}{\partial z} = \pm S_c \Delta p$$

чегаравий шартларни қаноатлантирувчи ечими

$$\begin{aligned} \Delta p = \sum_{ijk} \Delta p_{ijk} &= \sum_{ijk} G_{ijk} \cos\left(\frac{\epsilon_i x}{A}\right) \cos\left(\frac{\xi_j y}{B}\right) \cos\left(\frac{\xi_k z}{C}\right) x \\ &\otimes \exp\left(-\frac{\mu E x}{2D}\right) \exp\left\{-\left[\frac{1}{\tau} + \gamma_{ijk} + \frac{(\mu E)^2}{4D}\right] t\right\} \end{aligned} \quad (4.37)$$

куринишда бўлади. Бу ерда

$$\gamma_{ijk} = D \left(\frac{\epsilon_i^2}{A^2} + \frac{\eta_j^2}{B^2} + \frac{\xi_k^2}{C^2} \right) \quad (4.38)$$

Δp_{ijk} — амплитудаси G_{ijk} бўлган гармоника концентрацияси, берилган хусусий функцияси билан аниқланадиган ошиқча заряд ташувчилар концентрациясининг қисми.

G_{ijk} — бошлангич шартдан, яни заряд ташувчиларнинг $t=0$ даги тақсимотидан топиладиган катталик. (4.37) ечимга хусусий функцияларнинг чизикли комбинацияси деб қараш мумкин. Ундан кўринадики, Δp_{ijk} — нинг вақтга боғланиши учта экспоненциал ташкил этувчиларни ўз ичига олади.

$\exp\left(-\frac{t}{\Delta p}\right)$ — намуна ҳажмида заряд ташувчилар рекомбинацияси туфайли,

$\exp(-\gamma_{jk} t)$ — сиртий рекомбинация туфайли,

$\exp\left[-\frac{(\mu E)^2}{4D}\right]$ — заряд ташувчилар тақсимотига майдон таъсири туфайли вужудга келган ташкил этувчилардир, заряд ташувчилар яшаш вақтини, сиртий рекомбинация тезлигини ўтчашибда вақт доимийлигининг охирги ташкил этувчиси шундай кичик бўлсинки, ташкил электр майдони фототказувчанликнинг пасайишига таъсир кўрсатмасин. Бунга эришиш учун,

$$\frac{(\mu E)^2}{4D} < \frac{1}{\tau} + \gamma_{jk} \quad (4.39)$$

шарт бажарилиши керак. Одатда бу шарт электр майдон кучланганигининг бир неча В/см дан катта бўлмаган қийматларида бажарилади. Агар (4.34) тенгламада электр майдон кучланганигини кичик деб, уни инобатта олмасак ва унга (4.36) чегаравий шартларни кўласак, $\varepsilon_i, \eta_j, \xi_k$ — катталикларни сиртий рекомбинация тезликлари S диффузия коэффициенти D ни намуна ўлчамлари билан боғлайдиган,

$$\frac{S_a A}{D} = \varepsilon_i \operatorname{tg} \varepsilon; \quad \frac{S_b B}{D} = \eta_j \operatorname{tg} \eta; \quad \frac{S_c C}{D} = \xi_k \operatorname{tg} \xi_k \quad (4.40)$$

муносабатларни беради. Булар трансдент тенгламалар бўлиб, биринчи ечимлари 0 билан $\frac{\pi}{2}$ оралиғида, иккинчи ечимлари $\pi \div 1,5\pi$ оралиғида ётади. Шу билан бирга,

$S=0$ даги ечимлари $\xi=\eta_1=\xi_1=0$ $S\rightarrow\infty$ да эса $\varepsilon_1=\eta_1-\xi_1=\frac{\pi}{2}$ бўлади. Шунинг учун Δp_{yk} нинг асосий гармоникаси ε_p , η_p , ξ_p — ларнинг энг кичик хусусий қийматларига мос келб, эффектив вақт доимийси,

$$\tau_{\text{зф}} = \left(\frac{1}{\tau} + \gamma_{\text{II}} \right)^{-1} \quad (4.41)$$

билин аниқланади. Бу ерда

$$\gamma_{\text{II}} = D \left[\frac{\xi^2}{A^2} + \frac{\eta_1^2}{B^2} + \frac{\xi_1^2}{C^2} \right] \quad (4.42)$$

γ_{II} — сирт рекомбинацияси тезлигига, намуна геометрик ўлчамларига боғлиқ. γ_{II} ни қабул қилиши мумкин бўлган қийматининг кичигидир. Термодинамик мувозанатни тиклаш жараёнлари билан боғлиқ асосий гармониканинг камайиши (пасайиши) қолган гармоникалардан устунлик қилади, чунки у энг катта вақт доимийсига эга. $\nu_{yk} + \frac{1}{\tau}$ — катталикни $\left(\frac{1}{\tau} + \gamma_{\text{III}} \right)$ га яқин қийматни қабул қилгунча кетган вақт оралиғи гармоникалар амплитудалари G_{yk} нинг ўзаро нисбатига боғлиқ. Энг содда ҳолда δ (дельта функция) — кўринишдаги ёруғлик импульси билан ёритилган, бошлангич ҳолатда текис тақсимланган заряд ташувчилар камайишининг бошланишида $S\rightarrow\infty$, $2B=2C\ll 2A$ бўлганда, асосий гармоника номувозанатий ошиқча заряд ташувчилар $2/3$ қисмининг релаксациясини ифодалайди, бу нисбий вақт ўтиши билан ортиб боради ва тез чегаравий қийматта яқинлашади.

Демак, бу ҳолда фотоўтказувчанлик релаксациясининг асосий қисми нисбатан катта бўлмаган бошлангич қисмидан ташқарида

$$\Delta\sigma(t) = \Delta\sigma_0 \exp \left[- \left(\frac{1}{\tau} + \gamma_{\text{III}} \right) t \right] \quad (4.43)$$

орқали ифодаланади. Намунанинг геометрик ўлчамлари қанча катта бўлса, эркин сиртларда сирт рекомбинация тезлиги қанча паст бўлса, вақт доимийси (4.41) га сирт рекомбинациясининг таъсири шунча кичик бўлади. γ_{\parallel} — содда формулалар билан ифодаланадиган баъзи бир хусусий ҳолларни кўрайлик.

Агар $x=0$ ва $x=2A$ қирралари (ёқлари)да сирт рекомбинацияси тезликлари чексиз катта $S \rightarrow \infty$ (одатда бу омик контактларда амалга ошади) ва бошқа сиртларида $S=0$ деб қабул қилсак, у

$$\gamma_{\parallel} = \gamma_{100} = \frac{\pi^2}{4A^2} \quad (4.44)$$

кўринишда ифодаланади. (4.44) формулати шубҳасиз зарияд ташувчилар ҳажмий яшаш вақтини аниқлашга қўллаш мумкин. Эффектив яшаш вақти $\tau_{\gg\phi}$ тажрибадан ўлчаш билан аниқланган бўлса, ҳажмий яшаш вақти

$$\frac{1}{\tau} = \frac{1}{\tau_{\gg\phi}} - \frac{\pi^2 D}{4A^2} \quad (4.45)$$

билин аниқланади.

Қачонки ҳамма сиртларда сирт рекомбинацияси тезлиги жуда катта бўлиб, $\tau_{\gg\phi}$ маълум бўлса,

$$\frac{1}{\tau} = \frac{1}{\tau_{\gg\phi}} - \frac{\pi^2 D}{4} \left(\frac{1}{A^2} + \frac{1}{B^2} + \frac{1}{C^2} \right) \quad (4.46)$$

бундай имконият яна туғилади.

Агар ёруғлик импульси билан рекомбинация жараённига омик контактлари таъсир этмайдиган масофада бўлган бир қисми ёритилган бўлса, унда

$$\frac{1}{\tau} = \frac{1}{\tau_{\gg\phi}} - \frac{\pi^2 D}{4} \left(\frac{1}{B^2} + \frac{1}{C^2} \right) \quad (4.47)$$

бұлади. Намуна эркін сиртларыда сирт рекомбинацияси тезликлари бир хил чекли кичик қийматтарни қабул қылған ҳолда

$$\frac{SB}{D} = \eta^2, C \cdot S/D = \xi^2 \quad (4.48)$$

$$\text{ва } \frac{1}{\tau_{\phi}} = \frac{1}{\tau} + 2S \left(\frac{1}{2B} + \frac{1}{2C} \right) \quad (4.49)$$

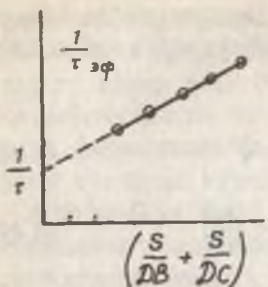
бўлишлигини кўрамиз. Энди бу келтирилган (4.43), (4.49) ифодаларни қўллаб S , τ , D параметрларни тажрибадан аниклаш устида тўхталамиз. Сирт рекомбинацияси тезлигини (4.49) асосида ўлчаш учун фотоўтказувчаникнинг камайиш жараёнида сиртий рекомбинация асосий аникловчи жараён, яъни (4.49) да

$$2S \left(\frac{1}{2B} + \frac{1}{2C} \right) \gg \frac{1}{\tau} \quad (4.50)$$

бўлиши керак. Агар намуна ўлчамларидан бири жуда кичик бўлса, $C \ll B$, яъни юпқа пластинка шаклидаги намуна қўлланилса, бунга эришиш мумкин. (4.50) шартни, катта сиртий рекомбинация тезлиги бўлганда қаноатлантириш осон, лекин (4.50) муносабат бажарилмайди, бу ҳолда (4.42) умумий формулани (4.40) билан қўллаш керак.

(4.41) дан кўринадики, $\frac{1}{\tau_{\phi}}$ квадрат қавсдаги кўпайтмага чизиқли боғланган. $\frac{1}{\tau_{\phi}}$ Функцияning графиги сиртий рекомбинацияни ўзгармас қийматида тўғри чизиқ бўлиб, у вертикаль ўқни $\left(\frac{1}{\tau}\right)$ да кесадиган унинг оғиш бурчаги тангенси, диффузия коэффициентига teng бўлади.

$$\operatorname{tg} \varphi = D = \frac{\Delta \left(\frac{1}{\tau_{\phi}} \right)}{\Delta \left[\frac{n^2}{B^2} + \frac{\xi^2}{C^2} \right]} \quad (4.51)$$



4.2-расм. Заряд ташувчилар эффектив яшаш вақти тескари қиймати

$$\frac{1}{\tau_{\text{эф}}} = \text{коңг} \left(\frac{S}{DB} + \frac{S}{DC} \right) \text{ га бөгланиши:}$$

S — сирт рекомбинация тезлиги;
 D — заряд ташувчилар диффузия коэффициенти; B, C — намуна үлчамлари.

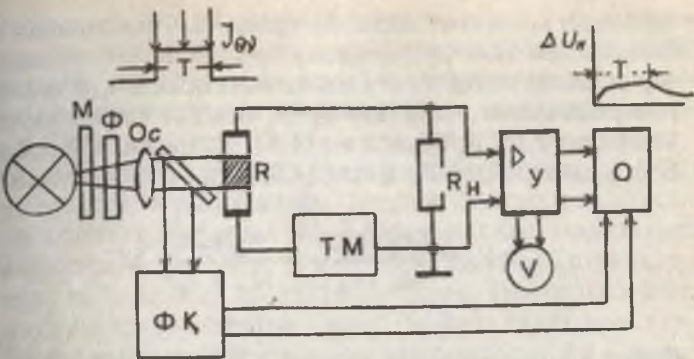
Бу катталиклар қуйидагича топилади: намуна ўрта қисми ёритилған ҳолда, (4.41) га күра, $\tau_{\text{эф}}^{-1}$ ни (4.48) құллаш билан

$$\frac{1}{\tau_{\text{эф}}} = \frac{1}{\tau} + D \left(\frac{\varepsilon_1^2}{B^2} + \frac{\xi_1^2}{C^2} \right) = \frac{1}{\tau} + D \left(\frac{S}{DB} + \frac{S}{DC} \right) \quad (4.52)$$

құринишда ифодалаймиз. Бунда S/D нинг шундай қиймати тәнланадыки, сиртларига бир хил ишлов берилған ҳар хил геометрик үлчамлардаги намуналарда $\frac{1}{\tau}$ ни үлчанған қийматларининг нүқталари бир түғри чизиқда ётсін (4.2-расм). Сүнг түғри чизиқнинг оғишидан диффузия коэффициенти топилади. D ни ва S/D ни билған ҳолда $\left(\frac{1}{\tau}\right)$ топилади. Шунга үхшаш график усул билан (4.49) бөгланиш асосида τ ва S ни, (4.46) бөгланиш асосида эса τ , D ни топиш мүмкін. Юпқа намуналар учун үринли бўлган (4.49) формула учун $C \ll \frac{D}{S}$ шартнинг бажарилиши кремний намуналари учун сиртій рекомбинация тезлигини 10^3 см/с тартибдаги, германий намуналари учун 10^4 см/с тартибдаги қийматлари билан чеклайди.

6. *Фотоутказувчанлик релаксация вақтини үлчаш қурилмаси ва заряд ташувчилар яшаш вақтини аниқлашдаги хатоликлар*

Фотоутказувчанлик релаксация вақтини үлчаш қурилмасидан бирининг чизмаси 4.3-расмда көлтирилған.



4.3-расм. Стационар фотоутказувчанликни ўлчаш қурилмаси нинг схемаси. ТМ — ўзгармас ток манбай, М — модулятор, ОС — оптик система, Φ — фильтр, $\Phi\text{К}$ — фотодиодулцилгич (фотодиод).

Ўзгармас кучланиш (ток) манбай (ТМ) га қаршилиги R бўлган намуна билан унга кетма-кет бўлган юклама қаршилик R_H уланган. Ёруғлик импульси билан намуна ёритилганда, унинг ўтказувчанлиги, G нинг ўзгариши ΔG туфайли, қаршиликда кучланиш тушувининг ўзгариши (ўзгарувчан кучланиш) ΔV_H вужудга келади. Намуна ёритилмагандаги ΔV_{H0} ўзгаришини, занжирдан оқаётган I_0 токни, R_H даги кучланишни

$$R = R_0; \quad I_0 = \frac{V_H}{R_0 + R_H}; \quad V_{H0} = I_0 R_H = \frac{V_H R_H}{R_H + R_0}$$

намуна ёритилганда,

$$R = R_0 - \Delta R; \quad I_{ep} = \frac{V_H}{R_0 + R_H - \Delta R}; \quad V_{He_p} = \frac{V_H R_H}{R_H + R_0 - \Delta R}$$

бўлишини назарда тутсак, R_H — юклама қаршиликда кучланиш тушувининг ўзгариши

$$\Delta V_H = V_{Ho} - V_{He_p} = (I_{ep} - I_0) R_H = \frac{V_H \Delta R \cdot R_H}{(R_0 - \Delta R + R_H)(R_0 + R_H)} \quad (4.53)$$

ифода билан аниқланади. Бу ерда, V_H — ток манбаи (ТМ) клеммалари (қисқичлари)даги күчланиш. Номувозанатий заряд ташувчилар кичик интенсивликдаги ёруғлик билан генерацияланса, Δn , $\Delta p \ll n_0 + p_0$, намуна қаршилигининг ўзгариши $\Delta R \ll R_0$ бўлади ва (4.53) маҳражидаги ΔR эътиборга олинмайди. Бу ҳолда (4.53) ни (4.28) га асосан

$$\Delta V_H = \frac{V_H R_H \Delta R}{(R_0 + R_H)^2} = \frac{V_H R_H R_0^2}{(R_H + R_0)^2} \Delta G \quad (4.54)$$

билин ифодаланишини кўрамиз. Бу ифодадан кўринадики, заряд ташувчиларнинг паст уйғотиш даражасида юклама қаршилик R_H нинг исталган қийматида ΔV_H билан намуна фотоутказувчанлиги ΔG орасида пропорционаллик сақланади. Ихтиёрий уйғотиш даражасида, ΔV_H билан ΔG — орасидаги пропорционаллик $R_H \gg R_0$ бўлгандагина сақланади. Бу ҳолда (4.54) дан

$$\Delta V_H = \frac{V_H R_0^2}{R_H} \Delta G \quad (4.55)$$

бўлади. (4.54) ва (4.55) ифодалар ўринли бўлган ҳолда, ΔG ва унга пропорционал бўлган R_H даги күчланиш импульси ΔV_H ни вақт бўйича сўниши рекомбинация қонунияти бўйича бўлиб, мувозанатдаги қийматига интилади. R_H қаршилиқда ёруғлик импульсидан вужудга келган күчланиш импульсини кенг поласали кучайтиргичга, сўнг ундан осциллографга берилади ва фотоутказувчанлик релаксацияси осциллограмма шаклида қайд қилинади. Осциллограммани турғун ушлаб туриш учун у ташқи сигнал билан синхронланади. Бунинг учун намунага тушаётган ёруғлик яримшаффоф кўзгу билан икки қисмга ажратилади. Уларнинг бири кичик инерцияли, тезкор фото қабул қилгич (фото-электрон кучайтиргич, фотодиод, вакуумли фотоэлемент) орқали электр импульсига айлантирилади ва осциллографнинг синхронлаш блокининг киришига берилади (43-расм).

Осциллограммадан күчланиш импульси ΔV_H нинг камайиш чизигини таҳлил қилиб, унинг экспоненциал со-

ҳасининг вақт доимийси аниқланади ва у орқали заряд ташувчилар яшаш вақти ҳисобланади. Кучланиш импульсининг бошланғич тез камайиш соҳаси, юқори гармоникалар тушишини аниқлаши туфайли, эътиборга олинмайди. Одатда бу усул билан τ ни үлчашда кўтарилиш, тушиш вақтлари кичик бўлган түгри бурчакли ёруғлик импульслари ишлатилади. Бундай ёруғлик импульслари ни олишда Поккельс ва Kerr ячейкали модуляторлар, инжекцион лазерлар, $p-p$ — гамо ўтишли ёруғлик диодлари ва бошқалар ишлатилади. Kerr, Поккельс ячейкали модуляторлар электро-оптик эффектларга асосланган. Электрооптик эффектни вақт доимийси $\sim 10^{-8}$ с тартибida, шу эффектга асосланган модуляторлар қуллаш билан импульс фронти $10^{-7} \div 10^{-8}$ сек. бўлган түгри бурчакли ёруғлик импульслари олиш мумкин. Ёруғлик диодларида $p-p$ ўтиши учун тўғри кучланиш берилганда инжекцияланган номувозанатий заряд ташувчилар рекомбинацияси туфайли, нурланиш содир бўлади. Ёруғлик диодларини, инжекцион лазерларни ўзгарувчан ток импульси билан уйғотиб, улар параметрига мос келадиган ёруғлик импульси олиш мумкин. Нурланиш импульсларини олди ва орқа фронтлари заряд ташувчилар яшаш вақтига боғлиқ бўлиб, у $10^{-7} : 10^{-9}$ сек тартибida бўлади. Импульсли ёруғлик манбалари сифатида (инерт газлар ксенон, крептон ёки улар аралашмаси тўлдирилган) газли разряд лампалар ҳам ишлатилади. Кучланиш импульси лампанинг ёндирувчи ва ток ўтадиган электродларига берилганда лампадан оқаётган ток тұхтагандан сұнг ҳам бир неча микро секунд разряд давом этади. Бу лампалarda ёруғлик импульсининг минимал сұниш вақти 1 мкс тартибida бўлиб, у τ_{sp} нинг куйи чегарасини чеклайди. Номувозанатий заряд ташувчилар яшаш вақтини фотоутказувчанликнинг сұнишига асосланган усули билан аниқлашда катта хатоликка йўл қўймаслик учун бир жинсли бўлмага намунаи ёритишдан (масалан, намуна ток контактлари соҳасини ёритишдан) пайдо бўладиган фотозлектр юритувчи кучни йўқотиш керак. Бунинг учун намуна биржинсликка текширилади ва намуна Ом kontaktларига ёруғликни тушишидан сақлаш керак. Юқорида қайд қилинганидек, Ом kontaktларидаги рекомбинация жараёнлари фотоутказувчанликнинг сұнишига таъсир кўрсатмаслиги

учун Ом контактларидан ёритилаётган қисмгача бүлган масофа заряд ташувчилар диффузион үзүнлигидан бир неча марта катта $l \geq (2 \div 3)L$ бўлиши зарур. Яримутказгич намуналарида ёпишиш марказлари мавжуд бўлса, уларнинг таъсири туфайли фотоўтказувчаникнинг сўниш қисмida узоқ вақтли ташкил этувчиси бўлади. Буни йўқотиш учун намунани кучсиз ёруғлик билан доимий ёритиб туриш тавсия этилади, чунки бу ҳолда ёпишиш марказлари заряд ташувчилар билан тўлатилган бўлади. Фотоўтказувчаник релаксациясидан заряд ташувчилар ҳажмий яшаш вақтини аниқлашда сирт рекомбинация жараёни туфайли содир бўлган хатолик, асосан, намуна сиртларининг ишловига ва намуна геометрик ўлчамларига боғлиқ. Буни баҳолаш учун ўлчамлари $a, b \gg d$ бўлган намуналарда заряд ташувчилар диффузия коэффициентига, сиртий рекомбинация S тезлигига, намуна қалинлигига боғлиқ бўлган сиртий яшаш вақти (4.41) ва (4.42)

ларга кўра $\left(C = \frac{d}{2} \right)$ га алмаштириб

$$\tau_s = \frac{d^2}{4\xi^2 D} \quad (4.56)$$

ифодадан топилади. ξ — катталик

$$\xi_1 \approx \xi_2 = \frac{ds}{D} \quad (4.57)$$

трансдент тенглама ечими. τ_s нинг заряд ташувчиларнинг ҳажмдаги яшаш вақтига таъсирини кремний мисолида кўрайлик. Бунинг учун кремний намуналарининг сартлари икки хил, яъни: а) механик-кимёвий ишловдан ва б) едириш (кислота ёки ишқорлар билан сиртини ювиш) ишловидан ўтган сиртлардир.

Бу сирт ишловларига мос равишида рекомбинация тезликларининг 10^4 см/с, 10^3 см/с қийматлари тўғри келади. (4.56) ва (4.57) асосида ҳисобланган τ_s нинг ҳар хил қалинликдаги қийматлари 4.1-жадвалда келтирилган.

Кремний намуналарида асосий бўлмаган заряд ташувчиларнинг сиртдаги яшаш вақтлари.

Намуна, қалинлиги, мм	$\tau_s = \frac{d^2}{4\xi_1^2 D}$			
	p -тип $D = 39 \text{ см}^2/\text{с}$	n -тип $D = 15,5 \text{ см}^2/\text{с}$	$S = 10^4 \text{ см}/\text{с}$	$S = 10^3 \text{ см}/\text{с}$
d	$S = 10^4 \text{ см}/\text{с}$	$S = 10^3 \text{ см}/\text{с}$	$S = 10^4 \text{ см}/\text{с}$	$S = 10^3 \text{ см}/\text{с}$
0,4	6	24	12	29
1	31	72	70	110
5	670	880	1700	1960
10	2700	3100	6800	7100
15	5900	6500	10000	11000
20	10500	11000	27000	27000

τ_s нинг қийматлари таҳлилидан кўринадики, τ ни ΔG нинг сўниши бўйича аниқлашда заряд ташувчилар ҳажмий яшаш вақтини 10% дан катта бўлмаган хатолик билан ўлчаш учун, $\frac{1}{\tau_{\text{эм}}} = \frac{1}{\tau} + \frac{1}{\tau_s}$ га кўра, шундай қалинликдағи намунани таъланаш керакки, унда τ_s нинг қиймати τ га нисбатан камида (бир тартибда) ўн марта катта бўлиши керак. Масалан, диаметри $\phi = 76 \text{ мм}$, қалинлиги $0,4 \text{ мм}$ бўлган кремний намунасида τ ни 10% дан катта бўлмаган хатолик билан ўлчаш учун τ нинг қиймати $1 \div 2 \text{ мкс}$ дан кичик бўлиши керак. Электрон саноати ривожланиши билан кейинги йилларда заряд ташувчилар параметларини kontaktсиз аниқлаш усуулларига талаб ортди. Шу боисдан бир қанча усууллар яратилди. Бу усууллар асосида намунага инжекцияланган заряд ташувчилар концентрациясининг сўниши билан боғлиқ ҳодисалар ётади. Масалан, ёруғлик импульси билан генерацияланган эркин заряд ташувчиларда ёруғлик ютилиш коэффициентининг сўнишига асосланган усуулни кўрсатиш мумкин.

в. Бир жинсли намуналарда заряд ташувчилар яшаш вақтини ўлчашнинг частотавий фаза усууллари

Бу усуллар билан τ ни аниқлашнинг асосида номувозанат заряд ташувчилар яшаш вақтини аниқ маълум бир чекли қийматга эга бўлиши билан боғлиқ концентрацияси, фотоутказувчаникнинг сўниш ва кўтарилиш жараёнлари инерционлиги ётади.

Намунада заряд ташувчилар интенсивлиги синусоиди бўйича (гармоник) модуляцияланган

$$I = I_{0v} (1 + \sin \omega t)$$

ёки комплекс функция кўриниш

$$I_v = I_{0v} + I_{0v} e^{j\omega t}$$

билин ифодаланувчи ёруғлик билан қўзғатилганда намуналинг фотоутказувчанилиги ва фототоки бироз кечикиш билан худди ёруғлик интенсивлигини ўзгариши каби содир бўлади. Яъни ёруғлик оқими билан фототок орасида фаза фарқи пайдо бўлади. Бу фаза силжиши заряд ташувчиларнинг ҳажмий яшаш вақтига ёруғлик модуляциясининг частотасига, сиртий рекомбинация тезлигига боғлиқ. Шундай қилиб, бу икки сигнал орасидаги фаза фарқини (силжишини) үлчаш билан τ ни аниқлаш имкони туғилади.

Ёруғликнинг модуляция частотаси ошиши билан фототокни частотага боғлиқлиги намоён бўла бошлайди. Фаза силжиши каби фототок амплитудаси τ , ω ларга боғлиқ. Фототок амплитудасининг ёруғлик модуляцияси частотасига боғланишидан τ ни топиш мумкин. Бу усуллар билан τ ни аниқлаш назариясини қараб чиқамиз. Масалан, соддалаштириш учун заряд ташувчилар намунада текис генерациялансан, электр майдон кучланганлиги кичик, намуна сиртларида сиртий рекомбинация бўлмасин деб фараз қилинганда, (4.9) узлуксизлик тенгламанинг дрейф, диффузия билан боғлиқ ҳадлари инобатга олинмайди. Бу ҳолда заряд ташувчилар генерация тезлиги $g_{0v} = \alpha \beta I_{0v} (1 - R_p)$ (4.58) ёки (4.59) га кура

$$g = \alpha \beta I_{0v} (1 + \sin \omega t) (1 - R_p) = g_{0v} + g_{0v} \sin \omega t \quad (4.60)$$

$$g = \alpha \beta I_{0v} (1 + e^{j\omega t}) (1 - R_p) = g_{0v} + g_{0v} e^{j\omega t} \quad (4.61)$$

ифода билан аниқланади. Шундай қилиб, (4.9) узлуксизлик тенгламаси (4.60) га кўра

$$\frac{d\Delta n}{dt} = g_0 + g_\omega \sin \omega t - \frac{\Delta n}{\tau_n} \quad (4.62)$$

бўлади. Генерация (ҳади) тезлиги икки ҳаддан иборат бўлгани учун (4.62) даги номувозанатий ортиқча заряд ташувчилар концентрациясини

$$\Delta n = \Delta n_{ct} + \Delta n(\omega t) \quad (4.63)$$

кўринишда ифодалаймиз. Бу ерда Δn_{ct} — генерациянинг доимий ташкил этувчиси (g_0) га мос келувчи концентрацияси, $\Delta n(\omega t)$ — генерация ҳадини ўзгарувчан ташкил этувчисига мос келган концентрация, яъни гармоник ташкил этувчиси Δn нинг ўзгарувчан ташкил этувчиси. $\Delta n(\omega t)$ нинг узлуксизлик тенгламаси (4.62) дан (4.63) га кўра

$$\frac{d\Delta n(\omega t)}{dt} = g_0 \sin \omega t - \frac{\Delta n(\omega t)}{\tau_n} \quad (4.64)$$

бўлади. Унинг хусусий ечими

$$\Delta n(\omega t) = g_0 + \frac{\tau}{1 + \omega^2 \tau^2} [\sin \omega t - \omega \tau \cos \omega t] \quad (4.65)$$

билинг ифодаланади,

$$\sin(\omega t - \theta) = \cos \theta [\sin \omega t + \tan \theta \cos \omega t]$$

бўлишшигини назарда тутсак, уни (4.65) билан солиширишдан

$$\begin{aligned} \tan \theta &= \omega \tau \\ \theta &= \arctan \omega \tau \end{aligned}$$

билинг аниқланишини кўрамиз ҳамда, яъни

$$\cos \theta = \frac{1}{\sqrt{1 + (\omega \tau)^2}}$$

бўлишшигини эътиборга олсак, (4.65)

$$\Delta n(\omega t) = g_0 \frac{\tau}{\sqrt{1 + \omega^2 \tau^2}} \sin(\omega t - \arctan \omega \tau) \quad (4.66)$$

күриниши олади. Бу ифоданинг таҳлилидан күринадики, номувозанат заряд ташувчилар ортиқча концентрациясининг ўзгарувчан (гармоник) ташкил этувчисининг ифодаси (4.66) ўзгарувчан генерация тезлиги $g_0(\omega t)$ каби бўлиб, лекин улар бир-биридан амплитудалари билан ва бир-бирига нисбатан силжиган фазаси билан фарқланади. Намунада сиртий рекомбинация мавжуд бўлганда фотоутказувчанлик билан уйғотувчи ёруғлик оқими орасида фаза фарқи кўп яримутказгич параметрларига боғлиқ мурраккаб функция бўлиб, S нинг ортиши θ нинг камайишига олиб келади.

Заряд ташувчилар яшаш вақтини ёруғлик интенсивлигининг модуляциялаш частотасига боғлиқлиги орқали аниқлаш усулини кўрамиз.

4.3.1. бўлимда фототок ΔI , фотоутказувчанлик (ΔG) га ΔG эса ўз навбатида ΔI га пропорционаллигини кўрган эдик. Интенсивлиги гармоник модуляцияланган ёруғлик билан ёритилган намунада пайдо бўлган фототокнинг ўзгарувчан ташкил этувчисининг амплитудаси $\Delta I_0(\omega t)$ (4.66) га кўра

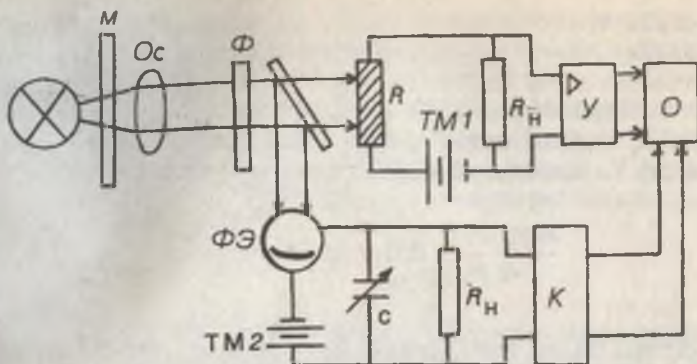
$$\Delta I_0(\omega t) \sim g_0 \frac{\tau}{\sqrt{1 + \omega^2 \tau^2}}$$

бўлади. Модуляция частотаси камайиб бориши билан фототок амплитудаси ортиб боради ва $\omega \tau \ll 1$ шарт бажарилганда максимумга эришади. Шундай қилиб, модуляция частотаси етарли катта бўлгандаги фототокни, $\omega \rightarrow 0$ даги фототокга нисбати

$$\frac{\Delta I(\omega t)}{\Delta I(0)} = \frac{\Delta n(\omega t)}{\Delta n(0)} = \frac{1}{\sqrt{1 + \omega^2 \tau^2}} \quad (4.67)$$

билин аниқланишини кўрамиз. $\omega \tau = 1$ да

$$\frac{\Delta I(\omega t)}{\Delta I(0)} = \frac{1}{\sqrt{2}} \approx 0,71 \quad (4.68)$$



4.4-расм. Заряд ташувчилар яшаш вақтини фаза силжишининг компенсация қилиш усули билан ўлчаш курилмасининг схемаси.
ФЭ — вакуумли (тезкор) фотозлемент; ТМ1, ТМ2 — ўзгармас ток манбалари; К — катод такрорлагич.

Демак, номувозанат заряд ташувчилар яшаш вақтини $\Delta I(\omega t)$ боғланишидан аниқлаш учун ёруғликнинг модуляция частотасини ошира бориб, унинг фототок амплирудалари нисбати 0,71 га тенг бўлган қиймати топилади ва у орқали яшаш вақти $\tau = \frac{1}{\omega} = \frac{1}{2\pi\nu}$ ифодадан ҳисобланади. Интенсивлиги синусоиди бўйича модуляцияланган ёруғлик билан τ ни ўлчаш курилмасининг чизмаси 4.4-расмда келтирилган. Бунда яримшаффоф кўзгу ёруғлик оқимини икки қисмга ажратади. Биринчи қисми намуна га тушади ва натижада ток манбаи $TM1$ га ва намуна га кетма-кет уланган юклама қаршилик R_H да кучланиш импульси ΔV_H ни пайдо қиласди. Кичик дараражали инжекцияда, заряд ташувчилар текис генерацияланганда ва сирт рекомбинацияси тезлиги жуда кичик, эътиборга олмайдиган бўлганда Δn ва унга пропорционал бўлган ΔN ҳам (4.64) узлуксизлик тенгламасидан топилади.

Ёпишиш марказлари йўқ бўлганда $\Delta N = \Delta P$ электрон-нейтраллик шарти ўринли бўлганда ΔN билан ΔG , ΔG билан ΔV_H орасидаги боғланишлар чизиқли бўлганда (ΔV_H)

$$\frac{d\Delta V_H}{dt} = B(1 + \sin \omega t) - \frac{\Delta V_H}{\tau} \quad (4.69)$$

тenglamадан топилади. B — константа (доимий катталик). Ёруғлик оқимининг иккинчи қисми токнинг түйиниши режимида ишлайдиган вакуумли фотоэлементга тушади ва ток манбанинг ТМ2 фотоэлемент, ўзгарувчан сифим C ва R_1 қаршилиқдан иборат занжиридан $I=I_0(1+\sin\omega t)$ ток оқа бошлайди. R_1 қаршилиқдаги кучланиш

$$\frac{d\Delta V_1(\omega t)}{dt} = B_1(1 + \sin \omega t) - \frac{\Delta V_1(\omega t)}{R_1 \cdot C}$$

тenglama билан аниқланади. Бу ерда B_1 — доимий катталик. ΔV_H ва ΔV_1 кучланишлар бир хил кучайтиргичлар орқали осциллограф назарасининг x ва y — пластиналарига берилади.

Бошланғич шартларнинг бир хиллигини ҳисобга олган ҳолда (4.69) ва (4.70) tenglamалардан кўринадики, $R_1 C=\tau$ бўлганда, $\Delta V_1(\omega t)$ ва $\Delta V_H(\omega t)$ ларнинг t билан боғланиши бир хил бўлади ва экранда оғма тўғри чизик кузатилади. $\tau \neq R_1 C$ да $\Delta V_H(\omega t)$ ва $\Delta V_1(\omega t)$ орасида фаза силжиши пайдо бўлади ва экранда эллипс кузатилади. У синусоида бўйича модуляцияланган ёруғлик билан ишлайдиган чизма τ ни 10^{-10} с гача ўлчаш имконини беради. Бундай модуляцияланган ёруғликни доира шаклидаги тешиклари бўлган дискни айлантириб ёки электрооптик модуляторлар ёрдамида олиш мумкин.

2. Эпитаксиал қатламларда τ ни аниқлашнинг фазавий усулилари

Бу усулининг асосида эпитаксиал қатламда олинган Шоттки (контакти) диодининг интенсивлиги гармоник модуляцияланган ёруғлик билан ёритганда пайдо бўлган фототок билан ёруғлик оқими орасидаги силжиш фазасини ўлчашётади. τ ни nn^+ — эпитаксиал структураларда ўлчашни кўрайлик (46-расм).

Шоттки контакти (диоди) эпитаксиал структуранинг солиштирма қаршилиги тагликка нисбатан катта бўлган қатлам (n) га, таглик (n^+) томонига эса Ом контакти олинган. Структура таглик томонидан ютилиш коэффициенти кичик бўлган, интенсивлиги бўйича модуляцияланган монохроматик ёруғлик билан ёритилади. Бу ҳолда заряд

ташувчиларнинг текис генерацияланиши содир бўлади. Ёруғлик билан генерацияланган ноасосий заряд ташувчилар (кавак) Шоттки контакти томон диффузияланади ва фототокни вужудга келтиради. Агар заряд ташувчилар диффузион узунлиги катта бўлса, ҳажмий заряд соҳаси кенглигини инобатта олмаса ҳам бўлади. У ҳолда Шоттки контакти учун қисқа туташув режимида чегаравий шартни

$$\Delta p_1(0)=0 \quad (4.71)$$

кўринишида ёзиш мумкин. Шоттки контактидан ташқарида эпитаксиал қатлам сиртий рекомбинацияси жуда катта деб фараз қилинса, (4.71) чегаравий шарт структуранинг бутун сирти бўйича ўринли бўлади ва масала бир ўлчамли бўлади. Эпитаксиал қатлам сиртида сиртий рекомбинация тезлиги чекли қиймат қабул қилса, нобиржинсли чегаравий шарт ҳисобга олиниши керак ва уч ўлчамли масалани ечиш керак бўлади. Таглик билан эпитаксиал қатлам чегарасида чегаравий шартлар

$$\Delta p_2(d)=\Delta p_1(d)e^{-\frac{q\Phi k}{kT}} \quad (4.72)$$

$$D_1 \left. \frac{d\Delta p_1}{dx} \right|_{x=d} = D_2 \left. \frac{d\Delta p_2}{dx} \right|_{x=d} \quad (4.73)$$

билин ифодаланади. (4.72) шарт эпитаксиал қатлам билан таглик чегарасида потенциал тўсиқ мавжудлигини, (4.73) эса диффузион оқимлар узлуксизлигини англалади.

Юқорида кўрганимиздек, ёруғлик интенсивлиги синусоида бўйича (гармоник) модуляцияланган, шунинг учун генерация тезлиги (4.61) гармоник ҳадининг $g(\omega t) = g_0 \exp(i\omega t)$ кўринишдаги ифодасидан фойдаланамиз. Номувозанат асосий бўлмаган заряд ташувчилар концентрацияси (4.63) гармоник ташкил этувчисини

$$\Delta p(x, \omega t) = \Delta p(x) e^{i\omega t} \quad (4.74)$$

кўринишида қидирсак, унинг амплитудаси $\Delta p(x)$ таглик ҳамда эпитаксиал қатлам учун бир хил бўлган узлуксизлик тентламаси

$$i\omega \Delta p(x) = D_p \frac{d^2 \Delta p(x)}{dx^2} - \frac{\Delta p(x)}{\tau_p} + g_0 \quad (4.75)$$

билин ифодаланади. Бу тенгламани таглик ва эпитаксиал қатлам учун (4.70)÷(4.72) чегаравий шартларни қаноатлантирувчи $\Delta p_1(x)$ ва $\Delta p_2(x)$ ечимлари топилади. Ҳисобларнинг кўрсатишича, улар асосида топилган қисқа туташув фототоки амплитудасининг ифодаси

$$\gamma_{KT} = -eD_1 \left. \frac{d\Delta p}{dx} \right|_{x=0} = -eg_0 L_1 \frac{sh\left(\frac{d}{z_1}\right) + \left(\xi sh \frac{d}{L_1} + \frac{L^2}{L_2}\right) - 1}{\xi ch \frac{d}{L_1} + sh \frac{d}{L_1}} \quad (4.76)$$

кўринишида бўлади. Бу ерда,

$$L_1 = \left(\frac{D_1 \tau_1}{1 + i\omega \tau_1} \right)^{\frac{1}{2}}; \quad L_2 = \left(\frac{D_2 \tau_2}{1 + i\omega \tau_2} \right)^{\frac{1}{2}}; \quad \xi = \frac{L_2 D_1}{L_1 D_2} e^{-\pi \tau / \kappa T} \quad (4.77)$$

Тагликдаги ва эпитаксиал қатламдаги асосий заряд ташувчилар концентрациялари нисбати $\frac{n_2}{n_1} > 10^3$ бўлганда $\exp\left(\frac{eV_K}{KT}\right) > 10^3$, $\xi \gg 1$ бўлади ва ток ифодаси соддалашади.

$$j_{KT} = -eg_0 \left[L_1 \operatorname{tg} \frac{d}{L_1} + L_2 \operatorname{sch} \frac{d}{L_1} \right] \quad (4.78)$$

Бу ифоданинг биринчи ҳади эпитаксиал қатламда генерацияланган заряд ташувчиларнинг иккинчи ҳади тагликдан эпитаксиал қатламга инжекцияланган заряд ташувчилардан йиғувчи контактга етиб келган қисмининг фототокга қўшган ҳиссасини кўрсатади. Шунинг учун

иккинчи ҳадини эътиборга олмаслик мумкин ва фототок амплитудасини

$$j_{KT} = -eg_0 \left(\frac{D_1 \tau_1}{1 + i\omega \tau_1} \right)^{\frac{1}{2}} \operatorname{th} \left[\frac{d}{\left(\frac{D_1 \tau_1}{1 + i\omega \tau_1} \right)^{\frac{1}{2}}} \right] \quad (4.79)$$

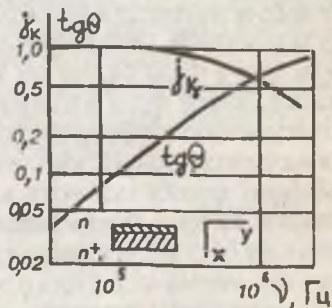
ифодадан ҳисоблаш мумкин. Паст частоталар $\omega \tau \ll 1$ да фототок фазасининг силжиши

$$\operatorname{tg}\theta = -\frac{\omega \tau_1}{2} \left[1 - \frac{2d}{(D_1 \tau_1)^{\frac{1}{2}}} \operatorname{csh} \frac{2d}{(D_1 \tau_1)^{\frac{1}{2}}} \right] \quad (4.80)$$

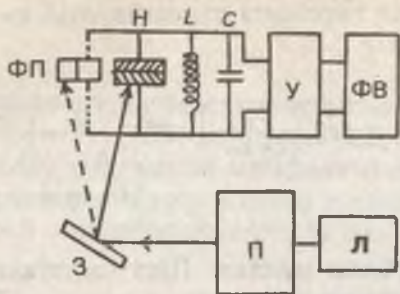
билин аниқланади. Агар $\frac{(D_1 \tau_1)^{\frac{1}{2}}}{d} = 2$ бўлганда (4.80) ни иккинчи ҳади бирга нисбатан анча кичик. Буни эътиборга олмагандан

$$\operatorname{tg}\theta = -\frac{\omega \tau_1}{2}$$

билин аниқланишини кўрамиз 4.5-расмда солиштирма қаршилиги 28 Ом. см, қалинлиги 50,2 мкм, заряд ташувчиларнинг диффузион узунлиги 18,5 мкм бўлган кремний эпитаксиал қатлами учун ҳисобланган $\operatorname{tg}\theta$ ва фототок амплитудасини ёруглик интенсивлигини модуляция частотасига боғланиш графиги келтирилган. Келтирилган назарий боғланиш тажриба натижалари билан мос тушган. Бу юқорида келтирилган назарий ҳисоблашларда қабул қилинган фаразлар ўринли эканлигидан да-



4.5-расм. Фаза силжиши $\operatorname{tg}\theta$ нинг ва фототок амплитудасининг модуляция частотасига боғланиши.



4.6-расм. Шоттки диодининг фототоки бўйича фазавий усул билан заряд ташувчилар яшаш вақтини ўлчаш қурилмасининг схемаси.

ФП — юқори частотали фотоқабулқилгич (тезкор фотодиод):

П — Поккельс модулятори; Н — намуна; У — кучайтиргич:

Л — лазер; ФВ — фаза сезгир вольтметр; З — ясси кўзгу.

лолат беради. Эпитаксиал структураларда τ ни аниқлаш қурилмасининг чизмаси 4.6-расмда келтирилган. Қурилмада электрооптик Поккельс ячейкаси (П) билан модуляцияланган лазер нури намунанинг таглик томонига туширилади. Ёруғлик оқими навбатма-навбат (галма-гал) кўзгу орқали намуна 0 га, юқори частотали фотоқабулқилгич (фп) га тушади. Фотоқабулқилгич фп — стандарт фазали таянч сигнални ҳосил қиласди. Намуна ва фотоқабулқилгич томонидан пайдо бўлган сигналлар фазага сезгир вольтметрга берилади. У билан намуна ва фотоқабулқигичдаги сигналлар амплитудалари нисбати ва улар орасидаги фаза силжиши ўлчанади. Шуни таъкидлаш керакки, лазер нури интенсивлигининг ўзгариши резонанс контурининг сифати модуляция частотасидаги ўлчаш натижаларига таъсир кўрсатмайди. Бу усулнинг ютуғига τ ни осон ҳисоблашликни ва ўлчаш натижасини сирт ишловига кучсиз боғланишини кўрсатиш мумкин, ўлчаш мумкин бўлган — τ нинг қуий чегараси структура сифими ва унга кўтма-кет бўлган қаршилиги билан аниқланадиган максимал модуляция частотасига боғлик.

д. Фотолюминесценция орқали τ ни ўлчаш

Фотолюминесценция орқали τ нинг фазавий ўлчаш усули яримутказгич намуналарида интенсивлиги модуля-

цияланган ёруғлик билан номувозанат заряд ташувчилар уйғотилганда уларнинг нурланиши рекомбинациясидан содир бўлган фотолюминесценция оқими билан уйғотувчи модуляцияланган ёруғлик орасидаги фаза силжишини ўлчашга асосланган. Яримутказгични $x=0$ текислиги интенсивлиги вақт бўйича, $I=I_1 + I_0 \exp(-\omega t)$ қонун билан ўзгарувчан энергияси $\hbar\omega > E_g$ бўлган, яъни интенсивликнинг гармоник ташкил этувчиси бўлган монохроматик ёруғлик билан ёритилсан. Бу ёруғлик оқимининг ютилишидан юзага келган заряд ташувчилар генерация тезлиги

$$g(x,t) = \frac{1-R}{\hbar\omega} [I_1 + I_0 e^{i\omega t}] \alpha \beta e^{-\alpha x} \quad (4.82)$$

билан ифодаланади. Агар ёруғликдан генерацияланган заряд ташувчилар тақсимоти диффузия, дрейф, рекомбинация жараёнлари туфайли пайдо бўлган бўлса, у ҳолда, узлуксизлик тенгламаси (4.10) каби бўлиб, олдин кўрганимиздек, у икки қисмга ажralади. Юқорида кўрсатилганидек, x ва модуляция частотаси ω га боғлиқ ортиқча номувозанат заряд ташувчилар концентрациясининг гармоник ташкил этувчининг узлуксизлик тенгламаси

$$i\omega \Delta n(x) = D_n \frac{d^2 \Delta n(x)}{dx^2} - \frac{\Delta n(x)}{\tau_n} + g_0 e^{-\alpha x} \quad (4.83)$$

кўринишда бўлади. (4.83) тенгламанинг (4.75) дан фарқи шундаки, унда заряд ташувчиларнинг нотекис генерацияланиши ҳисобга олинган. Қалин намуналар $d \gg L$ да ёритилмаган томонида номувозанат заряд ташувчилар концентрациясини эътиборга олмаслик мумкин. Шунинг учун (4.83) тенгламанинг ёритилган сиртида

$$D_n \frac{d \Delta n(x)}{dx} \Big|_{x=0} = S \Delta n(x) \Big|_{x=0}$$

ёритилмаган сиртида

$$D_n \frac{d \Delta n(x)}{dx} \Big|_{x=d} = 0$$

$$\Delta n(x) = \frac{g_0 \tau_n}{\alpha^2 L_n^2 - 1 - i\omega\tau} \left[-\exp(-ax) + \frac{S + \alpha D_n}{S + \frac{D_n}{L_n} (1 + i\omega\tau_n)^{1/2}} \right] \times \\ \times \exp\left[-\frac{x}{L_n} (1 + i\omega\tau_n)^{1/2}\right] \quad (4.84)$$

күринишда бўлади. Агар намунадан нурланаётган фотонларни қайта ютилиш коэффициенти (α_0 — люминесценция коэффициенти) кичик бўлса, яъни $\alpha_0 L_n \ll 1$ бўлса, у ҳолда нурланаётган фотонлар оқими

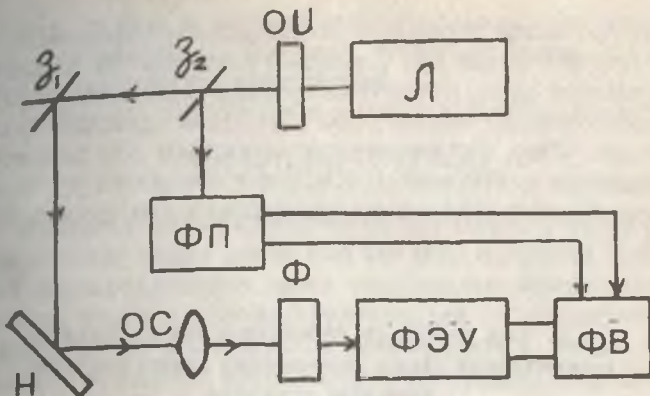
$$I_{OT} = \eta \int_0^\infty \frac{\Delta n(x)}{\tau_r} dx \quad (4.85)$$

билин аниқланади. Бу ерда η — фотолюминесценциянинг ташқи квант чизигининг ички квант чиқишига нисбати, τ_r — нурланишнинг яшаш вақти. Паст даражали уйғотишида $\tau_r = \text{const}$ бўлади. Уйғотувчи ёруғликнинг кучли ютилиш соҳасида, яъни $aL_n \gg (1 + i\omega\tau_n)^{1/2}$ бўлганда сиртий рекомбинация тезлиги кичик $\frac{SL_n}{D_n} \ll 1$ бўлганда, ҳисоблашларнинг кўрсатишича, люминесценция оқимининг ифодаси

$$I_{OT} = \eta \frac{g_0 \tau_n}{\alpha \tau_r} \cdot \frac{aL_n}{1 + i\omega\tau_n} = \eta \frac{g_0 \tau_n L_n}{\tau_r} \cdot \frac{1}{(1 + \omega^2 \tau_n^2)} \quad (4.86)$$

кўринишда бўлади. Унинг фаза силжиши тангенси эса $\operatorname{tg} \theta = -\omega\tau_n$, яшаш вақти $\tau_n = -\frac{\operatorname{tg} \theta}{\omega}$ бўлади. Сиртий рекомбинация катта $\frac{SL_n}{D_n} \gg 1$ бўлганда

$$I_{OT} = \eta \frac{g_0 \tau_n}{\tau_r} \frac{L_n}{(1 + i\omega\tau_n)}; \quad \operatorname{tg} \theta = -\frac{\omega\tau_n}{2}; \quad \tau_n = -\frac{2}{\omega} \operatorname{tg} \theta \quad (4.87)$$



4.7-расм. Фотолюминесценция бүйича фазавий усул билан заряд ташувчилар яшаш вақтини аниқлаш курилмаси. ОИ — ёруғлик интенсивлиги ўзгартыргичи; Z_1 — ясси күзгү; ФЭУ — фотоэлектрон күпайтиргич; Z_2 — яримшаффоф ясси күзгү.

бўлади. Бурчакларнинг кичик қийматида $\operatorname{tg} \theta \approx \theta$ сиртий рекомбинациясининг иккита чегаравий қийматида, яъни $S=0$ ва $S \rightarrow \infty$ бўлган ҳоллардаги заряд ташувчилар яшаш вақтлари бир-биридан икки мартадан ортиқ фарқ қилмайдилар.

Заряд ташувчилар яшаш вақтини ўлчаш қурилмаси нинг чизмаси 4.7-расмда келтирилган. Намуна θ асилиги бўйича модуляцияланган лазер нури билан уйғотилади. Намунага тушаётган ёруғлик интенсивлиги сусайтиргич ОИ орқали бошқарилади. Намунанинг нурланиши оптик фильтр (сузгич)лар тўплами Φ га йўналтирилади. Улар орқали фотолюминесценция нурланиши ўtkазилади ва фотоэлектрон кучайтиргич ФЭУ га фокусланади. Фотоэлектрон кучайтиргичдан кучланиш фазасезгир вольтметр ФВ ни 1-киришига берилади. ФВ нинг иккичи киришига фотобулқилгич Фдан таянч кучланиши сигнални берилади. Яримшаффоф күзгү Z_2 орқали ёруғлик оқимининг бир қисми ФП га йўналтирилади. Кўзгү Z_1 ёруғлик йўналишини ўзгартиришга ишлатилган. Фаза сезгир вольтметр бу кучанишлар орасидаги фаза фарқини ўлчайди. Уйғотувчи лазер нурланиши билан фотодиддаги таянч кучланиш орасидаги фаза фарқи намунадан

сочилган лазер нурини, рекомбинацион нурланиши билан бир хил оптик йўл ўтишидан ўлчанади. Бу ўлчаш на тижаларига кўра, қўзғатувчи ёруғлик оқими билан фотoluminesценция оқими орасидаги фаза силжиши ҳисобланади. Фаза силжишининг аниқлиги 5% тартибида бўлишлиги келтирилган. Юқорида ёритилган бу номувозанат арсенид галий эпитаксиал қатламларга ҳам қўллаш мумкин.

4.4 §. Ток импульси инжекциясига асосланган номувозанат заряд ташувчилар яшаш вақтни аниқлаш усуллари

а. τ ни нуқтавий контактда ўтказувчаникнинг модуляцияси буйча ўлчаш усуллари

Яrimутказгич материалларини, асбобларини ишлаб чиқариш жараёнида монокристалл қўйма (слиток) ўзак (стержень) намуналарида заряд ташувчилар яшаш вақти τ ни ўлчашга тўғри келади. Бундай намуналардан τ ни ўлчаш учун унинг қўндаланг кесимининг сиртига инжекцияловчи металл контакт (зонд) жойлаштирилади. У номувозанат асосий бўлмаган заряд ташувчилар учун эммитер вазифасини бажаради. Намунага бундан ташқари, юзаси катта, қаршилиги кичик омик контакт олинади. Нуқтавий контакт орқали юборилган иккilanган импульсли генератордан ток режимида тўғри йўналишда амплитудаси I_0 , давомийлиги t_1 бўлган тўғри бурчакли ток импульси намунада номувозанат заряд ташувчиларни инжекциялади ва контакт атрофидаги қаршилики камайтиради.

Инжекцияловчи ток импульси тугагандан бироз вақт ўтгач (кечикиш вақти t_1 бўлган), амплитудаси, давомийлиги биринчи импульсники билан бир хил бўлган иккичи тўғри бурчакли импульс узатилади. Агар икки импульс орасидаги вақт t_2 , яъни иккичи импульснинг кечикиш вақти t_2 заряд ташувчилар яшаш вақти τ дан кичик ёки унинг тартибида $t_2 < \tau$ бўлса, иккичи импульснинг контактга келиш пайтида номувозанат заряд ташувчилар рекомбинацияланиб улгурмайди ва намуна контакт соҳаси қаршилиги биринчи импульс келгунча бўлган қийматидан кичик бўлади. Шунинг учун иккичи импульс бош-

ланган пайтда вужудга келган кучланиш импульсининг амплитудаси $I_2(t_3)$ биринчи кучланиш импульс амплитудаси $I_1(\infty)$ дан кичик бўлади.

Кучланиш импульслари амплитудаларининг айрмаси

$$\Delta U(t_3) = U_1(\infty) - U_2(t_3) = f(t_3, t) \quad (4.88)$$

Иккинчи импульснинг кечикиш вақти t_3 га ва заряд ташувчилар яшаш вақти τ га боғлиқ. Нуқтавий контактдан инжекцияланган заряд ташувчилар намуна сиртига томон, ичига томон диффузияланади ва рекомбинацияланади ҳамда ток импульси давомийлиги t_n ичига электр майдон таъсирида дрейфланади. Натижада, улар қандайдир r_1 масофагача тарқалади. У соҳанинг катталиги ток импульсининг давомийлигига ва ток кучига боғлиқ. $\Delta U(t_3) = f(t_3, \tau)$ нинг назарий боғланишини ҳисоблаш учун металл зонд (контакт)нинг яримутказгич намунаси билан контактланишнинг сирти радиуси r_0 бўлган яримшардан иборат деб фараз қиласиз.

Биринчи ток импульси бошланиш пайтида контакт атрофида номувозанат заряд ташувчилар бўлмайди. Ўтказувчанликнинг мувозанат заряд ташувчилар концентрацияси аниқлайди. Шунинг учун биринчи кучланиш импульсининг амплитудаси

$$U_1(\infty) = \int_0^{\infty} \frac{I_0 \rho_0}{2\pi r^2} dr = \int_{r_0}^{\infty} \frac{I_0}{2\pi r^2 \sigma_0} dr = \frac{I_0}{2\pi r_0 \sigma_0} \quad (4.89)$$

билан ифодаланади. Бу ерда: σ_0 — мувозанатий солиштирма ўтказувчанлик. Инжекция бошланиши билан контакт қаршилиги камая боради. Инжекцияловчи ток импульсининг амплитудаси I_0 ва мос равишда электр майдон кучланганлиги шундай каттаки, импульс давомийлиги t_n ичига заряд ташувчиларнинг биқутбий диффузияси эътиборга олинмайди. У ҳолда кичик даражали инжекция Δn , $\Delta p \ll n_0 + p_0$ да t_n вақт ичига заряд ташувчилар радиуслари r_0 дан r_1 гача бўлган (шар) сферик қатламни тўлдирадилар. (4.88) да келтирилган $U_1(\infty)$ инжекцияловчи биринчи ток импульсининг олди фронтига мос келган кучланиш импульсининг (максимал) қийматини, $U_2(t)$ — ток импульсининг контактга келиш пайтидаги кучланиш

тушувини англатади. Шундай қилиб, бир хил параметрли иккиланган импульслардан вужудга келган $U_1(\infty)$ ва $U_2(t_s)$ кучланишларнинг фарқини, иккинчи импульс бошланиш пайтида биринчи ток импульсидан ҳосил бўлган номувозанат заряд ташувчилар билан намуна ўтказувчалигини модуляцияланган ҳолатда бўлишилиги билан тушунирилади. Номувозанат заряд ташувчилар тақсимоти сферик симметрия бўйича бўлгандада (4.88)

$$\Delta U(t_s) = \frac{I_0}{2\pi} \int_{r_0}^{\infty} \left[\frac{1}{\sigma_0} - \frac{1}{\sigma} \right] \frac{dr}{r^2} \quad (4.90)$$

билин ифодаланади. Бу ерда, $\sigma = \sigma_0 + \Delta\sigma$ номувозанат солиштирма ўтказувчаник. Кичик даражали инжекцияда Δn , $\Delta p \ll n_0 + p_0$ да $\Delta\sigma \ll \sigma_0$ бўлади. Бу ҳолда (4.90)

$$\Delta U(t_s) = \frac{I_0}{2\pi\sigma_0} \int_{r_0}^{\infty} \frac{(b+1)\Delta p(r, t)}{n_0 + b \cdot p_0} \frac{dr}{r^2} \quad (4.91)$$

кўринишга келади. Маълумки сиртий рекомбинация номувозанат заряд ташувчиларнинг сиртига йўналган диффузия оқимини вужудга келтиради ва нуқтавий контактдан инжекцияланган заряд ташувчиларнинг сферик симметрия бўйича тақсимотининг бузилишига олиб келади.

Заряд ташувчиларнинг намуна ичига йўналган дрейф оқими сиртга йўналган диффузион оқимидан катта, яъни сиртий рекомбинация тезлиги кичик, намунада электр майдон кучланганлиги катта бўлганда уларнинг фазовий сферик симметрия бўйича тақсимоти сақланади. Бу шарт намуна сирти учун

$$\mu_p \bar{E} \gg S \text{ ёки } \frac{I_0 \mu_p}{2\pi r_0^2 \sigma_0} \gg S \quad (4.92)$$

кўринишда бўлади. (4.91) даги $\Delta p(r, t)$ нинг назарий ифодаси заряд ташувчиларнинг биринчи ток импульси давомийлиги t_s ичидаги ва иккинчи импульс кечикиш вақти t_s ичидаги тақсимотларини аниqlаш орқали ҳисобланади. Биринчи ток импульси давомийлиги ичida инжекция-

ланган заряд ташувчиларнинг вақт бўйича ўзгаришини (4.92) шарт бажарилганда дрейф, рекомбинация жараёнлари аниқлайди. Шунинг учун сферик симметрия бўйича тақсимланган номувозанат заряд ташувчиларнинг t_u вақт ичida ўзгариши

$$\frac{\partial \Delta p}{\partial t} = -\mu_p E \frac{\partial \Delta p}{\partial x} - \frac{\Delta p}{\tau_p} \quad (4.93)$$

узлуксизлик тенгламадан аниқланади. (4.93) тенгламанинг бошланғич

$$\Delta p(r, t) /_{t=0} = 0 \quad (4.94)$$

чегаравий

$$\Delta p(r, t) /_{r=r_0} = \Delta p(r_0) \quad (4.95)$$

шартларни қаноатлантирувчи ечими

$$\Delta p(r, t_u) = \Delta p(r_0) \exp \left[-\frac{2\pi\sigma(r_1^3 - r_0^3)}{3\mu_p I_0 \tau_p} \right] \quad (4.96)$$

бўлади. Ток импульсидан инжекцияланган заряд ташувчиларнинг намунага кириб бориш масофаси r_1 билан импульс давомийлиги t_u орасидаги боғланиш

$$\frac{dr}{dt} = \mu_p E = \frac{\mu_p I_0}{2\pi r^2 \sigma} \quad (4.97)$$

тенгламадан топилади. Бу тенгламани интеграллаб,

$$t_u = \frac{2\pi(r_1^3 - r_0^3)}{3\mu_p I_0 \sigma} \quad (4.98)$$

еки

$$r_1 = \left[\frac{3\mu_p I_0 \sigma}{2\pi} t_u + r_0^3 \right]^{\frac{1}{3}} \quad (4.99)$$

булишлигини құрамиз. Шундай қилиб, r_1 — номувозанат ошиқча заряд ташувчилар түпланиш соҳасининг чегарасини англатади. Демак, (4.96) ифода r ни

$$r_0 < r < \left[\frac{3I_0 \sigma \mu_p}{2\pi} t_u + r_0^3 \right]^{\frac{1}{3}} \quad (4.100)$$

соҳасидаги заряд ташувчиларнинг тақсимотини аниқлар экан.

Биринчи ток импульсининг тугашидан иккинчи ток импульси бошлангунча бұлған вақт оралығыда, яғни ке-чикиш вақти t_3 ичіда номувозанат заряд ташувчиларнинг вақт бүйіча ўзгаришини, уларнинг диффузия, рекомбинация жараёнлари аниқлайды. Шунинг учун t_3 ичіда ассо-сий бўлмаган заряд ташувчилар тақсимот функцияси

$$\frac{\partial \Delta p}{\partial t} = -\frac{\Delta p}{\tau_p} + D_p \operatorname{divgrad} \Delta p \quad (4.101)$$

узлуксизлик тенгламаси орқали топилади. Намуна сирт рекомбинацияси тезлиги кичик, зонд контакт соҳасида $S \rightarrow \infty$ бўлади, деб фараз қылсак, (4.101) даги Δp фақат бир координата r билан вақт функцияси бўлади. Заряд ташувчиларнинг сферик симметрия бүйіча тақсимоти сақланади. Шунинг учун

$$\Delta p(r, t) = \Delta p_0(r, t) e^{-\frac{t}{\tau_p}} \quad (4.102)$$

кўринишда қидирамиз. (4.101) тенгламанинг

$$\Delta p(r, t) /_{r=r_0} = 0 \quad (4.103)$$

чегаравий шартни ва (4.96) билан аниқланган

$$\Delta p(r, t) /_{t=0} = \Delta p(r_0, t_u) \quad (4.104)$$

бошланғич шартни қаноатлантурвчи ечими топилади, сунг (4.91) интеграл ҳисобланади. Назарий ҳисоблашлар таҳлили шуни кўрсатадики,

$$r_0 \ll \sqrt{Dt}, \quad (4.105)$$

ҳамда инжекцияланган заряд ташувчилар кириб борган масофа r_1 кичик

$$\left[\frac{3\mu_p I_0 \sigma}{2\pi} t_u + r_0^3 \right]^{\frac{1}{2}} \ll 2\sqrt{Dt}, \quad (4.106)$$

бўлганда (4.91) интеграл

$$\Delta I(t_s) = \text{const} \left(\frac{t_s}{\tau_p} \right)^{-\frac{3}{2}} \exp \left(-\frac{t_s}{\tau_p} \right) \quad (4.107)$$

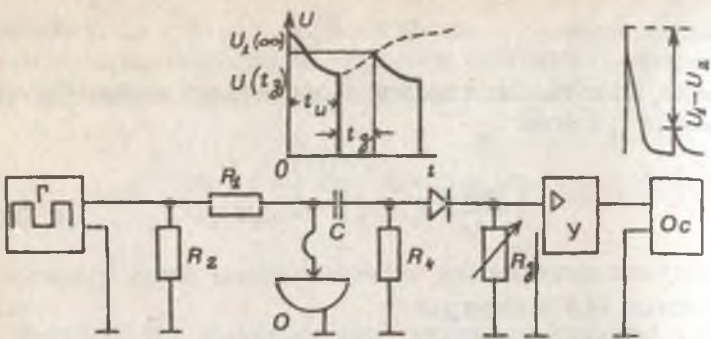
билин ифодаланади. Акс ҳолда ошиқча номувозанат заряд ташувчиларнинг намунага кириб бориш масофаси жуда катта бўлса, $\Delta I(t_s)$ боғланиш экспонента қонуни

$$\Delta I(t_s) = \text{const} t \cdot e^{-\frac{t_s}{\tau_p}} \quad (4.108)$$

бўйича бўлади. Амалиётда

$$\frac{2\pi\sigma_0}{3\mu_p I_0 \tau_p} (4Dt_s)^{\frac{3}{2}} \ll \frac{\sqrt{\pi}}{2} \quad (4.109)$$

тengsизлик бажарилганда $\Delta I(t_s)$ нинг ўзгариши (4.109) каби қонуният бўйича содир бўлади. Одатда, бу шартни катта ток кучида ва кечикиш вақти τ дан $3\tau_p$ гача бўлган оралиқда бўлган ҳолда амалга ошириш мумкин. Нуқтавий контактда ўтказувчанликнинг модуляция усули билан τ ни ўлчаш қурилмасининг чизмаси 4.8-расмда келтирилган. Иккиланган импульсли генератор Γ дан инжекцияловчи нуқтавий контактта R_1 қаршилик орқали параметрлари бир хил бўлган иккита ток импульси юборилади. Қаршилиги катта бўлган R_1 қаршилик билан генераторнинг кучланиш импульсини контактдан оқаётган ток импульсига айлантиради. Нуқтавий контактда ҳосил бўлган кучланиш импульси диодли V_D чеклагич орқали



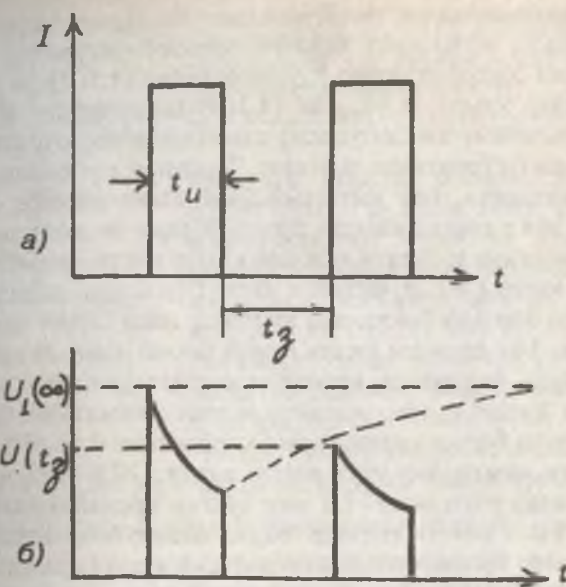
4.8-расм. Нұқтавий контакт үтказувчанлигини модуляция қилиш усули билан заряд ташувчилар яшаш вақтінің үлчаш қурылmasининг схемасы. Г — тұғри бурчаклы импульс генератори O_c — осциллограф.

кучайтиргич U билан кучайтирилади ва осциллограф O киришига берилади. Иккапорталық импульсі генераторыннан синхронловчы импульси осциллограф синхронловчы каналига берилади.

Бу импульс биринчи кучланиш импульсининг келиш пайтида осциллограф ёйилмаси (разверткасы) ни ишга солади ва осцилограммани турғун ушлаб туради. Иккінчи ток импульсининг кечикиш вақтінің $\tau < t < 3\tau$ оралықда үзгатыриб (4.9-расм), унинг ҳар бир қийматига мөс келган контакттады кучланиш амплитудаларининг қиймати осцилограммадан қайд қилиниб, $\Delta U(t_3) = U_1(\infty) - U_2(t_3) = f(t_3)$ ҳисобланади ва $\ln[U_1(\infty) - U_2(t_3)] = f(t_3)$ тұғри чизиқли бағланишнинг оғиш бурчаги тангенсідан

$$\tau_p = \operatorname{tg} \theta = \frac{\Delta t_3}{\Delta \ln [U_1(\infty) - U_2(t_3)]}$$

заряд ташувчилар яшаш вақти топилади. Номувозанат заряд ташувчиларнинг нұқтавий контактта яхши инжекцияланиши учун $\frac{\Delta U_1}{U_1} \approx 0.1$ тартибда булиши керак. U_1 — биринчи кучланиш амплитудасы, ΔU_1 импульснинг модуляцияланған қисми. Буни амалға оширишда p — типдеги



4.9-расм. Намунада ток (а) ва кучланиш импульси (б).

кремний намуналарида фосфорли бронза зонди, n — типдаги намуналарида эса алюминий зонди құлланилади.

Яхши инжекцияловчи нүкстөвий контактни олиш учун одатда контактта ишлов берилади. Бунинг учун контактта кучланиши 300—400 В бүлган ўзгармас ток манбай қисқа мүддатта уланади, бошқача айттанда, сифими катта зарядланган конденсатор контакт орқали разрядланади (зарядсизланади). Одатда, монокристалл қуйма намуналарда τ ни ўлчаңда уни ён томонига юзаси 1 см^2 дан кам бүлмаган палладий, никель пардаларини ўтказиш ёки индий-галлий, алюминий-галлий пасталарини суркаш билан Ом контакти олинади.

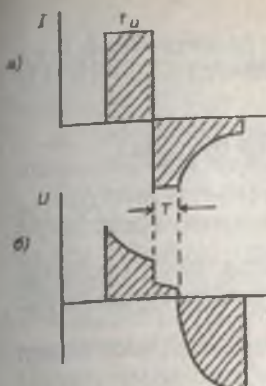
Шайба шаклдаги намуналарда τ ни ўлчаңда 4-жадвалда келтирилған заряд ташувчиларнинг сиртий яшаш вактини эътиборга олиш керак. Қалин шайбаларда бу усул билан ўлчанған τ ҳам намуна сиртий рекомбинация тезлигига күчсиз боғланған. Одатда, импульсларнинг такрорланиш частотаси $50 \div 200$ Гц тартибида олинади. Чун-

ки иккита кетма-кет келаётган импульслар орасидаги вақтда намуна мувозанат ҳолатга эришиб ултуриши керак. Назарий ҳисобларнинг кўрсатишича, (4.107) ва (4.108) ифодалар ҳамда (4.105) ва (4.109) шартлардан τ га ток импульсининг амплитудаси, давомийлиги, кечикиш вақти таъсири кўрсатиши мумкин. Тажриба натижаларининг тасдиқлашича, ток импульсининг давомийлиги ошиши билан эса τ нинг қиймати ортиб боради ва импульс давомийлигининг қиймати ҳажмий яшаш вақти тартибида ёки ундан катта $t_u \geq 1,5\tau$ бўлса, τ нинг t_u га боғланиши тўхтайди. Ана шундай боғланиш импульс токи билан ҳам кузатилади. Ток ортиши билан τ орта бориб доимий қийматга интилади. Акс ҳолда, кечикиш вақтининг кичик қийматларида ўлчаш τ нинг пасайтирилган қийматини беради.

Бу усул билан солиштирма қаршилиги $0,5 \div 500$ Ом. см p — тип намуналар учун яшаш вақти $\tau > 2,8$ мкс, n — тип намуналар учун эса $\tau > 7,7$ мкс бўлган кремний намуналирида ўлчаш тавсия этилади. Заряд ташувчилар яшаш вақти $\tau < 100$ мкс бўлса, сайқалловчи куқун билан сайқалланган намуналарда τ ни ўлчаш мумкин. Одатда τ ни ўлчаш оралиқ даражали инжекция $\Delta p \sim p_0$ да ўтказилади. Бунда ёпишиш марказлари заряд ташувчилар билан тўлдирилади ва таъсири йўқотилади. Тажриба ўтказишда юқорида қайд қилинган шартлар бажарилганда τ ни ўлчаш хатоси $+20\%$ дан ошмайди. Бу усулнинг бошқа усулларга нисбатан афзалликларига коллектор kontaktини олиш талаб этил маслигини, сирт ҳолатига кам сезгирлигини, τ ни температурага боғлиқлигининг енгил ўлчанишини, усулни солиштирма қаршилиги $0,1:100$ Ом. см тартибида бўлган яримўтказгичларда, масалан, кремний, германий, галлий арсенидга кўллаш мумкинлигини кўрсатиш лозим.

б. Р-п ўтиш орқали τ ни заряд ташувчилар инжекцияси га асосланган ўлчаш усули

Бу усулни $p-p$ ўтишнинг ўтиш (переходной) тавсифидаги тескари токининг тикланиш вақтини ўлчашга асосланган. Унинг моҳияти шундан иборатки, $p-p$ ўтишга тўғри йўналишда ток юборилади ва бир оз вақтдан сўнг ток қутби кескин ўзгартирилади (тескари йўналишдаги ток импульси уланади). $P-p$ ўтишдан олинган кучланиш ва ток осциллограммалари 4.106, в-расмда келтирилган кўри-



4.10-расм. Үткинчи жараёнларнинг $p-n$ ўтишдаги ток (а), кучланиш (б) осциллографтамасы. t_u — импульс давомийлигі; t_s — импульс кечикиш вақты.

нишдаги шаклда бўлади. Бунда содир бўлган $p-n$ ўтишдаги физик жараёнларни қисқача таҳлил қилийлик. Тўғри йўналишдаги ток импульси берилган пайтда диод ичидаги (қатламида) асосий бўлмаган номувозанат заряд ташувчилар инжекцияланади. Бир оз вақтдан сўнг диодда стационар ҳолат ўрнатилади. Кичик даражали инжекция

$\Delta n, \Delta p \ll n_0 + p_0$ да узун диодларда заряд ташувчиларнинг тақсимоти $\Delta p(x) = \Delta p(0) / x$ билан аниқланади. Токнинг кутбини ўзгартиргандан сўнг инжекцияланган заряд ташувчилар концентрацияси уларнинг рекомбинацияси ва $p-n$ ўтиш орқали тортиб (сўрилиб) олиниши туфайли камаяди. $p-n$ ўтиш соҳасининг яқинида заряд ташувчилар концентрацияси мувозанатий заряд ташувчилар концентрациясидан катта бўлгани учун $p-n$ ўтиш очиқ ҳолатда бўлиб, кучланиш мусбат, ток диодга уланган қаршилик билан чекланган бўлади. Вақт ўта бошлиши билан $p-n$ ўтиш ёпила бошлайди, бу жараён тескари токнинг тўйиниш токига тенг бўлгунча давом этади. Номувозанат заряд ташувчиларнинг яшаш вақти қанча катта бўлса, уларнинг йўқолиши шунча кўп вақт давом этади. Назарий ҳисоблашларнинг, тажриба натижаларининг кўрсатишича, диоддаги тўғри йўналишдаги токнинг тескари йўналишдаги токка уланишдан ҳосил бўлган кучланиш, ток зинапоялари давомийлиги T заряд ташувчилар яшаш вақти τ , тўғри ток I_{np} ва тескари ток I_{obp} билан қўйидаги муносабат билан боғланган:

$$\operatorname{erf} \sqrt{\frac{T}{\tau}} = \frac{I_{np}}{I_{np} + I_{obp}} \quad (4.110)$$

Бу ерда:

$$erf \sqrt{\frac{T}{\tau}} = \frac{2}{\pi} \int_0^{\sqrt{\frac{T}{\tau}}} \exp(-\xi^2) d\xi \quad (4.111)$$

Тұғри ток тескари токка тең $I_{\text{пр}}=I_{\text{обр}}$ бүлгандан,

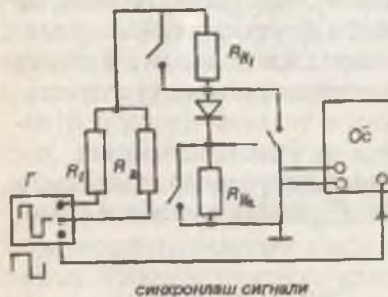
$$T=0,23\tau \quad (4.112)$$

бүлади. Бу усулни нисбатан катта бүлган заряд ташувчилар яшаң вақты τ ни аниқлашга ҳам татбиқ қилиш мүмкін. Ҳисоблаш формуласи (4.110) ни $\frac{I_{\text{пр}}}{I_{\text{обр}}} \leq 2$ тенгсизлик бажарылған ҳолда фойдаланиш мүмкін.

Бу усул билан τ ўтчаш курилмасининг чизмаси 4.11-расмда келтирилған. Бири иккінчисининг кетидан кетувчи мусбат, манфий күтблик ток импульсими олиш имконини берадиган иккіланған импульсели (масалан, Г-5-7А, ГИС-2 типидаги) генератор құлланилади. Генератордан мусбат ва манфий күтбли бүлган иккіланған ток импульси $p-p$ ўтишга берилгандан осциллограф 0 билан күчланиш, ёки ток осциллограммаси қайд қилинади.

Осциллограф генераторнинг синхронловчи импульси билан кутиш ёйилмаси режимінде ишлайды, бу билан осциллограммани осциллограф экраныда турған бүлләмиз.

Усулни бошқа бир вариантида кичик заряд ташувчилар яшаң вақтими ўтчаш учун $p-p$ ўтишга тескари йұналишда доимий күчланиш қүйилған бүлади, қандайдир вақтда (furcasatda) генератордан орқа фронтитик бүлган қисқа импульс берилади. Бу усул билан бир неча наносекунддан то 10^{-4} с гача бүлган заряд ташувчилар яшаң вақтими ўтчаш мүмкін.



4.11-расм. $p-p$ ўтишда инжекция-экстракция усули билан τ -ни аниқлаш курилмасининг схемаси.

4.5 §. Номувозанат заряд ташувчилар параметрларини ўлчашнинг стационар усуллари

a. Стационар фотоўтказувчанликдан заряд ташувчилар яшаш вақтини аниқлаш усуллари

Ёруғлик таъсирида яримўтказгичларда номувозанат заряд ташувчиларни генерацияланиши, яъни фотонинжекцияси туфайли, уларнинг қаршилигини ёки ўтказувчанлигининг ўзгаришини (фотоқаршилик) фотоўтказувчанлик эффицити (ҳодисаси) деб аталади. Зоналараро электрон ўтишлари билан боғлиқ фотоўтказувчанликнинг узун тўлқин чегараси, хусусий ютилиш чегарасига мос келиб, кўп яримўтказгичларда, масалан, кремний, германий, А₃В, туркумидаги яримўтказгичлар учун ёруғлик спектрининг кўзга кўринадиган ва инфрақизил соҳасида ётади.

Узунлиги a , эни b , қалинлиги d бўлган намунани $z=0$ сирти фотон энергияси $\hbar\omega \geq E$, бўлган ёруғлик оқими билан ёритилган бўлсин (4.1-расм). Намунада номувозанатий заряд ташувчиларнинг нотекис генерацияланиши содир бўлади ва генерация тезлиги $g = abI_{\omega}(i-R)/\hbar$, билан аниқланади. Намунада $a > b \gg d$ бўлсин деб қарасак, унинг эркин ён сиртларида рекомбинацияни ҳисобга олмаслик мумкин ва намунани Ом контактларидан ($2 \div 3$) Z ма-софада бўлган қисми ёритилганда масала бир ўлчами бўлади ва унинг z — ўқига тик йўналишдаги фотоўтказувчанлик (4.26) га кўра ёпишиш марказлари бўлмагандан, электр нейтраллик шарти $\Delta N = \Delta P$ бажарилган ҳолда

$$\Delta G = \frac{eb}{a} (\mu_p + \mu_n) \Delta P \quad (4.113)$$

кўринишни олади. Бу ерда,

$$\Delta P = \int_0^d \Delta p(z) dz \quad (4.114)$$

Номувозанат заряд ташувчиларнинг ўртача концентрациясини

$$\Delta p_{cp} = \frac{1}{d} \int_0^d \Delta p(z) dz = \frac{\Delta P}{d} \quad (4.115)$$

билин белгиласак, у ҳолда (4.113)

$$\Delta G = \frac{ebd}{a} (\mu_n + \mu_p) \Delta p_{cp} \quad (4.116)$$

билин ифодаланади. Ўзгармас ток манбаига уланган на-
мунадан ўзгармас ток (ток генератори) режимида ток ўтка-
зилганда, фотоинжекцияланган заряд ташувчилардан со-
дир бўлган намунадаги кучланиш тушувининг ўзгариши

$$\Delta V = \Delta R \cdot I = R_0^2 I \Delta G = \frac{\rho^2 ea}{bd} (\mu_n + \mu_p) \Delta p_{cp} \quad (4.117)$$

кўринища бўлади. (4.114) даги $\Delta p(z)$ ни ёруғлик генера-
цияси, заряд ташувчиларнинг ҳажмий, сиртий рекомби-
нациялари ва диффузияси жараёнлари аниқлайди. Шу-
нинг учун $\Delta p(x)$ куйидаги бир ўлчамли стационар узлук-
сизлик қутидаги тенгламанинг ечимидан топилади.

$$\frac{d^2 \Delta p}{dz^2} - \frac{\Delta p}{D_p \tau_p} + \frac{\alpha \beta I_\infty (1 - R_v)}{D_p} e^{-\alpha z} = 0 \quad (4.118)$$

Унинг умумий ечими

$$\Delta p(z) = A \exp\left(\frac{z}{L_p}\right) + B \exp\left(-\frac{z}{L_p}\right) + \frac{I_0 \tau_p e^{-\alpha z}}{1 - \alpha^2 L_p^2} \quad (4.119)$$

кўринища бўлади. Интеграллаш доимийлари A ва B

$$D_p \frac{d\Delta p(z)}{dz} \Big|_{z=0} = S \Delta p(0); \quad D_p \frac{d\Delta p(z)}{dz} \Big|_{z=d} = -S \Delta p(d) \quad (4.120)$$

чегаравий шартлардан топилади. Топилган A ва B ларни (4.119) га қўйиб, (4.115) дан Δp_{cp} хисобланади. Умуман олганда Δp_{cp} ни ифодаси катта, тажриба натижаларини таҳлил қилишга мураккаблик қиласди. Лекин унинг асо-
сида кўп хусусий ҳолларни таҳлил қилиш мумкин ва ама-
лиётда татбиқ қилиш учун қулай соддалашган ифодалар-
ни олиш мумкин. Буларнинг баъзи бирини кўрайлик.

1. Ёруғликни кучли даражадаги ютилиш $h\nu \geq E$, соҳа-
сида номувозанат заряд ташувчиларнинг сиртий генера-

цияси содир бўлади. Бу соҳада сиртий генерация тезлиги g_s , cm^2/c $\alpha d \gg 1$, $\alpha L \gg 1$; $\alpha \gg \frac{S}{D_p}$ бўлади. Булардан ташқари, намуна юпқа $d/Z_p \ll 1$ деб фараз қилсак, унда

$$\Delta p_{cp} = \frac{g_s}{d} \frac{1}{\left(\frac{1}{\tau_p} + \frac{2S}{d} \right)} \quad (4.121)$$

кўринишга келади. Фотоўтказувчаникда ҳажмий рекомбинация аниқловчи жараён бўлса, $\frac{1}{\tau} \gg \frac{2S}{d}$ бўлади. У ҳолда

$$\Delta p_{cp} = g_s \tau_p / d \quad (4.122)$$

билин ифодаланади. Агар фотоўтказувчаникка сирт рекомбинациясининг таъсири ҳажмий рекомбинацияга нисбатан катта, яъни сирт рекомбинацияси тезлиги катта, намуна юпқа бўлса, $\frac{2S}{d} \gg \frac{1}{\tau}$ бўлади ва Δp_{cp} нинг ифодаси

$$\Delta p_{cp} = g_s / 2S \quad (4.123)$$

кўринишга келади.

2. Намунада ёруғликни кучсиз ютилиш соҳасида номвозанат заряд ташувчиларнинг ҳажмий генерацияси, яъни текис генерацияланиши содир бўлади. Бу ҳолда ҳажмий генерация тезлиги $g_0 = \alpha \beta I_0 (1 - R_v) \text{cm}^{-3} \text{c}^{-1}$ $\alpha Z_p \ll 1$, $\alpha d \ll 1$, қалин намуна $d \gg Z_p$ учун эса

$$\Delta p_{cp} = g_0 \tau_p \quad (4.124)$$

бўлади, намуна юпқа $d \ll Z_p$ сирт рекомбинацияси тезлиги катта бўлганда,

$$\Delta p_{cp} = \frac{g_0 d^2}{12 D_p} \quad (4.125)$$

Кўриниш олади. Энди юқорида келтирилган муносабатлар асосида тажрибадан τ ва S ни аниқлашни курайлик.

Тажрибада ёритилган намунада фотоұтказувчанликдан содир бұлған күчланиш тушувининг үзгаришини үлчаб, (4.117) дан τ ни S ни аниқлаш мүмкін. Стационар фотоұтказувчанликни қайси параметрлар (τ, S) аниқлашыны текшириш учун ҳар хил қалинликдаги намуналарда үлчов үтказиш мақсадға мувофиқ бұлади. Агар сигнал ΔV намуна қалинлигі d ни камайиши билан $\frac{1}{d^2}$ бүйича ортиб борса, (4.117) ва (4.122) ларга күра, ΔV га асосий таъсир күрсатувчи параметр τ бұлади. Агар асосий таъсир күрсатувчи параметр S бұлса, намуна қалинлигининг камайиши билан сигнал ΔV (4.117) ва (4.123) га күра $\frac{1}{d}$ бүйича ортиб боради.

Үлчанған ΔV бүйича τ ёки S ни аниқлаш учун бундан ташқары заряд ташувчиларнинг сиртій ёки ҳажмий генерация тезлікларини билиш керак бұлади. Коэффициентлари α, β маълум бұлған яримтүказгічлар учун намунаға тушаёттан ёруғлик интенсивлиги I ни билиш етарли бұлади. Бунинг учун ёруғлик спектрининг тегишли соҳасига сезгир, олдиндан даражаланған исталған фотоқабул қылгычларни құллаш мүмкін. α ва β коэффициентлари ноаниқ бұлған ҳолларда генерация тезлигі g ни аниқлаш учун текширилаёттан материаллардан ясалған потенциал түсікіли ($p-n$ үтиш, $p-i-n$ ва Шоттки диодлари) фотоқабулқылгычларни құллаш мақсадға мувофиқдир. Бұ фотоқабулқылгычлар бирга яқын үзгартыриш коэффициенти билан квант оқимини заряд ташувчилар оқимига, яъни токка айлантиради, яъни

$$\frac{I}{e} = gV_0 \quad (4.126)$$

бұлади. Бу ерда, V_0 — фотоқабулқылгычнинг ёруғликка сезгир соҳасининг ҳажми. (4.126) дан фототок I ва ҳажми V_0 ни билған ҳолда g аниқланади. Заряд ташувчиларнинг яшаш вақтими аниқлашда, булардан ташқары, уларнинг ҳаракатчанлиғи, намунанинг геометрик үлчамларини билиш керак бұлади. Бұ усулда ҳар хил намуналарда үлчанған күп параметрларнинг қатнашиши туфайли, юқори бўлмаган аниқликда 20—30%, баъзан ундан катта бўлған

хатолик билан t_n ни аниқлаш мүмкін. Лекин бу усул билан заряд ташувчиларнинг жуда кичик яшаш вақтларини 10^{-9} — 10^{-10} с гача ўлчаш мүмкін. Стационар фотоутказувчанлик усули билан t_p ни ўлчашдаги асосий хатолик манбай сифатида ёпишиш марказларининг таъсирини кўрсатиш мүмкін. Ёпишиш марказининг таъсири германийда 273 К дан, кремнийда 400 К дан паст температураларда намоён бўлади. А3 В5 биримларидаги ёпишиш марказларининг сатҳи оддий элементар яримутказгичларнидан юқори. Шунинг учун уларга бу усулни кўллаш чекланган. Маълумки, яримутказгичларда ёпишиш маркази мавжуд бўлса, электрон, ковак яшаш вақтлари тенг бўлмайди. Агар ёпишиш марказлари томонидан ушланган электрон концентрациясини $D_{n,p}$ билан белгиласак, электронейтраллик шартни

$$\Delta p = \Delta n + \Delta n_p \quad (4.127)$$

куринишида бўлади. Электрон, ковакнинг рекомбинация тезликларининг бир-бирига тенглигидан

$$\frac{\Delta n}{\tau_n} = \frac{\Delta p}{\tau_p} = \frac{\Delta n + \Delta n_p}{\tau_p} \quad (4.128)$$

$$\frac{\tau_p}{\tau_n} = 1 + \frac{\Delta n_p}{\Delta n} \quad (4.129)$$

бўлишигини кўрамиз. Бу стационар фотоутказувчанликнинг ўзгаришига ҳамда ностационар фототокнинг ўсиши ва пасайишига таъсир кўрсатади. Бу ҳолда янги характеристик катталик фотоутказувчанликнинг эффектив стационар яшаш вақти тушунчаси киритилади. Стационар фотоутказувчанликни

$$\Delta \sigma_{ct} = e \mu_n g \tau_n + e \mu_p g \tau_p = e \tau_{\phi} (\mu_n + \mu_p) g \quad (4.130)$$

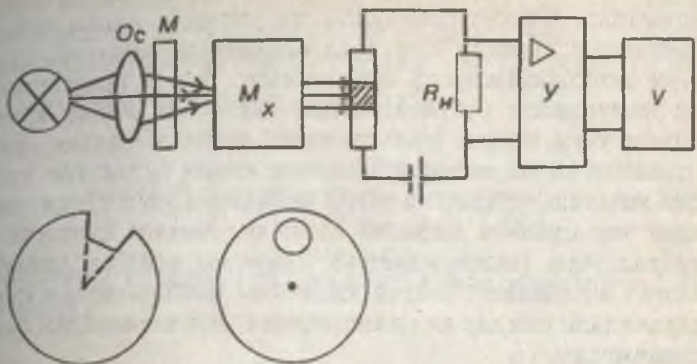
ифодасидан, τ_{ϕ} ни

$$\tau_{\phi} = \frac{\mu_n \tau_n + \mu_p \tau_p}{\mu_n + \mu_p}$$

билин аниқланишини кўрамиз. Стационар фотоутказувчанликдан топилган заряд ташувчилар яшаш вақти умумий ҳолда электрон, ковак яшаш вақтларига, ҳаракат-

чанликларига боғлиқ. Агар ёпишиш марказларининг концентрацияси кичик $\Delta n \ll \Delta n$ бўлса, уларнинг таъсирини эътиборга олмаслик мумкин. У ҳолда $\tau_{\text{зф}} = \tau_n = \tau_p$ бўлади. Стационар фотоўтказувчанликни ўлчаш усулига асосланган τ ни аниқлаш қурилмаларидан бирининг чизмаси 4.14-расмда келтирилган. Одатда, фотоўтказувчанлик сигнали ΔV кичик даражали инжекцияда $\Delta G \ll G_0$ ўлчанади. ΔV ни ўлчаш шундай режимда ўтказилиши керакки, ΔV билан ΔG орасидаги боғланиш чизиқли бўлсин. Юклама қаршилиқ R_h намуна қаршилиги $(\Delta G + G_0)^{-1}$ дан катта $R_h \gg (\Delta G + G_0)^{-1}$ бўлганда, заъжирдан оқаётган ток намуна ёритилганда ҳам ўзгармас сақланади. Бу ўзгармас ток (ток генератори) режими деб юритилади. Бунда намунада ўлчанган ΔV билан ΔG орасидаги боғланиш чизиқли $\Delta V - \Delta G$ бўлади. Юклама қаршилиқ R_h намуна қаршилиги $(\Delta G + G_0)^{-1}$ дан кичик бўлганда, R_h дан ўлчанган кучланиш тушувининг ўзгариши ΔV билан фотоўтказувчанлик орасидаги боғланиш ҳам чизиқли бўлади. Бу режимда намунани ёритиш намуна ва юклама қаршилиқ орасида муҳим даражада кучланиш (электр майдоннинг) қайта тақсимланишига олиб келмайди, бинобарин, намунага кўйилган электр майдони қоронғида ва ёритилганда ҳам ўзгармас сақланади. Шунинг учун у ўзгармас майдон (кучланиш) режими деб юритилади. Стационар фотоўтказувчанликнинг ёки бошқа фотоэлектрик ҳодисаларни ўлчашда интенсивлиги бўйича тўғри бурчакли модуляцияланган ёруғлик импульсининг давомийлиги оралиғидаги вақт ичида фотоэлектрик жараёнлар стационар ҳолатга эришиб ва иккита кетма-кет ёруғлик импульси орасидаги вақт ичида намуна термодинамик мувозанат ҳолатига келиб улгуриши керак.

Бу шартнинг бажарилиши учун импульс давомийлиги ва икки импульс оралиғидаги вақт фотоэлектрик ҳодисалар (эффектлар)нинг характеристик релаксация вақти t_u , $t_u > \tau_{\text{рел}}$ дан катта бўлиши керак. Лекин бунда ёруғлик импульсининг кўтарилиш, пасайиш фронтларининг вақтига ҳеч қандай чеклашлар кўйилмайди. Агар ўлчашда синусоида бўйича модуляцияланган ёруғликдан фойдаланилса, унинг даври шундай катта бўлиши керакки, натижада исталган ҳар бир вақтда жараёнларни квазистационар деб ҳисоблаш мумкин бўлсин. Кўпинча ΔV



4.12-расм. Стационар фотоутказувчаникни ўлчаш схемаси;
V — вольтметр, M_x — монокроматор; Y — кучайтиргич.

йіфтотувчи ёруғлик интенсивигининг $\frac{1}{\tau_p}$ га нисбатан етарли кичик модуляция частоталарида ўзгарувчан сигнал кучайтиргичлари билан ўлчанади. Бу ўлчаш жараёни осонлаштиради, кичик сигналларга сезгиригиди оширади ва τ_p ни ўлчаң чегарасини кичик қыйматлар томонға кенгайтиради. Етарлича катта давомийлики түғри бурчаклы ёруғлик импульсini ҳосил қилиш учун турли модуляторлар құлланилади. Секторли құринишда ёриқлари бұлған диск айланганда ёруғлик оқимини даврий равишда дискнинг секторлари ёпиб туради, унинг интенсивигини модуляциялади. (4.12-расм): унда түғри бурчаклы ёруғлик импульси ҳосил қилинади. Құзгусимон модуляторларда айланувчи күзгудан қайттан ёруғлик нури оптика тизим кириш тирқишини кесиб үтиб, түғри бурчаклы ёруғлик импульсini шакллантиради. Электродинамик затворли модулятор электр токи үтиб турған ғалтак билан магнит майдоннинг таъсирлашишига асосланған. Агар ғалтакдан ток импульси үтказилса, у магнит майдонида силжийди ва ёруғлик оқимини түсиб турған пардан ҳаракатга келтиради. Бу модуляторлар билан олинган ёруғлик импульсларининг күтарилиш ва пасаңиш вақтларига нисбатан катта ($10^{-4}:10^{-5}$)С бұлгани учун фотоэлектрик жараёнлар кинетикасини үрганишга құлла-

нилмайди. Фотоутказувчанликни ўлчашида манба нурланишининг керакли спектрал оралигини ажратиб олиш учун монохроматорлар ишлатилади. Заряд ташувчиларни намунашниг бутун ҳажмида бир текис пайдо қилиб туриш учун оптик фильтрлардан фойдаланилади, улар ёрдамида ютиш коэффициентини кичик бўладиган хуссий ютилиш чегарасига тўғри келадиган узун тўлқинларниг тор оралиги ажратиб олинади. Амалда кўпинча бу мақсад учун текширилаётган намунада ясалган яримутказгич модданинг ўзидан қилинган фильтрлардан фойдаланилади ёки ҳар хил лазерларнинг нурланишидан фойдаланилади.

б. Фотоутказувчанликнинг спектрал боғланишидан яримутказгичлар параметрларини аниқлаш усуслари

Фотоутказувчанлик ΔG нинг спектрал (ёруглик тўлқин узунлигига) боғланиши бўйининг узунлиги a , энининг узунлиги b , қалинлиги d дан катта $a > b \gg d$ бўлган пластина шаклидаги намуна стационар фотоутказувчанлик (4.113) ифодасига кирган (4.114) билан ифодаланган ΔP нинг таҳлили асосида ўрганилади. Номувозанат заряд ташувчилар тақсимоти $\Delta p(z)$ узлуксизлик тенглама (4.11)си нинг чегаравий шартлари (4.120) ни қаноатлантирувчи ечимиdir.

Ютилиш коэффициенти (тўлқин узунлиги) ҳар хил бўлган ёруглик орқали яримутказгични уйғотиш билан, унинг ҳажмида, сиртида заряд ташувчиларниг диффузия, рекомбинация жараёнлари учун ҳар хил шароит яратиш мумкин. Тажриба натижаларидан, назарий текширишлардан маълумки, ёругликнинг хуссий ютилиш чегарасининг кичик спектрал оралиги $\Delta h\nu = 0,1 - 0,2$ эВ да ютилиш коэффициенти зоналар тузилишига қараб 0 дан то 10^5 см $^{-1}$ гача ўзгаради. Ёругликнинг хуссий ютилиш спектрининг қисқа тўлқин узунлик соҳасида ютилиш коэффициенти катта, шунинг учун заряд ташувчиларниг сиртий генерацияланиши содир бўллади. Ҳисоблашларниг кўрсатишича $\alpha d \gg 1$ бўлганда, (4.114) ифода

$$\Delta P = \frac{g_0 \tau}{\alpha} \frac{\left[1 + \frac{sZ}{D} \frac{1}{1 + \alpha Z} \right]}{\left[1 + \frac{sZ}{D} \cdot \operatorname{cth} \frac{d}{2Z} \right]} \quad (4.131)$$

билин аниқланади. Ёругликни намунадан қисман қайтишини ҳисобга олганда генерация тезлиги $g_0 = \alpha \beta I_{\alpha} (1 - R_p) / h\nu$ кўринишда бўлади. Намуна қалин $d \gg 2L$ бўлса, ($d > 4Z$ етарли), $\operatorname{cth} \frac{d}{2L} \approx 1$ бўлади ва (4.131)

$$\Delta P = \frac{g_0 \tau}{\alpha} \frac{1}{1 + sL/D} \cdot \left(1 + \frac{sL}{D} \frac{1}{1 + \alpha L} \right) \quad (4.132)$$

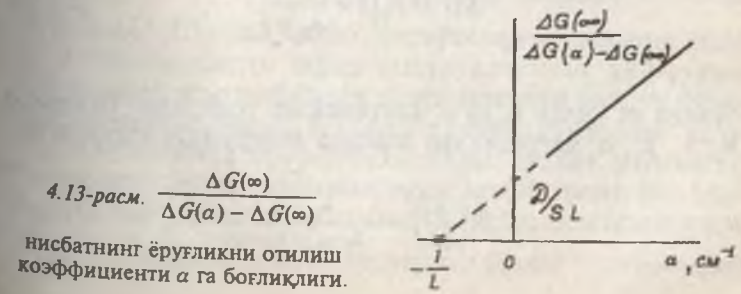
кўринишда бўлади. Ёругликнинг кучли ютилиш $\alpha Z \gg 1$ соҳасида

$$\Delta P = \frac{g_0 \tau}{\alpha} \frac{1}{(1 + sL/D)} \cdot \left(1 + \frac{s}{D} \frac{1}{\alpha} \right) \quad (4.133)$$

билин ифодаланади. ΔP ютилиш коэффициентининг ортиши билан α га боғлиқ бўлмаган, лекин сиртий рекомбинация тезлигига боғлиқ бўлган асимптотик қийматга интилади. $\alpha \rightarrow \infty$ да

$$\Delta P(\infty) = \frac{I_v \beta}{h\nu} \frac{1}{(1 + sL/D)} \quad (4.134)$$

куринишни олади. Хуссий ютилиш спектрининг узун тўлқини узунлик соҳасида ютилиш коэффициенти α камайиши туфайли, фотоутказувчанлик ΔG кескин камаяди. Шундай қилиб, хуссий ютилиш соҳасида ΔG максимумга эришади (4.13-расм). (4.131) ва (4.134) ифодалар билан аниқланадиган стационар фотоутказувчанлик ΔG



нинг ифодаси (4.113) га тўғридан-тўғри фотон энергияси ёки ёруғлик тўлқин узунлиги кирмаган бўлса ҳам $\Delta G(h\nu)$ ёки $\Delta G(\lambda)$ боғланиш мавжудлигини кўрамиз. ΔG нинг бу спектрал боғланиши ёруғликнинг ютилиш коэффициенти α ни, заряд ташувчилар квант чиқиш коэффициенти β ни, ёруғликнинг намунадан қайтиш коэффициенти R ни ёруғлик тўлқин узунлигига боғлиқлиги туфайли намоён бўлади. Фотоутказувчанликнинг спектрал боғланиши $\Delta G(\alpha)$ ёки $\Delta G(\lambda)$ ни уч соҳага ажратиш мумкин. ΔG ни $\frac{1}{\alpha}$ билан чизикли боғланиш соҳасига ΔG ни асимптотик қиймат $\Delta G(\infty)$ га эришиш соҳасига ҳамда α нинг камайиши билан ΔG ни камайиши соҳасига ажратиш мумкин. ΔG нинг $\frac{1}{\alpha}$ билан боғланиш соҳаси (4.133) ифодага кўра,

$$\Delta G\left(\frac{1}{\alpha}\right) = h_1 \left(1 + \frac{1}{a_1} \frac{1}{\alpha}\right) \quad (4.135)$$

билин ифодалashi мумкин. Бу боғланишдан h_1 ва $a_1 = \frac{D}{S}$ катталиклар топилади. Бунинг учун ёруғлик инжекциясининг тегишли соҳасидаги ҳар хил тўлқин узунликда ҳар хил ютилиш коэффициенти α да ΔG ни ўлчаб $\Delta G = f\left(\frac{1}{\alpha}\right)$ боғланиш чизилади. Агар намунанинг бошқа томонида сиртий рекомбинация тезлиги S_2 бўлса, бу томонини ёритишдаги фотоутказувчанлик

$$\Delta G' = h_2 \left(1 + \frac{1}{a_2} \frac{1}{\alpha}\right) \quad (4.136)$$

бўлади ва ундан h_2 ва a_2 катталиклар топилади. Топилган h_1 , h_2 , a_1 , a_2 катталиклар асосида диффузион узунлик Z_D

$$L_D t h\left(\frac{d}{2L}\right) = \frac{h_2 - h_1}{h_1/a_1 - h_2/a_2} \quad (4.137)$$

формула билан ҳисобланади. Агар қарама-қарши томонларыда $S_1 = S_2$ бўлса, у ҳолда намуна сиртига икки хил ишлов берилади. Икки хил ишловдан ўтган намуна фототказувчаникдан топилган a_2 , a_1 катталиклар орқали Z ни

$$L_D c \ln \left(\frac{d}{2L} \right) = \frac{h_2 - h_1}{h_1/a_1 - h_2/a_2} \quad (4.138)$$

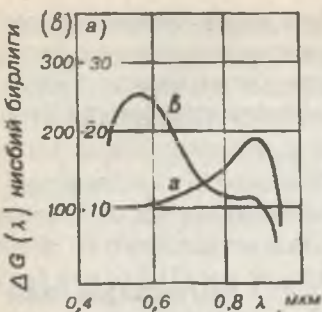
ифода билан топилади. Қалин $\frac{d}{2Z_D} \gg 1$ намуналарда икки ҳолатда ҳам

$$Z_D = \frac{h_2 - h_1}{h_1/a_1 - h_2/a_2} \quad (4.139)$$

формула билан топилади. Бу усул билан Z_D ни топишда ΔG ни мутлақ қийматини билиш шарт эмас ҳамда Z_D ни ҳисоблашга керакли маълумотлар битта тажрибадан олиниди. (4.133) ва (4.134) формулалар асосида

$$\frac{\Delta G(\infty)}{\Delta G(\alpha) - \Delta G(\infty)} = \frac{\Delta P(\infty)}{\Delta P(\alpha) - \Delta P(\infty)} = \frac{D}{S} (1 + \alpha L) \quad (4.140)$$

кўринишдаги боғланишни оламиз. Ундан фойдаланиш учун тажрибада аникланган фототказувчаник $\Delta G(\alpha)$ нинг спектрал боғланишидан $\frac{\Delta G(\infty)}{\Delta G(\alpha) - \Delta G(\infty)}$ нисбатнинг α га боғланиш графиги чизилади. Бу боғланишнинг горизонтал ўқ. билан кесишиш кесмасидан $L = -\frac{1}{\alpha}$ вертикаль ўқ билан кесишишидан $\frac{D}{SL}$ лар қиймати топилади (4.14-расм). Шундай қилиб, фототказувчаникнинг спектрал боғланишидан заряд ташувчиларнинг диффузион узунлигини, агар диффузия коэффициенти маълум бўлса, сиртий рекомбинация тезлигини аниқлаш мумкин. Ёруғликнинг ютилиш коэффициентининг тўлқин узунлигига боғланиши юпқа намуналарнинг шаффофлик коэффициентидан ўлчаниши мумкин. (4.135) боғланишдан ярим ўтказтич параметларини аниқлашда ΔG нинг $\frac{1}{\alpha}$ га боғланиш



4.14-расм. Солиширима
қаршилигі $r=150 \text{ Ом} \cdot \text{см}$ n-тип
кремний намунаси зоналарыда
эгриланиш кичик (a) ва катта
(b) бүлганица
фотоутказувчанликнинг
спектрал тақсимоти.

Бошқача айтганда, сиртга яқын соҳадаги ҳажмий, заряд заряд ташувчилар рекомбинациясига ва фотоутказувчанликка таъсир күрсатмайдыган, сиртий ҳолат эса сиртий рекомбинация тезлиги билан аниқланадыган ҳолат күрилген эди. Сиртий рекомбинация тезлигини киришида сиртдаги заряд ташувчилар билан ҳажмдаги заряд ташувчилар орасыда квазимувозанат мавжуд деган фарз ётади. Энди баъзи бир ҳолаттарда намуна сирт соҳасыда пайдо бўладиган энергиявий зоналар эгриланишини фотоутказувчанликнинг спектрал боғланишига таъсирини кўрайлик.

Сирт яқинидаги заряд ташувчилар энергиясидан катта бўлган энергиявий зоналарнинг эгриланиши сиртдаги кичик интенсивликдаги рекомбинация жараёни мувозанат нинг бузилишига ва фотоутказувчанликни сифатий ўзгаришига олиб келади. Энергиявий зоналар эгриланиши катта бўлган ҳолда фотоутказувчанликнинг люкс-ампер спектрал, кинетик характеристикаларидаги мухим ўзгаришлар кузатилади. Бу хусусиятларни заряд ташувчиларнинг квазимувозанатига асосланган фотоутказувчанликнинг назарияси билан тушунтириб бўлмайди. Улар намуна сиртидаги ва ҳажмий заряд соҳасидаги заряд ташувчилар

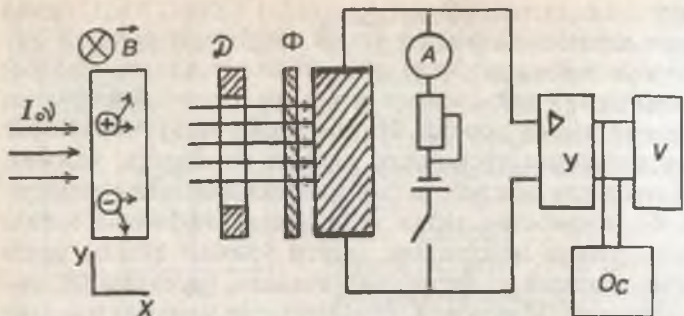
графигигида унинг чизиқли боғланиш ҳамда асимптотик соҳаси мавжуд булишигини, α , β , R , ларни текширилаётган спектрал соҳасида тўлқин узунлигига, сиртий ишловига кучсиз боғланишда булишигини назарда тутиш лозим. Шуни эслатиб ўтиш жоизки, юқорида ёритилган фотоутказувчанликнинг спектрал боғланишидан яримутказгичлар параметрларини аниқлаш усули намуна ҳажмидаги сиртида электр нейтраллик шарти бажариладиган ҳолдаги стационар фотоутказувчанлик таҳлилига асосланган.

комбинация жараёнларини ўзгариши билан, яъни заряд ташувчиларнинг эффективив яшаш вақтининг ортиши билан тушунирилади. Ҳажмий заряднинг электр майдон ёки энергиявий зоналарнинг эгрilанишидан ҳосил бўлган потенциал тусиқ асосий бўлган заряд ташувчиларнинг сиртга келишига тўсқинлик қиласи ва сиртда, ҳажмий заряд соҳасида рекомбинация интенсивлигини камайтиради. Бу жараёнлар заряд ташувчилар эффективив яшаш вақтини электр нейтраллик шарти ўринли бўлган ҳолга нисбатан ошиши ва фотоутказувчанлик хоссаларига таъсир курсадади. Маълумки, яримутказгич намуналарининг сиртий қатламига яқин соҳасида энергиявий зоналар эгрilаниши (изгиб) сиртнинг маълум бир кимёвий ишловларидан, электр майдон таъсиридан, электролитларда кутбланишдан пайдо бўлиши мумкин. Энергиявий зоналар эгрilаниши катта бўлган кремнийда фотоутказувчанликнинг спектрал боғланишида катта ўзгариш кузатилган, хусусий ютилишнинг қисқа тўлқин узунлиги соҳасида одатдаги хусусий ютилиш чегарасида кузатиладиган максимумдан катта бўлган янги максимум пайдо бўлади (4.13, в-расм). Буни энергиявий зоналар эгрilаниши мавжуд бўлганда сирт соҳасида рекомбинация тезлигининг камайишиши билан, яъни заряд ташувчилар эффективив яшаш вақтининг катталашиши билан тушунирилади. Фотоутказувчанлик ΔG нинг спектрал боғланиши ҳам 4.12-расмда келтирилган қурилмадан фойдаланиб ўлчашади. Бу ерда шуни назарда тутиш керакки, ҳар хил тўлқин узунликда ёки ҳар хил α га мос келган ΔG ни ўлчашда ларни бир хил интенсивликдаги ёруғлик оқимига келтиради.

« $\Delta G(\lambda)$ » ни ўлчаш тартиби стационар фотоутказувчанлик ΔG ни ўлчаш тартибидан фарқ қилмайди.

4.6-§. Номувозанат заряд ташувчилар параметрларини фотоэлектромагнит ҳодисаси (Кикоин-Носков эффективи) дан фойдаланиб аниқлаш усули

Магнит майдонига жойлаштирилган яримутказгич намунани кучли даражада ютиладиган ёруғлик оқими билан ёритилганда магнит майдони, ёруғлик оқими йўна-



4.15-расм. Фотоэлектромагнитик ҳодисасини электр юритувчи кучи (ЭЮК) ва қисқа туташув токини ўлчаш курилмасининг схемаси. D — диафрагма; A — амперметр, B^{\oplus} — магнит майдон индукция вектори.

лишларига тик йұналишда күндаланг электр юритувчи куч ЭЮК (күндаланг потенциаллар айрмаси) вужудга келади. Бу ҳодиса Кикоин-Носков эффекти ёки фотоэлектромагнит ҳодисаси деб юритилади. Фотоннинг энергияси $h\nu \geq Eg$ бўлган X үки йұналишдаги ёруғлик оқими билан намуна ёритилганда, унинг сиртий қатламида ҳосил бўлган ортиқча электронлар ва каваклар намуна ичкарисига томон X үки йұналишида диффузияланади. Z үки йұналишида магнит майдони пайдо қилинганда диффузияланувчи электронлар ва коваклар Лоренц кучи $\vec{F}_e = -e[\vec{V}\vec{B}]$; $\vec{F}_p = e[\vec{V}\vec{B}]$ таъсирида у үки томон ўз йұналишидан мос равища θ_n , θ_p бурчакка (холл бурчаклари-га) оғадилар (4.15-расм) ва электрон, кавакнинг магнитодиффузион (холл) токлари j_{ny} , j_{px} ҳосил бўлади. Бу токлар Уўқига тик күндаланг кесимларининг бирида мусбат, иккинчисида манфий зарядларнинг тўпланишига олиб келади. У үки йұналишидаги магнитодиффузион ток зичликлари j_{ny} , j_{px} нинг холл бурчаклари орқали боғланиши

$$j_{ny} = j_{nx} \operatorname{tg} \theta_n; \quad j_{ny} = j_{px} \operatorname{tg} \theta_p \quad (4.141)$$

билан ифодаланади. Бу ерда

$$\operatorname{tg} \theta_n = -\mu_{nN} B = -r_H B \mu_n; \quad \operatorname{tg} \theta_p = \mu_{pH} B = r_H \mu_p B \quad (4.14)$$

Бундаги μ_{nN} , μ_{pH} — электрон, кавакларнинг ҳолл ҳаракатчанликлари, μ_n , μ_p дрейф ҳаракатчанликларни мос равинада $r_H = \frac{\mu_{nN}}{\mu_p}$ ҳолл омили (унинг қиймати бирга яқин а сочилиш механизмига боғлиқ). Электрон, кавакни туя магнитодиффузон ток зичлиги (4.141) ва (4.142) ларни кўра

$$j_y = j_{ny} + j_{py} = r_H B (\mu_n j_{nx} - \mu_p j_{px}) \quad (4.14)$$

бўлади. X ўқи йўналишидаги диффузон тоқлар зичлилари ёпишиш маркази бўлмагандан ($\Delta n = \Delta p$)

$$j_{nx} = -j_{px} = -e D_{\text{оф}} \frac{\partial \Delta n}{\partial x} = e D_{\text{оф}} \frac{\partial \Delta p}{\partial x} \quad (4.14)$$

бўлади, чунки $j_{ny} + j_{px} = 0$ деб ҳисобланади. $D_{\text{оф}}$ — эфектив диффузия коэффициенти бўлиб, магнит майдони мавжуд бўлганда

$$D_{\text{оф}} = (n+p) \left[(1 + \theta_n^2) \frac{n}{D_n} + (1 + \theta_p^2) \frac{p}{D_p} \right]^{-1} \quad (4.14)$$

билин ифодаланади. Кучсиз магнит майдонидаги, оғиш булачаги кичик бўлганда

$$\begin{aligned} \operatorname{tg} \theta_n &\approx \theta_n = r_H B \mu_n \ll 1 \\ \operatorname{tg} \theta_p &\approx \theta_p = r_H B \mu_p \ll 1 \end{aligned}$$

бўлади. Бу ҳолда эфектив диффузия коэффициенти бўлганинг диффузия коэффициентига тенг бўлади, яъни $B=0$ ҳолидаги қийматига тенг бўлади. Масалан, P — тирили яримутказгичда $p \gg n$ бўлгани учун (4.145) дан, $D_{\text{оф}} = n$ — типда $n \gg p$ бўлгани учун (4.145) дан $D_{\text{оф}} = D_p$ бўлиб, лигини кўрамиз. (4.143) га (4.144) ни кўйсак, тўла магнитодиффузон ток зичлигининг ифодаси

$$j_y = j_{ny} + j_{py} = -r_H e B D_{\text{оф}} (\mu_n + \mu_p) \frac{\partial p}{\partial x} \quad (4.14)$$

күриниши олади. Намуна ён сиртларида сиртий рекомбинация тезлиги кичик, бинобарин, ён сиртлардаги рекомбинацияни ҳисобга олмаслик мумкин деб фараз қиласак, заряд ташувчиларнинг ортиқча концентрацияси фақат X нинг функцияси бўлади. Шунинг учун (4.146) ни

$$j_y = -r_H e B \cdot D_{\text{зф}} (\mu_n + \mu_p) \frac{\partial \Delta p(x)}{\partial x} \quad (4.147)$$

күринища ёзиш мумкин. Занжир узуқ бўлганда тўла магнитодиффузон ток J фэм ифодаси

$$I_{\text{фэм}} = b \int_0^d j_y dx = -er_H b BD_{\text{зф}} (\mu_n + \mu_p) [\Delta p(t) - \Delta p(d)] \quad (4.148)$$

күринища бўлади. Мувозанат шароитида бу ток ташки занжирда фотомагнитик электр юритувчи куч (ЭЮК)нинг ҳосил қиладиган тўла ўтказувчаник (қисқа туташув) токи I_G га teng бўлади. Агар фотомагнитик ЭЮК ни $U_{\text{фэм}}$ билан, тўла ўтказувчаникни $G = G_0 + \Delta G$ билан белгиласак, у ҳолда қисқа туташув фототокининг ифодаси

$$I_G = U_{\text{фэм}} G = U_{\text{фэм}} (G_0 + \Delta G) = -I_{\text{фэм}} \quad (4.149)$$

күринища бўлади. Намунанинг мувозанатдаги (қоронфиликдаги) ўтказувчанилиги $G_0 = \frac{1}{R_0} = \sigma_0 \frac{bd}{a}$ бўлади. Фото ўтказувчаник ΔG электронейтраллик шарти $\Delta n = Dp$ бажарилганда (4.113) га кўра

$$\Delta G = \frac{be(\mu_n + \mu_p)}{a} \int_0^d \Delta p(x) dx \quad (4.150)$$

билан ифодаланади. G_0 ва ΔG ларнинг ифодаларини (4.149) га қўйиб, аниқланган $U_{\text{фэм}}$ ифодаси

$$U_{\text{фэм}} = \frac{r_H a B D_{\text{зф}} e (\mu_n + \mu_p) [\Delta p(0) - \Delta p(d)]}{\sigma_0 d + e(\mu_n + \mu_p) \int_0^d \Delta p(x) dx} \quad (4.150)$$

күринища бўлади. Кучсиз магнит майдонида ($\mu^2 B^2 \ll 1$) ўзгаришлар фақат бир X ўки йўналишида содир бўлганда

кавакнинг узлуксизлик тенгламаси (4.118) кўринишда бўлади. Унинг сиртларида ўринли бўлган чегаравий шартлар (4.120) ни қаноатлантирувчи ечими ёруғликни кучли даражада ютилиши кузатилганда $\alpha d \gg 1$ ва намуна қалин $d \gg L_p$ бўлса,

$$\Delta p(x) = \frac{\alpha I_\nu \beta (1 - R_\nu) \tau_p}{h\nu} \left[\frac{\alpha^2 L}{L + S\tau_p} e^{-\frac{X}{2p}} - e^{-\alpha X} \right] \quad (4.151)$$

кўринишда бўлади. Қалин намунада ёритилмаётган сиртда $\Delta p(d)=0$ деб олиш мумкин. У ҳолда қисқа туташув токи $I_{\phi\text{эм}}$ (4.148) $\Delta p(0)$ билан аниқланиб,

$$J_{\phi\text{эм}} = \frac{e(\mu_n + \mu_p) \beta B (1 - R_\nu) \alpha L}{h\nu \left(\frac{SL}{D} + 1 \right) (aL + 1)} \quad (4.152)$$

кўринишга келади. Ютилиш коэффициенти ортиб бориши билан $aL \gg 1$ тенгсизлик ўринли бўла бошлаганды қисқа туташув токи (4.152) ютилиш коэффициентига боғлик бўлмаган доимий қийматга интилади:

$$I_{\phi\text{эм}} = eB(\mu_n + \mu_p) \frac{I_\nu \beta (1 - R_\nu)}{h\nu} eB(\mu_n + \mu_p) \frac{Z}{(1 + SZ/D)} \quad (4.153)$$

Намунанинг сирт рекомбинацияси тезлиги кичик $S \ll \frac{D_p}{L_p}$ ва паст даражали уйғотиш Δn , $\Delta p \ll n_0$, p_0 ёки $\Delta G \ll G_0$ да (4.153) ифода

$$I_{\phi\text{эм}} = e(\mu_n + \mu_p) B \frac{I_\nu \beta (1 - R_\nu)}{h\nu} L \quad (4.154)$$

Кўринишни олади. Намунанинг сирт рекомбинацияси тезлиги катта $S \gg \frac{D_p}{L_p}$ бўлганда,

$$I_{\phi\text{эм}} = e(\mu_n + \mu_p) B \frac{I_\nu \beta (1 - R_\nu)}{h\nu} \cdot \frac{D}{S} \quad (4.155)$$

бўлишилигини кўрамиз. Тажрибада ўлчанган қисқа тугацув токи бўйича диффузион узунликни аниқлашда (4.153) ва (4.154) формулалар қўлланилади. L ни аниқлашда, I_{ϕ_m} в ларни ўлчацдан ташқари, заряд ташувчиларнинг ҳаракатчанликларини, ёргулик интенсивлигини ва бошқа каттагиларни бошқа тажрибалардан топишга ёки адабиёт манбалидаги натижалардан фойдаланишга тўғри келади. Агар заряд ташувчилар яшаш вақти ва сирт рекомбинацияси тезлиги доимий каттагилар бўлса, (4.154) формула юқори даражали инжекция $\Delta n, \Delta p \gg n_0, p_0$ да ҳам ўринли бўлади. Кучли даражали инжекция $\Delta n, \Delta p \gg n_0, p_0$ да диффузия коэффициенти (4.145) ни заряд ташувчиларнинг концентрациясига боғлиқлиги тўхтайди:

$$D = \frac{2 D_n D_p}{(1 + \theta_n^2) D_n + (1 + \theta_p^2) D_p} \quad (4.156)$$

Шуни назарда тутиш керакки, юқори даражали инжекцияда (4.154) формула билан аниқланган диффузион узунлик бир қийматли маънога эга бўлади, қачонки намунанинг исталган нуқтасида, ёритилмаётган сирти яқинида ҳам $\Delta n, \Delta p \gg n_0, p_0$ бўлса. Акс ҳолда уйғотиш даражаси бўйича ўрталаштирилган қандайдир қийматни беради, энди I_{ϕ_m} ни спектрал боғланишдан яримўтказгич параметрларини аниқлашни кўрайлик. Фотомагнитик ток I_{ϕ_m} нинг спектрал боғланишини (4.152) ва (4.153) ифодалар асосида таҳлил қилиш мумкин. Ёргуликнинг хусусий ютилиш чегарасида ёргулик тўлқин узунлигининг камайиб бориши билан ютилиш коэффициенти ортади ва фотомагнитик токнинг ўсишига олиб келади. Лекин фотоўтказувчанликка нисбатан фотомагнитик токнинг ўсиши катта фототок энергиясида бошланади ва тикроқ бўлади. Фотомагнитоэлектрик ҳодисасининг пайдо бўлиши учун нафақат заряд ташувчиларнинг генерацияланиши, балки яна улар концентрациясининг градиенти пайдо бўлиши керак. Бу фақат ёргулик намуна сирт соҳасида ютилган ҳолдагина кузатилади. (4.152) ва (4.153) формулалардан кўринадики, ҳар қандай сирт рекомбинацияси тезлигида $\alpha L = 1$ да қисқа тугашув токи $\alpha \rightarrow \infty$ даги қийматидан иккита кичик бўлади. Фотоўтказувчанликнинг, I_{ϕ_m} дан

фарқли үлароқ, икки марта камайиши бошқа параметрларга боғлиқ бўлган αL ни қийматида кузатилади. Тўлқин узунлиги ўзгариши билан ютилиш коэффициентининг катта ўзгарадиган спектр соҳасида қайтиш коэффициенти R_v квант чиқиш коэффициенти тўлқин узунлигига кучсиз боғланган. (4.152) формуладан

$$\frac{1}{I_{\text{фэм}}} = \frac{(1 + SL/D)}{e(\mu_n + \mu_p)BL} \frac{h\nu}{\beta I_{0,v}(1 - R_v)} \left(1 + \frac{1}{L} \cdot \frac{1}{\alpha}\right) \quad (4.157)$$

боғланишни оламиз. Ундан кўринадики, $\frac{1}{I_{\text{фэм}}}$ билан $\frac{1}{\alpha}$ орасидаги боғланиш чизикли бўлади. Тажрибадан олинган натижаларнинг $I_{\text{фэм}} \left(\frac{1}{\alpha}\right)$ куринищдаги графигини чизиб, горизонтал, абсцисса ўқлари билан кесишгунча давом эттирилади ва у горизонтал ўқни кесишидан ($L = \frac{1}{\alpha}$) топилади. Фотоэлектромагнит токи $I_{\text{фэм}}$ нинг спектрал боғланишидан диффузион узунликни ўлчаш усули фотоўтказувчаникнинг спектрал боғланишидан ўлчаш усулига нисбатан аникроқ натижка беради, чунки ютилиш коэффициенти катталashi билан $I_{\text{фэм}}$ тез тўйинади ва $I_{\text{фэм}} (\alpha^{-1})$ боғланиши (4.157) α ни катта ўзгариш соҳасида чизикли бўлади. Энди $U_{\text{фэм}}$ ни ўлчашга асосланган усулни кўрайлик. Қалин $d \gg L$ намуна учун, кичик сирт рекомбинацияси тезлиги $S \ll \frac{D}{L}$ да, паст даражали инжекция $\Delta G \ll G_0$ ёки Δp , $\Delta n \ll n_0$, p_0 да ёрутликнинг кучли ютилиши соҳаси $\alpha L \ll 1$, $ad \ll 1$ да (4.150) формула

$$U_{\text{фэм}} = \frac{e(\mu_n + \mu_p)Ba}{\sigma d} \frac{\beta I_{0,v}(1 - R_v)}{h\nu} L \quad (4.158)$$

куринишга келади. Агар юқори даражали уйғотишда фотоўтказувчаник ΔG мувозанатдаги ўтказувчаник G_0 дан катта $\Delta G \gg G_0$ бўлса, кучли ютилиш соҳасида $\alpha L \gg 1$ бўлганда (4.150) формула

$$U_{\Phi_{\text{эм}}} = \frac{\alpha BD}{L} = \frac{\alpha BD}{\sqrt{D\tau}} \quad (4.159)$$

билин ифодаланади. Намуна юпқа $d \ll L$ бүлганды сиртий рекомбинация тезлигининг жуда катта бүлмаган қийматыда аниқланади. Бу ифодалар ҳар хил шароитда үлчанган $U_{\Phi_{\text{эм}}}$ қиймати бүйича яримүтказгич параметрларидан τ , L , S ни аниқлаш имконини беради. Шуны таъкидлаш керакки, (4.150) формула бүйича аниқланган сиртий рекомбинация тезлиги $S_1 \neq S_2$ да ёритилмаган сиртники бұлади. Амалиётта заряд ташувчилар яшаш вақтими аниқлашда фотомагнитик ток ва фотоүтказувчанликни, аниқроғи, улар нисбатини аниқлашга асосланған усул күпроқ құлланилади. Намуна ёритилиб, унда сиртий генерация содир бүлганды, яғни $\alpha L \gg 1$, $\alpha d \gg 1$, $\alpha \gg \frac{S}{D}$ тенгсизликтер үринилі бүлганды (4.134) ва (4.154) формулаларға күра $I_{\Phi_{\text{эм}}} / \Delta G$ нисбат

$$\frac{I_{\Phi_{\text{эм}}}}{\Delta G} = B \frac{L}{\tau} = B \left(\frac{D}{\tau} \right)^{\frac{1}{2}} \quad (4.160)$$

билин ифодаланади. Бу формулага генерация тезлигини аниқловчи катталыклар (β , I , R) кирмаган. Тажриба үтказиш нүктай назаридан бу бирмұнча қурай, чунки ёруғлик интенсивлигининг мутлақ қийматини үлчаш, квант чиқиши коэффициентини билиш талаң этилмайды. Бундан ташқари, у сиртий рекомбинация тезлигига боғлиқ әмас. Шунинг учун бу ифодани ҳар қандай ишловдаги намунаға құллаш мүмкін. Юпқа намуналар учун $Z > \frac{D}{S} \gg \frac{d}{2}$ тенгсизлик үринилі бүлганды

$$\frac{Z_{\Phi_{\text{эм}}}}{\Delta G} = \alpha B S \quad (4.161)$$

содда бўлиб, у намунанинг ёритилмаган сиртидаги нисбат сиртий рекомбинацияни аниқлашга имкон беради. Фотоэлектромагнитик эффектининг электр юритувчи

кучи $U_{\text{фэм}}$ ни ва қисқа туташув токи $I_{\text{фэм}}$ ни ўлчаш қурилмасининг чизмаси 4.15-расмда келтирилган. Ёруғлик манбаидан ёруғлик оқими, (монохроматик) фокусловчи оптик система ОС ва фильтр Φ орқали намунага йўналтирилади. Тўғри бурчакли пластина шаклидаги намуна ўзгармас ток манбай ТМ ўзгарувчан қаршилик ва миллиамперметр mA дан иборат электр занжирга уланади. Ёруғлик интенсивлиги кичик частоталарда модуляцияланади. Намунадан фототок ва фотомагнитик ток ўтишидан ҳосил бўлган ўзгарувчан кучланиш селектив кучайтиргич билан кучайтирилади ва вольтметр ёки осциллограф билан қайд қилинади. Қисқа туташув токини ўлчаётганда ташқи кучланиш нолга teng бўлади. Агар намуна қаршилиги шунчалик кичик бўлса, қисқа туташув шартини бажариш мумкин бўлмаса, у ҳолда фотомагнитик ЭЮК ўлчанади ва магнит майдонда жойлаштирилган намуна ўтказувчанилиги ўлчанади ва қисқа туташув токи

$$I_{\text{фэм}} = U_{\text{фэм}} \cdot G \quad (4.161,6)$$

дан топилади. $I_{\text{фэм}}$ ва $U_{\text{фэм}}$ ларни ўлчаща модомики жарёйларнинг стационарлик шарти назарда тутилар экан, ёруғликнинг модуляция частотаси шундай бўлиши керакки, фотомагнитик ЭЮК импульс давомийлиги ичидаги вақтда мувозанат ўрнатилишига, импульслар орасидаги вақтда нольга тушиб улгириши керак. (4.160) ва (4.161) муносабатлар асосида t , L , S ларни аниқлашда фотомагнитик токни ўтказувчанликнинг фототоки билан компенсация қилиб, ўлчаш усули тажрибада бирмунча кулайлик түғдиради. Бу усул билан ўлчаш тартибини кўрайлик. Интенсивлиги модуляция қилинган ёруғлик билан ёритилган намунадан оқаётган ток ўтказувчанлик ва қисқа туташув токлари йигиндисидан иборат бўлади:

$$I = I_{\text{фэм}} + U(\Delta G + G_0) \quad (4.162)$$

$U\Delta G$ ёруғлик интенсивлигига боғлиқ бўлган намуна фототказувчанилиги токи (фототок). Унинг ёруғлик оқимининг модуляция частотаси билан ўзгариши фотомагнитик ток $I_{\text{фэм}}$ каби бўлади. Ташқи кучланиш ишораси ва катталигини шундай танлаш керакки, фототок билан қисқа туташув токини компенсациялаш мумкин бўлсин, яъни:

$$I_{\phi\text{эм}} + U \cdot \Delta G = 0 \quad (4.163)$$

Шундай қилиб, $\frac{I_{\phi\text{эм}}}{\Delta G}$ нисбатни аниқлаш учун намунадан оқаёттан токнинг ўзгарувчан ташкил этувчиси нольга тенг бўлгани ҳолда намунага қўйилган ўзгармас компенсация кучланишини ўлчаш керак. Кичик ёруғлик интенсивлигига ва кучсиз магнит майдонида компенсация кучланиши U_H фотомагнитик ЭЮК дан анча катта бўлади:

$$\frac{U_K}{U_{\phi\text{эм}}} = \frac{G_0 + \Delta G}{\Delta G} = 1 + \frac{G_0}{\Delta G} \quad (4.164)$$

Ёруғликнинг катта интенсивлигига компенсацияловчи кучланиш фотомагнитик ЭЮК га яқин бўлади. Одатда, фотомагнитик ЭЮК кичик, бирқанча ҳолларда $10^{-8} : 10^{-9}$ В ва ундан кичик булиши мумкин. Шу сабабли, уни ўлчашда юқори даражада бир жинсли бўлган намуна танлаш ҳамда магнит майдони бўлмагандан намунани ёритганда ҳажмий фото ЭЮК йўқлигини текшириш керак. Фотоэлектромагнит эффиқти заряд ташувчилар яшаш вақтими кенг оралиқда 10^{-4} дан то 10^{-9} с $30 - 35\%$ хатолик билан аниқлашда қўлланилади. Бу усул, асосан A_3B_5 ва A_2BB бирималарда номувозанат заряд ташувчиларнинг кичик яшаш вақтими аниқлашда қўлланилади. A_3B_5 ва A_2B_6 бирималарда бу усулни чекловчи омииллар бўлиб, уларга оддий яримутказгичларга нисбатан катта концентрацияли ёпишиш марказларининг ҳамда сирт қатламидаги ҳажмий заряд соҳасининг таъсирини курсатиш мумкин.

4.7 §. Яримутказгич параметрларини номувозант заряд ташувчилар тақсимотидан (тўғридан-тўғри) фойдаланиб аниқлаш усуллари

Ёруғлик зондининг қўзғатиладиган усули

Бу усул намунани узун, энсиз (ингичка) фотон энергияси $\hbar\omega \geq E_g$ бўлган ёруғлик зонди билан ёритилганда генерация, рекомбинация ва диффузия жараёнларидан юзага келган номувозанат заряд ташувчилар тақсимотини

үрганишга асосланган бўлиб, у асосан асосий бўлмаган заряд ташувчилар диффузион узунлигини ўлчашда қўлла-нилади. Бунинг учун намуна сиртига металл зонд (тўғриловчи нуқтавий контакт-коллектор) ўрнатилади ёки пла-нар технология билан кичик юзали p -н үтиш, шоттки тўсиги (баръери) олинади ва унга ёпувчи йўналишда тес-кари кучланиш берилади. Намуна остига ёки ён сиртига юзаси катта омик контакт олинади. Намунада ёруғлик таъсирида генерацияланган заряд ташувчилар намуна сирти бўйлаб, ички томон бўйлаб диффузияланади ва бу контактларга етиб келиб, биринчи яқинлашишда асосий бўлмаган заряд ташувчилар концентрациясига пропор-ционал бўлган фототокни ёки фото ЭЮК ни ҳосил қила-ди. Демак, фототокни ёки фото ЭЮК ни ёруғлик зонди билан коллектор контакти орасидаги ҳар хил масофа X да ўлчанганд қийматлари $\Delta p(x)$ нинг тақсимотини ифода-лайди. Кўрилаётган усулнинг назарияси ёруғлик зонди билан генерацияланган заряд ташувчилар концентраци-яси $\Delta p(x)$ нинг тақсимотини аниқловчи ифодасини то-пишга асосланган. Бунинг учун намуна n -тип бўлсин, яримчексиз (жуда қалин) унинг бир томони ясси сирт-дан иборат ва ёруғлик зонди энсиз, чексиз узун (ингич-ка) бўлсин, деб фараз қилинган ҳолни кўрайлик. Агар ёруғлик зонди ён сиртларидан (2 : 3) L дан катта бўлган масофада жойлашган бўлса, ён сиртлардаги рекомбина-цияни ҳисобга олинмайди ва масала бир ўлчамли бўлади. Бу ҳолда номувозанат асосий бўлмаган заряд ташувчилар (кавак) тақсимоти цилиндрик симметрия бўйича содир бўлади. Шунинг учун узлуксизлик тенглама (4.118) нинг цилиндрик координата системасида

$$\frac{1}{r} \frac{d}{dr} \left(r \frac{d\Delta p}{dr} \right) - \frac{\Delta p}{\tau_p D_p} + \frac{\alpha \beta I_r (1 - R_r) e^{-\alpha r}}{h\nu D_p} = 0 \quad (4.165)$$

кўринишда бўлади. Бу ерда r ёруғлик зонди (чилифи)дан коллектор контактигача бўлган (масофа) цилиндр радиуси. (4.165) тенгламанинг ечими нолинчи тартибдаги мав-хум аргументли Ханкел функцияси билан ифодаланади.

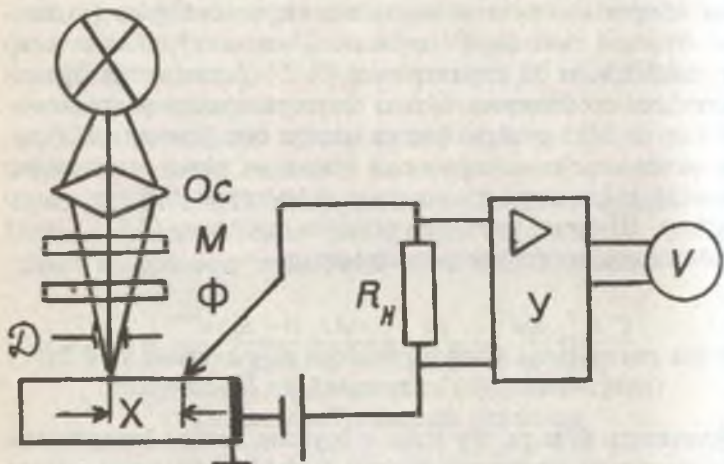
$$\Delta p(r) = \Delta p(0) i H_0'(ir/Z) \quad (4.166)$$

Масалани умумий ҳолда, яъни ёруғлик зонди маълум бир чекли ўлчамларга эга (узунлиги l , эни W) бўлган ҳол деб қаралганда, ҳисоблашларнинг курсатишича, координата r нинг $5w < r < \frac{l}{4}$ оралиғида умумий ечимининг апроқсимиацияси ҳам (4.166) билан ифодаланади. r/L ни катта қийматларида Ханкел функцияси ўша аргументнинг экспоненциал функциясига ўтади. Координата боши ёруғлик зонди билан қўзгалгани учун намуна сиртида $r = x$ деб қараб, қалин $d \gg L$ яримчексиз намуна учун x ни $5w < r < \frac{l}{4}$ оралиқдаги қийматлари учун (4.166) формула

$$\frac{\Delta p(x)}{\Delta p(0)} = \frac{\exp(x/L)}{\sqrt{(x/L)}} \quad (4.167)$$

(4.167) кўринишни олади. Юпқа намуна $d \gg L$ учун эса номувозанат заряд ташувчилар концентрациясининг тақсимоти

$$\Delta p(x) = \Delta p(0) \exp\left(-\frac{x}{z}\right)$$



4.16-расм. Асосий бўлмаган заряд ташувчилар диффузион узунлигини ўлчаш қурилмаси (Вальдес усули): D — диафрагма; K — металл зонд — коллектор контакти; R_H — юклама қаршилиг; Y — кўчайтиргич; V — вольтметр.

бўлади. X нинг ҳар хил қийматларини олиш учун ёруғлик зонди коллектор контактига нисбатан қўзғатилади (силжитилади) ва ўлчаш вақтида ёруғлик зонди тинч ҳолатда туради. Диффузион узунылик L ни ўлчаш қурилмаларидан бирининг чизмаси 4.16-расмда келтирилган. Ёруғлик манбаидан ёруғлик оқими фокусловчи оптик система OC , фильтр Φ , модулятор M , тирқиши диафрагма D орқали намунага тушади. Тирқиши диафрагма D ёрдамида ёруғлик зондининг кенглигини $50 + 500$ мкм оралиқда ўзгартириш мумкин. Интенсивлиги бўйича модуляцияланган ёруғлик чети сектор шаклида қирқылган ёки доира шаклида тешикли дискинайлантириш билан ҳосил қилинади. Модуляцияланган ёруғликни кўллаш катта коллектор тоқидан номувозанат заряд ташувчилар диффузияси туфайли, юзага келган кичик қисм фототокни қайд қилиш имконини беради. Ёруғликнинг импульсли модуляциясида импульснинг давомийлиги, частотаси ҳамда интенсивлиги синусоида бўйича ўзгарувчи ёруғликнинг модуляция частотаси номувозанат заряд ташувчилар концентрациясининг стационарлик шартидан танланади. Импульсли модуляцияда импульснинг давомийлиги t_u кўйидаги тенгсизликни

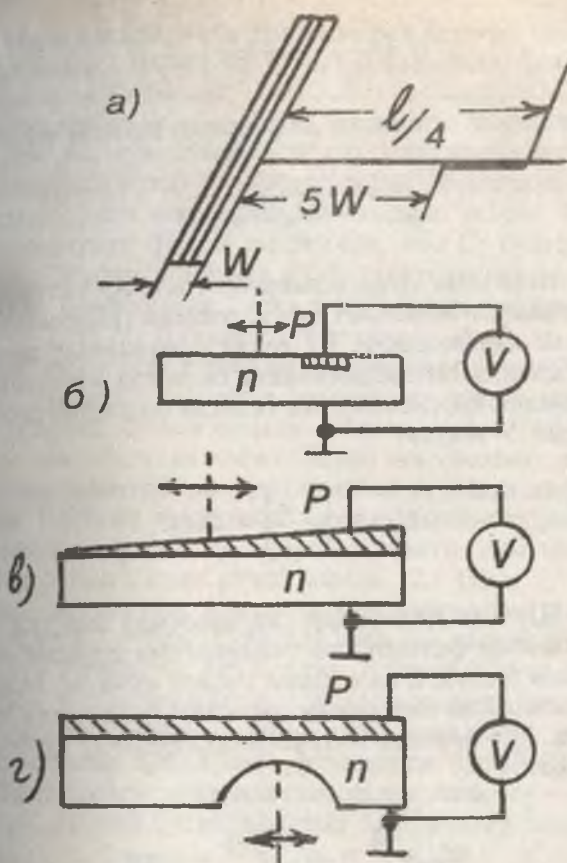
$$t_u \gg \pi r \text{ ва } t_u > \frac{r^2}{4D}; \quad t_u > \frac{r}{(D/r)^{1/2}}$$

қаноатлантириши керак. Ёруғлик оқимининг модуляция частотаси $50 \div 300$ Гц тартибида бўлади. Модуляция частотаси $\frac{1}{t_u}$ га нисбатан анча кичик бўлиши керак. Юқорида таъкидланганига кўра, коллектор контактига тескари йўналишдаги кучланиш қўйилади ва коллектор занжирига уланган юклама қаршилик R_H дан кучланишнинг ўзгарувчан ташкил этувчиси орқали фототок ўлчанади.

R_H дан ўзгарувчан кучланиш тушуби селектив кучайтиргич орқали кучайтирилади ва синхрон детектор ва вольтметр орқали қайд қилинади. Синхрон детекторни кўллаш қурилманинг ўлчаш сезигирлигини оширади. Ярим-ўтказгич намуна кристалл тутгичга қотирилади ва манипулятор (микрометр) билан ёруғлик зондига нисбатан коллектор контактининг ҳолати ўзгартирилади. Металл

зонд намунанинг исталган жойига ўрнатилиши мумкин ва у намуна билан бирга силжийди. Қурилманинг шовқин даражасини камайтириш учун контактнинг турғунынг ошириш учун контактта ток импульси билан ишлов берилади. Ток импульснинг амплитудаси керакли сигнал-шовқин нисбатига эришгунча ошириб борилади. Ўлчанаётган сигнал катталиги шовқин кучланишига яқинлашгунча ёки (4.166) ифодани қуллаш шарти бузилгунча давом этади. Бу усул, асосан германий намуналарида диффузион узунликни ўлчашда қўлланилган, чунки германийда L анча катта, бундан ташқари, қисиладиган металл зонд билан потенциал тўсиқли контактни олиш нисбатан енгил. Бу усулни кремний намуналарида сирт рекомбинация катта, шовқин даражаси юқори, коллектор контактида ВАХни ноизизий бўлиши, сирт яқинида инверсион қатлам (хосил) вужудга келиши туфайли кремнийда L ни ўлчашда кенг қўлланилмаган. L ни ўлчашда иложи борича сирт рекомбинацияни ҳар хил ишловлар билан камайтириш керак. Масалан, германийни $M10$ ва $M14$ сайқалловчи кукунларда сайқаллаш ва 30% ли H_2O_2 (водород пероксидида) кимёвий ишлов бериш тавсия этилади. Агар n -тип германийда ўлчаш ўтказиладиган бўлса, вольфрам зонди p -типпда эса кумуш қотишмасининг зонди ишлатилади. Бу усул асосий бўлмаган заряд ташувчилар диффузион узунлигини 0,1 дан то бир неча миллиметргача бўлган оралиқда 15—20% хатолик билан ўлчашга имкон беради. Тор зонали яримутказгич бирималари A_3B , да кичик диффузион узунликларни ўлчаш учун планар технология билан олинган $p-n$ ўтишли ёки шоттки тўсиқли намуналар тайёрланади. Қўзғалувчан зонд усулiga 4.17 б, в, г-расмда келтирилган ҳолларни ҳам кўрсатиш мумкин. Бу ҳолда асосий бўлмаган заряд ташувчилар коллектори вазифасини $p-n$ ўтиш ўтайди. Ёруғлик зонди бир томонга нишаб ёки шар шлифлари бўйича қўзғатилади. Бу усулларда заряд ташувчиларнинг $p-n$ ўтишини йиғиш коэффициенти

$$Q_n + Q_p = \frac{I_{\text{кат}}}{(I_{\text{кат}})_{\text{max}}}$$



4.17-расм. Диффузион узунликни күзгалувчан ёруғлиқ (электрон) зонди билан үлчаш усуллари: а) Вальдес усули билан үлчаш соҳаси; б) p - n ўтишни; в) нишаб сферик сиртларни қўллаш усуллари.

диффузион узунликка, ёруғликни ютиш коэффициентига ва S/D нисбатга боғлиқ. Назарий ҳисоблашларнинг курсатишича, шлиф сиртидан то p - n ўтишгача бўлган етарлича катта (диффузион узунлик L га нисбатан) масофа $x > x_{kp}$ да $x_{kp}\alpha > 1$, $x_{kp} > L_p$ ва $\alpha L > 1$ тенгсизлик ўринли соҳада йиғиш коэффициенти $\exp\left(-\frac{x}{L}\right)$ ҳад билан аниқланади.

$$Q = \frac{I_{\text{kr}}}{(I_{\text{kr}})_{\max}} \sim \exp\left(-\frac{x}{Z}\right)$$

боғланишнинг оғишидан диффузион узунликни

$$L = \frac{\Delta X}{\ln(I_{\text{kr}}/(I_{\text{kr}})_{\max})}$$

орқали топилади. Агар коллектор токи Δp катталик билан начизифий боғланган бўлса, доимий (ўзгармас) фототок усули қўлланилади. Бу ҳолда номувозанат заряд ташувчиларнинг генерацияланиш соҳасида концентрация $\Delta p(0)$ ёруғлик интенсивлигига чизиқли боғланган деб фараз қилинади. У вақтда

$$AI_{0\nu} \exp\left(-\frac{x}{Z}\right) = \text{const}$$

бўлади. Шундай қилиб, ҳар хил масофада бир хил ўзгармас коллектор фототокини таъминловчи ёруғлик интенсивлигини билиб, L ва τ ларни топиш мумкин. Масалан, иккита масофада бир хил фотосигналларни ҳосил қилувчи $I_{0\nu 1}$ ва $I_{0\nu 2}$ ёруғлик интенсивликларининг қийматини билган ҳолда

$$AI_{0\nu 1} e^{-\frac{x_1}{Z}} = AI_{0\nu 2} e^{-\frac{x_2}{Z}} = \text{const} \quad (4.173)$$

ифодадан диффузион узунлик $L = \frac{X_2 - X_1}{\Delta \ln\left(\frac{I_{0\nu 1}}{I_{0\nu 2}}\right)}$ билан топи-

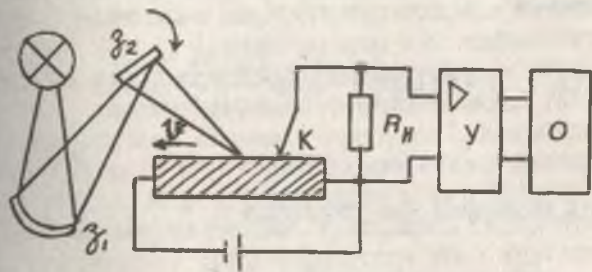
лади. Δp ёки $\ln I_{0\nu}$ ларни x га боғланишининг оғишидан L ни бу усул билан аниқлашда ҳеч қандай қўшимча параметрларни билиш талаб этилмайди. τ ни аниқлаш учун D ни билиш талаб қилинади. Амалиётда ёруғлик зондининг қўзғалувчан усули билан диффузион узунликни $L > 50$ мкм соҳада ўлчаш мумкин. Диффузия коэффициенти $D = 40$ см²/с n -тип кремнийда, яшаш вақтининг $\tau = 10^{-6}$ сек қий-

мати түғри келади. Кейинги йилларда ёруғлик манбаи сифатида лазер нурларидан фойдаланилмоқда, фокусловчи оптик тизим сифатида микроскоп (масалан, МБИ-11) құлланилади.

б. Ёруғлик нури (зонди)нинг ҳаракатланувчи усули

Яримұтқазгичлар параметрларини үлчашнинг бу усулни намуна ясси сирти бўйлаб ўзгармас тезлик V билан ҳаракатланувчи фотон энергияси $\hbar\omega \geq Eg$ бўлган узун, ингичка ёруғлик (зонди) нури генерациялаган асосий бўлмаган номувозанат заряд ташувчиларнинг тақсимоти $\Delta p(x, y, z, t)$ ни ўрганишга асосланган. $\Delta p(x, y, z, t)$ ни тескари кучланиш берилган, тўғриловчи яримұтқазгич-металл нуқтавий контакти (зонди) ёки кичик юзали $p-n$ ўтиш, шоттки тўсиғи орқали қайд қилинади (4.18-расм).

Ёруғлик зондидан ҳосил бўлган номувозанат заряд ташувчилар намунанинг ёритилмаган қисмига диффузияланади. Ёруғлик зондининг ҳаракатланиши туфайли, заряд ташувчиларнинг фазодаги тақсимоти намуна бўйлаб ёруғлик зонди билан кўчиб юради. $\Delta p(x, y, z, t)$ нинг назарий ифодасини аниқлашда яримұтқазгич намунаси n -тип бўлсин, унинг бўйи (a), эни (b) қалинлиги d дан катта $a > b \gg d$ бўлсин, деб оламиз. У ҳолда намуна ён сиртларида рекомбинация ҳисобга олинмайди ва номувозанат заряд ташувчилар концентрацияси фақат иккى x , z координаталар ҳамда вакът функцияси бўлади. Намуна нинг ёритилмаган соҳасида генерация тезлиги $g = 0$ бўлгани учун, асосий бўлмаган заряд ташувчилар концентра-



4.18-расм. Номувозанат заряд ташувчилар параметрларини ҳаракатланувчан ёруғлик зонди усали билан үлчаш қурилмасиннинг схемаси.

циясининг намуна қоронғи қисмидаги тақсимоти Δp (x , z , t)

$$\frac{\partial \Delta p}{\partial t} = D_p \operatorname{div}(\operatorname{grad} \Delta p) - \frac{\Delta p}{\tau_p} \quad (4.174)$$

узяуксизлик тенгламанинг

$$\begin{aligned} D_p \left. \frac{\partial \Delta p}{\partial z} \right|_{z=0} &= -S \Delta p \\ D_p \left. \frac{\partial \Delta p}{\partial z} \right|_{z=d} &= S \Delta p(d) \end{aligned} \quad (4.175)$$

чегаравий шартларни қаноатлантирувчи ечими орқали топилади. Ёргулук зонди билан бирга ҳаракатланувчи координата системасида

$$\begin{aligned} \xi &= x + vt \\ \eta &= z \end{aligned} \quad (4.176)$$

номувозанат заряд ташувчиларнинг тақсимоти вақтга боғлиқ бўлмайди, яъни стационар бўлади. (4.174) тенглама янги координата системасида ўзгарувчанларни ажратиш усули орқали ечилади, сўнг қўзғалмас координата системасига ўтилади. (4.174) тенгламанинг қўзғалмас координата системасида ёргулук нурининг ўнг томонидаги ечими

$$\Delta p(x, z, t) = C_1 \exp\left(-\frac{x}{l_1}\right) \exp\left(\frac{vt}{l_1}\right) \left(\frac{S_1}{D_4} \sin \alpha_1 z + \cos \alpha_1 z \right) \quad (4.177)$$

ёргулук нурининг чап томонида

$$\Delta p(x, z, t) = C_2 \exp\left(-\frac{x}{l_2}\right) \exp\left(\frac{vt}{l_2}\right) \left(\frac{S_2}{D\alpha_2} \sin \alpha_2 z + \cos \alpha_2 z \right) \quad (4.178)$$

күринишида бўлади. C_1 , C_2 — интеграллаш доимийлари

$$I_1 = \left\{ \left[\left(\frac{v}{2D_p} \right)^2 + L_{a1}^{-2} \right]^{\frac{1}{2}} + \frac{v}{2D_p} \right\}^{-1} \quad (4.179)$$

$$I_2 = \left\{ \left[\left(\frac{v}{2D_p} \right)^2 + L_{a1}^{-2} \right]^{\frac{1}{2}} - \frac{v}{2D_p} \right\}^{-1}$$

$$I_1 \cdot I_2 = L_{a1}^{-2}$$

Z_{a_1} ва α_1 катталиклар

$$\frac{1}{D_p \tau_p} = \frac{1}{L_p^2} = Z_{a1}^{-2} - \alpha_1^2 \quad (4.180)$$

ифода билан боғланган. Интеграллаш доимийларини то-пишда (4.175) чегаравий шартларни қўллаш

$$\left(D_p \alpha + \frac{S^2}{D_p \alpha} \right) \operatorname{tg} \alpha d = 2S \quad (4.181)$$

кўринишдаги трансдент тенгламага олиб келади. Бу трансдент тенглама α нинг кўп илдизлари α_1 га эга, бунга мос келган L_{a1} , I_1 , I_2 ларнинг ҳам кўп қийматлари мос келади. Бу тенглама илдизларининг таҳлили кўрсатишича, I_{1n} ва I_{2n} ларнинг қиймати n -ортиши билан тез камай-иб (боради) кетади. Шунинг учун I_{12} ва I_{22} дан катта масо-фада (4.177) ва (4.178) кўринишдаги ечими ўринли бўла-ди. Ҳақиқатда, агар ёруғлик нури x ўқи бўйича чапдан ўнгта кўчса, намуна сиртига жойлашган бирор нуқтадаги заряд ташувчилар концентрацияси унга ёруғлик нури яқинлашиши билан ортади. Бу ўзгариш (4.177) дан кўри-надики, вақт доимийиси $\frac{I_1}{v}$ бўлган экспонента қонуни билан содир бўлади. Ёруғлик нури у нуқтадан ўтиб кети-

ши билан заряд ташувчиларнинг концентрацияси вақт бўйича камая бошлайди. Δp нинг камайиши вақт доимийси $\frac{l_1}{v}$ бўлган экспонента қонуни билан бўлади. Агар ўлчаш зондини, яъни коллектор контактини намунанинг координаталари x_1, z_1 бўлган нуқтасига жойлашган деб қарасак, номувозанат заряд ташувчиларнинг шу нуқтадаги ҳаракатланувчи ёруғлик зонди ҳосил қўлган концентрациясининг вақт бўйича ўзгаришини (4.178) ва (4.179) ларга кўра

$$\Delta p(x, z, t) = \text{const} \cdot \exp\left(\frac{v}{l_1} t\right) \quad (4.182)$$

$$\Delta p(x, z, t) = \text{const} \cdot \exp\left(\frac{v}{l_2} t\right) \quad (4.183)$$

куринишдаги формулалар билан ифодалаш мумкин. Шундай қилиб, намуна сирти бўйлаб U тезлик билан ҳаракатланувчи ёруғлик зонди (нури) координатаси (x, y, o) бўлган нуқтага жойлашган коллектор контактига яқинлашганда Δp га пропорционал равишда фототок ёки фото ЭДС (юклама қаршиликка тушган ўзгарувчан кучланиш) орта боради, контактга етиб келганда максимумгага эришади ва ундан ўтгандан сўнг камая боради. Демак, бу фотосигналнинг вақт бўйича ўзгариши муайян белгиланган нуқтадаги заряд ташувчилар концентрациясининг вақт бўйича ўзгариш қонуниятини кўрсатади. Ёруғлик нури тезлиги v ни билган ҳолда фотосигналнинг вақтга боғланишидан l_1 ва l_2 топилади ва улар орқали диффузия коэффициенти

$$D_p = \frac{l_1 l_2}{l_1 - l_2} v \quad (4.184)$$

формула билан ҳисоблаб топилади. Сирт рекомбинация ва диффузион узунликни аниқлаш учун сирт рекомбинацияси тезликлари бир хил бўлган икки хил қалинликдаги намуналарда ўлчаш ўтказилади ва ҳар бир намуна учун l_1 ва l_2 топилади ва D_p ни билган ҳолда

$$\begin{aligned} \left(D_p \alpha_1 - \frac{S^2}{D_p \alpha_1} \right) \operatorname{tg} \alpha_1 d = 2S \\ \left(D_p \alpha_2 - \frac{S^2}{D_p \alpha_2} \right) \operatorname{tg} \alpha_2 d_2 = 2S \end{aligned} \quad (4.185)$$

трансдент тенгламалар системасидан биринчи илдизлари α_1 ва α_2 ҳамда S топилади. a_1 ва α_2 , l_1 ва l_2 ларни билган ҳолда

$$\begin{aligned} \frac{1}{L_p^2} &= \frac{1}{l_1 l_2} + \alpha_1^2 \\ \frac{1}{L_p^2} &= \frac{1}{l_1 l_2} + \alpha_2^2 \end{aligned} \quad (4.186)$$

ифодалар орқали диффузион узунлик L_p ҳисобланади. Сирт рекомбинацияси тезлиги кичик $S \ll D_p \alpha_1$, бўлганда, $\operatorname{tg} \alpha_1 \approx \alpha_1 d_1$ бўлади ва сирт рекомбинацияси тезлиги

$$S = \frac{D_p}{2} \frac{d_1 d_2}{d_1 - d_2} (L \alpha_2^{-2} - L \alpha_1^{-2}) \quad (4.187)$$

дан ҳисобланади. Топилган S бўйича диффузион узунлик

$$\begin{aligned} L_p &= \left(\frac{L_{\alpha_1}^2 D_p d_1}{D_p d_1 - 2 S L_{\alpha_1}^2} \right)^{\frac{1}{2}} \\ L_p &= \left(\frac{L_{\alpha_2}^2 D_p d_2}{D_p d_2 - 2 S L_{\alpha_2}^2} \right)^{\frac{1}{2}} \end{aligned} \quad (4.188)$$

бўйича ҳисобланади. D_p ва L_p ларни билган ҳолда заряд ташувчиларнинг яшаш вақти

$$\tau = L_p^2 D_p^{-1} \quad (4.189)$$

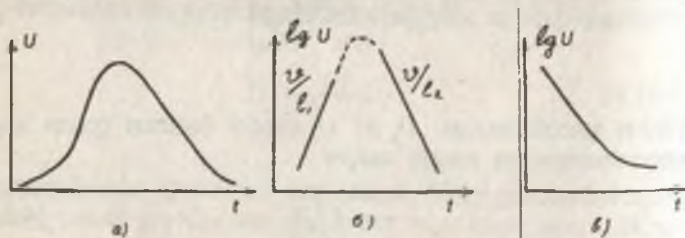
билин, биқутбий диффузион ҳаракатчанлик Эйнштейн муносабатидан

$$\mu = D \frac{e}{kT} \quad (4.190)$$

топилади. Агар сирт рекомбинациясини эътиборга олмаслик мумкин бўлса, масаланинг ечими соддалашади. Ҳақиқатда $S = 0$ да чегаравий шартлар (4.175) дан фойдаланишга ҳожат қолмайди ва масала бир ўлчамли бўлади. Трансдент тенглама ечими $\alpha_1 = 0$ бўлади. У вақтда диффузион узунылик

$$L_p = (l_1 l_2)^K \quad (4.191)$$

билин, диффузия коэффициенти (4.184) билан, заряд ташувчиларнинг яшаш вақти $\tau = \frac{l_1 - l_2}{w}$ формулалар билан ҳисобланади. Ёруғлик нурининг ҳаракатланувчи усули билан номувозанат заряд ташувчилар параметрларини ўлчаш қурилмасининг чизмаси 4.19 а, б-расмда келтирилган. Монохроматик ёруғлик оқими S_1 ва S_2 кўзгулар, тирқишли диафрагма D ёрдамида намуна сиртига йуналтирилади. Ёруғлик оқимининг кенглиги 10^{-2} дан то 1 мм гача ўзгаради. Ёруғлик нурининг намуна сирти бўйлаб ҳаракати айланувчи кўзгудан ёруғликнинг қайтиши орқали пайдо қилинади. Коллектор токига пропорционал бўлган кучланиш юклама қаршилик R_u дан кучайтиргич U га ва осциллографга берилади. Осциллограмма ўлчаш зондини контактланиш нуқтасидаги заряд ташувчиларнинг вақт бўйича (4.182) ва (4.183) ифодалар билан аниқланадиган тақсимотини кўрсатади. Осциллограммадан $\ln V_k = f(t)$ боғ-



4.19-расм. Коллектор фото ЭЮК нинг чизиқли (a) яримлогарифмик (б, в) масштаблардаги осциллограммаси.

даниш чизилади ва унинг тўғри чизиқли боғланиш соҳа-
сидан $\frac{V}{l_1}$ ва $\frac{V}{l_2}$ лар, ёруғлик нуридан ўнгда

$$\frac{\Delta \ln U_k}{\Delta t} = \frac{\Delta \ln \Delta \varphi}{\Delta t} = \frac{V}{l_1}$$

ва ёруғлик нуридан чапда

$$\frac{\Delta \ln V_k}{\Delta t} = \frac{V}{l_2}$$

экспонентанинг вақт доимийлари топилади. Намуна сирти бўйлаб ҳаракатланувчи ёруғлик зондининг тезлиги V ни аниқлаш учун биринчи коллектор зондидан қандайдир масофа, иккинчи коллектор зонд ўрнатилади. Икки зонд орасидаги масофани ёруғлик зонди босиб ўтган вақтга нисбати V ни беради. Бу усул олдин германий, кейинчалик кремний, индий, суръма (*InSb*) ва бошқа яримтказгич намуналарининг параметрларини ўлчашда қўлланилган. Ўлчаш давомида индий, суръма ва германий намуналарида ёпишиш марказларининг таъсири кучлироқ намоён бўлган. Бу марказлар томонидан эркин заряд ташувчиларнинг тутилиши осциллограмманинг горизонтал ўқ билан бироз чўзилишига ва ниҳоят экспонента вақт доимийсининг ошишига олиб келган. Шунинг учун осциллограмманинг бу соҳасига температура ўзгаришининг ва кучсиз ёритишнинг таъсири кўрсатилган. Юқорида муҳокама қилинган ёруғлик зондининг кўзгалувчан, ҳаракатланувчи усулларидағи ёруғлик зондининг ўрнига электрон зондини қўллаш орқали диффузион узунлиги кичик бўлган A_3B_5 ва A_2B_6 яримтказгич бирикмаларини текшириш ва уларда диффузион узунликни ўлчаш имкони туттилди.

Диффузион узунликни электрон зонди усули билан ўлчашда, одатда намунанинг электрон зондига тик ёки параллел сиртларида планер технология билан кичик юзали $p-n$ ўтиш ёки шоттки түсиги олинган структуралар қўлланилади.

Электрон концентрацияси 10^{17} см^{-3} бўлган *n*-тип *CdTe* да заряд ташувчилар диффузион узунлигини ўлчаш учун

намуна сиртига шоттки түсифи олинган ва шоттки түсифидан $0,1 \div 14$ мкм масофада энергияси $5 : 25$ кэВ бўлган электрон нури билан асосий бўлмаган заряд ташувчилар (кавак) йўғотилган. Шоттки түсифига $0,1$ В дан ортиқ бўлмаган кучланиш уланган. Бу диффузион узунликни $0,4 \div 3$ мкм оралиқда ўлчаш имконини беради. Электрон зонди усулининг кенг қулланишини чекловчи бир неча омиллари мавжуд бўлиб, улардан муҳимлари сифатида куйидагиларни кўрсатиш мумкин:

1. Электрон зонди билан номувозанат асосий бўлмаган заряд ташувчилар генерацияланиш соҳаси энининг чекли бўлиши. Электронни $5 \div 30$ кВ кучланиш билан тезлантирилганда заряд ташувчилар генерацияланиш соҳаси $0,1$ дан то $2,1$ мкм гача ўзгарган. Электрон зонди усули, ёруғлик зонди усули каби, $x > L$ да яхши натижалар беради. Бу шартни юпқа эпитаксиал қатламларда қаноатлантириш қийин, шунинг учун бу ҳолда электрон зондининг қўзгалувчан усули қўлланилмайди.

2. Кенг тақиқланган зонали яrimутказгичларни, масалан, кремнийни сирт соҳасида маълум бир шароитда камбагаллашган ёки инверсион қатламнинг Ѹосил бўлиши. Бу ҳолда ҳажмий заряд соҳасининг электр майдони ва $p-n$ ўтишга, шоттки түсифига уланган ташқи майдон сирт бўйича тарқалиши мумкин ва асосий бўлмаган заряд ташувчиларнинг дрейф ташкил этувчисини юзага келтиради, нағижада ўлчанаётган диффузион узунликнинг ортишига олиб келади. Бундан ташқари, $p-n$ ўтишнинг йиғувчи юзасининг ортишига ва, ниҳоят ҳисоблашда хатоликнинг ошишига олиб келади. Атроф мухитни ўзгартириб, сиртий потенциални бошқариш орқали бу чекловчи омилнинг тасирини йўқотиш мумкин. Намуна сиртида “яssi зона” ёки заряд ташувчилар билан кучсиз бойиган режими амалга оширилиши мақсадга мувофиқ бўлади.

3. Рекомбинацион нурланиш кучли намоён бўладиган тўғри зонали яrimутказгичларда асосий бўлмаган заряд ташувчиларнинг коллектори яқинида рекомбинацион нурланиш фотонининг қайта ютилиши.

Бу бир неча диффузион узунликдаги (бирламчи асосий бўлмаган заряд ташувчилар томонидан) юзага келган кичик коллектор сигналидан аниқланадиган диффузион узунлик қийматининг ортишига олиб келади (4.19в-расм).

Кўзғалувчан, ҳаракатланувчи электрон зондини олишда растрли электрон микроскопнинг исталган типи ишлатилиши мумкин.

4.8-§. *P-n* ўтишнинг ва Шоттки тўсифининг қисқа туташув фототокини ўлчашга асосланган диффузион узунликни аниқлаш усули

Бу усул билан олдин *p-n* ўтиш (эпитаксиал структура)-нинг таркибий қисми бўлмиш эпитаксиал қатламда заряд ташувчиларнинг диффузион узунлигини ўлчашни кўрайлик.

Аниқлик киритиш учун *n*-типдаги тагликка қалинлиги *W* бўлган *p*-типдаги эпитаксиал қатlam ўстирилган ва намунани эпитаксиал қатlam томонидан $x=0$ текислиги фотон энергияси $\hbar\omega \geq Eg$ бўлган ёруғлик оқими билан ёритилган бўлсин деб олайлик. Умуман олганда, ёруғлик оқими эпитаксиал қатламда, *p-n* ўтишнинг ҳажмий заряд соҳасида, тагликда номувозанат электрон-кавак жуфтларини генерациялайди ва фототокка ҳар бир соҳадаги номувозанат асосий бўлмаган заряд ташувчилар ўз ҳиссаларини кўшадилар. Шунинг учун *p*-тип эпитаксиал қатлам учун асосий бўлмаган номувозанат заряд ташувчилар (электрон) концентрациясининг тақсимоти Δn ни ва у билан боғлиқ фототок ифодасини таҳлил қиласайлик. *P*-тип эпитаксиал қатламда рекомбинацион нурланишни ва уни қайта намунада ютилишини ҳисобга олмагандан, номувозанат электроннинг концентрацияси $a > b \gg w$ да бир ўлчамли

$$D_n \frac{d^2 \Delta n}{dx^2} - \frac{\Delta n}{en} + g_0 e^{-\alpha x} = 0$$

Узлуксизлик тенгламанинг

$$D_n \left. \frac{d \Delta n}{dt} \right|_{x=0} = S \Delta n(0)$$

$$D_n \left. \frac{d \Delta n}{dx} \right|_{x=d} = 0$$

чегаравий шартларини қаноатлантирувчи ечими орқали топилади. Бу ҳолда қисқа туташув фототоки фақат p -тип эпитаксиал қатламда генерацияланган асосий бўлмаган заряд ташувчилар бўлмиш электроннинг диффузион ток зичлиги

$$j_{k,T} = eD_n \frac{d\Delta n}{dx} \Big|_{x=w} \quad (4.193)$$

билин аниқлашини курамиз. Ҳисоблашларнинг курсатишича, $j_{k,T}$ нинг ифодаси

$$j_{k,T} = \frac{eg_0 L_n}{\alpha^2 L_n^2 - 1} \left\{ - \frac{(S + \alpha D_n) \operatorname{sech}(w/L_n)}{L_n + \operatorname{sth} \frac{w}{L_n}} + \right. \\ \left. + \left[\alpha Z_n \frac{S + L_n(\tau_n) \operatorname{th}(w/L_n)}{(L_n/\tau_n + S \operatorname{th} w/L_n)} \right] e^{-\alpha w} \right\} \quad (4.194)$$

кўринишни олади. Агар эпитаксиал қатлам қалинлиги етарлича катта, ёруғлик кучли ютилсин, сирт рекомбинацияси тезлиги кичик бўлсин деб фараз қилсак, яъни

$$\alpha w > 3 \quad (4.195a)$$

$$\alpha Z_n > 3 \quad (4.195b)$$

$$S=0 \quad (4.195c)$$

да шартлар ўринли бўлади. (4.194) ифоданинг иккинчи ҳадини ташлаб юбориш мумкин. У вақтда (4.194) соддлашади ва $j_{k,T}$ нинг ифодаси

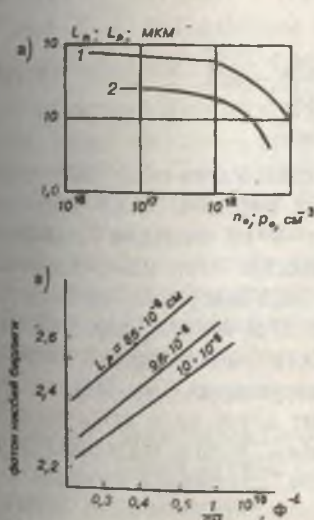
$$j_{k,T} = \frac{e(1-R_v)}{hv} \operatorname{sech} \left(\frac{w}{L_n} \right) \quad (4.196)$$

кўринишга келади. (4.195 а, б, в) шартларни арсенид-галлий эпитаксиал қатлам мисолида баҳолаб кўрайлик. Эпитаксиал қатлам гелий-неон лазер нури $hw = 1,96 \text{эВ}$ ($\lambda = 0,6328 \text{ мкм}$) билан ёритилган бўлсин. Ёруғликнинг бу тўлқин узунлигидаги хусусий ютилиш коэффициенти $\alpha = 4,4 \cdot 10^4 \text{ см}^{-1}$ бўлади. (4.194a) шартни қаноатлантирувчи эпитаксиал

қатлам қалинлиги $1 \div 10$ мкм, (4.195б) шартни қаноатлантирувчи заряд ташувчилар диффузион узунлиги $L > 1$ мкм бўлиши керак. Агар (4.195б) шарт бузилиб, $L < 1$ мкм, $\alpha L < 3$ бўлганда $j_{k,r}$ қисқа туташув фототоки (4.194) дан

$$j_{k,r} = \frac{eI_{0v}(1-R_v)}{hv} \frac{\alpha^2 L_n^2}{\alpha^2 L_n^2 - 1} \operatorname{sech}\left(\frac{w}{L_n}\right) \quad (4.197)$$

ифода билан аниқланишини кўрамиз. Суюқлик эпитаксия технологияси билан ўстирилган, қалинлиги $1 \div 10$ мкм оралиқда бўлган GaAs эпитаксиал қатламда L_n ни ўлчашнатижалари, унинг заряд ташувчилар концентрациясига боғлиқлигини кўрсатди. Асосий заряд ташувчилар концентрациясининг $P_0 = (10^{16} : 10^{19}) \text{ см}^{-3}$ оралиғида $Z = 0,1$ дан то 1 мкм гача ўзгарган (4.20а-расм). Сирт рекомбинацияси тезлигини камайтириш мақсадида одатда эпитаксиал қатлам устига шу типидаги GaAlAs қатлам ўстирилади. Тажрибадан аниқланган L_n қийматлари учун (4.194) му-



4.20-расм. а) GaAs эпитаксиал қатламида электрон-ковак диффузион узунликларининг асосий заряд ташувчилар концентрациясига боғланиши. 1 — германий билан легирланган p — GaAs учун, 2 — қалай билан легирланган n — GaAs учун.
б) GaAs ли p - n ўтиш қисқа туташув фототокининг p -қатлам қалинлигини боғланиши. 1 — $p = 1 \cdot 10^{19} \text{ см}^{-3}$, $L_p = 5,5 \text{ мкм}$; 2 — $p = 6,0 \cdot 10^{16} \text{ см}^{-3}$, $L_n = 200 \text{ мкм}$; в) Шоттки диоди фототокининг тескари сигимига боғланиши.

носабатнинг таҳлили шуни кўрсатадики, (4.195a) ва (4.195b) тенгсизликлар сирт рекомбинациясининг $S < 10^4 \text{ см}/\text{с}$ қийматларида ўринли бўлар экан. Бундан (4.195b) шартни $S < 10^4 \text{ см}/\text{с}$ билан алмаштириш мумкинлиги кўрсатилган. Тажрибадан L_n ни аниқлашда $p-n$ ўтишнинг юзаси $5 \cdot 10^{-4} \text{ см}^2$, юклама қаршилик 1 Ом бўлган ёруғлик манбай сифатида гелий-неон лазери қўлланилган. L_n ни аниқлашда қисқа туташув фототок ўлчашдан ташқари, ёруғлик интенсивлигини, ёруғликни намунадан қайтиш коэффициентини билиш лозим. Эпитаксиал қатлам қалинлиги шар ёки қия (нишаб) шлиф усули билан ёки тўғридан-тўғри растрли электрон микроскоп билан аниқланиши мумкин.

Диффузион узунлик $p-n$ ўтиш қисқа туташув фототокининг эпитаксиал қатлам қалинлигига боғлиқлигидан ҳам аниқланиши мумкин.

$\alpha w > 1$ ва $\alpha L_n > 1$ да $p-n$ ўтиш қисқа туташув фототоки (4.197) дан

$$j_{\text{к.т.}} \sim [e^{w/L_n} - \kappa e^{-w/L_n}]^{-1} \quad (4.198)$$

бўлади. Бунда коэффициент:

$$\kappa = \frac{(S/D_n - 1/L_n)}{(S/D_n + 1/L_n)} < 1 \quad (4.199)$$

Қалинлиги диффузион узунликдан катта $w > L_n$ эпитаксиал қатламлар учун (4.198) нинг биринчи ҳади устунлик қиласи. Шунинг учун $j_{\text{к.т.}}$ нинг W га чизиқли боғланиш графигидан L_n ни ҳисоблаш мумкин. Агар намуна қалинлиги диффузион узунлик тартибида ёки ундан кичик $w \leq L_n$ бўлса, қисқа туташув фототоки S/D_n ва $1/Z_n$ ларга боғлиқ бўлади. Бу ҳолда тажрибадан аниқланган ҳамда назарий ҳисобланган $j_{\text{к.т.}}(w)$ боғланишларининг бир-бирига мос тушиш шартидан коэффициент κ -ни ва у орқали S/D_n аниқланади. D_n нинг қийматини p -тип материалларда электрон ҳаракатчанлиги орқали боғланиши мумкин. Бунинг учун p -типдаги электрон ҳаракатчанлиги, шундай концентрациядаги заряд ташувчиларга эга бўлган n -типдаги электрон ҳаракатчанлигига тенг деб қаралади. Энди

p - n ўтишда ва шоттки түсифида ҳажмий заряд соҳасининг кенглиги диффузион узунлиги L_n тартибида бўлган ярим-ұтказгичлар учун L_n ни аниқлашни кўрайлик. Юқори Омли намуналарда олинган $p^+ - n$, ёки $n^+ - p$ ўтишлар ёки шоттки түсиқларидир. Бу структураларнинг фотозеффект на-зариясига кўра қисқа туташув фототоки

$$j_{\text{к.т}} \sim \frac{\alpha(w + L_n)}{(1 + \alpha L_n)} = f(\alpha, w, L_n) \quad (4.200)$$

булади. Бу ифодани қўллаб, L_n ни тажрибадан аниқлаш асосида қисқа туташув фототокининг ҳажмий заряд соҳаси кенглигига боғлиқлиги ётади. Маълумки, потенциал түсиқли структураларда ҳажмий заряд соҳасининг кенглиги унга қўйилган кучланишга боғлиқ. P - n ўтишни ҳажмий заряд соҳа кенглигининг кучланиш билан ўзгариши ўз навбатида потенциал түсиқ сифимининг ўзгаришига олиб келади. Бундан p - n ўтиш ва Шоттки түсиқлари қисқа туташув фототокларининг ҳажмий заряд соҳаси қалинлигига қараб ўзгаришини потенциал түсиқнинг сифим ўзгариши орқали ифодалаш мумкинлиги кўринади. Түсиқ сифимининг ҳажмий заряд соҳаси кенглиги W билан $C(u) = \frac{\epsilon_0 \epsilon}{w} A$ боғланишда бўлишлигини назарда тутсак, (4.198) ифодани $\frac{\epsilon \epsilon_0 A}{C(u)}$ билан тўғри чизиқли боғланишда бўлишлигини кўрамиз. Бу ерда A - p - n ўтиш ёки Шоттки түсиқининг юзаси ϵ — ярим-ұтказгичнинг диэлектрик синг-дирувчанилиги $C(u)$ ҳар хил кучланишдаги түсиқ сифими.

Шундай қилиб, p - n ўтиш ва шоттки түсиқларининг қисқа туташув фототоки орқали диффузион узунликни аниқлашнинг иккинчи усулида уларга қўйилган ҳар хил кучланишларда бир вақтда бир хил интенсивликдаги ёруғлик билан ёритишдан ҳосил бўлган қисқа туташув фототокининг сўниш сифими ўлчанади ва ўлчанганди $j_{\text{к.т}}$ нинг $\frac{\epsilon_0 \epsilon}{C(u)} A$ га боғланиши чизилади. (4.20 в-расм). Бу боғланишнинг тўғри чизиқли соҳасини абсцисса ўқи билан кесишгунча давом эттириб, у кесма узунлигидан диффузион узунлик топилади $L_n = \frac{\epsilon \epsilon_0 A}{C(u)}$. Бундай ўлчашни ұтказиша ёруғликнинг $\alpha w < 1$ тенгсизлик ўринли бўлган спектрал соҳаси танланади. Бундан ташқари, заряд та-

шувчилар яшаш вақти ҳажмий заряд соқасининг дрейф вақтидан катта булиши кераклиги кўрсатилган. GaP учун $t_{dr} = 10^{-12}$ С. Сигим $C(u)$ намуна ёритилган ҳолатда 1 МГ частотада ўлчанган. Юқорида изоҳланганлардан қўрина-дики, бу усул эпитетаксиал қатламларда номувозанат асо-сий бўлмаган заряд ташувчиларнинг кичик диффузион узунлигини ўлчаш мумкин. Ҳамда ҳар хил шароитда ҳар хил қалинликда ўтказилган тажриба натижалари диффу-зия коэффициентини, сирт рекомбинацияси тезлигини, заряд ташувчилар яшаш вақтини аниқлашга имкон бе-ради.

ЧУҚУР САТҲЛИ МАРКАЗЛАР ПАРАМЕТРЛАРИНИ ҮЛЧАШ УСУЛЛАРИ

5.1-§. Чуқур сатҳли марказларнинг параметрлари

Яримұтқазгич материаларининг тақиқланган зоналарда чуқур энергия сатҳларини ҳосил қыладиган кристалл панжара нүқсонлари чуқур сатҳли марказ (тутқичлар) деб үритеилади. Бу нүқсонларга киришма атомларни, радиацион нүқсонларни, термик ишлов жараёнларида пайдо бўлган термик нүқсонларни курсатиш мумкин. Чуқур сатҳли марказлар рекомбинация марказлари ёки тутқич марказлари каби бўладилар. Биринчи ҳолда чуқур сатҳлар заряд ташувчиларнинг яшаш вақтини, диффузион узунлигини камайишига олиб келади ва яримұтқазгич асбобларининг характеристикаларига кучли таъсир кўрсатади. Чуқур сатҳ (ЧС) лар рекомбинацион марказлар сифатида лазер ва ёруғлик (свето) диодларининг нурланиш интенсивлигини камайтиради. Чуқур сатҳли марказлар тутқич марказлари сифатида заряд тўпланишига таъсир қилиши мумкин. Назорат остида киритилган чуқур сатҳли марказ (ЧСМ)лар бир қанча ҳолларда яримұтқазгичларда керакли хусусиятлар ҳосил қилиши мумкин. Масалан, арсенидгаллий ($GaAs$) га киритилган хром киришма атоми юқори Ом ли (қаршилиги катта бўлган) намуналар олишга имкон беради. Кремнийни тилла (Au), платина (Pt) киришма атомлари билан легирлаб, заряд ташувчилар яшаш вақтини бир неча тартибга камайтиришга эршилди ва у намуналар асосида саноатда тезкор импульслари диод ва триисторлар ишлаб чиқариш йўлга қўйилди. Демак, яримұтқазгичларда ЧСМлар мақбул ва номақбул ҳодисаларни содир қилас экан. Шунинг учун чуқур сатҳлар хоссаларини ўрганиш, технологик жараёнларда пайдо бўлишилигини назорат қилиш, улар табиатини аниқлаш яримұтқазгичлар физикасида муҳим ўрин тутади.

Заряд ташувчилар бўлмиш электронни, ковакни ЧСларга тутиб олгунча, тутгандан сўнг қандай зарядланган ҳолатида бўлишига қараб, саёз сатҳлар каби, чуқур марказ донор ёки акцептор характеристига эга бўлиши мумкин. Чуқур сатҳлар хоссалари тақиқланган зонадаги ҳолати E , концентрацияси N , дан ташқари, электронни, ковакни мос равища сатҳдан термик чиқариш коэффициентлари e_n , e_p ҳамда электронни, ковакни сатҳга тутилиш кесимлари S_n , S_p билан аниқланади. Электрон, ковакни марказга тутилиш коэффициентлари γ_n , γ_p тутилиш кесимлари S_n , S_p орқали қуйидаги

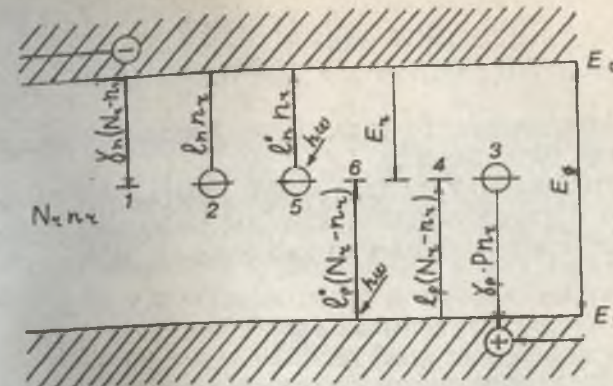
$$\gamma_n = S_n v; \quad \gamma_p = S_p v, \quad (5.1)$$

муносабатлар билан боғланган. Бу ерда: v — заряд ташувчилар ўртача тезлиги бўлиб, унинг қиймати

$$v = (KT/\pi m)^{1/2} \quad (5.2)$$

ифодадан топилади. Маълумки, заряд ташувчиларнинг E , сатҳга тутилиш кесими чуқур марказнинг қандай зарядланган ҳолатда бўлишига боғлик.

Зарядланган марказ кулон тортишиш маркази бўлганда тутилиш кесими 10^{-14} см², кулон итарувчи маркази бўлганда тутилиш кесими 10^{-19} см², марказ нейтрал бўлганда тутилиш кесими $10^{-16} : 10^{-17}$ см² тартибида бўлади. Баъзан, ЧСМларда тутилиш кесимлари юқорида келтирилган қийматларидан катта фарқ қилиши мумкин. Шундай қилиб, чуқур энергия сатҳлари E_r , N_r , e_n , e_p , S_n , S_p параметлар орқали аниқланар экан. Бу параметларни ўлчашусуллари устида тўхташдан олдин уларнинг боғланишларини аниқловчи баъзи бир муносабатларни кўриб чиқайлик. Яrimутказгич n -тип бўлсин ва унда саёз сатҳли концентрацияси N_{cp} бўлган донор марказидан ташқари концентрацияси N_r , тақиқланган зонада энергия сатҳи E_r , бўлган ЧСМлар бўлсин ҳамда электр нейтраллик соҳаси (ЭНС)да $F - E_r > 4kT$ тенгсизлик бажарилсан. Бундай на-муналарда чуқур сатҳда электрон концентрациясининг вақт бўйича ўзгаришига олиб келадиган жараёнларни кўрайлик (5.1-расм).



5.1-расм. Яrimутказгич чуқур сатҳда электрон концентрациясининг ўзгаришига олиб келувчи жараёнлар (электрон ўтишлар схемаси).

1. Ўтказувчан зонадаги электроннинг чуқур сатҳга тутилиш жараёни. Бу жараёнда сатҳдаги электронлар концентрацияси ошади ва унинг ўсиш тезлиги

$$g_n = \gamma_n (N_r - n_r) n \quad (5.3)$$

билин аниқланади. Бу ерда, n — чуқур сатҳдаги электрон концентрацияси, n — электроннинг ўтказувчан зонадаги концентрацияси: $N_r - n_r$, электрон билан тўлатилмаган бўш чуқур марказ концентрацияси, γ_n — электроннинг марказга тутилиш коэффициенти.

2. Чуқур сатҳдан ўтказувчан зонага электронни термик чиқариш жараёнида E , сатҳдаги электрон концентрацияси n , камаяди ва унинг тезлиги

$$r = -e_n n = -\gamma_n n_1 n, \quad (5.4)$$

билин аниқланади. Бу ерда, e_n — электронни сатҳдан термик чиқариш коэффициенти Шокли — Рид статистикасига кўра, $e_n = \gamma_n n_1$ ифодадан топилади.

n_1 — ферми сатҳи F чуқур сатҳ E , га мос келганда, ўтказувчан зонадаги электрон концентрацияси бўлиб, унинг қиймати

$$n_i = N_c \exp\left[-\frac{(E_c - E_r)}{kT}\right] \quad (5.5)$$

билин аниқланади. Бу ерда, N_c — ўтказувчан зонадаги әффектив ҳолат зичлиги.

3. Электронни E , сатҳдан валент зонага ўтиш (ёки ковакнинг E , сатҳга тутилиш) жараёни. Бу жараён сатҳдаги электрон концентрациясини камайтиради ва унинг тезлиги

$$r_p = -\gamma_p p n_r \quad (5.6)$$

ифода билан аниқланади. Бу ерда, p — ковак концентрацияси, γ_p — ковакнинг сатҳга тутилиш коэффициенти.

4. Валент зонадан электронни E , сатҳга (ёки ковакни E , сатҳдан валент зонага) термик чиқариш жараёни. Бу жараён F , сатҳдаги электрон концентрациясини оширади ва унинг тезлиги

$$g_p = e_p (N_r - n_r) = \gamma_p p_1 \cdot (N_r - n_r) \quad (5.7)$$

ифода билан топилади. Бу ерда, P_1 — электр нейтраллик соҳасида Ферми сатҳи, E , билан мос келганда валент зонадаги ковак концентрацияси. Унинг қиймати

$$P_1 = N_v \exp\left[-\frac{(E_r - E_v)}{kT}\right] \quad (5.8)$$

ифодадан топилади. N_v — валент зонадаги әффектив ҳолат зичлиги. Шундай қилиб, E , ЧС электрон концентрациясининг вақт бўйича ўзгариш тезлиги Шокли-Рид статистикасига кўра

$$\frac{dn_r}{dt} = \gamma_n (N_r - n_r) n - \gamma_s n_i n_r - \gamma_p p n_r + \gamma_p p_1 (N_r - n_r) \quad (5.9)$$

узлуксизлик tenglamasi орқали ифодаланади. Стационар ҳолатда $\left(\frac{\partial n_r}{\partial t} = 0\right)$ электроннинг стационар концентрацияси (5.9) tenglamaga кўра

$$n_{rc} = N_r \frac{\gamma_n n_c + \gamma_p p_1}{\gamma_n(n_c + n_1) + \gamma_p(p_c + p_1)} = \frac{\gamma_n n_c + e_n}{\gamma_n n_c + e_n + \gamma_p p_c + e_p} \quad (5.10)$$

күринишида бўлади. n_1 ва p_1 концентрациялар ($E - E_r$) ва ($E_r - E$) энергияларга экспоненциал боғланган бўлгани туфайли, улар бир-биридан камида бир тартибда фарқ қиласдилар. Одатда $e_n \gg e_p$, ёки $e_p \gg e_n$ тенгсизлик ўриниши бўлади. Агар тутилиш коэффициентлари γ_n ва γ_p бир-биридан катта фарқ қилмасалар, P -тип материалларда тақиқланган зона ярмининг юқори қисмида жойлашган E , сатҳ учун $e_n \gg e_p$ бўлади ва у асосий заряд ташувчилар учун тутқич марказ бўлади. Агар E , сатҳ тақиқланган зона ярмининг қуий қисмида бўлса, $e_p \gg e_n$ бўлади ва асосий бўлмаган заряд ташувчилар учун тутқич марказ бўлади. P -тип материал учун эса тескари тенгсизликлар ўриниши бўлади. ЧСнинг электронлар билан тўлдирилганлик даражасининг ўзгариши (ЧС)ни фотоионланиши, яъни ЧС билан ўтказувчан ёки валент зоналар орасидаги оптик ўтишлар туфайли содир бўлиши мумкин (5.6- ўтишлар). Бу ҳолда сатҳдан электронни ва ковакни оптик чиқариш коэффициентлари $e_n^o = \chi_n I_n$, $e_p^o = \chi_p I_p$ киритилади (χ_n, χ_p — фотоионланиш кесими, I_n, I_p — ёруғлик интенсивлигиги) у вақтда уларнинг E , сатҳдан чиқариш коэффициентлари $e_n^o + e_p^o$ ёки $e_n^o + e_p^o$, га тенг бўлади. Шундай қилиб, намуна фотон энергияси $h\nu \gg \Delta E$, ёруғлик билан ёритилганда (5.9) узлуксизлик тенглама

$$\frac{dn_r}{dt} = \gamma_n (N_r - n_r) n - \gamma_n n_1 n_r + \gamma_p p_1 (N_r - n_r) - \chi_n n_r I_n + \chi_p (N_r - n_r) I_p \quad (5.10a)$$

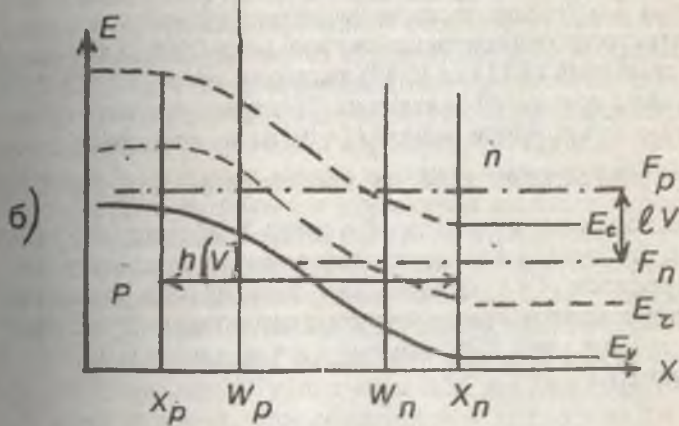
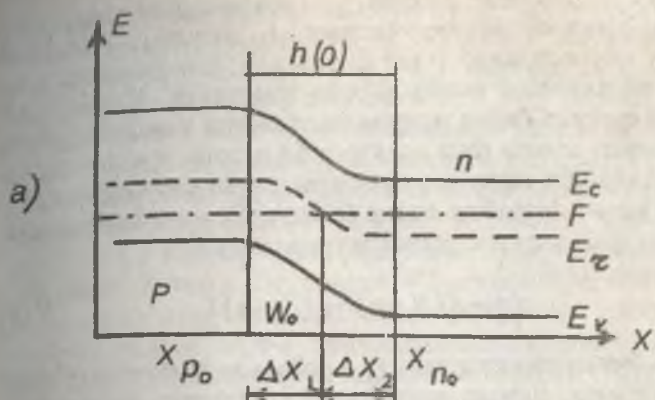
билин ифодаланади. Паст температураларда термик чиқариш тезлиги унча катта бўлмаган шароитда оптик ўтишларда чиқариш тезлиги температурага боғлиқ бўлмасдан ёруғлик интенсивлигига боғлиқ бўлганлиги туфайли $e_n^o \gg e_p^o$, ёки $e_p^o \gg e_n^o$, шарт осон бажарилади.

ЧС — нинг электрон билан тўлдирилганлик даражасини оптик усул билан ўзгаририш орқали чукур сатҳ энергиясини тўғридан-тўғри фотон энергияси бўйича

аниқлаш мүмкін. Буни унинг афзаллігі сифатида кұрса-тиш мүмкін. Шундай қилиб, юқорида көлтирилған изох-лардан күринадыки, чуқур E , сатхни электронлар билан тұлдирғанлик даражаси, сатхнинг тақиқланған зонадаги ва ферми сатхига нисбатан қандай вазиятта бўлишига, материал типига, сатхни донор ёки акцептор характеристика гэта бўлишига, концентрацияси N , га ҳамда ташқи таъсир (температура, ёруғликнинг фотон энергияси $h\nu$ ва интенсивлігига)га боғлиқ.

5.2-§. Р-п ўтишда чуқур сатхларнинг электронлар билан тұлдирілғанлиги

Охиста $p-n$ ўтишда саёз сатхли донор ва акцепторлардан ташқари, энергия сатхи E_c , концентрацияси N_{cd} бўлган ЧСМ бўлсин, шу билан бирга, чуқур марказ атоми битта электронни қабул қилиши ёки бериши мүмкін бўлсин (бир зарядли). Бу ҳолда ҳажмий заряд соҳаси ($X3C$)да чуқур сатх электрон концентрациясининг вақт бўйича ўзгаришини кўрайлик. Электр нейтраллик соҳаси (ЭНС)-да, яъни $X3C$ дан ташқаридан чуқур марказ концентрацияси N_c , саёз марказ концентрацияси N_{cd} билан бир тартибда, лекин $N_c < N_{cd}$ бўлсин, деб олайлик. $p-n$ ўтишнинг n соҳасида $N_c = N_{cd} - N_{ca}$ ва p — соҳасида $N_c = N_{ca} - N_{cd}$ билан аниқланади (N_{cd} — саёз донор концентрацияси, N_{ca} — саёз акцептор концентрацияси). Бундан ташқари, n соҳанинг ЭНС да $F-E > 4kT$ p — соҳанинг ЭНС да эса $E_F - F > 4kT$ тенгсизликлар бажарилади деб қараймиз. Ҳисоблашларни соддалаштириш учун $p-n$ ўтишга кучланиш қўйилмаган ($V=0$) да стационар ҳолатда ферми сатхидан пастда $x > w_0$ соҳада жойлашган чуқур сатх E_c ни электрон билан тұлатылған, а ферми сатхидан юқорида $x > w_0$ соҳада жойлашган E_c сатхни электрон билан тұлатылмаган деб қабул қиласиз (5.2а-расм). $p-n$ ўтишга тескари кучланиш уланганда E_c сатхда электрон концентрациясининг ўзгаришини кўрайлик (5.2б-расм). $p-n$ ўтиш тескари кучланишда мувозанатда бўлмаса хам E_c сатхни тескари кучланиш уланган $p-n$ ўтишга ёруғлик туширилганда n , ни қўшимча ўзгаришига олиб келадиган куйидаги оптик ўтиш жараёнлари кузатилади. $p-n$ ўтишга фо-



5.2-расм. Охиста (равон) p - n ўтишда энергетик зоналарнинг жүйланиши ва чуқур сатхаларнинг күчланиш күйилмаган $U=0$ да (a) ва тескари күчланиш күйилганд $U \neq 0$ да электрон билан тұлиши.

тон энергияси $E - E_v > E - E_c$ бұлған монохроматик ёрғылар билан ёритилганды E , сатхни фотоионланиш жараёни содир бұлади, яъни сатхдан электрон үтказувчан зонага чиқади. Шунинг учун бу жараёнда сатхда электроннинг концентрацияси камаяди ва унинг тезлиги

$$r^o = -e^o n = \chi I_0 n, \quad (5.11)$$

билин ифодаланади. Бу ерда, χ — чукур марказдаги электронда фотонни тутилиш кесими, I_0 намуна тушаётган фотон интенсивлиги (вақт бирлигіда, юза бирлигіга тушаётган квантлар сони). Фотон энергияси $E > \hbar\omega > E - E$ бўлган ёруғлик билан намуна ёритилганда ковакни E , сатҳдан валент зонага (ёки электронни валент зонадан E , сатҳга) чиқариш жараёни кузатилади, яъни ковакнинг фотоионланиш жараёни содир бўлади. Бу жараёнда сатҳдаги электрон концентрацияси ортади ва у

$$g_p = -e_p^*(N_r - n_p) = \chi_p(N_r - n_p)I_0 \quad (5.12)$$

ифода билан аниқланади. χ — ковакда фотоннинг тутилиш кесими. Демак, монохроматик ёруғлик билан ёритилган $p-n$ ўтишга тескари кучланиш қўйилганда сатҳдаги электрон концентрациясининг вақт бўйича ўзгариши ўнг томонида (5.11) ва (5.12) ҳадларни ҳисобга олган (5.9) тенглама орқали ифодаланади. Тескари кучланиш қўйилган $p-n$ ўтиш ёритилмаган ($I=0$) да ва стационар ҳолат $\frac{dn_p}{dt} = 0$ да сатҳдаги электрон концентрацияси n_p ҳам (5.10) ифода билан аниқланади. $P-n$ ўтиш X3C нинг $x < w_p$ қисмидаги ўтказувчан зонадаги электроннинг стационар концентрацияси $n_c < n_1$ бўлади, $x > w_p$ қисмидаги эса ковакнинг валент зонадаги стационар концентрацияси $P < P_1$ бўлади, шунинг учун X3C нинг $w_p < x < w_n$ қисмидаги (5.10) ни тахминан

$$n_c = N_r \frac{\gamma_p P_1}{\gamma_n n_1 + \gamma_p P_1} = N_r \frac{e_p}{e_n + e_p} \quad (5.13)$$

кўринишда ифодалаш мумкин. Тескари кучланишнинг катта қиймати $V \gg V_k$ да (5.13) ифода ҳамма қисмидаги ўринли бўлади. (5.10) да $\gamma_n n_c$ ва $\gamma_p P_1$ ҳадларни ташлаб юборишилик электронни ўтказувчан зонадан, ковакни валент зонадан E , сатҳга тутилишини инобатга олмасликни англаради. (5.13) ифодани

$$e_n n_c = e_p (N_r - n_p)$$

күренишда ифодалаймиз. Бундан күринадики, стационар ҳолатда электроннинг E , сатҳдан ўтказувчан зонага термик чиқариш тезлиги ($e_n \cdot n_n$) электронни валент зонадан термик чиқариш тезлиги $e_p(N-n)$ га тенг бўлади. Чукур E , сатҳ учун $e_n > e_p$, тенгсизлик ўринли бўлсин. Бу тенгсизлик, юқорида кўрганимиздек, одатда тақиқланган зона ярмининг юқори қисмida жойлашган сатҳлар учун бажарилади (қачонки γ_n ва γ_p лар жуда катта фарқ қилимасалар). Бу сатҳлар учун (5.13) дан $n_n \ll N$, бўлишигини кўрамиз. Яъни $x < w$, соҳада ЧС деярли бўш бўлади. $P-n$ ўтишнинг $x > w$, соҳасида сатҳ электронлар билан батамом тўлатилган. $e_p \gg e_n$ тенгсизлик одатда тақиқланган зона кенглиги ярмининг куйи қисмida жойлашган сатҳлар учун бажарилади. Бу ҳолда $p-n$ ўтишнинг $x > w$, соҳасида (5.13) дан $n_n = N$, бўлишини, яъни бу соҳада чукур сатҳ электрон билан деярли (батамом) тўлатилган, $x < w$, соҳадаги сатҳ эса бўш бўлишини кўрамиз. Энди ностационар жараёнда XZC даги чукур сатҳдаги электрон концентрациясининг вақт бўйича ўзгаришини кўрайлик. Матъумки, $p-n$ ўтишнинг XZC да кучли электр майдони мавжудлиги туфайли бу соҳада электроннинг ўтказувчан зонадаги, ковакнинг валент зонадаги стационар концентрациялари ЧС даги электроннинг стационар концентрациясига нисбатан тез қарор топади. Бу ўтказувчан зонадаги электронни ҳамда валент зонадаги кавакни XZC даги кучли электр майдон томонидан ташқари соҳага тез чиқариб юбориш билан тушунтирилади. Шунинг учун XZC да электрон концентрациясини $n = n_c$, ковакникини $p = p_c$ деб қабул қиласа XZC да E , сатҳдаги электрон концентрациясининг вақт бўйича ўзгариши (5.9) дан

$$\frac{d\Delta n_r}{dt} = -[\gamma_n(n_c + n_l) + \gamma_p(p_c + p_l)]\Delta n_r, \quad (5.14)$$

Узлуксизлик тенглама билан аниқланишини кўрамиз. Бу ерда, $\Delta n_r(t) = n_r(t) - n_c$ тенгламанинг ечими

$$\Delta n_r(t) = \Delta n_r \exp\left(-\frac{t}{\tau}\right) \quad (5.15)$$

күринишида бўлади. Бундан кўринадики, сатҳни электрон билан тўлдириш вақт доимийси

$$\tau = [\gamma_n(n_1 + n_p) + \gamma_p(p_e + p_i)]^{-1} \quad (5.16)$$

бўлган экспотенциал қонуни буйича бўлади. τ сатҳнинг бошлангич ҳолатда қандай тўлдирилганлигига, чукур марказ концентрациясига боғлиқ бўлмай, у n ва p_e лар x га боғлиқ бўлгани учун координатага боғлиқ. ҲЗС нинг четларида τ ўрта қисмига қараганда кичик. Вақт доимийси τ ни сатҳнинг тўлдириш релаксацияси вақти ҳам деб юритилади. ҲЗС нинг $w_e > x > w_p$ қисмida (5.16) ифода

$$\tau = (\gamma_n n_1 + \gamma_p p_i)^{-1} = (e_e + e_p)^{-1} \quad (5.17)$$

кўринишини олади. Катта тескари кучланиш $v > v_c$ да (5.17) ифода ҲЗС нинг ҳамма қисмida ўринли бўлади. Агар чукур марказ тортувчи марказ бўлса, кучли электр майдони унинг атрофидаги потенциал тўсик (баръер)ни камайтиради ва у электронни термик чиқишини осонлаштиради, яъни Пул-Френкел эфекти юзага келади. Бу ҳодисани мувозанатдаги система статистикаси асосида олинган. (5.17) ифодада ҳисобга олинмаган. $v=0$ да ЧС ли диодга тескари ЧС стационар тўлатилган бўлсин ва $e_e \gg e_p$ бўлган кучланиш уласак, ҲЗС нинг Δx қатламидағи сатҳдан электрон ўтказувчан зонага $\tau = e_e^{-1}$ вақт доимийси билан чиқа бошлайди, сўнг улар электр майдон таъсирида ЭНС га кетказиб юборилади. Оқибатда $p-p$ ўтишнинг n — соҳасига жойлашган ҲЗС нинг Δx қатламида ЧС ни ионлини туфайли ҳажмий заряд зичлиги чукур марказ донон ёки акцептор бўладими, бундан қатъи назар ортади. Вақт доимийси $\tau = (e_e)^{-1} = (\gamma_n n_1)^{-1}$ га (5.5) ифодани қўйсак ва (5.1) ни назарда тутсак уни

$$\tau = (S_n V_t N_c)^{-1} \exp\left[\frac{Ec - Er}{\kappa T}\right] = (Sb_n T^2)^{-1} \exp\left[\frac{Ec - Er}{\kappa T}\right] \quad (5.18)$$

билан ифодаланишини кўрамиз. Бу ерда, b_n — яримўтказгич параметри, германий учун $b_n = 3,6 \cdot 10^{21} \text{ см}^{-2} \text{ с}^{-1} \text{ К}^{-2}$

кремний учун $b = 6,6 \cdot 10^{-21} \text{ см}^{-2} \text{ с}^{-1} \text{ к}^{-2}$ ни қабул қиласи (5.18) формуладан күринадик, сатҳни электрон билан тұлдириш релаксация вақти температура ошиши билан кескин камаға бошлайды. (5.18) ни логарифмлаб

$$\ln(\tau T^2) = \ln(S_n b_n) + \frac{E_c - E_r}{kT} \quad (5.19)$$

күринишга келтирімиз. Марказнинг ионланиш энергияси ($E_c - E_r$) ни ва электроннинг марказға тутилиш кесимі S_n ни температурага боғлиқтігінің ҳисобға олмасак $\ln(T^2\tau)$ нинг $\frac{1}{kT}$ боғланиши тұғри чизиқни беради. Унинг оғиш бурчаги тангенсі чуқур марказнинг ионланиш энергиясими, ордината үқининг кесишидан ҳосил бўлган $-\ln(b_n S_n)$ га тенг кесма узунлигидан электронни тутилиш кесимі S_n топилади. Энди ЧС ни тұлдирилганлиги стационар ҳолатта эришгандан сұнг тескари кучланишни нолгача камайтирганда n_1 ўзгаришини күрайлик. Кучланишни үчирған ($v \rightarrow 0$) дан сұнг ΔX_1 қатлам соҳасидаги ЧС τ_{Tn} вақт доимийсі билан тұла бошлайды. τ_{Tn} нинг қыймати

$$\tau_{Tn} = [\gamma_n(n_c + n_1)]^{-1} = (e_n + \gamma_n n_1)^{-1} \quad (5.20)$$

формула билан топилади.

Вақт доимийсі $\tau > 10^{-2} \div 10^{-3}$ с бўлганда $n_1 \ll n_c$, $\tau_{Tn} \ll \tau$ тенгизлик бажарилади. Бошқача айтганда, E_r сатҳни электрон билан тұлдириш, сатҳдан электронни термик чиқарышта нисбатан тез содир бўлади. Лекин юқори Ом ли намуналардан ясалган диодларда улар бир тартибда бўлиши мумкин.

$P-n$ ўтишга тескари кучланиш берилгандан ($0 \rightarrow V$) сұнг P — соҳадаги жойлашган ҳажмий заряд соҳасининг ΔX_2 қисмидаги $e_p \gg e_n$ бўлган сатҳни $\tau = e_p^{-1}$ вақт доимийсі билан электрон тұлдира бошлайды. Бу ΔX_2 қатламда сатҳни донор ёки акцептор бўлишидан қатыназар ҳажмий заряд зичлиги ортади.

Вақт доимийсі $\tau = e_p^{-1} = (\gamma_p p_1)^{-1}$ нинг қыймати (5.8) ни назарда тутсак,

$$\tau = (S_p V_i N_v)^{-1} \exp\left[\frac{E_r - E_v}{kT}\right] = (S_p b_p T^2)^{-1} \exp\left(\frac{E_r - E_v}{kT}\right) \quad (5.21)$$

билин аниқланади. Бу ерда b — яримүтказгич параметри, германий учун $b = 1,2 \cdot 10^{21}$ см⁻² с⁻¹ к⁻², кремний учун $b = 2 \cdot 10^{21}$ см⁻² с⁻¹ к⁻². Юқорида күрилгандек, (5.21) ни логарифмлаб, ундан ЧС ионланиш энергияси ($e - E_r$) ни ҳамда ковакни ЧС да тутилиш кесими S ни топиш мүмкін. Тескари күчланишни үчирғандан сұнг ΔX_2 қатламдаги сатқдан электрон

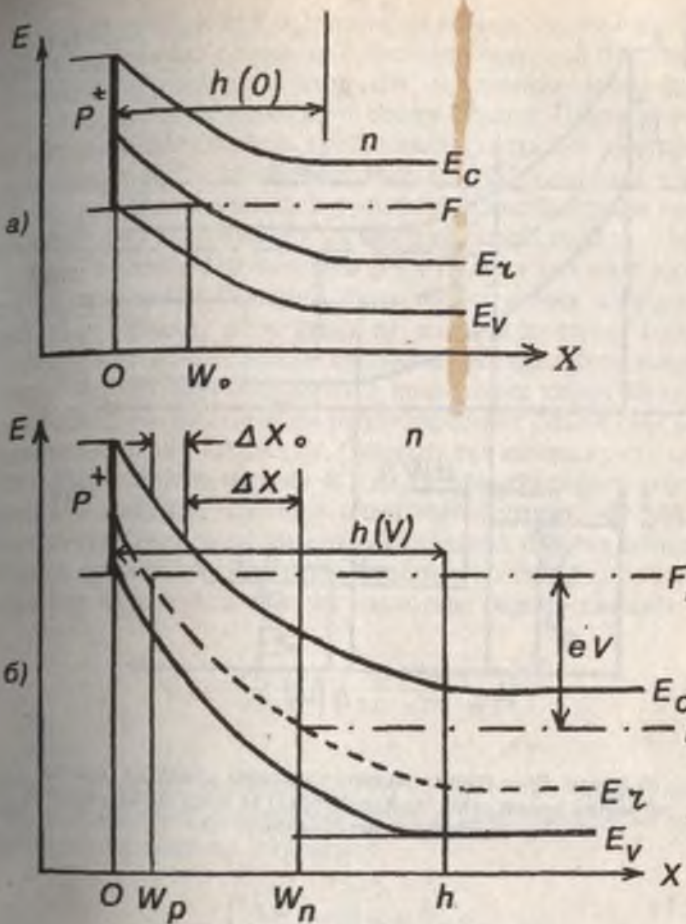
$$\tau_{tp} = [(p_1 + p_c)\gamma_p]^{-1} = (e + \gamma_p p_c)^{-1}$$

вақт доимийсі билан кета бошлайды (бошқача айтганда, сатқ ковак билан тұла бошлайды). Бу қолда ҳам $\tau_{tp} \ll \tau$ бұлади. Юқорида изохланған усул билан E_r сатхнинг ионланиш энергиясینи, сатқда электрон, ковакнинг тутилиш кесимларини аниқлашщдаги асосий хатолик уларнинг температурага боелиқлигини (5.9) да ҳисобға олмаслик туфайли содир бұлған.

Хисобларнинг күрсатишича, сатхнинг ионланиш энергияси $\pm KT$ тартибдаги хатолик билан S ва S ларни эса кattаликлар тартибидаги хатолик билан үлчанар экан. Сатқ энергиясина аниқлашда шуны назарда тутиш керакки, ҳар қандай нүқсон ёки киришма атоми тақиқланған зонада иккита (ёки ундан ортиқ) сатқ ҳосил қилиши мүмкін. Бу сатқлардан қайси бирини намоён булиши ферми сатхининг вазиятига боелиқ. Бунга мисол сифатида тилла киришма атоми билан Si ни легирланғанда юзасига келадиган сатқни күрсатиш мүмкін. У үтказувчан зона тубидан 0,56 әВ пастда акцептор, валент зона шипидан 0,45 әВ юқорида донор сатқини ҳосил қиласади.

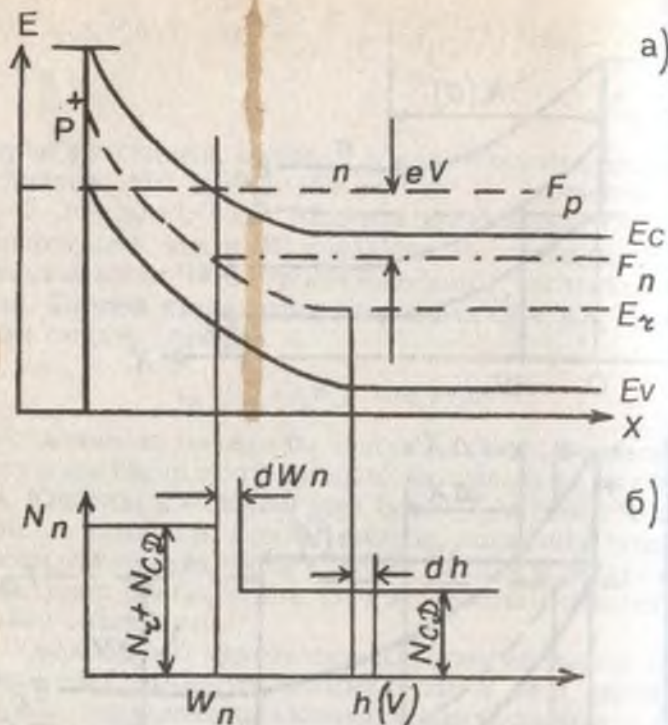
5.3 §. Чуқур марказлы диодларнинг барьер сиғими

Чуқур марказ (ЧМ)ли диодларнинг сиғими хоссаларини $p-n$ — үтиш мисолида күраймын. P^+ -н диод базаси (асосида) концентрацияси N_{nD} бұлған саёз сатқы донордан ташқари, энергиявий сатқи E_r , концентрацияси N_{pD} бұлған



5.3-расм. Кескин p - n үтишда энергетик зоналарнинг жойланиши ва чукур сатхларни кучланиш күйилмаган $U=0$ да (а), тескари кучланиш күйилган $U \neq 0$ да электрон билан тұлиши (б).

Чукур донор марказ бўлсин (5.3-расм). Бу чукур сатҳда $e_n \gg e_p$, тенгсизлик бажарилсин ва кейинчалик N_{CD} ва N_{D^+} ларни маҳсус қайд қилинмаса координатага боғлиқ эмас деб қабул қиласиз. ҲЗСдан ташқаридаги электр нейтраллик (ЭНС) соҳасида $F_n - E_F > 4$ кТ ва ионлашган чукур донор концентрацияси



5.4-расм. P^+ - n ўтишга тескари кучланиш қўйилган ҳолатда энергетик зоналарнинг жойлашиши (а) ва ионлашган киришма атомларининг тақсимоти (б).

$$N_{rDU} = N_{rD} \exp\left[-\frac{F_r - E_r}{kT}\right] \ll N_{cd}$$

бўлсин. У вактда $p^+ - n$ ўтишга қўйилган тескари кучланишда X3C нинг $0 < x < w_n$ қисмида ЧС ферми сатҳидан юқорида бўлиб, тўла ионлашган ҳолатда бўлади. Бу соҳада ионлашган марказлар концентрацияси N_{cd} ва N_{rD} лар йигинидисига $N_r = N_{cd} + N_{rD}$ X3C нинг $w_n < x$ қисмида эса $N_r = N_{cd}$ га тенг бўлади. $t=0$ да диодда тескари кучланиш dV га сакраб (кескин) ошсин. У вактда X3C нинг кенглигини dh га, W — қатлам қалинлигини dW га ошишига олиб келади. (5.4-расм) dh қатламдан электронни кетиш

вақти максвелл вақти τ_m тартибда булади, чунки бу қатламда хамма саёс донорлар кучланиш ошгунча ионлашиб бўлган. Чукур донорларнинг dW қатламида ионланиши эса кучланиш ошгандан сўнг содир булади. Шунинг учун бу қатламда электронни кетиш вақти сатҳнинг тўлдириш релаксация вақти билан аниқланади. dW қатламда чукур донорларнинг ионланиши туфайли ҳажмий заряди ортади ва баръер сифимининг ўзгаришига олиб келади. Одатда баръер сифимини ўлчашда $p^+ - n$ ўтишга доимий тескари кучланишдан ташқари синусоидал кичик кучланиш қўйилган булади. $p^+ - n$ ўтиш ва шоттки диодлар баръер сифимининг ифодаларини ҳисоблаш устида тўхталмасдан чукур марказ параметрларини аниқлашга керак бўладиган баръер сифимининг формулаларининг баъзи бир хоссаларини таҳлил қиласлил. Синусоидал кичик кучланишнинг паст частоталари $\omega \tau \ll 1$ да сатҳни тўлдириш релаксацияси вақтини ҳисобга олмаслик мумкин ва баръер сифимини стационар заряддан кучланиш бўйича олинган ҳосила орқали ҳисобланиши мумкин. Назарий ҳисоблашларнинг кўрсатишича, паст частотада баръер сифими

$$C_{Hr} = \frac{d\theta_c}{dU} = S \sqrt{\frac{\epsilon_a e (N_{CD} + N_{rD})}{2(U + U_k - \Delta U_k)}} \quad (5.23)$$

формула билан аниқланади. Бу ерда $\epsilon = \epsilon_0$ яrimўтказ-
гичнинг абсолют диэлектрик сингдирувчанлиги, U_k — конт-
ракт потенциаллар айрмаси

$$\Delta U_k = \frac{N_{rD}(F_n - E_r)h}{e(N_{CD} + N_{rD})} \quad (5.24)$$

$(F_n - E_r)_k$ — катталик $F_n - E_r$ нинг $x=h$ даги қиймати (5.21)
дан кўринадики, паст частотали сифимнинг кучланиш
 билан боғланиши худди базасида фақат саёс донор сатҳ-
лар мавжуд бўлган ҳолдаги $C^{-1}(U)$ каби, лекин бу ерда
 $C^{-1}(U)$ тўғри чизиқнинг оғиш бурчаги тангенси кириш-
малар концентрациялари йиғиндиси $N_{CD} + N_{rD}$ га тескари
пропорционал. Бундан ташқари, сифим формуласидаги
 U_k ни ўрнига $(U_k - \Delta U_k)$ кирган. Юқори частота $\omega \tau \gg 1$ да
чукур донорларнинг $X = W$ текислиги яқинида зарядининг

ўзгаришини ҳисобга олмаслик мумкин, чунки улар күчланиш ўзгариши билан қайта зарядланиб улгурмайдилар. $X=h$ текислиги яқинида фақат саёс сатхли донорларнинг заряди ўзгаради. Юқори частотали сифим қиймати

$$C_{Br} = \frac{\varepsilon_a S}{h(V)} \quad (5.25)$$

формула билан ҳисобланади. Бу ерда S $p-n$ ўтиш юзаси, h — ҳажмий заряд соҳасининг кенглиги. Назарий ҳисоблашларнинг кўрсатишича,

$$h(V) = \frac{N_{CD}(h - w_n)}{N_{CD} + N_{rD}} + \sqrt{\frac{2\varepsilon_a(U + U_k - \Delta U_k)}{e(N_{CD} + N_{rD})}} \quad (5.26)$$

формула билан аниқланади.

$(h - w_n)$ — қатлам қалинлиги

$$h - W_n = \left(\frac{2\varepsilon_a(F_n - E_r)_h}{e^2 \cdot N_{CD}} \right)^{\frac{1}{2}}$$

ифода билан ҳисобланади. (5.27) дан кўринадики, $(h - w_n)$ қатлам қалинлиги кучланишга боғлиқ эмас. (5.25) формула саёс киришма мавжуд бўлган $p-n$ ўтишнинг баръер сифимиға ўхшаш. Чуқур донорларнинг заряди ўзгарувчан кучланиш ўзгариши орқасидан кетма-кет улгуролмаса ҳам X3Снинг кенглиги ва юқори частотали сифим C_{Br} га таъсир кўрсатади. C_{Hr} ва C_{Br} формулаларнинг бир-бирига солиштиришдан кўринадики, юқори частотали сифим C_{Br} паст частотали сифим C_{Hr} га нисбатан кичик $C_{Br} < C_{Hr}$ бўлиб, у кучланишга C_{Hr} га нисбатан кучсизроқ боғланган, бунинг устига $C^{-2}(U)$ тўғри чизиқли боғланишда эмас. Тескари кучланишнинг ортиши билан C_{Br}/C_{Hr} нисбат ўса бориб бирга интилади. Яъни $C^{-2}(U)$ га яқинлашади. Шу пайтгача чуқур сатҳни стационар тўлдиришдаги баръер сифимини кўрдик, энди кучланиш сакраб ўзгаргандаги баръер сифимини таҳлил қилайлик. Агар кучланиш сакраб ошганда, ўлчаш асбобларининг вақт доимийси $\tau_{ulc} > \tau$ сатҳни тўлдириш релаксация вақти τ дан катта ($\tau_{ulc} > \tau$)

бұлса, чуқур марказларни стационар тұлдиришдаги сиғимнинг (паст ёки юқори частотадаги) қиймати үлчанади. $\tau \ll \tau$ тенгсизлик бажарылған ҳолда, чуқур сатхни тұлдирилғаныгининг вақт бүйіча үзгаришига мос үзгаруучан юқори частотали сиғимнинг қандайдыр үткінчи қиймати $C(t)$ үлчанади. Паст частотали сиғим қиймати маъносига күра ҳамма вақт чуқур марказни стационар тұлдиришда үлчанади. Ҳақиқатда агар ЧС нинг тұлдирилғанлығы үзгаруучан күчланиш үзгариши орқасидан улгурса, у вақтда шак-шубҳасиз у үзгартмас күчланиш үзгариши орқасидан ҳам улгуради. $U = 0$ да чуқур сатх стационар тұлатылған бұлсін. Тескари күчланиш уланғандан ($0 \rightarrow -U$) сұнг бошланғич вақт $t = 0$ да сатхни тұлдирилиши, қайта уланғунча бұлған ҳолатдаги қийматига тенг бўлади. Яъни $t = 0$ да X_3C нинг $0 < x < w_0$ қисмидаги $N = N_{CD} + N_{BD}$ ва $W_0 < x < h_0$ қатламида $N = N_{CD} X_3C$ нинг бошланғич кенглиги ва юқори частотали сиғимнинг бошланғич қийматлари куйидаги формулалар билан аниқланади:

$$h_0 = \sqrt{\frac{2\varepsilon_a(U + U_K - \Delta U_K)}{eN_{CD}}} \quad (5.28)$$

$$C_{\delta Br} = \frac{S\varepsilon_a}{h_0} = S \left[\frac{\varepsilon_a e \cdot N_{CD}}{(U + U_K - \Delta U_K)_\delta} \right]^{\frac{1}{2}} \quad (5.29)$$

Бу ерда

$$\Delta U_{\delta b} = eN_{BD}W_0^2/2\varepsilon_a \quad (5.30)$$

(5.29) формулани таҳлилидан $C_{\delta Br}$ нинг U билан боғланиши диод базасида фәқат саёз донор бүлгандаги каби эканлигини кўрамиз. $C_{\delta Br}^{-2}(U)$ тўғри чизиқ оғиш бурчагининг тангенси N_{CD}^{-1} га пропорционал. Бундай боғланиш бошланғич пайтда күчланишининг үзгариши билан чуқур киришма заряди үзгартмаганлығы билан тушунтирилади. Стационар ҳолатда чуқур донор X_3C нинг $x > w_0$ қисмидаги тұлатылған бўлади. Шунинг учун тескари күчланиш уланиши ($0 \rightarrow -U$) билан ΔX қатламдаги сатхдан электрон кета бошлиди ва натижада бу қатламда ҳажмий заряд зичлиги-

нинг ошишига олиб келади. Демак, ҲЗС нинг қалинлигини ва сифимини вақт бўйича камайишига олиб келади (Δx қатлам қалинлиги ҳам камаяди). (5.25) ва (5.26) формуласалар билан аниқланган юқори частотали сифимнинг стационар қиймати C_{cb} ни C_{db} қиймати билан солиширишдан $C_{cb} > C_{db}$ бўлишилигини курамиз.

Чуқур сатҳли киришмаларнинг стационар сифимга ва ЭНС даги ўтказувчанилигига таъсирини кўрайлик. Катта тескари кучланишда, стационар юқори частотали сифим тахминан паст частотали сифимга тенг $C_{cb} = C_u$, ҲЗС нинг ҳамма қисмида чуқур донорлар деярли ионлашган булади, шунинг учун бу ҳолда сифим саёз донорлар бўлган ҳолдагидан катта булади. Лекин электронейтраллик соҳаси $X > h$ да чуқур донорлар батамом электрон билан тұлатилган ва ЭНС нинг ўтказувчанилигига таъсир кўрсатмайди. Чуқур донорлар учун $e_p \gg e_n$ тенгсизлик бажарилган ҳолда чуқур донорлар ҲЗС нинг ҳамма қисмида электрон билан батамом тұлатилган ($N_u + N_{cd}$), шунинг учун чуқур донорлар сифимга деярли таъсир кўрсатмайди, $C^{-2}(U)$ тўғри чизиқ оғиш бурчагининг тангенси N_{cd}^{-1} га пропорционал булади. Чуқур донорларнинг бўлишилиги ЭНС нинг ўтказувчанилигига ҳам таъсир кўрсатмайди, чунки ЭНС да улар батамом электрон билан тұлатилган булади.

Диод базасида саёз донордан ташқари, концентрацияси N_u бўлган чуқур акцептор марказ бўлган ҳолни кўрайлик.

1) Чуқур акцепторлар учун $e_p \gg e_n$ тенгсизлик ўринли бўлсин. ҲЗС нинг деярли ҳамма қисмида чуқур акцептор сатҳ электрон билан тұлатилмаган, яъни ионлашмаган ($N_u = N_{cd}$), шунинг учун чуқур сатҳнинг мавжудлиги сифим қийматига деярли таъсир кўрсатмайди. $C^{-2}(U)$ тўғри чизиқ оғиш бурчагининг тангенси N_{cd}^{-1} га пропорционал булади. Лекин ЭНС да чуқур акцептор бор бўлиши ЭНС нинг ўтказувчанилигини камайтиради (компенсациялайди).

2) Чуқур акцептор сатҳ учун $e_p \gg e_n$ бўлган ҳолда эса ҲЗС нинг ҳамма қисмида чуқур акцептор сатҳ электрон билан тұлатилган, яъни ионлашган ($N_u = N_{cd} - N_{ci}$) булади. Шунинг учун бундай сатҳни диод базасида мавжуд бўлиши сифим ҳамда ЭНС ўтказувчанилигининг камайишига олиб келади.

5.4 §. Яримұтқазгичлар чуқур марказлари параметрларини аниқлашынг сифим спектроскопия усуллари

Чуқур сатқы марказ (ЧСМ)лар параметрларини ўлчаш-
нинг сифим спектроскопия усули асосида p - n үтиш (ёки
шоттки барьери)нинг ҳажмий заряд соҳаси (ХЗС)даги чу-
қур сатқ (ЧС) ларни электрон билан тұлдирилғанлық да-
ражасига, барьер сифимига, қўйилған тескари кучланиш,
ўлчаш кучланиш частотаси, ёруғлик, ҳароратларнинг таъ-
сиридан юзага келган қонуниятларни қайд қилиш (ўлчаш)
ётади. Ҳозирги пайтда бир-биридан ЧСни электрон би-
лан тұлдириш, камбагаллаштириш шароитлари билан
фарқ қиласидан сифим спектроскопия усулининг бир қан-
ча турлари мавжуд. Уларга сифимнинг изотермик релак-
сация усулини, иссиқлик билан рағбатлантирилған си-
фим релаксация усулини, фотосигим, частотавий усулини
кўрсатиш мумкин. Бу усуллардан бирини қўллаб юқори-
да кўрилған ташқи омиллар таъсиридан содир бўлган си-
фим ўзгаришининг умумий қонуниятлари асосида чуқур
марказга тутилиш кесимларини, термик, фотоионланиш
коэффициентларини ўлчаш мумкин. Бу усулларнинг асо-
сий камчилиги ўлчаш учун маҳсус структуралар, маса-
лан, p - n үтишли диод: Шоттки барьери ёки металл-диэ-
лектрик яримұтқазгичли структуралардан бирини тайёр-
лашни кўрсатиш мумкин.

Яримұтқазгичларда чуқур сатқ параметрларини аниқ-
лашынг сифим спектроскопия усуллари, физик параметр-
ларни сифим орқали аниқлаш усулининг бир кўриниши
бўлгани учун уларга характерли бўлган ҳамма хатолик
манబалари юқоридаги усулларга ҳам тааллуқлидир. Ўлчаш-
даги хатоликни баҳолаш шуни кўрсатадики, ЧС нинг та-
қиқланган зонадаги энергиявий ҳолатини, концентраци-
ясини аниқлашдаги хатолик 10% дан ошмайди, киришма
ионланиш кесимининг ўз катталиги тартибидаги хатолик
билин ўлчаш мумкин.

a. Сифимнинг изотермик релаксацияси усули

Бу усул билан ЧСМ параметрларини ўлчашынг фи-
зик асосини кескин p^+ - n үтиш ёки металл- n тип яримұт-
қазгич структурали (шоттки барьери) мисолида кўрайлик.
Бу таҳлил тескари типдаги диод базаси учун ҳам ўхшаш

бұлади. Аниқлик киритиш учун кескин P^+ -н үтишли диод n -типдаги яримұтказгич намуна асосида олинган. Яримұтказгичда концентрацияси N_{CD} бұлған саёз сатхли донор билан бир қаторда, энергияйив сатхи E_F , концентрацияси N_{rD} бұлған чуқур сатхли донор бұлиб, у тәқиқланған зона ярмининг юқори қисміда жойлашған ва $e > e_p$ тенгсизлик, диоднинг электр нейтраллик соҳаси (ЭНС)да $E_F - E > 4 \text{ кТ}$ тенгсизлик бажарилади. Диодга V тескари күчланиш уланғандан сұнг стационар ҳолатда заряд ташувчилар билан камбағаллашған (соҳа) қатlam (ХЗС нинг кенглиги) чегараси h_c нүктеге мос келиб, у кескинлашади. Ферми сатхи чуқур сатхни W нүктегде кесади. Стационар ҳолатда чуқур донорлар $0 < X < W_c$ соҳада ферми сатхидан юқорида бұлғани учун улар тұла ионлашған ҳолатда бұлади. Бу соҳадаги ионлашған марказ концентрацияси

$$N_U = N_{CD} + N_{rD} \quad (5.31)$$

бұлади. $W_c < X < h_c$ соҳада чуқур сатх тұлатылған, шунинг учун бу соҳада ионлашған марказ концентрацияси ионлашған саёз донор концентрацияси билан аниқланади:

$$N_U = N_{CD} \quad (5.32)$$

ва $X = W_c$ текислиқда киришмалар концентрацияси кескин (сакраб) үзгаради. Энди структурата тескари күчланиш уланған ($0 \rightarrow -V$) да юзага келған ностационар жараёнда чуқур сатх тұлдирилғанлыгини, барьер сифимининг вақт бүйіча үзгаришини, яғни улар кинетикасими күрайлық. Структурата тескари күчланиш құйилғандан сұнг $t = 0$ да ұажмий заряд соҳаси кенгайиб, $h(0)$ га етади. Чуқур сатхни электрон билан қашшоқланиш тезлигі унча катта бұлмагани сабабли, бошланғич вақт $t = 0$ да тескари күчланиш уланғандан сұнг ұажмий заряд фақат саёз донор киришма иони N_{CD} билан юзага келған бұлади. Вақт үтиши билан чуқур сатхни $e = e^{-t^{-1}}$ тезлик билан қашшоқланиши ұажмий зарядни үзгаришига олиб келади.

Чуқур сатхнинг ионлашиб боришидан үтказувчан зонасига чиқарылған электронни электр майдони ХЗС дан ташқарыға тез чиқарыб ташлайди. Бу эса электроннинг чуқур сатхга қайта тутилиш тезлигини камайтиради. На-

тижада вақт ўтиши билан ҳажмий заряднинг стационар тақсимоти ўрнатилади. Тескари кучланиш уланганда ҳажмий заряд соҳаси $W(t)$ нинг кенгайиши ҳам содир бўлади, у ҳам вақт ўтиши билан ўзининг стационар W_e қийматига интилади. Ностационар жараёнда X3C ни уч қисмга бўлиб куриш мумкин.

1. $t = 0$ да структурага 0 дан V гача бўлган тескари кучланиш улаймиз у кейинчалик ўзгармайди. X3C нинг бошланғич қалинлиги h_0 базанинг қалинлиги l дан кичик бўлсин деб қабул қиласиз. Бу шарт

$$N_{\text{ш}} > \frac{2\varepsilon_a(V + V_k)}{eZ^2} \quad (5.33)$$

тengsizlik ўринли бўлса бажарилади. Бу ерда $N_{\text{ш}}$ — X3C даги ионланиш марказнинг бошланғич концентрацияси, юқорида кўрганимиздек, $t > 0$ да X3C нинг $0 < X < W_e$ қисмидаги ионлашган марказ концентрацияси

$$N_{\text{ш}} = N_{CD} + N_{rD} \quad (5.34a)$$

бўлади, чунки бу соҳада чуқур донор сатҳи ферми сатҳидан юқорида бўлгани учун у тўла ионлашган ҳолатда бўлади.

2. $W < X < Wh(t)$ соҳада ҳажмий заряд вақт ўтиши билан чуқур донорнинг ионланиши туфайли ортиб боради. X3C даги тўла ионлашган марказ концентрациясининг вақт бўйича ўзгариши

$$N_a = (N_{CD} + N_{rD}) \left[1 - a \exp\left(-\frac{t}{\tau}\right) \right] \quad (5.34b)$$

орқали ифодаланади. Бу ерда $a = N_{rD}/(N_{rD} + N_{CD})$.

3. $Wh(t) < X < h(t)$ соҳасида, чуқур донор сатҳи ферми сатҳидан пастда жойлашган бўлиб, у электрон билан тўлатилган. Шунинг учун ҳажмий заряд зичлиги ионлашган саёз донор концентрацияси N_{CD} билан аниқланади.

$$N_u = N_{CD} \quad (5.35)$$

Булардан кўринадики, структура баръер сифимининг вақт бўйича ўзгариши $\dot{X}3C$ нинг $W_e < W_u(t)$ қисмидаги чукур сатҳли донорларнинг ионланиши туфайли содир бўлади. Бу уч соҳани ўз ичига олган $\dot{X}3C$ нинг чегарасида Пуассон тенгламасини интеграллаб, аниқланган кескин P^+ -ни ўтиш потенциаллар айрмаси

$$U + U_k = \frac{e}{\varepsilon_a} \int_0^{W_u(t)} x N_u(x, t) dx \quad (5.36)$$

$\dot{X}3C$ нинг кентлиги $h(t)$ ни топишга имкон беради ва уни билган ҳолда (5.25) дан вақт бўйича ўзгарувчан баръер сифимининг формуласи топилади. Ҳисоблашларнинг кўрсатишича, $\left(\frac{C(t)}{S}\right)^2$ нинг умумий ифодаси орқали тажриба натижаларидан ЧС параметрларини аниқлаш анча мураккаб. Шунинг учун баръер сифимининг ифодасини соддалаштирувчи баъзи бир хусусий ҳолларни таҳлил қиласайлик.

а) P^+ -ни ўтиш ёки шоттки баръерига қўйилган тескари кучланиш катта $U > U_k$ ва чукур, саёз донорлар концентрация N_{CD} , N_{DP} лари катталиги бир тартибда бўлсин, у вақтда $w \ll h$; $h - w \ll h$ ва $w = h$ бўлади, яъни (5.34 б) муносабат $\dot{X}3C$ нинг ҳамма қисмида ўринли бўлади. Бу ҳолда (5.36) ни интеграллаб ва (5.25) ни қўллаб, структура баръер сифими

$$\left(\frac{C(t)}{S}\right)^2 = \frac{\varepsilon_a (N_{CD} + N_{DP})}{2(V + V_k)} [1 - ae^{-\frac{t}{\tau}}] \quad (5.37)$$

билин аниқланишини кўрамиз (5.37) га $t \rightarrow \infty$ қўйиб, сифимининг стационар қиймати C_c ҳисобланади. Уни ва (5.37) ни қўллаб сифимининг

$$\frac{C_c^2 - C^2(t)}{C_c^2} = a \exp\left(-\frac{t}{\tau}\right) \quad (5.38)$$

кўринишдаги формула билан аниқланишини кўрамиз. Бу ифодани қўллаб тажрибада аниқланган $C_c^2 - C^2(t)$ нинг вақтга боғланишидан τ — қийматини аниқлаш мумкин-

лигини күрамиз (5.38) га $t=0$ ни қўйиб концентрациялар нисбатининг

$$\frac{N_{rD}}{N_{CD}} = \left(\frac{C_c}{C_\delta} \right)^2 - 1 \quad (5.39)$$

билин аниқлананишини кўрамиз. Бу ерда C — юқори час-тотали сифимнинг бошланғич $V=0$ даги қиймати C_c , C_δ ларни тажрибадан аниқланган қийматларини билган ҳолда (5.39) дан концентрация N_{rD} ни ўлчаш мумкин. N_{CD} ни эса $C^2(V)$ боғланышдан топилади:

б) чукур сатҳли донор концентрацияси кичик $N_{rD} \ll N_{CD}$ ҳамда тескари кучланиш катта бўлсин $V \gg V_k$. У вактда (5.38) ва (5.39) ифодалар

$$\frac{C_c - C(t)}{C_c} = \frac{N_{rD}}{2N_{CD}} \exp\left(-\frac{t}{\tau}\right) \quad (5.40)$$

$$\frac{N_{rD}}{N_{CD}} = \frac{2\Delta C}{C_c} \quad (5.41)$$

кўринишни оладилар. Энди структуранинг n -тип базаси-да чукур сатҳли акцептор бўлган ҳолни кўрайлик. Унинг концентрацияси N_{rA} саёз донор концентрацияси N_{CD} дан кичик $N_{rA} < N_{CD}$. Бу ҳолда ҳам (5.34) (5.35) муносабатлар ўринли бўлиб, $N_{\delta c}$ ва a лар

$$\begin{aligned} N_{\delta c} &= N_{CD}, & a &= N_{rA}/N_{CD} \\ N_{\delta c}(1-a) &= N_{CD} - N_{rA} \end{aligned} \quad (5.42)$$

ифодалар орқали аниқланади. Структурага қўйилган тес-карӣ кучланиш катта $V \gg V_k$ ва N_{CD} , N_{rA} бир тартибда бўлган ҳолда, N_{rA} ни қиймати

$$\frac{N_{rA}}{N_{CD} - N_{rA}} = \left(\frac{C_c}{C_\delta} \right)^2 - 1 \quad (5.43)$$

билин аниқланади. $N_{CD} - N_{rA}$ нинг қиймати $C^{-2}(V)$ боғла-нишдан топилади. $V \gg V_k$ ва $N_{rA} \ll N_{CD}$ бўлган ҳолда эса, τ , N_{rA} қийматлари

$$\frac{C_c - C(t)}{C_c} = \frac{N_{rA}}{2N_{CD}} \exp\left(-\frac{t}{\tau}\right) \quad (5.44a)$$

$$\frac{N_{rA}}{N_{CD}} = \frac{2\Delta C}{C_c} \quad (5.446)$$

ифодадан топилади;

в) ЧС учун $e_r \ll e$, бўлган ҳолни кўрайлик. Структурага тескари кучланиш уланган ($0 \rightarrow -V$) дан сўнг сатҳнинг тўлатилганлик даражаси деярли ўзгармайди, χ_{3C} нинг ΔX_0 — юпқа қатлами электрон билан тўла бошлайди, у деярли сигимга таъсир кўрсатмайди. Сатҳларни қайта зарядланишини кузатиш учун сатҳни (электрон билан тўлдириш масаласи тўғри ток ўтказиш билан) уйғотиш тўхтатилгандан сўнг сатҳ (5.21) орқали аниқланувчи вақт доимийси τ билан тўла бошлайди. Бунда ҳажмий заряд зичлиги камаяди. У ўз навбатида чукур марказ донор, акцептор бўлишидан қатъи назар сигимнинг камайишига олиб келади. $V \gg V_s$ бўлган ҳолда сигим релаксациясини кўрайлик. У вақтда χ_{3C} нинг ҳамма қисмida уйғотиш тўхтагандан сўнг, ионлашган марказ концентрациясининг вақт бўйича ўзгариши

$$N_s(t) = N_{\infty} \left[1 + d \cdot b \exp\left(-\frac{t}{\tau}\right) \right] \quad (5.45)$$

билиан аниқланади. Агар чукур марказ донор бўлса, у ҳолда

$$N_{\infty} = N_{CD}, \quad b = N_{rD}/N_{CD}$$

Агар чукур марказ акцептор бўлса, у ҳолда $N_{\infty} = N_{CD} - N_A$, $b = N_A/(N_{CD} - N_A)$, d — коэффициент асосий бўлмаган заряд ташувчилар билан сатҳни тўлдирилганлик даражаси бўлиб, у $d = 1 - f_{ap}$ орқали ифодаланади. Бу ерда заряд ташувчилар кучли инжекциялашда, $f_{ap} = \frac{\gamma_n}{\gamma_n + \gamma_p}$ тўғри ток ўтганда сатҳни тўлдирганлик даражаси, транзистор структурани қўллашда ёки оптик усул билан уйғотиша $d = \frac{P_c}{P_c + P_i}$ билан ифодаланади. P_c — ковакнинг стационар концентрацияси. Хусусий ҳолда $\tau_s \ll \tau$ бўлганда $d = 1$ бўлади. (5.37) ва (5.45) ларни қўллаб

$$\frac{C^2(t) - C_e^2}{C_e^2} = b d \exp\left(-\frac{t}{\tau}\right) \quad (5.46)$$

(5.46) дан чукур марказ агар донор бўлса,

$$\left(\frac{C_b}{C_e}\right)^2 - 1 = d \frac{N_{rD}}{N_{CD}}, \quad (5.47)$$

чукур марказ агар акцептор бўлса,

$$\left(\frac{C_b}{C_e}\right)^2 - 1 = d \frac{N_{rA}}{N_{CD} - N_{CA}} \quad (5.48)$$

бўлишилигини кўрамиз. Баръер сифимининг релаксацияси оптик уйғотиш (ёруғлик) орқали ҳам кузатилиши мумкин. P^+ -н үтишда саёз донор ҳамда чукур донор бўлган ҳолни кўрайлик. Аниқлик киритиш учун $e_s \gg e_p$ ва $V \gg V_k$ бўлсин деб олайлик. Шундай температура олинадики, сатҳнинг бошлангич тўлатилганлиги узоқ муддатда сақлансин. Бошлангич вақтда сатҳ стационар тўлдирилганликка эга бўлсин, яъни XЗС нинг ҳамма қисмиде электрон билан деярли тўлатилмаган бўлсин, $t=0$ да диодни фотон энергияси $h\nu \geq E_g$ бўлган ёруғлик орқали P^+ томонидан ёритамиз. Бу вақт доимийси τ_{3n} билан сатҳни электрон билан тўлишига ва натижада сифимнинг камайишига олиб келади. XЗС да электроннинг дрейф тезлиги тўйинишига эришгани учун τ_{3n} координатага боғлиқ бўлмайди деб қараш мумкин. У вақтда $N_u(t)$ қуйидаги ифода

$$N_u(t) = N_{CD} + N_{rD} \exp\left(-\frac{t}{\tau}\right) \quad (5.49)$$

билин аниқланади. (5.49) ни $\left(\frac{C(t)}{S}\right)^2 = \frac{e \epsilon_d N_u(t)}{2(V + V_k)}$ га қўйиб сифимнинг вақт бўйича боғланиши

$$\frac{C^2(t) - C_e^2}{C_e^2} = \frac{N_{rD}}{N_{CD}} \exp\left(-\frac{t}{\tau_{3n}}\right) \quad (5.50)$$

билин аниқланишини күрамиз. Тажрибадан аниқланган $f(t) = c^2(t) - C_c$ боғланишдан $\tau_{\text{ин}}$ ни топиш мүмкін ва

$$\tau_{\text{ин}} = \frac{eV_{\text{др}}}{j\gamma_n} = \frac{eV_{\text{др}}}{jS_n U_{\text{ин}}}$$

орқали γ аниқланади. Бу ерда j — ток зичлиги, $V_{\text{др}}$ — дрейф тезлиги $N_{rD} \ll N_{CD}$ бўлган ҳолда сигум релаксацияси

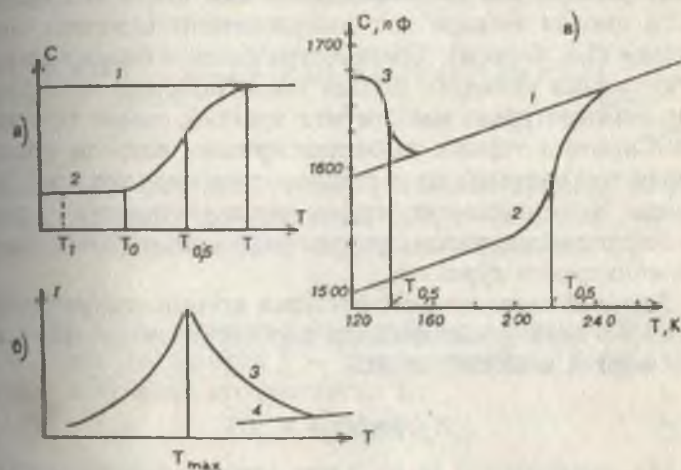
$$\frac{C(t) - C_e}{C_e} = \frac{N_{rD}}{2N_{CD}} \exp\left(-\frac{t}{\tau_{\text{ин}}}\right) \quad (5.51)$$

билин ифодаланади. Энди $x > w_6$ соҳа электрон билан тұла-тилган бўлсин. $t=0$ да диодни n -соҳасидан фотон энергияси $hw \geq E_g$ бўлган ёруғлик билан ёритилса, сатҳни ковак $\tau_{\text{ин}}$ вакт доимийси билан тұлдира бошлайди ва натижада сигумнинг ошишига олиб келади. Бу ҳолда ковак дрейф тезлигининг майдонга боғлиқлигини, яъни $\tau_{\text{др}}$ нинг масофага боғлиқлигини инобатга олиш керак.

б. Термик рағбатлантирилган сигумнинг релаксация усули

Чуқур марказ параметрларини үлчашнинг бу усули шоттки барьер (тўсик)ли ёки кескин $P^+ - n$ ўтишли структура (диод) ҳароратининг ошиши билан барьер сигумнинг ўзгаришини қайд қилишга асосланган. Барьер сигумининг бу ўзгариши иссиқлик таъсирида чуқур сатҳни қайта зарядланишидан содир бўлади. Бу усулининг моҳиятини ёритишида ҳам яримўтказгичда концентрацияси N_{CD} бўлган саёз сатҳли донордан ташқари, тақиқланган зонада энергиявий сатҳи E_r , концентрацияси N_{rD} бўлган чуқур сатҳли донор бўлсин ва бу чуқур сатҳ учун $e \gg e$ тенгсизлик бажарилади деб қабул қиласиз. Диодни иситиш, со-вутиш жараёнларida унда чуқур сатҳнинг тұлдирилганлигини ва у билан боғлиқ сигумнинг ўзгаришини күрайлик. Дастлаб структурани шундай температура $T > T_c$ да ушлаймизки, унда чуқур сатҳнинг электрон билан стационар тұлдирилганлиги тез ўрнатилсин ($\tau \ll \tau_{\text{ин}}$) ва $\omega\tau \gg 1$ тенгсизлик бажарилсин. Бунда үлчанган сигум юқори частотали барьер сигумнинг стационар C қийматини беради. Кейин диодни тескари V кучланиш уланган ҳолда

чукур сатхнинг бошлангич ҳолатдаги тұлдирилғанлиги узоқ сақланадиган T_1 температурагача совутамиз. Бу жараёнда сатхнинг тұлдирилғанлик даражаси деярли үзгармайды. Шунинг учун сифимнинг температуралық күчсиз бөгланиши күзатылади (5.5-расм, бөгланиш). Бу бөгланиш чукур сатхнинг стационар тұлдирилғанлиги n_e ва стационар тұлдирилғанликка мөс келган стационар барьер сифими C_s ни аңглатади. Энди тескари V күчланиш қүйилған ҳолда диодни T_1 дан бошлаб қыздырамиз. Бу жараёндаги сифимнинг температуралық бөгланиши ҳам 1-бөгланиш каби бўлади. Сўнг диодни, яна қайтадан тескари күчланиш қўйилмаган $V=0$ ҳолда, T_1 температурагача совутамиз, сўнгра тескари күчланиш улаймиз. Бу температурада сатхнинг бошлангич тұлдирилғанлиги n_e ва унга мөс си-



5.5-расм. Бир зарядли чукур маркази бўлган $p-n$ ўтишда сифим (a), тескари токнинг (b) температуралық бөгланиши. 1,4 — термик рағбатлантирилмаган; 2,3 — термик рағбатлантирилган чукур сатх разряди бўлган ҳол учун. Тилла билан легирланган p^+-n ўтишли кремний диоди сифимининг температуралық бөгланиши (b).

$N_c = 1,5 \cdot 10^{14} \text{ см}^{-3}$, $N_d = 1,6 \cdot 10^{13} \text{ см}^{-3}$, $S = 2,2 \text{ см}^2$, $U = 20 \text{ В}$, $b = 1 \text{ К/с}$.
 1 — термик рағбатлантириш бўлмаганда чукур сатх разряди;
 2 — акцептор сатхи рағбатлантирилганда чукур сатх разряди;
 3 — термик рағбатлантирилганда донор сатхини электрон билан тўлиши ($DE_A = E_c - E_i = 0,5 \pm 0,04 \text{ эВ}$, $DE_D = E_D - E_V = 0,36 \pm 0,03 \text{ эВ}$, $e \ll e_p$).

ғимнинг бошлангич қиймати C_b узоқ сақланади. C_b нинг қиймати C_c га нисбатан кичик. Энди диодга тескари V кучланиш үланган ҳолда унинг температурасини кўтара борамиз. Температуранинг T_1 дан T_0 оралигида сатҳнинг бошлангич тўлдирилганлиги сақланиши туфайли сифимнинг температурага кучсиз боғланиши содир булади. Температуранинг T_0 дан T_c гача бўлган оралигида эса структура сифимининг тез ўсиши кузатилади. Бу температура оралигида сатҳнинг тўлдирилганлик релаксация вақти камаяди ва сатҳнинг термик рағбатлантирилган разряди (сатҳдан электроннинг иссиқлик таъсирида чиқиши) кузатилади. Бу ўз навбатида сифимнинг тез ўсишига олиб келади. Сатҳнинг термик рағбатлантирилган разряди тугагандан сўнг, ($T > T_c$ да) 1- ва 2-боғланишлар бир-бира га мос тушади. Сатҳнинг термик рағбатлантирилган разряди тескари ток релаксациясини ҳам юзага келтиради, яъни диодда тескари ток импульсининг оқишига олиб келади (5.5, б-расм). Температура ошиши билан тескари V кучланиш қўйилган диодда ток кўтарилади ва маълум бир температурада максимумга эришиб, камая бошлади. Сатҳнинг термик рағбатлантирилган разяди тугаши билан ток одатдаги диод стационар тескари токигача камаяди. Энди диоднинг термик рағбатлантирилган сифим ва ток релаксациялари орқали чукур сатҳ параметрларини аниқлашни кўрайлик.

Ҳажмий зарядни ҳосил қўйувчи ионлар концентрацияси ҲЗС нинг ҳамма қисмида бир хил бўлганда, ионлашган марказ концентрацияси

$$N_u(t) = N_{CD}^+ + N_{rD}^+(t) \quad (5.52)$$

билан аниқланади. Шу билан бирга, ионлашган чукур донорлар концентрацияси

$$N_{rDu}(t) = N_{rD} \left[1 - \exp \left(- \int_0^t e_n(t) dt \right) \right] \quad (5.53)$$

қонуният бўйича ошади. Унга мувофиқ нейтрал сатҳлар концентрацияси камаяди

$$n_r(t) = N_{rD} \exp \left[- \int_0^t e_n(t) dt \right]$$

Маълумки, тескари ток зичлиги чуқур сатҳидан ўтказувчан зонага вақт бирлигига ўтаёттан электронлар сонига $\left(\frac{dn_r}{dt} \right)$ пропорционал

$$j_{\text{тек.ток}} = e \frac{dn_r}{dt} = e \frac{d}{dt} N_{rD} \exp \left[- \int_0^t e_n(t) dt \right] = -e_n(t) n_r(t) \cdot e \quad (5.55)$$

Термик рағбатлантирилган тескари ток қандайдир температура T да максимумга эришгани учун (5.53) дан вақт бўйича олинган ҳосила $T = T_{\max}$ да нольга тенг бўлади.

$$\left(\frac{dj_{\text{тек.ток}}}{dt} \right)_{T=T_{\max}} = -e \frac{d}{dt} (e_n(t) \cdot n_r(t)) = e \frac{de_n}{dt} + e e_n \frac{dn_r}{dt} \Big|_{T_{\max}} = 0 \quad (5.56)$$

Модомики сатҳнинг термик рағбатлантирилган разряди кичик температура оралиғида содир бўлар экан, бу оралықда температуранинг вақт бўйича ошишини

$$T = T_0 + \beta t$$

кўринишдаги чизиқли қонуният бўйича боради деб ҳисоблаш мумкин. Бу ерда β — температуранинг ўсиш тезлигини аниқловчи коэффициент Кс^{-1}

$$dT = \beta dt \quad (5.58)$$

бўлишлигини назарда тутиб ва (5.18) ифодани кўллаб, (5.56) дан чуқур сатҳ ионланиш энергиясининг

$$\ln \left(\frac{T_{\max}^4}{\beta} \right) = \frac{\Delta E_r}{KT_{\max}} + \ln \left(\frac{\Delta E_r}{\kappa b V_n} \right) + \ln \left(1 + \frac{2\kappa T_{\max}}{\Delta E_r} \right) \quad (5.59)$$

ифода билан аниқланишини кўрамиз.

Амалиётда кўп ҳолларда $2 KT_{\max} < \Delta E_r$ бўлади. У вақтда (5.59) ифода

$$\ln\left(\frac{T_{\max}^4}{\beta}\right) = \frac{\Delta E_r}{KT_{\max}} + \ln\left(\frac{\Delta E_r}{k_b V}\right) \quad (5.60)$$

күринишигээ келади. Бу формулани қўллаб, тажрибадан чукур сатҳнинг ионланиш энергиясини аниқлаш учун структуранинг ҳар хил иситиш тезликлари β да термик рағбатлантирилган тескари токлари қайд қилинади ва токнинг максимумга эришган температуралари орқали $\ln\left(\frac{T_{\max}^4}{\beta}\right)$ ни $\frac{1}{T_{\max}}$ га боғланиши чизилади. Унинг оғиши бурчаги тангенсидан $\left(\frac{\Delta E_r}{k}\right)$, абсцисса ўқи $\left(\frac{1}{T_{\max}}\right)$ нинг кесишиш нуқтаси орқали V , топилади. Энди термик рағбатлантирилган сифимнинг релаксациясидан чукур сатҳ ионланиш энергиясининг аниқланишини кўрайлик. Бунинг учун диод температураси чизиқли қонуният билан ўсиб бораётганида чукур сатҳнинг ярмигача разрядданиши учун кеттан вақт ҳисобланади, яъни $N_{r_D}(t_{0,5})=0,5N_{CD}$ ни (5.53) ифодага қўйиб ва $e_n=\tau^{-1}$ лигини назарда тутиб, (5.18) ни қўллаган ҳолда чукур сатҳ ионланиш энергиясининг

$$\frac{\Delta E_r}{KT_{0,5}} = \ln\left(\frac{\gamma_n N_e T_{0,5}}{\beta \ln 2}\right) - \ln\left(\frac{\Delta E_r}{KT_{0,5}}\right) \quad (5.61)$$

куринищдаги тақрибий ифодасини оламиз.

Бу $T_{0,5}=T_0+\beta t_{0,5}$ ни $t=0,5$ вақтдаги диод температураси иккинчи томондан $t=t_{0,5}$ даги сифими

$$\frac{C^2(t)-C_6^2}{C_c-C_6} = 0,5 \quad (5.62)$$

муносабат билан аниқланади. $T_{0,5}$ температура $C(t)$, C_6 , C_c лар тажриба натижаларидан топилади.

$N_{CD} \ll N_{r_D}$ тенгсизлик бажарилганда (5.62) ифода

$$\frac{\Delta C(t_{0,5})}{\Delta C} = 0,5 \quad (5.63)$$

куринишни олади. Бу ерда $\Delta C(t_{0,5}) = C(t_{0,5}) - C_0$, $\Delta C = C_e - C_0$, $\Delta C(t) = C(t) - C_0$ сифимнинг 1- ва 2-боғланишлари айирмасини ифодалайди. Назарий ҳисоблашларнинг кўрсатишича, чукур сатҳ ионланиш энергиясини термик рағбатлантирилган ток максимуми бўйича аниқлашда (5.61) формуладан фойдаланиш ҳам мумкин, унда $T_{0,5}$ ни T_{\max} га ўзгартирилади, холос.

Юқоридаги мулоҳазалардан кўринадики, термик рағбатлантирилган ток, сифим релаксациялари бўйича чукур сатҳ параметрларини аниқлашда $T(t)$ нинг чизиқли боғланишда булишилик шарти бажарилиши керак. $T(t)$ нинг чизиқли боғланишига кенг температура оралиғида автоматик қурилмалар билан эришиш мумкин. Одатда, сатҳнинг термик рағбатлантирилган разряди кичик температура оралиғида содир бўлгани учун, бу соҳада $T(t)$ нинг ночилизигий боғланишини (5.58) муносабат орқали апраксимациялаш мумкин.

Энди чукур сатҳ концентрацияси N_{cd} ни аниқлашни кўрайлик. Структуранинг бошлангич ҳолатдаги температураси $T_b = T_c$ ва унга тескари V кучланиш қўйилган бўлсин. Бу ҳолда ҳажмий заряд соҳасининг кенглиги $h(V, T)$, сифими $C(V, T)$ бўлсин. Тескари кучланиш V ни сақлаган ҳолда структурани T_1 температурагача совутсак, унинг ҲЗС нинг кенглиги $h(V, T_1)$ ва сифими $C(U, T_1)$ бўлади. Бунда ҲЗС нинг ҳажмий заряд зичлиги $\rho = e(N_{cd} + N_{cd})$ сакланаади. T_1 температурада структура тескари V кучланишини V_1 гача камайтирсак, ҲЗС нинг кенглиги $h(V_1, T_1)$ ва сифими $C(V_1, T_1)$ бўлади. Бунда ҳажмий заряд соҳасининг кенглиги бир мунча камаяди. Шу билан бирга, бу соҳада чукур сатҳ заряди ўтказувчан зонадаги электрон билан компенсацияланади. T_1 температурада тескари V кучланиши V гача қайтадан тикласак, бу соҳа янгитдан асосий заряд ташувчилар билан камбағаллашади, лекин чукур сатҳ ҳажмий заряд зичлигига таъсир кўрсатмайди, ҲЗС нинг ҳажмий заряд зичлиги $\rho = eN_{cd}$ билан аниқланади. Тескари V кучланиш қўйилган ҳолда T_1 температурадан бошлангич ҳолатдаги температура T гача кутарсак, у ҳолда сатҳнинг термик рағбатланган разряди туфайли, структура сифими ҳамда ҲЗС нинг кенглиги ўзларининг бошлангич қийматлари $h(V, T)$ ва $C(V, T)$ га қайтадилар. Ҳисоблашларнинг кўрсатишича, юқорида кўрсатилган шароит-

ларда ўлчанган $C(V, T)$, $C(V, T_1)$, $C(V_1, T_1)$ сигимлар орқали чукур сатҳ концентрацияси

$$N_{rD} = -N_{CD} \frac{C^2(V_1, T_1)[C^2(V, T_1) - C^2(V, T)]}{C^2(V, T_1)[C^2(V_1, T_1) - C^2(V, T)]}$$

формула билан аниқланиши мумкин. Агар $V_1=0$, $h(V_1, T_1)=0$ ва структура сигимлари $C(V, T)$ ва $C(V, T_1)$ нинг кийматлари бир-биридан кам фарқ қылса, у ҳолда N_{rD}

$$N_{rD} = 2N_{CD} \frac{C(V, T) - C(V, T_1)}{C(V, T_1)}$$

билин аниқланади. Шуни таъкидлаш керакки, чукур сатҳ параметрларини аниқлашнинг термик рағбатлантирилган сигим, ток усулларининг ЧС параметрларини тез ва тақрибий баҳолашга қўллаш мақсадга мувофиқдир. Бу усуллар билан ўлчашнинг хатолигини камайтириш учун сигимнинг $C(t)$ ва токнинг $I(t)$ боғланишларини структура температурасининг ҳар хил ўсиш тезлиги (β) да ўлчаш зарур, лекин бу билан усулнинг асосий ютуғи, яъни усулнинг соддалиги ўз маъносини йўқотади.

в. Фотосигим усули

Бу усулда текшириладиган намуна металл-яrimутказгич, $p-n$ ўтишли (структурат) оптик криостатга жойлаштирилади ва кучланиш қўйилмаган $U=0$ ҳолатда совитилади, сўнгра тескари кучланиш қўйиб киришмавий ютилиш соҳасига мос келадиган ҳар хил тўлқин узунликдаги монохроматик ёруғлик билан ёритилиб, структура сигими ўлчанади. Куйида ўлчанган сигимнинг спектрал боғланишидан ЧС параметрларини аниқлашнинг назарий асосини ва баъзи бир ифодаларини қисқача таҳлил қилайлик. Одатда паст температура (77К) да чукур донор сатҳ E_{rD} дан электроннинг ўтказувчан зонаси E_c га, валент зонаси E_v дан чукур акцептор сатҳ E_A га иссиқлик таъсирида ўтиши, яъни термик генерация тезлигини кичик деб қаралади. Шунинг учун биз кўраётган ҳолда структура сигимининг ўзгариши X3C даги ЧС нинг фотоионланиши туфайли содир бўлади. Бундай ҳолат температураси 77К бўлан германий, кремний-арсенид-галлий намуна-

парида ионланиш энергияси $\Delta E \geq 0,18$ эВ бўлган ЧС лар учун кузатилади. Маълумки, диоднинг X3C да эркин заряд ташувчилар концентрациялари Больцман тақсимоти билан аниқланади. X3C даги электр майдони эркин заряд ташувчиларни бу соҳадан ташқарига сиқиб чиқаргани учун уларнинг концентрацияси жуда кичик бўлади. Тескари қўйилган кучланиш $V > \frac{KT}{e}$ бўлганда, паст температураларда X3C да $p=0$ ва $n=0$ деб олиниши билан катта хатоликка йўл қўйилмайди. Шунинг учун (5.9a) тенгламадаги эркин заряд ташувчиларни ЧС га тутилиши билан боғлиқ ҳадларни инобатга олмаслик мумкин. У ҳолда ЧС даги электроннинг концентрациясини вақт бўйича ўзгариши фақат фотоионланиш туфайли содир бўлади ва у (5.9a) дан

$$\frac{dn_r}{dt} = [\chi_p \cdot (N_r - n_r) - \chi_n n_r] I_v, \quad (5.66)$$

кўринишдаги тенглама билан аниқланишини кўрамиз.

Стационар ҳолат $\frac{dn_r}{dt} = 0$ да (5.66) дан ЧС нинг электрон билан тўлдирилганлик даражаси

$$\frac{n_r}{N_r} = \frac{\chi_p(h\nu)}{\chi_p(h\nu) + \chi_n(h\nu)} \quad (5.67)$$

билан аниқланади. (5.66) тенгламанинг $t=0$ да $n_r=N_r$ бошлангич шартни қаноатлантирувчи ечими, яъни чуқур донон сатҳнинг ностационар жараёнда электрон билан тўлдирилганлик даражаси

$$\frac{n_r}{N_r} = \frac{\chi_p(h\nu)}{\chi_n(h\nu) + \chi_p(h\nu)} + \frac{\chi_n(h\nu)}{\chi_n(h\nu) + \chi_p(h\nu)} \exp\left(\frac{t}{\tau}\right) \quad (5.68)$$

билан аниқланади. (5.66) тенгламанинг $t=0$ да $n_r=0$ бошлангич шартни қаноатлантирувчи ечими, яъни чуқур акцептор сатҳнинг электрон билан тўлдирилганлик даражаси

$$\frac{n_r}{N_r} = \frac{\chi_p(h\nu)}{\chi_n(h\nu) + \chi_p(h\nu)} \left[1 - \exp\left(-\frac{t}{\tau}\right) \right] \quad (5.69)$$

билин аниқланади. Бу ерда

$$\tau^{-1} = [\chi_n(h\nu) + \chi_p(h\nu)] I_v \quad (5.70)$$

(5.68) ва (5.69) ифодалардан күринаиди, ЧС ларни оптик қайта зарядлаш экспонента қонунияти бүйича бирхил вакт доимийси t билан содир бўлади. Фотосигимнинг фотон энергиясига боғланишини учта соҳага ажратиш мумкин.

1. Фотон энергиясининг ЧС ионланиш энергиясидан кичик бўлган $h\nu < \Delta E$, соҳаси. Бу соҳада сатҳни қайтадан оптик ўтишлар билан зарядлашнинг иложи бўлмайди ва натижада сатҳнинг тўлдирилганлик даражаси ўзгармайди.

2. Фотон энергиясининг $\Delta E < h\nu < E_g - \Delta E$, соҳаси. Бу соҳада сатҳнинг тақиқланган зона ярмидан юқори ёки паст қисмida жойланишига қараб, $\chi_n(h\nu) > 0$, $\chi_p(h\nu) = 0$ ёки $\chi_p(h\nu) > 0$, $\chi_n(h\nu) = 0$ бўлади. Донор чуқур сатҳнинг тўлдирилганлик даражаси бу соҳада $\chi_n \neq 0$, $\chi_p = 0$ бўлишигини назарда тутсак, (5.68) дан

$$\frac{n_r}{N_r} = \exp\left(-\frac{t}{\tau}\right) \quad (5.71)$$

билин аниқланишини кўрамиз. Чуқур акцептор сатҳнинг тўлдирилганлик даражаси $\frac{n_r}{N_r}$ (5.69) дан бу соҳада $\chi_n > 0$, $\chi_p = 0$ бўлишини назарда тутсак,

$$\frac{n_r}{N_r} = 1 - \exp\left(-\frac{t}{\tau}\right) \quad (5.72)$$

келиб чиқади. Шундай қилиб, фотон энергиясининг электронни E_{cD} дан E_c га E_v дан E_{mA} га чиқаришнинг етарли соҳасида структурани узоқ муддатли ёритишдан чуқур донор сатҳининг электрон билан тўла қашшоқланиши, чуқур акцептор сатҳининг тўлиши содир бўлади.

3. Фотон энергиясининг $E_c - \Delta E < h\nu \leq E_v$ соҳаси. Бу спектрал соҳада иккита оптик ўтиш, яъни электронни ёруғлик таъсирида E_{cD} дан E_c га ва E_v дан E_{mA} га ўтиши кузатилади. Узоқ муддатли ёритишдан сўнг, яъни $t \rightarrow \infty$ да

$t \gg \tau$ бўлади. (5.68) ва (5.69) ларга кўра сатҳнинг тўлдирилганлик даражаси

$$\frac{n_r}{N_r} = \frac{\chi_p(h\nu)}{\chi_n(h\nu) + \chi_p(h\nu)} \quad (5.73)$$

билин аниқланиади. Бундан кўринаиди, сатҳнинг тўлдирилганлик даражаси фақат электронни, ковакни фотонланиш кесимлари $\chi_n(h\nu)$ ва $\chi_p(h\nu)$ нинг спектрал боғланиши билан аниқланиб, у на ёруғлик интенсивлигига, на сатҳнинг бошланғич ҳолатда қандай тўлдирилганлигига боғлиқ эмас. Агар диоднинг p -тип базасида ЧС тақиқланган зона ярмининг юқори қисмida ёки n -тип базасида тақиқланган зона ярмининг куйи қисмida жойлашган бўлса, фотосигимни ўлчашда уни қайта зарядлаш фақат иккита $E_c \rightarrow E_c$, $E_v \rightarrow E_v$ оптик ўтишлар фотон энергиясининг $h\nu > (E_c - \Delta E)$ соҳасида мумкин бўлади. Бундай сатҳларни текширишдан олдин улар асосий бўлмаган заряд ташувчилар билан қайта зарядланади ва сўнг $N = f(t)$ боғланиш ўлчанади. Бундай усул билан ЧС параметрларини ўлчаш индукцияланган фотосигим усули деб юритилади.

Фотосигимни ўлчашда ЧС ни қайта зарядлаш одатда диод сирти энергияси $h\nu \geq E_g$ бўлган ёруғлик билан ёритиши орқали амалга оширилади. Бу соҳада ютилиш коэффициенти $\alpha \gg d^{-1}$ (d – диод сиртидан $p-n$ ўтиш чегарасигача бўлган масофа) бўлади. Структурани ёритишдан ҳосил бўлган электрон ковак жуфтлари $p-p$ ўтиш чегараси томон диффузияланадилар ва ҲЗС да ажраладилар. ҲЗСдан фақат асосий бўлмаган заряд ташувчилар ўтади. Хусусий ютилиш соҳасида ЧС нинг қайта зарядланишидан юзага келган диод сигимини ўзгаришига олиб келади:

$$N_u(t) = N_{CD} + N_{nD} \exp\left(-\frac{t}{\tau_{3n}}\right) \quad (5.74)$$

экспоненциал қонуният бўйича ўзгаради. ЧС ни тўлдириш жараёнининг вакт доимийси τ_{3n} ни ўлчаб,

$$\tau_{3n} = \frac{e \cdot V_{AP}}{f \cdot \gamma_n} \quad (5.75)$$

ифодасидан заряд ташувчиларнинг марказга тутилиш кесими γ ни аниқлаш мумкин. Диффузион диодларда эса битта чуқур сатҳ узун электроннинг ҳам ковакни тутилиш кесимларини аниқлаш мумкин. Фотосифим усули билан ЧС энг кичик концентрациясини қайд қилиш, ўлчаш қурилмасининг сезирлиги диоднинг тұла сифимига, сатҳнинг фотоионланиш кесимига боғлиқ бўлиб, у изотермик сифим релаксацияси усули каби

$$N_r = N_u \cdot \frac{2\Delta C}{C} \quad (5.76)$$

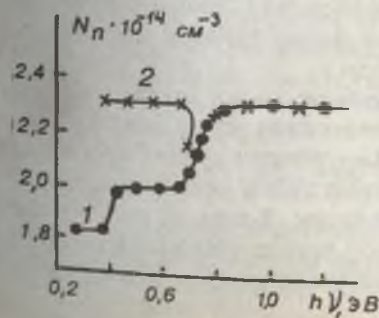
билан аниқланади. Тажрибаларнинг кўрсатишича, сифими ни ўлчашла ўзгарувчан ток кўприги кўлланилганда $\frac{\Delta C}{C}$ нинг кичик қиймати $10^{-2} - 10^{-3}$ тартибида бўлади. Модомики, намунада киришмалар умумий концентрацияси 10^{13} см⁻³ бўлганда, чуқур сатҳнинг концентрацияси $10^{10} - 10^{11}$ см⁻³ бўлсагина кузатиш мумкин. Бошқача айттанды, юзаси $0,1$ см² ХЗС кенглиги 30 мкм бўлган диодда $3 \cdot 10^8 - 3 \cdot 10^7$ тагача киришма атомини қайд қилиш мумкин. Бу усулнинг камчилиги сифатида ЧС нинг фотоионланиш кесими билан чекланганлигини ва киришмавий ютилишни ёруғлик интенсивлигига боғлиқлигини кўрсатиш мумкин. Узлуксиз монохроматик ёруғлик спектрлари одатда иссиқлик манбаларини (глобар, Нернст штифт) кўллаш орқали олинади. Уларнинг интенсивлиги нисбатан кичик бўлади. Диод сиртига тушаётган монохроматик ёруғлик интенсивлиги $10^{15} - 10^{16}$ квант/см² · с дан ошмайди. Агар $x < 10^{20}$ см² бўлса, ЧС ни оптик ўтишлар билан қайта зарядлашнинг вақт доимийси $t \geq 10^{-1}$ с бўлади. Сифимнинг бундай секин релексациясини фақат ЧС нинг катта концентрациясида, қурилма турғун ишлаганда ўлчаш мумкин. ЧС энергия ионизацияси фотосифим спектридан унинг ўзгариши кузатиладиган энг кичик фотон энергияси орқали топилиши мумкин. Унинг аниқ қиймати қурилаётган сатҳда ёруғликнинг ютилиш назарияси билан аниқланган боғланишдан топилади. Яримутказгичларда баъзи бир киришмалар кўп зарядли ҳолатда бўлган тутқич марказларни ҳосил қиласди. Улар кристалл панжара-да ҳар хил ҳолатда бўлиши ва комплекслар, атомлар комп-

лекси ҳосил қилиши мүмкін. Бу ҳолатда диоднинг тұла фотосигим спектри қаралып сатылған, фотосигим спектри ий-фирнисидан иборат болады. Фотосигимнинг ўзгариш табиатига қараб, сатылған энергияси ўзгарувчан зона түбірге ёки валент зона шипига нисбатан үлчашни анықлады. Биринчи ҳолда чуқур сатқынинг камбағаллашидан қажмий заряд зичлиги ортиши туфайли, структура сигими ўсады (сигим ўзгариши мусбат), иккінчи ҳолда чуқур сатқын көвакни валент зонага чиқариш туфайли, сигим камаяды. (Сигим ўзгариши манфий.)

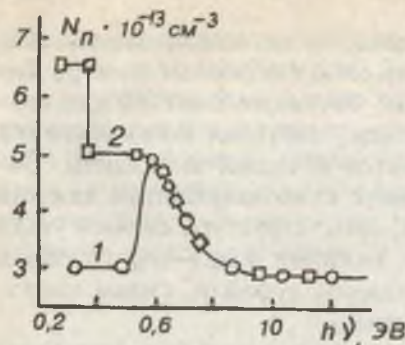
Фотосигим усулы билан тұтқыч асосий бұлмаган заряд ташувчилар унинг марказ параметрлерининг анықланышы унинг асосий жетекшілігі.

Тилла киришмали кескін $n^+ - p$ ўтишнинг фотосигим индукцилашган фотосигим спектрлари 5.6-расмда көлтірилген. Фотосигим, яғни X3C да ионлашган марказ концентрациясы N_n нинг биринчи поғонасі фотон энергиясининг $h\nu = 0,34$ эВ дан бошлаб күзатылады. У бошқа усулдар билан анықланған тилла киришмасынинг қуйи сатылған ионланиш энергиясига мөс келади.

N_n нинг бу энергияда кескін ўзгариши күрилаёттан сатқынинг муайян фотоионланиш энергиясига эта экан-лигидан далолат беради. Фотон энергиясини $h\nu \geq 0,7$ эВ соңасыда N_n нинг янгитдан ортиши күзатылады. Бу спектрал соңада тилла юқори сатылған орқали иккита оптик ўтишлар бўлиши мүмкін. ($E_r \rightarrow E_c$ ва $E_v \rightarrow E_p$). $N_n(t)$ боғланиш бу саты учун $\frac{X_p}{X_n} = f(h\nu)$ боғланишга мөс тушади. Фотон энергиясининг $h\nu > 0,8$ эВ соңасыда N_n түйинишига инти-



5.6-расм. Тилла киришмали $n^+ - p$ диоднинг фотосигим спектри (1) индукуцияланған фотосигим спектри (2).



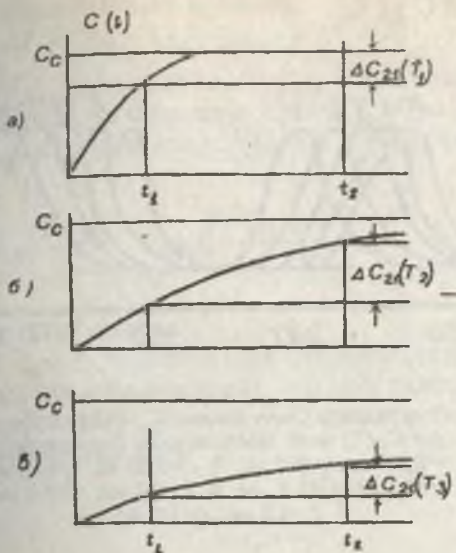
5.7-расм. Тилла киришмали $n^+ - p$ диоднинг 77 К даги фотосифим (1), индукцияланган фотосифим (2) спектрлари.

лади ва хусусий ёргулук $h\nu > E$ билан қайта зарядлашдан ўзгармайди. Бу спектрал соҳада тилла юқори сатҳи учун $\chi_p \gg \chi_n$ бўлади. Фотон энергиясини $h\nu > 0,8$ эВ дан бошлаб кучсиз ўзгариши, тилла қуий сатҳи орқали иккита оптик ўтиш мумкин бўлганда шуни кўрсатадики, бу сатҳ учун ҳам $\chi_p \gg \chi_n$ муносабат ўринли бўлади. Текширилаётган диоднинг индукцияланган фотосифим спектри 5.6-расмда 2-боғланиш орқали ифодаланган. Унинг таҳлили кўрсатишича, фотон энергиясини $h\nu = 0,56$ эВ бўлган қийматда X3C да ионлашган марказ концентрациясининг кескин камайиши хусусий ёргулук таъсирида электрон билан тўлатилган юқори тилла сатҳининг камбағаллашиши туфайли содир бўлган деб тушунирилади.

$P^+ - n$ диоднинг фотосифим спектри (5.7-расм) $n^+ - p$ — диоднинг фотосифим спектри билан яхши мос келади. Бу ҳолда N_n нинг кескин ортиши фотон энергиясининг $h\nu = 0,56$ эВ соҳасида содир бўлади. Фотон энергияси ортиши билан χ_n / χ_p нисбатнинг камайиши туфайли, N_n камая бошлайди. Индукцияланган фотосифим спектри (2-боғланиш)да тилла қуий сатҳининг электрон билан тўлиши туфайли содир бўлган поғона кузатилади.

в. DLTS — сифимнинг автоматлашган релаксация усули

Сифимнинг изотермик релаксация усули диодга қўйилган кучланишни, уйғотувчи ёргулукни кўлда бир каррали (марта) қайта ўлчашдан даврий қайта улашга ўтиш орқали такомиллаштирилиб борилади. Бунда диодга тескари йўналишда уланган кучланиш устига чуқур сатҳни тўлдирувчи тескари қутбли даврий частотаси f — бўлган кучла-

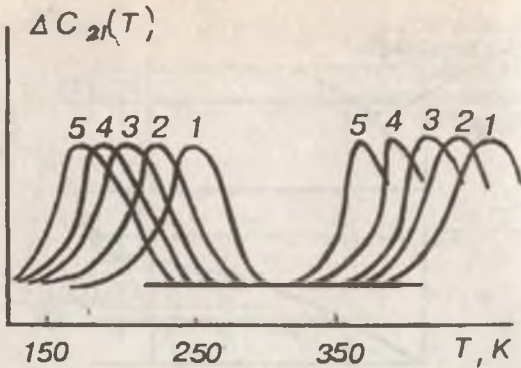


5.8-расм. Кучланишни қайта улаш $O \rightarrow U$ дан сүнг ҳар хил температураларда сиғимнинг вақтга боғланиши
а- $T=T_1$, б- $T=T_2$, в- $T=T_3$, $T_1 > T_2 > T_3$.

ниш импульси берилади. Ланг томонидан даврий қайта улаш усули ривожлантирилди ва автоматлаштирилган усулнинг назарий ва амалий асоси яратилди. Бу усул ЧС ни спектроскопик тадқиқ қилишнинг даврий қайта улаш усули *DLTS* деб юритила бошланди. Шундай қилиб, *DLTS* автоматлаштирилган изотермик сиғим релаксация усулидир. Бу усулга кўра намуна температурасининг секин ўзгариш жараёнида тўлдирувчи кучланиш ҳар бир қайта улашишдан сүнг сиғим релаксациясидан берилган $t=t_1$ ва $t=t_2$ вақтлардаги $C(t_1)$ ва $C(t_2)$ сиғимларни (5.8-расм), улар фарқини

$$\Delta C_{21} = C(t_1) - C(t_2)$$

ҳамда температурани (масалан, термопара ишлатилганда термо ЭЮКни) автоматик тарзда ўлчаб боради ва ΔC нинг температурага боғланиши $\Delta C(T)$ топилади. t_1 ва t_2 ларни ўзgartириб, $\Delta C_2(T)$ нинг “оиласи” (5.9-расм) чизилади



5.9-расм. P^+ - n типдаги GaAs диодда $U_{\text{вых}} \rightarrow U$ га қайта улашдан сүнг $C_{21}(T)$ нинг температурага боғланиши.

1. $t_1=0,02$ мс; $t_2=0,2$ мс;
2. $t_1=0,05$ мс; $t_2=0,5$ мс;
3. $t_1=0,1$ мс; $t_2=1,0$ мс;
4. $t_1=0,2$ мс; $t_2=2,0$ мс;
5. $t_1=0,5$ мс, $t_2=5,0$ мс.

ва улар ёрдамида релаксация вақтининг температурага боғланиши $\tau(T)$ аниқланади. Бу ўлчанган боғланишлар орқали ЧС параметрларини топишни таҳлил қиласайлик.

Чукур сатҳ (ЧС) учун $e_n \gg e_p$ ҳамда $U \gg V$ ва $N_{CD} \gg N_s$, тенгсизликлар бажарилсин деб қарайлик. Бу ҳолда симимнинг вақт бўйича ўзгариши $0 \rightarrow U$ қайта улашдан кейин (5.40) ифода билан аниқланади. Бу ифодадан $C(t)$ ни $t=t_1$ ва $t=t_2$ даги қиймати ҳамда уларнинг фарқи $\Delta C_{21}(t)=C(t_2)-C(t_1)$ ни ўлчаш орқали

$$\frac{\Delta C_{21}}{C} = \frac{N_r}{2N_{CD}} \left[\exp\left(-\frac{t_1}{\tau}\right) - \exp\left(-\frac{t_2}{\tau}\right) \right] \quad (5.76)$$

аниқланишини куриш қийин эмас. $\Delta C_{21}/C$ нисбат берилган t_1 ва t_2 ларни қийматида намуна температурасига боғлик ва у қандайдир температура T_{\max} да максимумга эришади. (5.76) ифодани температура бўйича дифференциаллаб, ҳосиласини нольга тенглаштириб, бироз соддалаштиришдан сүнг

$$\tau_{\max} = \frac{t_2 - t_1}{\ln(t_2/t_1)} \quad (5.77)$$

билин ифодаланишини күрамиз.

Берилган t_1 ва t_2 вақтлардаги $\frac{\Delta C_{21}}{C} = f(T)$ боғланиш, унинг $T=T_{\max}$ даги қиймати, T_{\max} температуранинг ўзи эса тажрибадан аниқланади. Сунг t_{\max} , t_1 ва t_2 лар ҳамда $(\Delta C_{21}/C)_{\max}$ берилган ҳолда ЧС концентрацияси (5.76) га кўра

$$N_{CD} = 2N_{CD} \left(\frac{\Delta C_{21}}{C} \right)_{\max} \left[\exp \left(-\frac{t_1}{\tau_{\max}} \right) - \exp \left(-\frac{t_2}{\tau_{\max}} \right) \right] \quad (5.78)$$

ифодадан ҳисобланади.

Одатда $e \ll e_p$ бўлган ҳолда сатҳни тўлдиришда тўғри тоқдан тескари кучланишга ($I_{\text{пр}} \rightarrow U$) тез қайта улаш қўлланади. Бу ҳолда ЧС учун $\gamma_s \gg \gamma_p$ бўлса, сатҳнинг бошланғич тўлдириш даражаси

$$f = \frac{\gamma_p}{\gamma_n + \gamma_p}$$

учун $f=1$ тенгсизлик бажарилмайди. Шунинг учун $I_{\text{пр}} \rightarrow U$ қайта улаш сатҳни тўлдирилганлик даражасини ва у билан боғлиқ структура сифимини ўзгартирмайди, бошқача айтганда, сифим релаксацияси кузатилмайди. Демак, $e \ll e_p$ бўлган чуқур сатҳ параметрларини *DLTS* билан аниқлаш учун $f \neq 1$ тенгсизлик бажарилиши керак экан. Бу $p^+ - n$ ўтишли GaAs диодида яхши намоён бўлган.

Диод концентрацияси $N_{CD} = S \cdot 10^{15} \text{ см}^{-3}$ бўлган *n*-типдаги арсенид галлийдан ясалган. Диодда кучланишни $0 \rightarrow I$ қайта улашдан сифим релаксацияси кузатилмаган.

$I_{\text{пр}} \rightarrow U$ қайта улашдан сунг эса иккита чуқур сатҳни тўлдириш релаксациясига боғлиқ икки хил температура оралиғида сифим релаксацияси (сифимнинг камайиши) кузатилган. Демак, бундан кўринадики, икки сатҳ учун $e \ll e_p$ тенгсизлик бажарилади. ΔC_{21} нинг температурага боғланиши t_1 ва t_2 ларнинг бешта қийматида олинган ҳар бир боғланишидан T_{\max} , τ_{\max} (5.77) билан аниқланиб, $\tau_{\max} = f(T_{\max})$ боғланишдан сатҳларнинг энергетик ҳолати $E_1 = E + 0,44$ ЭВ, $E_2 = E + 0,77$ ЭВ билан аниқланишини кўрсатади. *DZTS* нинг кўп чизмаларида $N/N_{\text{специ}}$ нисбат билан аниқланадиган сезгирилиги 10^{-4} тартибда бўлади. Корреляция усулла-

рини құллаш билан унинг сезирлигини $N/N_{\text{caes}} \sim 10^{-7}$ гача етказиш мүмкінлиги күрсатылған.

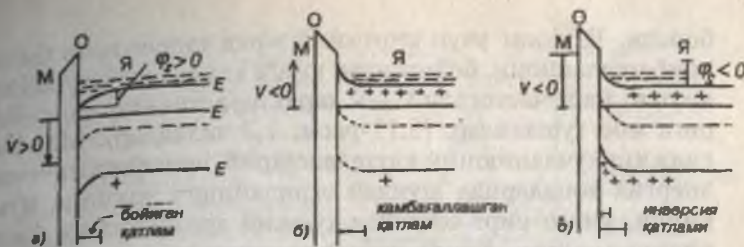
DLTS усули билан ЧС лар түгристіде күп маълумотлар олиш имконига эга бүлгани учун кейинги йилларда уларнинг күпдан күп ғызмалари яратылып, илмий лабораторияларда құлланиб келинмоқда.

5.5-§. Металл-диэлектрик — яримұтқазгич структура параметрларини үлчашыннан С—V усули

a. Идеал металл-диэлектрик-яримұтқазгич (МДЯ) структура С—V тавсифи

Яримұтқазгичлар сиртида, аникроғи, диэлектрик-яримұтқазгич чегарасыда сирт ҳолатлари, яъни яримұтқазгичнинг тақиқланған зонасида рухсат этилған энергия сатқалары бүлмаган, диэлектрик (масалан, оксид, шиша) қатламида құзғалувчан (K, Na, Cs ионлари) ва құзғалмас тұтқыч марказ зарядлари, бошқача айттанда, сирқиши токи бүлмаган, яримұтқазгич билан металл чиқиши ишларининг фарқи нолға тенг бүлған МДЯ структура бенуқсон (идеал) структура дейилади. Идеал МДЯ структурасыда яримұтқазгичнинг сирт потенциали ҳажмидаги потенциалига тенг бұлади ва структуралық ташқи күчланиш қўйилмағанда яримұтқазгичда энергиявий зоналари ясси (текис) бұлади. *n*-тип яримұтқазгич асосида олинған МДЯ структуралық ташқи күчланиш уланғанда кечадыган жараёнларни қисқача таҳлил қиласыл.

Структуралық мусбат силжиш күчланиши (металл томонига ўзгармас ток манбаининг мусбат күтби) уланса, яримұтқазгич ҳажмидан электронларни сирт (диэлектрик-яримұтқазгич чегарасы) томон тортувчи электр майдони пайдо бұлади ва яримұтқазгичнинг сирт соҳасыда асосий заряд ташувчилар (электрон) билан бойиши күзатылади. Бу соҳада электр нейтраллик шарти бузилади ва ҳажмий заряд соҳасы (ХЗС) содир бұлади. ХЗС нинг ҳажмий заряды яримұтқазгич-диэлектрик чегарасыда сирт потенциалининг ортишига, энергиявий зоналарининг эгрелешінга олиб келади (5.10-расм). ХЗСнинг көнглиги заряд ташувчилар билан бойиши режимида етарлича кичик 100А⁺ бұлади, шунинг учун кучли бойиши режиміде сирттің за-



5.10-расм. Нуқсонисиз (идеал) МОЯ структуранинг бойиш (а), камбағаллашиш (б), инверсия (в) режимдеги энергетик диаграммаси.

ряд сифими шундай катта бұлады, МДЯ структура сиғими диэлектрик (масалан, оксид) сифимига тенг бұлады. Агар күчланишни $V=0$ гача камайтирсак, асосий заряд ташувчилар туфайли юзага келген сифим камаяди. Ярим-үтказгич киришма атомларининг концентрацияси 10^{14} – 10^{15} см^{-3} тартибида, диэлектрик қатламининг қалинлеги $0,1:1 \text{ мкм}$ чамасида бұлғанда, структура сиғими ($0,6 \div 0,9$) C_D ни ташкил этади. Мұтлақ МДЯ структуранинг $V=0$ даги сиғими ясси (текис) зоналар сиғими C_{sc} деб юритилади. Структурага нисбатан катта бўлмаган манфий силжиш күчланиши уланганда яримүтказгичнинг сирт соҳаси асосий заряд ташувчилар (электрон) билан камбағаллашади, компенсацияланмаган қўзгалмас мусбат зарядланган киришма донор ионидан ташкил топган X3C пайдо бўлади ва оқибатда энергия зоналарининг эгриланиши кузатилади (5.10 б-расм). Бу ердаги X3C *p-n* ўтишга тескари йўналишда қўйилган күчланишдан ҳосил бўлган X3Cга ўхшаш бўлади. X3C нинг сиғими заряд ташувчилар билан камбағаллашған қаттам кенглиги W_{x3c} билан аниқланади. W_{x3c} қўйилган күчланишга, яримүтказгичнинг легирловчи киришма атом концентрациясига боғлиқ бўлиб, у сиртда потенциалнинг ортиши билан катталашади. Сирт соҳасининг камбағаллашиш режимида күчланишнинг ортиши X3C сиғимининг камайишига олиб келади. Кўрилаёттан ҳолда асосий заряд ташувчилар (электронлар)ни яримүтказгич сиртида ҳам, ҳажмида ҳам ўтказувчанлик зонасида ҳаракатланишини назарда тутсак, улар диффузон-дрейф мувозанати ўрнатилиши (максвелл) вақт доимийси 10^{-12} С билан силжиш күчланиши изидан

боради. Шунинг учун сиртнинг заряд ташувчилар билан камбағаллашиши, бойишидан юзага келган структуранинг юқори, паст частотали С—V характеристикалари бир-бира га мос тушадилар. (5.11-расм, 1,2 чизиқлар). Манфий силжиш кучланишини катталаштириб, яримутказгичнинг энергия зоналарида шундай эгриланишга эришиш мумкини, унинг сирт соҳасида хусусий яримутказгич ҳосил қилиш мумкин. Бунда яримутказгичнинг сирт соҳасида ҳаракатчан асосий ва асосий булмаган заряд ташувчилар концентрацияси биргаликда минимумга эришади. Бу ҳолатдаги сирт потенциалига мос равишда МДЯ структуранинг паст частотали С—V характеристикиси минимумга эришади. Мълумки, манфий силжиш кучланиши ортиши билан ҲЗС нинг кенгайишидан ташқари, ҲЗС нинг кенглигидан анча кичик бўлган соҳада асосий булмаган заряд ташувчилар концентрацияси орта боради.

Асосий булмаган заряд ташувчилар концентрацияси асосий заряд ташувчиларнидан ортиши билан сирт соҳасида ўтказувчанлик типи ўзгаради, яъни ўтказувчанликнинг инверсияси кузатилади (5.10 в-расм). Инверсион қатлам кенглиги ҲЗСнинг кенглигидан анча кичик бўлгани учун, бу қатламнинг сифими жуда катта бўлади ва натижада ўтказувчанликнинг инверсия соҳасида паст частотали С—V характеристика диэлектрик (оксид) сифими-гача тез тўйинади (5.11 расм—1-чизиқ). Инверсион қатламда ковак ўтказувчанлиги мавжуд бўлганлиги туфайли, ковакни кўчишидан ёки ҲЗС да генерацион-рекомбинацион жараёнлар туфайли, қатлам заряди ўзгариши мумкин. Бу жараёнлар нисбатан секин кечадиган жараёнлар, шунинг учун частотанинг ўсиши билан асосий булмаган заряд ташувчилардан пайдо бўлган сифим нолга интилади.

Кузатишларнинг курсатишича, генерация жараёнлари критик частотани аниқлади. Бу частота шундай частотаки, ундан катта частотада С—V характеристика юқори частотали характеристика (2) нинг кўринишини олади. Яримутказгичнинг сиртий сифими, камбағаллашган қатлам сифимидан иборат бўлади. Инверсион қатлам пайдо бўлгандан сўнг ҲЗС нинг кенгайиши тұхтайди. Асосий булмаган заряд ташувчилар МДЯ (МОЯ) структура сифимида ҳисса қўшмаса ҳам, юқори частотали сифимни ин-

5.11-расм. Нүксонсиз МОЯ структуранинг С—V характеристикаси. 1,2 чизиклар ва ҳақиқий МОЯ структура характеристикаси (3 чизик). Паст (1), юқори (2) частотали С—V характеристикалар, (3) — оксиддаги күзғалмас зарядни, чиқиш ишлари фарқининг таъсирини ҳисобга олгандағы МОЯ нинг С—V характеристикаси.



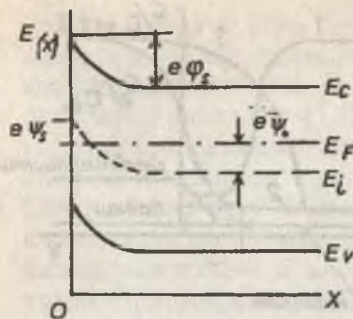
версия режимидеги сифим C_{inv} сатҳида түйинишига олиб келади. Критик частота ~ 1кГц тартибида, баъзи бир ҳолда, ундан кичик 0,1 кГц бўлган қийматларни қабул қилади. Оралиқ частоталарда С—V характеристика инверсия режимида шубҳасиз 1- ва 2-ҳолатлар орасини эгаллайди. Шуни эслатиш жоизки, биз юқорида муҳокама қилган идеал МДЯ структура, С—V характеристикаси юқори паст частотали ўлчаш сигналидан силжиш кучланиши доимий ёки секин (квазистатик) ўзгариш кузатиладиган ҳолга (тадалуқлидир) тегишилдири.

б. Идеал МДЯ структуранинг С—V характеристикаси ни назарий ҳисоблаш

Кўп ҳолларда МДЯ структурада диэлектрик яримутказгич чегарасининг параметрларини тажриба натижалари бўйича аниқлашда идеал МДЯ структуранинг С—V характеристикасидан фойдаланилади. Идеал МДЯ структура С—V характеристикасини ҳисоблаш структурага диэлектрик қатлам орқали ташки электр майдон қўйилганда, яримутказгич сирти яқинида содир бўладиган ХЗС нинг назариясига асосланган. ХЗС нинг зарядини ҳамда у билан боғлиқ сифимни аниқлаш учун n -тип яримутказгич сирт соҳаси энергия зоналари диаграммасидан фойдаланамиз ва

$$e\psi = E - E_F \quad (5.79)$$

ифода билан аниқланадиган электр потенциали тушунчаси киритилади (5.12-расм). Бу ерда E — яримутказгичда ферми сатҳи E_F — берилган температурадаги хусусий



5.12-расм. Яримұтказгич сирт соҳасининг энергетик диаграммаси.

тушади. Потенциал $\psi(x)$ ни x координатага бөлік бағытта бүлмаган иккі ҳаддан иборат деб қараш мүмкін:

$$\psi(x) = \psi_0 + \varphi(x) \quad (5.80)$$

ψ_0 — энергия зоналарида эгриланиш бүлмаган яримұтказгич ҳажмидаги потенциал. Яримұтказгич сирти ($x=0$) да потенциал

$$\psi(0) = \psi_s$$

бүләди.

Энергия зоналарининг эгриланиши сирт соҳаси яқинидеги ҳажмий заряд туфайли юзага келган бўлиб, у ихтиёрий x — нуқтада ҳажмий заряд электр майдони билан боғлиқ электростатик потенциал $\varphi(x)$ билан аниқланади. Яримұтказгич сиртида потенциал

$$\varphi(0) = \varphi_s$$

бўлиб, сиртнинг электростатик потенциалига мос келади.

$e\varphi_s$ катталиқ сирт соҳасининг энергия зоналари эгриланишига тенг бўлиб, сиртда электрон энергиясини аниқлайди. Сиртдан ичкарида электростатик потенциал $\varphi_s = 0$ бўләди. Агар сиртда электростатик потенциал нолга тенг, яъни $\varphi_s = 0$ бўлса, у ҳолда энергия зоналарида эгриланиш бўлмайди, бу ясси зона шарти деб юритилади. Агар $\psi(0) = \psi_s = 0$ бўлса, яримұтказгич сиртида хусусий яримұт

казгичлик шарти амалга ошади ва сиртда ферми сатх билан мос тушади.

Айнимаган яримүтказгичда электрон, ковак концерацияларининг x га боғланиши $\psi(x)$ ва $\varphi(x)$ потенциалоркали

$$n(x) = N_c \exp\left(-\frac{E_c(x) - E_F}{kT}\right) = n_i \exp\left(\frac{e\psi(x)}{kT}\right) = n_0 \exp\left(\frac{e\varphi(x)}{kT}\right)$$

$$p(x) = N_v \exp\left(-\frac{E_F - E_V(x)}{kT}\right) = p_i \exp\left(-\frac{e\psi(x)}{kT}\right) = p_0 \exp\left(\frac{e\varphi(x)}{kT}\right)$$

(5)

ифодалардан аниқланади. Бу ифодалар таҳилидан кунадики, ψ_s ва ψ_0 бир хил ишорада бўлса, X3C эса бўган, ҳар хил ишорада бўлса, камбағаллашган ва инверон қатламлар ҳосил бўлиши мумкин. Маълумки, сирт ҳасидаги ҳажмий заряднинг, ҳажмий заряд соҳасини сигимини Пуассон тенгламаси

$$\operatorname{div} \mathbf{E} = \frac{d\epsilon}{dx} = \frac{1}{\epsilon_0 \epsilon_1} \rho(x) \quad (5)$$

ечими асосида топилади. Бу ерда ζ — яримүтказгич диэлектрик сингдирувчанлиги, ϵ_0 — вакуумнинг диэлектрик сингдирувчанлиги, ϵ — ҳажмий заряд соҳасини электр майдони, $\rho(x)$ — ҳажмий заряд зичлиги.

Донор концентрацияси N_d , акцептор концентрацияси N_A бўлган n -тип яримүтказгич сиртидан узокда (ҳадда) электр нейтраллик шарти

$$n_0 - p_0 = N_d - N_A \quad (5)$$

билин ифодаланади. Сирт соҳасида бу шарт бузилади, ҳажмий заряд зичлиги $\rho(x)$

$$\rho(x) = -e(n(x) + N_A) + e(p(x) + N_d) \quad (5)$$

ёки (5.83) шартни ҳисобга олганда,

$$\rho(x) = e(p(x) - p_0) - e(n(x) - n_0) \quad (5)$$

билин ифодаланади, n_0 , p_0 — мос равишида мувозанатдаги электрон, ковак концентрацияси $\psi(x)$ ва $\varphi(x)$ потенциалларни ўлчамсиз потенциаллар

$$u(x) = \frac{e\psi(x)}{\kappa T}, \quad v(x) = \frac{e\varphi(x)}{\kappa T} \quad (5.85)$$

орқали ифодаланса, Пуассон тенгламаси (5.82)

$$\frac{d^2 u}{dx^2} = -\frac{e^2 n_i}{KT \epsilon_1 \epsilon_0} [\lambda(e^{-u} - 1) - \lambda^{-1}(e^u - 1)] \quad (5.86)$$

куринишга келади. Бу ерда λ — катталик

$$\lambda = \frac{p_0}{n_i} = \frac{n_i}{p_0} = \left(\frac{p_0}{n_0} \right)^{\frac{1}{2}}$$

орқали топилади.

(5.86) тенгламани $x \rightarrow \infty$ да $\frac{du}{dx} = 0$ бўлган чегаравий шартни қаноатлантирувчи биринчи интегрални

$$\frac{du(x)}{dx} = \pm 2l F(\lambda, u) \quad (5.87)$$

бўлади. Бу ерда $F(\lambda, u)$ функция, у

$$F(\lambda, u) = [\lambda^{-1}(e^u - u - 1) + \lambda(e^{-u} + u - 1)] \quad (5.88)$$

орқали ифодаланади (5.87) тенглама $u > 0$ да мусбат ишора билан $u < 0$ да манфий ишора билан олинади. Энергия зоналари эгриниши пастга бўлса, у нинг ишораси мусбат ҳисобланади.

l_i — узунлик бирлигидаги катталик бўлиб,

$$l_i = \left(\frac{\epsilon_1 \epsilon_0 K T}{2 e^2 n_i} \right)^{\frac{1}{2}} \quad (5.89)$$

билин аниқланади, у хусусий яримутказгичда электр майдонининг Дебай экранлаш узунлиги деб юритилади. Ярим-

үтказгич кристалли сиртида электр майдон кучланганлиги (5.87) га кўра

$$\varepsilon_s = - \frac{d\varphi(x)}{dx} \Big|_{x=0} = \pm 2 \frac{KT}{e} l_i^{-1} F(\lambda, u_s) \quad (5.90)$$

кўриниши олади.

Остроградский-Гаус теоремасига мувофиқ сиртга яқин соҳадаги юза бирлигига келтирилган сирт заряди Q_s электр майдон кучланганлиги E орқали

$$Q_s = -\varepsilon_1 \varepsilon_0 E = \pm 2 \frac{KT}{e} \varepsilon_0 \varepsilon_1 l_i^{-1} F(\lambda, u_s) \quad (5.91)$$

муносабат билан топилади.

Потенциалнинг координатага боғланиши (5.87) ни интеграллаш орқали топилади

$$x(u) = \pm \frac{l_i}{2} \int_{u_s}^u \frac{du}{F(\lambda, u)} \quad (5.92)$$

ҳисоблашларнинг кўрсатишича (5.92) тенглама бъязи бир хусусий ҳоллардагина аналитик ечимга эга.

Таърифга кура структура сирт соҳаси ҳажмий зарядининг дифференциал сифими

$$C = \frac{dQ_s}{dV} \quad (5.93)$$

орқали ифодаланиши мумкин. Структурага қўйилган ташқи силжиш кучланиши диэлектрикка тушган кучланиш V_D ва сирт электростатик потенциали φ_s йигиндисига тенг бўлади:

$$V = V_D + \varphi_s = \frac{Q_{s3}}{C_D} + \varphi_s \quad (5.94)$$

МОЯ структура сифими C (5.93) ва (5.94) ларга кўра

$$\frac{1}{C} = \left(\frac{dV}{dQ_s} \right) = \frac{dV_D}{dQ_s} + \frac{d\varphi_s}{dQ_s} = \frac{1}{C_D} + \frac{1}{C_s} \quad (5.95)$$

орқали аниқланади. Бу ерда

$C_D = \frac{dQ_s}{dV_D}$ — диэлектрикнинг геометрик сифими бўлиб, у иккита металл пластина (контакт) орасига олинган диэлектрик ҳосил қилган конденсатор сифимига тенг, $C_S = \frac{dQ_s}{dV_S}$ — сирт электростатик потенциалининг ўзгаришидан ҳосил бўлган сирт сифими. У мутлақ МДЯ структура учун сирт яқинидаги ҳажмий заряд $Q_s = Q_{x_3}$ дан юза-га келган сифим C_{x_3} тенг бўлиб, у

$$C_{x_3} = \frac{dQ_{x_3}}{d\varphi_s} = \frac{\epsilon_1 \epsilon_0}{2l_i} \frac{[\lambda(1 - e^{-u_s}) + \lambda^{-1}(1 - e^{u_s})]}{[\lambda(e^{-u_s} - 1) + \lambda^{-1}(e^{u_s} - 1) + (\lambda - \lambda^{-1})u_s]^{\frac{1}{2}}} \quad (5.96)$$

билиан топилади.

Шундай қилиб мутлақ МДЯ структурага қўйилган сил-жиш кучланиши (5.94) нинг электростатик потенциалга боғланишини (5.91) ва (5.85) дан

$$V = \pm \frac{l_i^{-1} \epsilon_0 \epsilon_1 [\lambda^{-1}(e^{u_s} - us - 1) + \lambda(e^{-u_s} + us - 1)]^{\frac{1}{2}}}{e C_D} + \frac{KT}{e} u_s \quad (5.97)$$

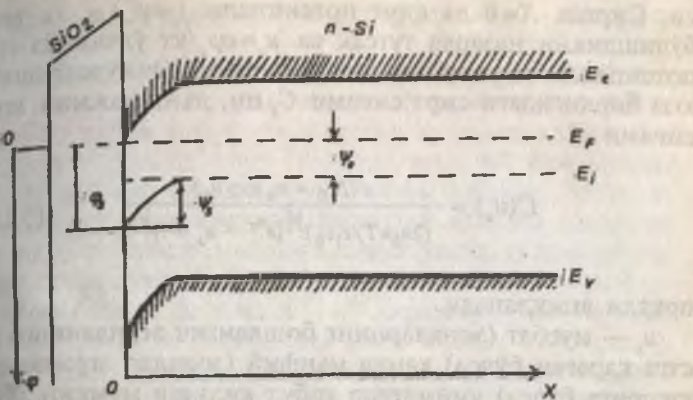
билиан аниқланишини кўрамиз. Юқорида айтилганидек, биринчи ҳади $u > 0$ бўлганда мусбат, $u < 0$ бўлганда ман-фий ишора билан олинади. Диэлектрикнинг юза бирлигига келтирилган геометрик сифими формуладан ҳисобланади.

$$C_D = \frac{\epsilon_0 \epsilon_D}{w_D}$$

Бу ерда:

ϵ_D — диэлектрикнинг диэлектрик сингдирувчанилиги;
 w_D — диэлектрик қатлам қалинлиги.

ТошДУ нинг яrimутказгичлар ва диэлектриклар физикаси кафедрасининг илмий ходимлари, ўқитувчилари МДЯ структура хоссаларини ўрганиш борасида ўзлари-



5.13-расм. n -типдаги кремний МДЯ структурасининг энергетик зоналар диаграммаси модели.

нинг муносиб ҳиссаларини күшиб келмоқдалар. Улар МДЯ структура $C-V$ характеристикасининг ҳисоблаш ифодаларини бирмунча соддалаштирганлар. Соддалаштириш асосида юқорида изоҳланган мутлақ. МДЯ структура учун қабул қилинган фаразлар ҳамда n -тип яримүтказгичда $N_A \ll N_D$ ва юқори частотада асосий бўлмаган заряд ташувчиларниң ҳажмий зарядга камбағаллашган, бойиган режимларда қушадиган ҳиссаси жуда кичик, инобатга олмаса бўлади, деган фараз ётади. Шунинг учун Пуассон тенгламаси (5.82) даги ҳажмий заряд зичлиги

$$\rho(x) = -e(n(x) - n_0) = -e(n(x) - N_D)$$

кўринишида олинган бўлиб, Пуассон тенгламаси ечилган. Ҳисоблашни соддалаштириш учун энергиянинг ноль қиймати қилиб ферми сатхига мос режимдаги энергетик сатҳ қабул қилинган ва ҳисоб паст томонга қараб олиб борилади (5.13-расм). Потенциал эса

$$\varphi(x) = \psi(x) + \varphi_0 \quad (5.99)$$

кўринишида олинган. Бу ерда $e\varphi$ — электрон энергияси, $e\varphi_0$ — яримүтказгич ҳажмидаги электрон энергияси, $e\psi$ — диэлектрик яримүтказгич чегарасидаги электрон энергия-

си. Сиртда $X=0$ да сирт потенциали $j_s = \psi_x + \phi_0$ га тенг булишиликни назарда тутсак ва $u = e\psi_x/kt$ ўлчамсиз сирт потенциали киритганда ҳисоблашларнинг кўрсатишича, юза бирлигидаги сирт сифими C_s ни, яъни ҳажмий заряд сифими

$$C(u_s) = \frac{e(N_D - n_0 \exp u_s)}{(2n_0 \kappa T / \epsilon_1 \epsilon_0)^{\frac{1}{2}} [e^{u_s} - u_s - 1]^{\frac{1}{2}}} \quad (5.100)$$

орқали аниқланади.

u_s — мусбат (зоналарнинг бошлангич эгриланиши пастга қараган бўлса) ҳамда манфий (зоналар эгриланиши юқорига бўлса) қийматлар қабул қилиши мумкин. Ҳажмий заряд сифимини (5.100) ифодадан мураккаб бўлмаган алмаштиришдан сўнг $u_s > 0$ да сиртни заряд ташувчилар билан бойиш соҳасида

$$C(u_s) = \frac{e n_0 (\exp u_s - 1)}{(2n_0 \kappa T / \epsilon_1 \epsilon_0)^{\frac{1}{2}} (\exp u_s - u_s - 1)^{\frac{1}{2}}} \quad (5.101)$$

$u_s < 0$ да заряд ташувчилар билан камбағаллашиш соҳасида

$$C(u_s) = \frac{e n_0 (1 - \exp(-u_s))}{(2n_0 \kappa T / \epsilon_1 \epsilon_0)^{\frac{1}{2}} [u_s + \exp(-u_s) - 1]^{\frac{1}{2}}} \quad (5.102)$$

билин аниқлашишини кўрамиз. МДЯ структурага қўйилган тўла кучланишнинг сирт потенциалига боғланиши $u_s > 0$ да

$$V = \left(\frac{2n_0 KT}{\epsilon_1 \epsilon_0} \right)^{\frac{1}{2}} [e^{-u_s} + u_s - 1]^{\frac{1}{2}} \frac{\epsilon_1 \epsilon_0}{C_D} S + \frac{KT}{e} u_s \quad (5.103)$$

$u_s < 0$ да

$$V = \left(\frac{2n_0 KT}{\epsilon_1 \epsilon_0} \right)^{\frac{1}{2}} [e^{-u_s} + u_s - 1]^{\frac{1}{2}} \epsilon_1 \epsilon_0 \frac{S}{C_D} - \frac{KT}{e} u_s \quad (5.104)$$

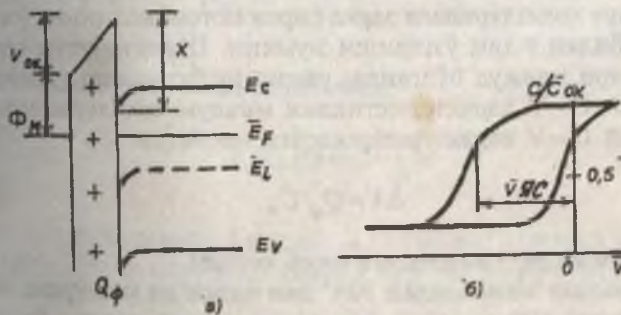
аниқланади. Бу ерда: S — контакт юзаси; C_D — диэлектрик (ёки оксид) сифими.

в. Ҳақиқий (реал) МДЯ структуранинг С—V характеристикаси

Маълумки, МДЯ структурада металл-яримүтказгич чиқиш ишларининг фарқи нолдан фарқ қилганда унинг ишорасига қараб, структурага ташқи кучланиш қўйилманганда, яримүтказгич сирт соҳасида манфий ёки мусбат ишорали ҳажмий заряд пайдо бўлиши мумкин. Металл-яримүтказгич потенциаллар фарқидан ҳажмий заряддан юзага келган электр майдони структурага қўйилган ташқи силжиш кучланишини ҳосил қилган электр майдонига қўшилади ва натижада С—V характеристикани кучланиш ўқи бўйича силжишига олиб келади (5.14-расм). Диэлектрик қатламда қўзғалмас (муайян ҳолатдаги заряднинг бўлиши ҳам характеристикани шундай силжишига олиб келади.

Шуни таъкидлаш керакки, бу зарядни металл-яримүтказгич чегарасидан қандай масофада жойлашгани маълум эмас. Шунинг учун эффектив заряд тушунчасидан фойдаланилади, у шундай зарядки, диэлектрик (оксид) — яримүтказгич чегарасига жойлаштирилганда кузатилган ҳодисани ҳосил қила олади. Ясси зоналар таърифига кўра, сирт потенциали $\varphi > 0$ да ясси зоналар кучланиши

$$V_{sc} = \frac{E_{sc}}{e} + \frac{Q_{\phi}}{C_D} \quad (5.105)$$



5.14-расм. Металл-яримүтказгич чиқиш ишлари фарқини, оксиддаги қўзғалмас зарядни МОЯ структура энергетик диаграммасига (а), С—V характеристикисига (б) таъсири Φ_M — металл чиқиш иши, x — яримүтказгич электронига яқинлик, V_{sc} — оксиддаги кучланиш тушуви, $E_{sc} = \Phi_M - (x + E_F - E_V)$ металл-яримүтказгич чиқиш ишларининг фарқи, Q_ϕ — оксид (диэлектрик)даги қўзғалмас заряд.

бұлади. Бу ерда E_m — яримұтқазгич — металл чиқишишарининг фарқы, Q_s — эффектив мұайян ҳолатдаги (күзғалмас) заряд, C_D — диэлектрик (оксид) сифими. Диэлектрик қатламдаги мұайян ҳолатдаги заряд мусбат ҳам, манфий ҳам бўлиши мумкин. Энди сирт ҳолатларнинг таъсирини кўрамиз. Юқорида изоҳланганлардан кўрина-дики, ҳақиқий (реал) сирт бенуқсон (идеал) сиртдан сирт ҳолатлари деб номланувчи энергия сатҳлари мавжудлиги билан фарқланадилар. Уларнинг табиати ҳар хил бўлиб, кристаллнинг ажралиш (диэлектрик-яримұтқазгич) чегарасида кристалл тузилишининг бузилиши туфайли юзага келадилар.

Сирт ҳолатлари асосан яримұтқазгичлар билан боғланган, чунки уларнинг зарядлар билан тўлиши сирт потенциалига боғлиқ бўлиб силжиш кучланиши ўзгариши билан қайта зарядланадилар. Сирт ҳолатларини ҳосил қилган дифференциал сигими C_s олдин курилган ҳажмий заряд сигими C_D га кўшилади. Сирт ҳолатларнинг мавжудлиги сирт сифимини C_{ss} га ортишидан ташқари, сирт потенциалини МДЯ структурага қўйилган силжиш кучланишга боғланишини ўзgartиради, чунки сирт ҳолатларидаги зарядни ҳосил қилган электр майдони силжиш кучланишининг ҳосил қилган электр майдони билан диэлектрикнинг мұайян ҳолатдаги заряд майдони каби кўшилади. Лекин мұайян ҳолатдаги заряддан фарқли ўла-роқ, сирт ҳолатларидаги заряд сирти потенциалининг ўзгариши билан у ҳам ўзгариши мумкин. Шунинг учун сирт ҳолатлари мавжуд бўлганда, уларнинг экранлаш таъсири манфий $C-V$ характеристикани маълум соҳаларидагина назарий $C-V$ характеристикасига нисбатан

$$\Delta V = Q_s / C_D$$

капталик қадар силжишига олиб келади.

Ажралиш чегарасидан $10A^\circ$ дан ошмаган масофада диэлектрикда бўлган сирт ҳолатлари яримұтқазгич билан яхши боғланган (диэлектрик яримұтқазгич ажралиш чегарасидаги потенциал тўсиқдан заряд ташувчиларнинг туннель ўтишлари туфайли) улар қайта зарядланишлари мумкин, лекин ажралиш чегарасидан масофанинг ортиши билан шундай алмашув эҳтимоллиги кескин камаяди

ва сирт ҳолатлари зарядларни құзғалмас зарядга үхшаш түплашға қодир бұлади. Бундай сирт ҳолатлари одатда тутқич марказлар деб юритилади. Сирт ҳолатларини тутқич (марказларга) муайян ҳолатдаги, зарядларга бўлининши жуда шартлидир. МДЯ структурада диэлектрик (оксид)да тутқич марказни қайта зарядланиши, құзғалувчан заряднинг кўчиши, диэлектрик (оксид) нинг кутбланиши туфайли силжиш кучланишининг ҳар хил үзгариши йўналишида олинган $C-V$ характеристикалар бир-бирига мос тушмайди. Бу ҳодиса гистерезис деб юритилади, одатда бу оксиднинг турғун эмаслигидан далолат беради. Ҳодиса юқори температурада ва юқори электр майдонида кучаяди.

г. Юқори частотали $C-V$ усул билан диэлектрик (оксид) — яримұтқазғич чегараси параметрларини аниқлаш

1) Сирт ҳолатлар концентрацияси ва спектрини аниқлаш.

Бу катталиклар тажрибада олинган ва назарий ҳисобланган $C-V$ характеристикаларини бир-бирига нисбатан кучланиш ўқи бўйича силжиши $\Delta V(C)$ дан топилади. Диэлектрик (оксид) қатламидаги құзғалмас заряди Q_ϕ дан ва сирт ҳолатлари заряди Q_s дан содир бўлган кучланишнинг силжиши кўйидагича ифодаланади:

$$\Delta V(C) = \frac{1}{C_D} (Q_\phi + Q_s) \quad (5.106)$$

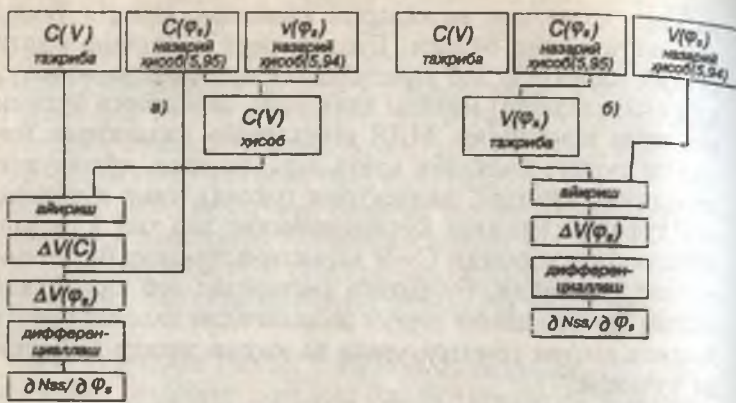
Сирт ҳолатлари концентрацияси

$$N_s(\Delta V) = \frac{\Delta V \cdot C_D}{eS} \quad (5.107)$$

билин ҳисобланади. Бу ерда: S — металл контакт юзаси. (5.107) ифода сирт потенциали бўйича дифференциали

$$\frac{\partial N_s}{\partial \varphi_s} = \frac{C_D}{eS} \frac{d(\Delta V)}{d\varphi_s}, \quad (5.108)$$

сирт ҳолатлар спектрини беради. Сирт ҳолатлар спектрини (5.108) ифода орқали чизиш кўйидаги тартибда амалга оширилади (5.15-расм):



5.15-расм. Юқори частотали С—V усул билан С—V характеристикани чизиш ва чизмадан сирт ҳолати тақсимотини аниқлаш тартиби (кетма-кетлиги).

- (5.96 ва 5.97) ёки (5.101 : 5.104) ифодалар орқали назарий ҳисобланган С—V характеристика чизилади;
- тахрибада олинган ва назарий ҳисобланган С—V характеристикаларни солишириб, $\Delta V(\varphi_s)$ боғланиш топилади;
- назарий ҳисобланган $C(\varphi_s)$ ёрдамида $\Delta V(C)$ боғланишдан $\Delta V(\varphi_s)$ боғланишга ўтилади;
- $\Delta V(\varphi_s)$ ни дифференциаллаб, (5.108) ифода орқали сирт ҳолатлар спектри чизилади. $\frac{\partial N_{ss}}{\partial \varphi_s}$ ни С—V характеристикани назарий ҳисобламасдан ҳам чизиш мумкин. Бу усулни ҳисоблаш тартиби 5.15-расмда келтирилган.

2. Сирт потенциали ва оксидда муайян ҳолатдаги (фиксированный) зарядни аниқлаш.

Назарий ҳисобланган $C(\varphi_s)$ характеристика билан тажрибада олинган $C(V)$ ни солишириб, исталган силжиш кучланишидаги сирт потенциали

$$\varphi_s = \varphi_s(v)$$

олинади. Равшанки, сиртнинг инверсия ва бойиш соҳалида сирт потенциалининг ўлчашдаги аниқлик кескин камаяди. Шунинг учун ташки кучланиш кўйилмаганда сирт потенциали мухим аҳамият касб этади, чунки у ташки

электр майдони қўйилмаганда ажралиш чегарасининг ҳолатини белгилайди. У оксиддаги қўзғалмас заряд ҳамда сирт ҳолатларида бошланғич зарядлари билан аниқланади. Одатда сиртий зарядларни аниқлашда ясси зоналар кучланиши V_{ac} күлланилади. Структурага ясси зоналар кучланишига тенг бўлган ташки кучланиш уланганда яrimўтказгич сиртида X3C зарядининг сирт ҳолатларидағи зарядининг ўзгаришини (5.106) га кўра,

$$V_{ac} C_D = V_{ss} C_D = Q_{ox} + \Delta Q_{ss} \quad (5.109)$$

куринишда ифодалаш мумкин.

Q_{ox} — кучланиш уланмагандаги X3C нинг заряди, яъни бошланғич сирт потенциал φ_{ss} даги заряд, ΔQ_{ss} — структурага V_{ac} кучланишига тенг кучланиш улангандан сўнг сирт ҳолатлари зарядининг ўзгариши.

(5.108) ифода 0 дан φ , гача бўлган оралиқда интеграллаб топилади. $V_{ac} C_D$ ҳамда ΔQ_{ss} ни билган ҳолда (5.109) дан Q_{ox} топилади. $Q_{ss}(\varphi)$ ни ҳисоблаш орқали бошланғич сирт потенциали φ_{ss} топилади. Q_{ox} дан диэлектрикдаги қўзғалмас зарядни ажратиб олиш учун сирт ҳолатларининг тақиқланган зона бўйича тақсимотини билиш керак. Шунинг учун юқори частотали C—V характеристика билан тақиқланган зона бўйича тақсимланган сирт ҳолатлари зарядини, диэлектрикдаги қўзғалмас зарядларни ажратиб бўлмайди. Лекин, агар C—V характеристиканинг шакли назарий ҳисобланганга яқин, яъни V_{ac} яқинида етарлича тик ва V_{ac} нисбатан катта бўлса, сирт ҳолатлар зарядининг ўзгаришини инобатга олмаслик мумкин. У ҳолда V_{ac} қўзғалмас зарядлар билан аниқланади. Аксинча, агар C—V характеристика кия бўлса, V_{ac} потенциал φ_{ss} дан 0 гача ўзгарганда, сирт ҳолатлар зарядининг ўзгаришини аниқлайди. У ҳолда $0 < \varphi < \varphi_{ss}$, оралиқда $N_{ss} = \text{const}$ бўлсин деб фараз қилиб, бошланғич сирт потенциали φ_{ss} ни

$$\varphi_{ss} = \varphi_s + \frac{V_1 C_D}{e^2 N_{ss}} \quad (5.110)$$

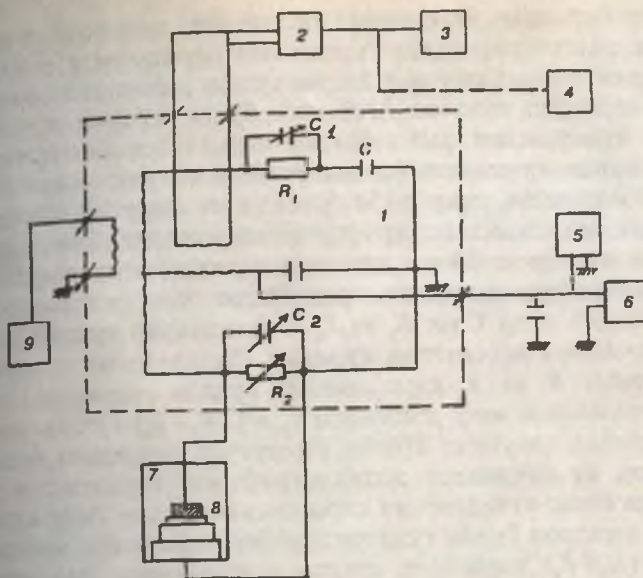
билиш ҳисоблаш мумкин. Бу ерда $N_{ss} \varphi = 0$ ($V_1 = V_{ac}$ да аниқланган) сирт ҳолатлари концентрацияси.

Юқорида келтирилган параметрлардан ташқари, юқори частотали C—V характеристика орқали яrimўтказгичнинг

легирловчи киришма концентрациясини, қалинлик бүйича тақсимотини, яримұтказгич типини, оксид қатлам (диэлектрикни) диэлектрик сингидиувчанлигини, қалинлигиди ва бошқа параметрларини аниқлаш мүмкін.

5.6-§. Сигим спектроскопия усууллари билан чуқур сатқа параметрларини ўлчаш қурилмаси

Чуқур сатқали марказ параметрларини сигим спектроскопия усууллари билан аниқлашда намуна билан ўлчаш қурилмасини туташтирувчи кабел (симвлар) сигими ҳамда намуна бошланғич түсиги сигими катта бұлған ҳолатда P^* -н үтишли диод ёки шоттки диоди түсиги сигимининг кичик ўзгаришини ўлчаш лозим бўлади. Одатда бунга трансформаторли юқори частотали ўзгарувчан ток кўприги (МП-300) дан фойдаланиш орқали эришилади. Юқорида кўрганларимиздан кўринадики, структура түсиги сигими кўп омилларга, масалан, температурага, кўйилган кучланишга, ўлчаш кучланиш частотасига, намуна ёритилиса, ёруғликнинг тўлқин узунлиги, ностационар жараёнларда вақтга боғлиқ. Бу боғланишларни сигим спектроскопия усууллари билан ўлчаш қурилмаларидан бири 5.16-расмда келтирилган. Илмий текшириш лабораторияларида кўп ҳолларда трансформаторли юқори частотали ўзгарувчан ток кўпригини тўла ўтказувчанликнинг ўлчаш кўприги МП-300 га ўхшатиб йигилади. Ўтказувчан ток кўпригини тузилиши ҳар хил бўлиб, улар юқори частотали импульсли кичик ўлчамли трансформаторлар (МИТ-8, МИТ-4) асосида йиғилиши мүмкін. Юқори частотада диод барьер сигимини ёки унинг ҳар хил омиллар таъсирида ўзгариши параллел алмаштириш чизмаси бўйича ўлчанади. Бошқача айтганда, диод параллел уланган сигим ва қаршиликдан иборат (тузилиш структура) деб қаралади. Шунинг учун ўзгарувчан ток кўпригининг бир елкасига ўзгарувчан этalon сигим ва ўзгарувчан этalon қаршилик уланади ва улар орқали структура барьер сигими ёки унинг ўзгариши аниқланади. Кўприкнинг иккинчи елкасига юқори аниқликдаги ўзгарувчан C , конденсатор ўзгарувчан R , қаршилик ва уларга параллел текширилаётган диод уланади. Улар маҳсус даражаланган бўлиб, бўлиниш да-



5.16-расм. Диод ва МДЯ структуралар С—V характеристикаларини ўлчаш қурилмасининг схемаси.

ражаси 0,01 пф га тенгдир. R_1 , R_2 — қаршиликлар бир қанча қаршиликлар асосида йиғилиши ёки уларга ўзгарувчан ток кўпригининг қаршилик блоки қўлланиши мумкин.

Маълумки, биронта ташқи таъсир остида структура қаршилиги сифими ўзгарса, кўпrik мувозанатини бузилишига олиб келади. Кўпrik мувозанати бузилишидан ҳосил бўлган қучайтирилган ўзгарувчан сигнал катталиги ўзгараёттан сифимга пропорционал бўлади. Бу сигнални ўлчаш кучланиши частотасининг 150 : 500 КГц оралиғида В-61 типидаги селектив вольтметри билан, частотанинг 10 : 150 КГц оралиғида эса ф-582 типидаги ноль индикатор ёрдамида қучайтириб, у С1—68, С1—76 типидаги осциллограф билан ёки детекторланганидан сўнг икки координатали Н—306 типидаги ўзи ёзгич билан қайд қилинади. Ўзгарувчан ток кўпригига юқори частотали Г—4—94, Г 3—112 типидаги генератордан частотаси $f = 10 + 500$ КГц, бўлган намунага амплитудаси 10 : 50 мВ дан ошмаган куч-

ланиш берилади. Бу курилма диод баръер сифимининг кинетикасини қайд қилиш имконини беради ва у орқали чуқур сатҳнинг электрон билан тўлиш релаксация вақти τ ни аниқлаш мумкин. Агар $\tau > 5c$ бўлса, кўпприк мувозанати бузилгандан ҳосил бўлган сифим ўзгаришига пропорционал кучланиш (сигнал) икки координатали ўзи ёзгич ёрдамида, агар $\tau < 5c$ бўлса, τ — метр чизмасини қуллаш орқали осциллографда қайд қилинади. Бунда сатҳнинг электрон билан тўлдириш релаксация вақтини тўғридан-тўғри аниқлаш керак бўлади. τ метр зарядланган конденсатор C ни R_3 ва R_4 қаршиликлар орқали разрядланиши R_4 қаршиликларда вақт доимийси $\tau_{RC} = C(R_3 + R_4)$ бўлган экспоненциал қонуният бўйича ўзгарувчан кучланиш ҳосил бўлади, бу кучланиш осциллографнинг горизонтал ўқи бўйича ёйиш кучайтиргич киришига берилади. Агар сатҳнинг электрон билан тўлдириш релаксация вақти, сифимнинг $(R_3 + R_4)$ қаршилик орқали разрядланиши вақт доимисига teng бўлса, осциллограф экранидаги кўпприк мувозанати бузилишидан содир бўлган кучланишнинг вақт бўйича ўзгариши чизиқли бўлади. Демак, ҳар бир сатҳнинг берилган температурадаги τ ни аниқлаш учун R_3 ва C шундай танланадики, осциллограф экранидаги сифим релаксация кучланишининг вақт бўйича ўзгариши чизиқли бўлсин. Шуни эслатиб ўтиш керакки, τ — метрнинг сифими (C) чуқур сатҳни тўлдириш ($V=0$) ёки тўғри кучланиш пайтида зарядланади. Структура баръер сифимини ўлчашда тескари кучланиши улангандан бошлаб, τ метрни конденсатори $(R_3 + R_4)$ орқали разрядланиб, у сифим релаксация кучланиши $i(t)$ ни осциллограф горизонтал ўқи бўйича ёди. Чуқур сатҳ параметрлари аниқланадиган структура криостатга жойлаштирилади ва у керакли температурагча совитилади. Намунани белгиланган температурада турғун тутиб туриш ҳар хил тезликда чизиқли қонуният бўйича иситиш, совитиш автоматик равишда бошқариладиган курилма ёрдамида амалга оширилади. Тошкент Давлат университети қошидаги амалий физика институти ходимлари томонидан бир қанча қулайликларга эга бўлган азот буғида совитиладиган криостат ҳамда намунани ҳар хил тезликда совитиш, иситиш температура-

нинг берилган қийматида $0,01^{\circ}\text{C}$ аниқликда турғун тутадиган температура стабилизатори яратилган. Бу курилмада температурани ўлчаш ва бошқариш датчиги сифатида диод (КД 105Б), иситгич элементи сифатида транзистор (КТ-808) құлланилған. Иситгич массаси кичик бұлғани учун температуранинг бошқарилиши тез содир бұлади. Намуна температурасининг ҳар хил тезликда чизиқли қонуният бүйіча ортиши, пасайиши термик рафбатлантирилған сиғим ток усуллари билан чуқур сатқыннан параметрларини тез ва етарли аниқликда ўлчаш имконини беради.

ФОЙДАЛАНИЛГАН АДАБИЁТЛАР

1. Н. Ф. Ковтюк, Ю. А. Концевой. Измерения параметров полупроводниковых материалов. Изд. "Металлургия". М. 1970 г.
2. Л. П. Павлов. Методы определения основных параметров полупроводниковых материалов. М. "Высшая школа", 1975 г.
3. В. В. Батавин, Ю. А. Концевой, Ю. В. Федорович. Измерение параметров полупроводниковых материалов и структур. М. "Радио и связь", 1985 г.
4. Л. П. Павлов. Методы измерения параметров полупроводниковых материалов. М. "Высшая школа", 1987 г.
5. Ю. В. Воробьев, В. Н. Добровольский, В. И. Стриха. Методы исследования полупроводников. Киев "Высшая школа", 1988 г.
6. В. М. Колешко, Т. Д. Каплон. С—В методы измерения параметров МОП структуры. Обзоры по электронной технике. Сер. З-микроэлектроника. Вып. 2/456/М. ЦНИИ, Электроника, 1977 г.
7. И. Н. Каримов. "Влияние внешних воздействий на свойства границы раздела полупроводник-диэлектрик МДП — структур". Канд. дис. Ташкент — 1986 г.
8. Л. С. Берман, А. А. Лебедев "Емкостная спектроскопия глубоких центров в полупроводниках". Изд. "Наука" 1981 г.
9. Тегман Z. M. Solid State Electronics 1952, 5, 285.

МУНДАРИЖА

Кириш	3
-------------	---

1-боб. ЯРИМҮТКАЗГИЧЛАРДА СОЛИШТИРМА ҚАРШИЛИКНИ ЎЛЧАШ УСУЛЛАРИ

1.1-§. Яримүтказгичли намунанинг солиштирма қаршилигини унинг тўла қаршилиги бўйича аниқлаш	5
1.2-§. Солиштирма қаршиликни ўлчашнинг бир ва икки зондли усуллари	11
1.3-§. Тўрт зондли усул	20
1.4-§. Юпқа қатламларда солиштирма қаршиликни тўрт зондли усул билан аниқлаш	34
1.5-§. Эпитаксиал, диффузион қатламларнинг солиштирма қаршилигини тўрт зондли усул билан аниқлаш	41
1.6-§. Солиштирма қаршиликни тўрт зондли усул билан ўлчашдаги хатоликлар	42
1.7-§. Ван-дер-Пау усули билан солиштирма қаршиликни ўлчаш	49
1.8-§. Солиштирма қаршиликни нуқтавий контактнинг тарқалган (ёйилган) қаршилик усули билан аниқлаш	59
1.9-§. Солиштирма қаршиликни металл-яримүтказгич нуқтавий kontaktининг тешилиш кучланиши бўйича ўлчаш усули	67

2-боб. ЗАРЯД ТАШУВЧИЛАР КОНЦЕНТРАЦИЯСИ ВА ҲАРАКАТЧАНЛИГИНИ ЎЛЧАШ УСУЛЛАРИ

2.1-§. Холл эфекти ёрдамида заряд ташувчиларнинг концентрацияси ва ҳаракатчанлигини ўлчаш усуллари	73
2.2-§. Холл ЭЮКини ўлчаш усуллари	81
2.3-§. Холл токи	91
2.4-§. Холл токларини ўлчаш ва у орқали яримүтказгич намуналарда заряд ташувчиларнинг концентрацияси ва ҳаракатчанлигини ўлчаш	95

2.5-§. Ван-дер-Пау ва турт зондли усул билан яримүтказгич намуналарда заряд ташувчилар концентрацияси ва ҳаракатчанлигини ўлчаш	100
2.6-§. Холл эфектини ўлчашдаги мунтазам (систематик) хатоликларга таъсир этувчи омиллар	105
2.7-§. Яримүтказгичларда заряд ташувчилар концентрацияси ва ҳаракатчанлигини намунанинг магнитоқаршилиги бўйича аниқлаш	109
2.8-§. Яримүтказгичларда тақиқланган зона кенглигини, донор ва акцептор киришма атомларининг концентрацияси ва ионланиш энергиясини аниқлаш	115

3-боб. ЯРИМҮТКАЗГИЧЛАР ПАРАМЕТРЛАРИНИ ОПТИК УСУЛЛАР БИЛАН ЎЛЧАШ

3.1-§. Яримүтказгичларнинг оптик параметрлари	128
3.2-§. Оптик параметрларни (константаларни) тажрибада аниқлаш усуллари	134
3.3-§. Заряд ташувчилар концентрацияси ва ҳаракатчанлигини ўлчашнинг оптик усуллари	140
3.4-§. Эллипсометрия усули	156

4-боб. НОМУВОЗАНАТ ЗАРЯД ТАШУВЧИЛАР ПАРАМЕТРЛАРИНИ ЎЛЧАШ УСУЛЛАРИ

4.1-§. Номувозанат заряд ташувчилар параметрлари	166
4.2-§. Номувозанат заряд ташувчилар билан инжекцияланган намунанинг ўтказувчанлиги	173
4.3-§. Номувозанат заряд ташувчилар параметрларини ўлчашнинг ностационар усуллари	176
4.4-§. Ток импульси инжекциясига асосланган номувозанат заряд ташувчилар яшаш вақтини аниқлаш усуллари	202
4.5-§. Номувозанат заряд ташувчилар параметрларини ўлчашнинг стационар усуллари	213
4.6-§. Номувозанат заряд ташувчилар параметрларини фотозлектромагнитик ҳодисаси (Кикоин-Носков эффекти)дан фойдаланиб аниқлаш усули	225
4.7-§. Яримүтказгич параметрларини номувозанат заряд ташувчилар тақсимотидан (тўғридан-тўғри) фойдаланиб аниқлаш усуллари	234

4.8-§. *P-n* ўтишнинг ва Шоттки тўсифининг қисқа туташув
фототокини ўлчашга асосланган диффузион узунликни
аниқлаш усули 249

5-боб. ЧУҚУР САТҲЛИ МАРКАЗЛАР ПАРАМЕТРЛАРИНИ ЎЛЧАШ УСУЛЛАРИ

5.1-§. Чуқур сатҳли марказларнинг параметрлари	255
5.2-§. <i>P-n</i> ўтишида чуқур сатҳларнинг электронлар билан тўлдирилганилиги	260
5.3-§. Чуқур марказли диодларнинг баръер сифими	266
5.4-§. Яримўтказгичлар чуқур марказлари параметрларини аниқлашнинг сифим спектроскопия усуллари	273
5.5-§. Металл-дизлектрик-яримўтказгич структура параметрларини ўлчашнинг С—V усули	296
5.6-§. Сифим спектроскопия усуллари билан чуқур сатҳ параметрларини ўлчаш курилмаси	312
Фойдаланилган адабиётлар	316

Зайнобиддинов Сирожиддин, Акрамов Хидой
**ЯРИМЎТКАЗГИЧЛАР ПАРАМЕТРЛАРИНИ
АНИҚЛАШ УСУЛЛАРИ**

Ўзбек тилида

Бадиий мұхаррир *T. Қаноатов*
Техник мұхаррир *У. Ким*
Мусаҳиқ *M. Йұлдошева*
Компьютерда тайёрловчы *Е. Гильмутдинова*

Теришга берилди 6.11.2000. Босишига рухсат этилди 6.06.2001.
Бичими 84×108 $\frac{1}{2}$. Офсет босма усулида босилди. Шартли босма
табоги 16,8. Нашр т. 17,24. Нусхаси 2 000. Буюртмá № 55.
Баҳоси шартнома асосида.

“Ўзбекистон” нашриёти, 700129, Тошкент шаҳри, Навоий кӯчаси, 30.
Нашр № 61-2000.

Ўзбекистон Республикаси Давлат Матбуот қўмитасининг
1-босмахонасида босилди. Тошкент ш. 700002,
Сағбон кӯчаси 1-берк кўча; 2-уй.

'e